

Measurement of Neutron Electric Dipole Moment (J-PARC P33)

Tamaki YOSHIOKA

KEK

Neutron Science Laboratory

tyosioka@post.kek.jp



Date(2010/06/12) by(T.Yoshioka)

Title(Measurement of Neutron Electric Dipole Moment (J-PARC P33))

Conf(将来計画検討小委員会) At(Tokyo)

J-PARC P33: Collaboration

Hirohiko M. SHIMIZU	KEK
Takashi INO	KEK
Suguru MUTO	KEK
Tamaki YOSHIOKA	KEK
Kenji MISHIMA	KEK
Yasushi ARIMOTO	KEK
Kaoru TAKETANI	KEK
Hiroshi IWASE	KEK
Toru OGITSU	KEK
Nobuhiro KIMURA	KEK
Sachio KOMAMIYA	Dept. Phys., Univ. Tokyo
Satoru YAMASHITA	ICEPP, Univ. Tokyo
Yoshio KAMIYA	ICEPP, Univ. Tokyo
Yoshihisa IWASHITA	Inst. Chem. Res., Kyoto Univ.
Masahiro HINO	Research Reactor Institute, Kyoto Univ.
Masaaki KITAGUCHI	Research Reactor Institute, Kyoto Univ.
Hiroyuki FUJIOKA	Dept. Phys., Kyoto Univ.
Tatsushi SHIMA	Research Center for Nuclear Physics, Osaka Univ.
Masahiko UTSURO	Research Center for Nuclear Physics, Osaka Univ.
Kenji SAKAI	Japan Atomic Energy Agency
Koichiro ASAHI	Tokyo Inst. Tech.
Akihiro YOSHIMI	RIKEN
Yoshiaki KIYANAGI	Fac. Engineering, Hokkaido Univ.
Takeshi KAWAI	Xi'an Jiaotong Univ.
Haruhiko FUNAHASHI	Osaka Electro-Communication Univ.

- 2010 Jan. 15 : 9th J-PARC PAC Meeting



Date(2010/06/12) by(T.Yoshioka)

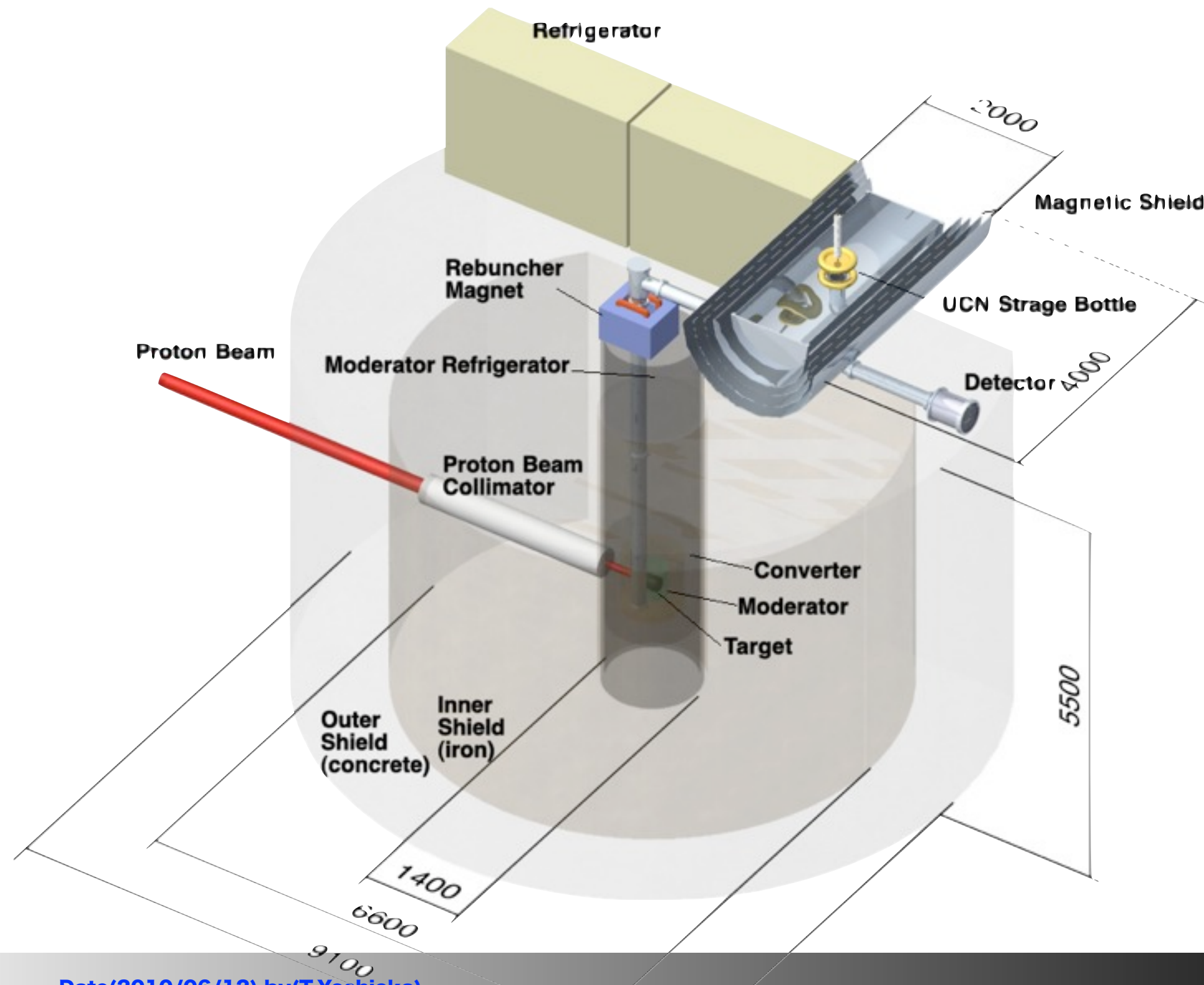
Title(Measurement of Neutron Electric Dipole Moment (J-PARC P33))

Conf(将来計画検討小委員会) At(Tokyo)



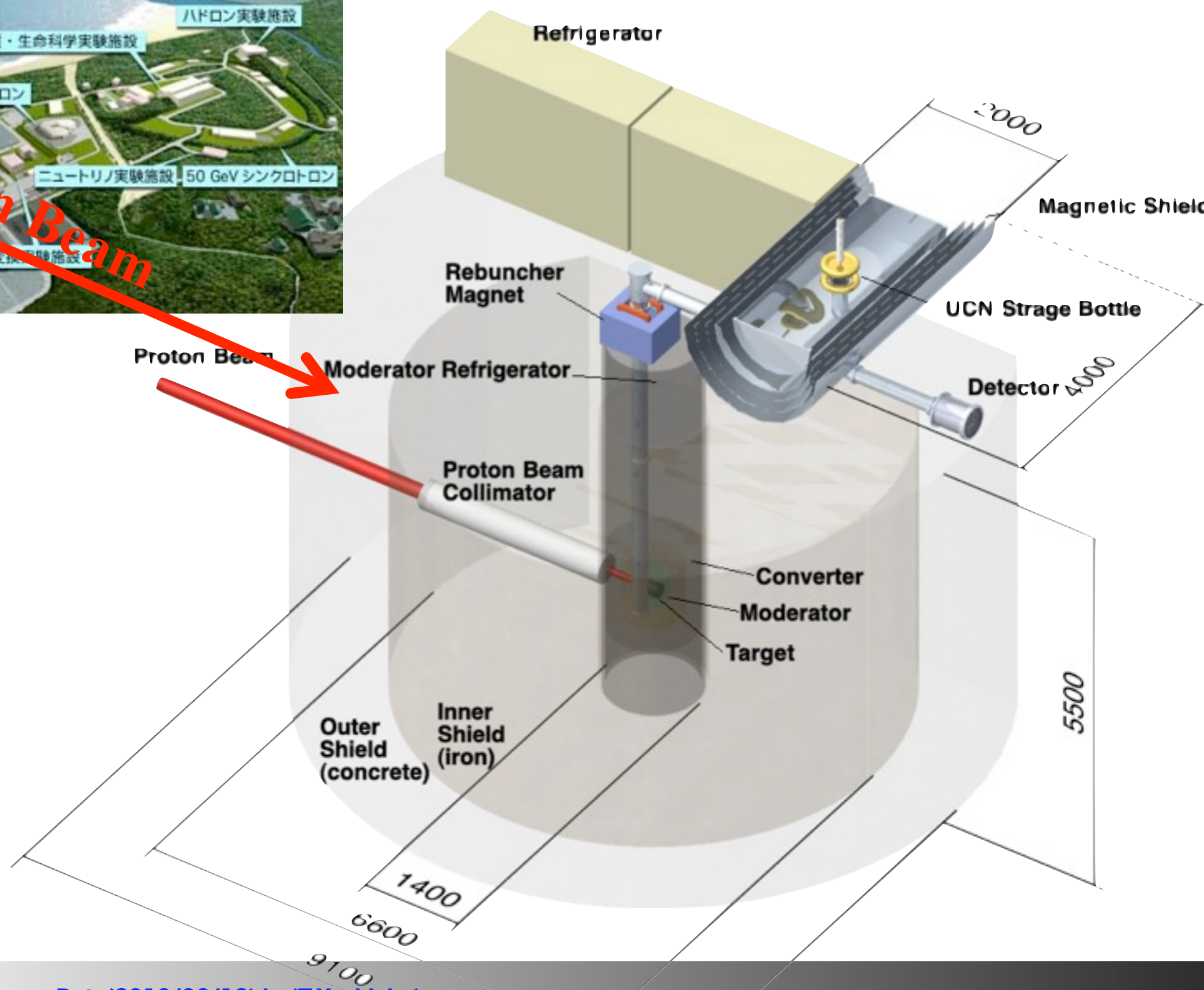
J-PARC P33: J-PARC UCN for $|d_n| < 10^{-27}$ e cm

for the study of new physics with the improved experimental accuracy by the optically controlled transport of pulsed ultracold neutrons to the measurement cell.



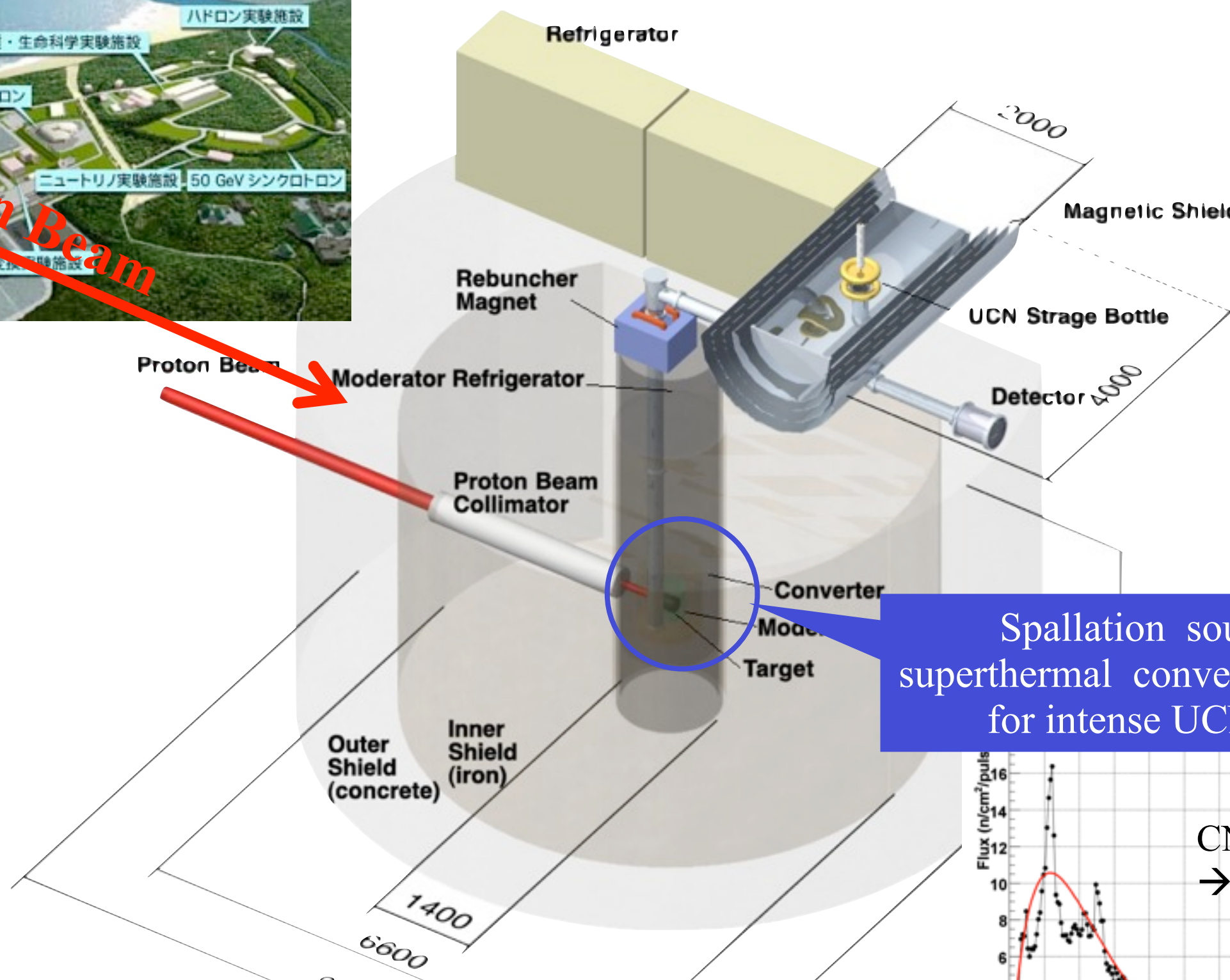
J-PARC P33: J-PARC UCN for $|d_n| < 10^{-27}$ e cm

for the study of new physics with the improved experimental accuracy by the optically controlled transport of pulsed ultracold neutrons to the measurement cell.

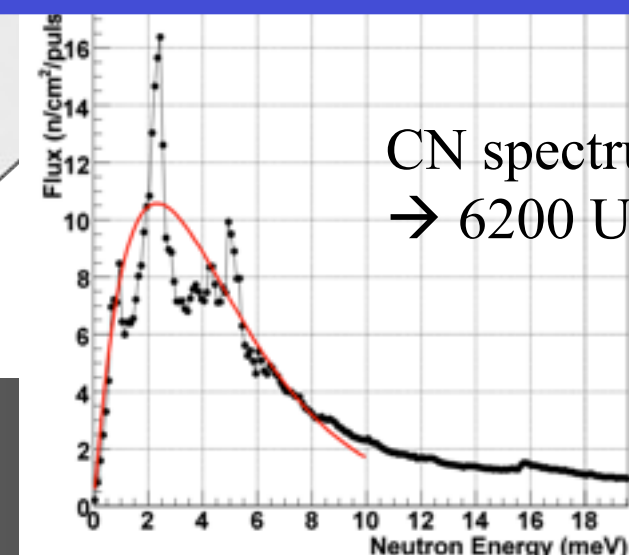


J-PARC P33: J-PARC UCN for $|d_n| < 10^{-27}$ e cm

for the study of new physics with the improved experimental accuracy by the optically controlled transport of pulsed ultracold neutrons to the measurement cell.



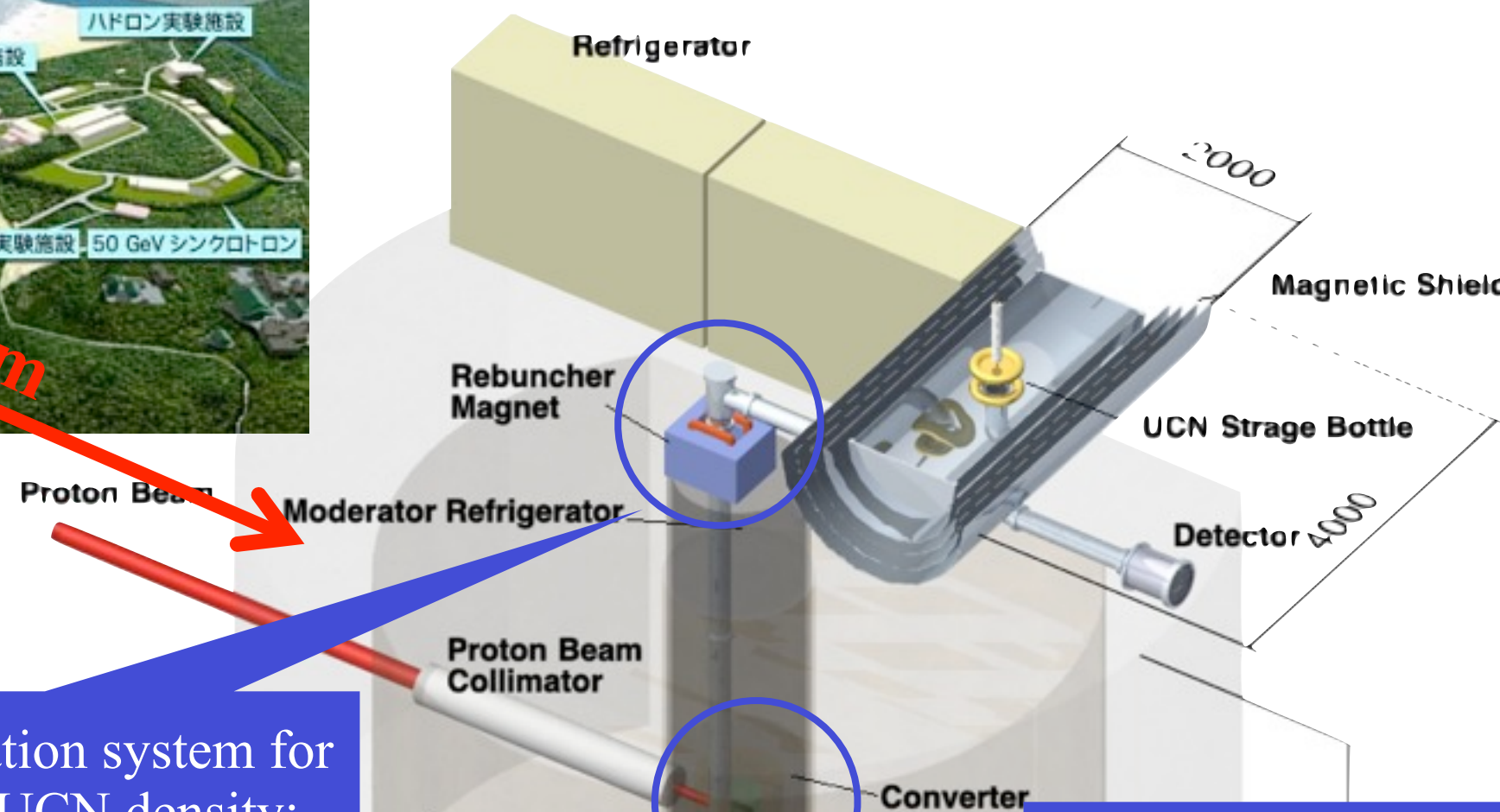
Spallation source and superthermal converter using sD2 for intense UCN source



CN spectrum
→ 6200 UCN/cm³

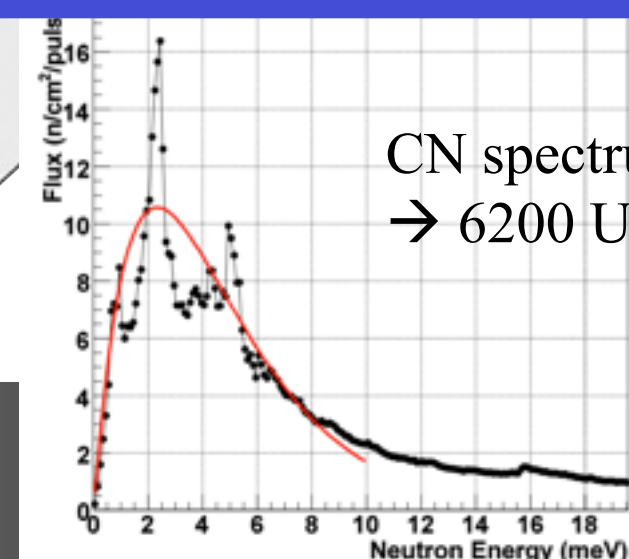
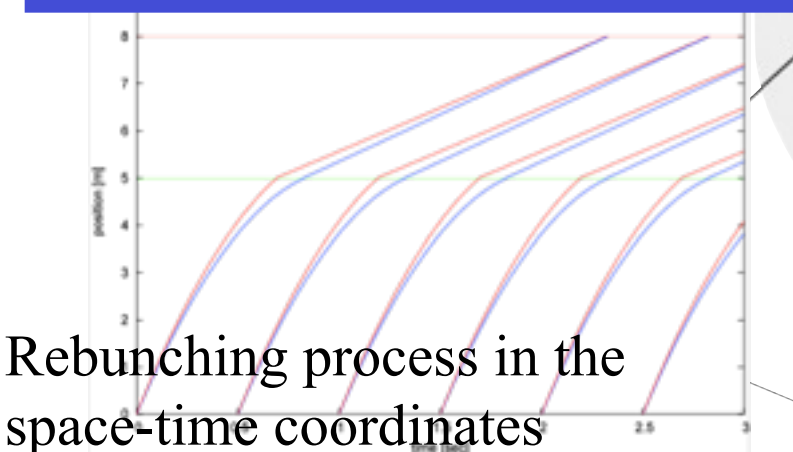
J-PARC P33: J-PARC UCN for $|d_n| < 10^{-27}$ e cm

for the study of new physics with the improved experimental accuracy by the optically controlled transport of pulsed ultracold neutrons to the measurement cell.



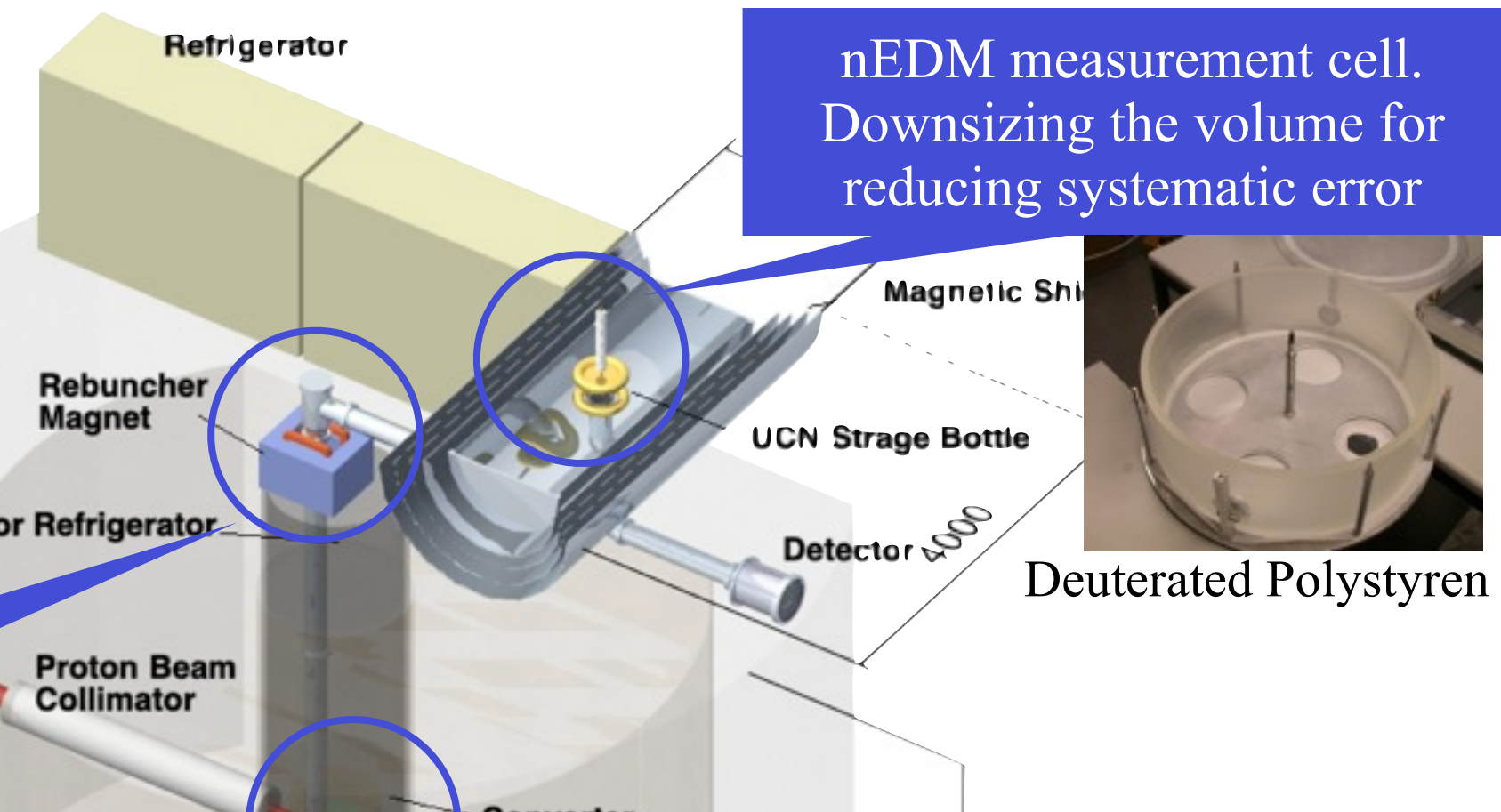
Novel transportation system for preserving the UCN density;
called “rebuncher”

Spallation source and superthermal converter using sD2 for intense UCN source

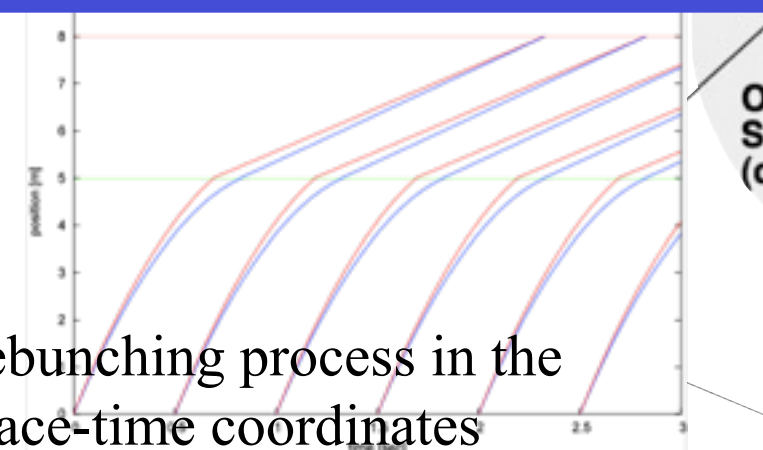


J-PARC P33: J-PARC UCN for $|d_n| < 10^{-27}$ e cm

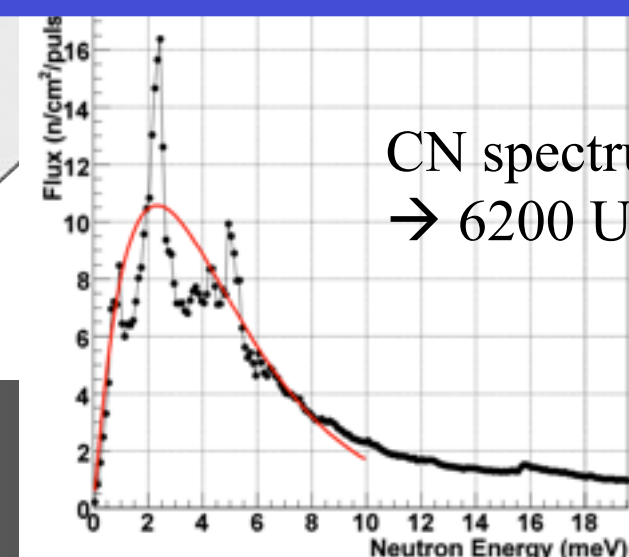
for the study of new physics with the improved experimental accuracy by the optically controlled transport of pulsed ultracold neutrons to the measurement cell.



Novel transportation system for preserving the UCN density; called “rebuncher”

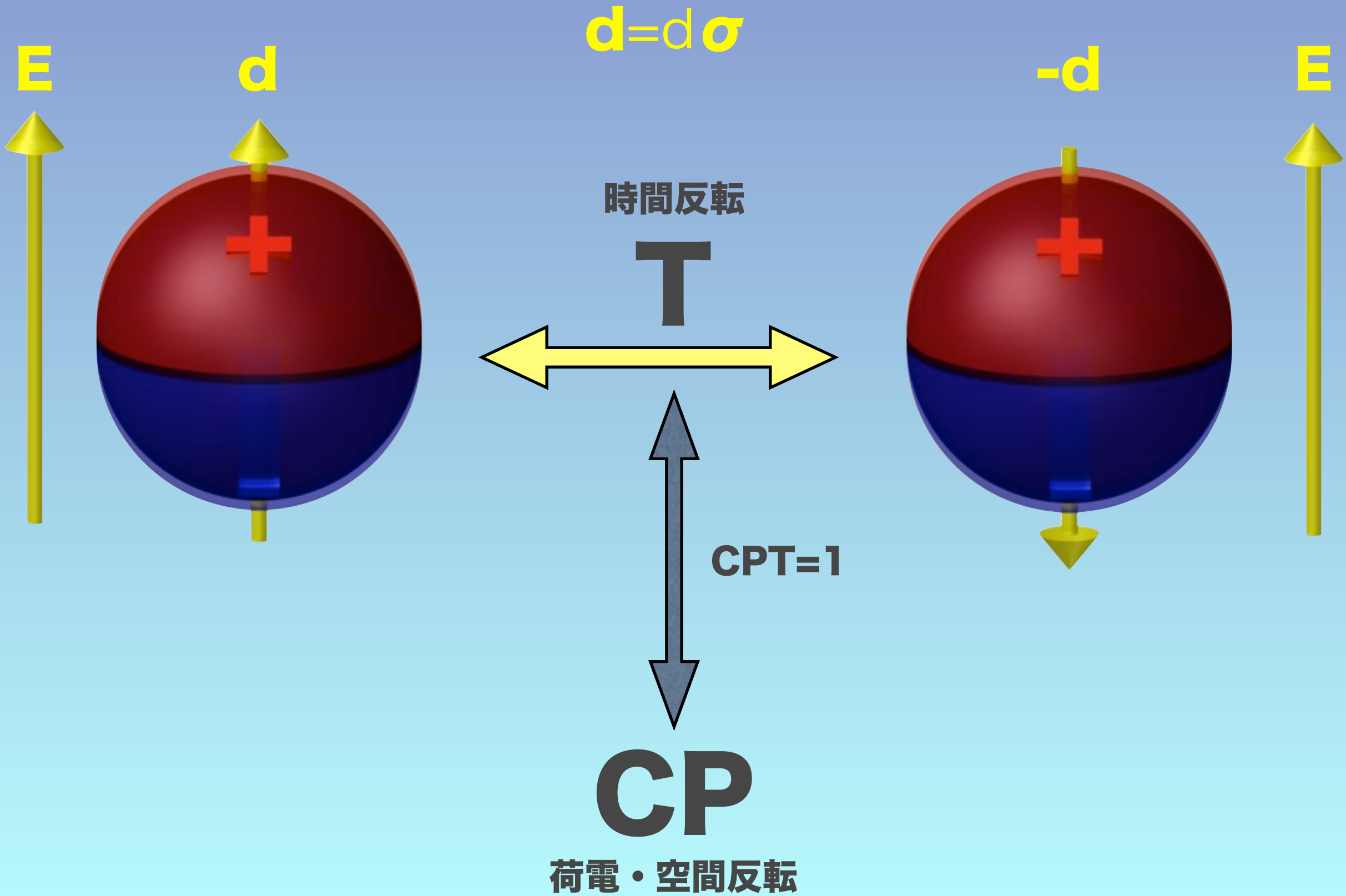


Spallation source and superthermal converter using sD2 for intense UCN source



電気双極子能率

EDM: Electric Dipole Moment

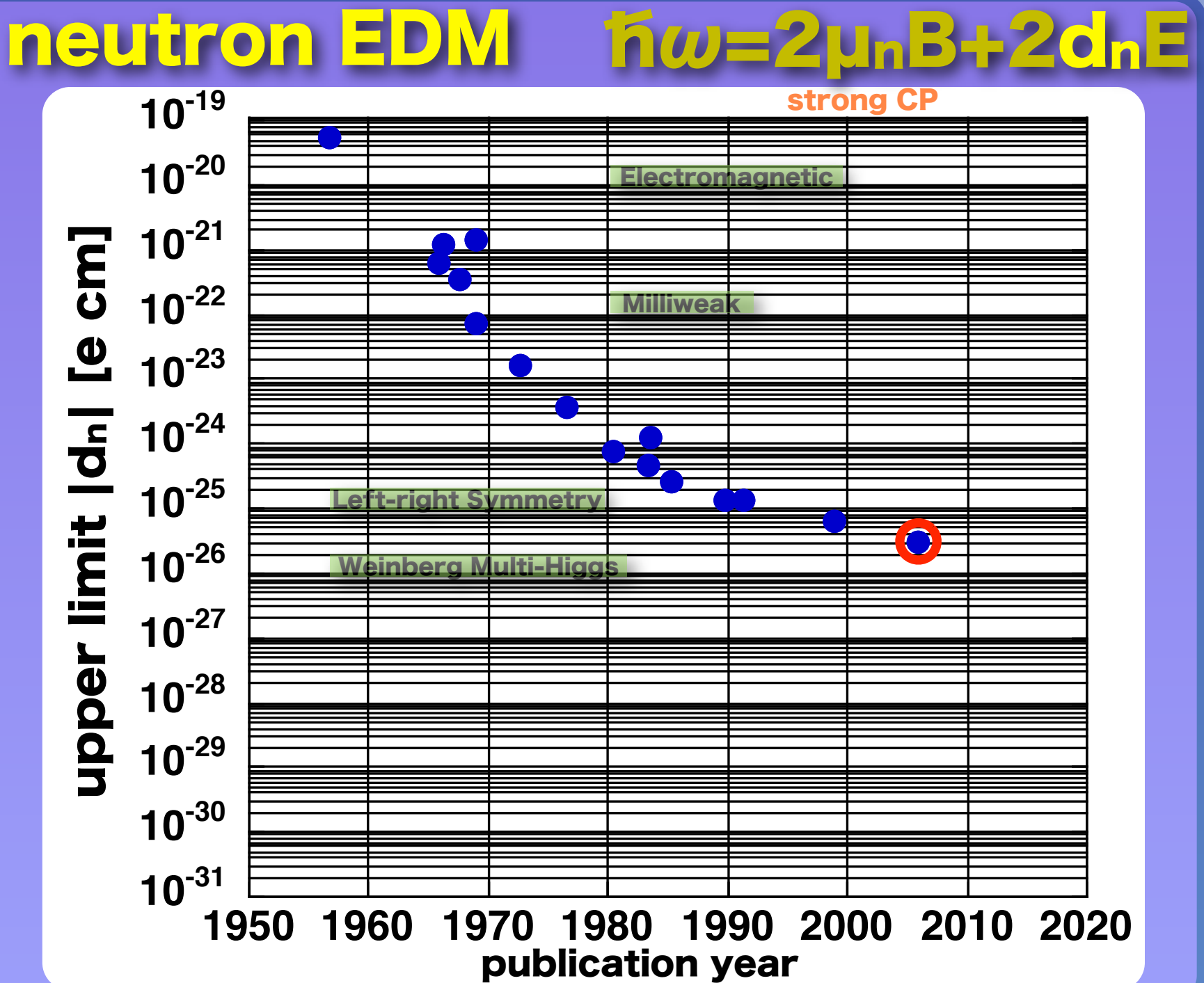


Electric Dipole Moment

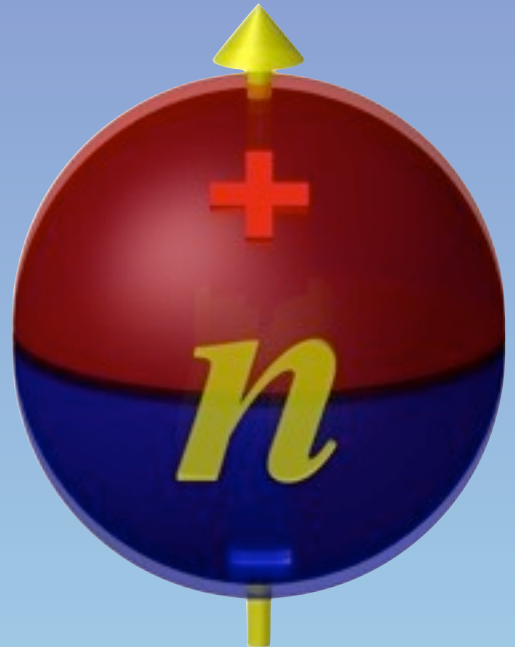


$|d_n| < 2.9 \times 10^{-26} \text{ e cm}$
(90% C.L.)

Baker et al., PRL97 (2006) 131801

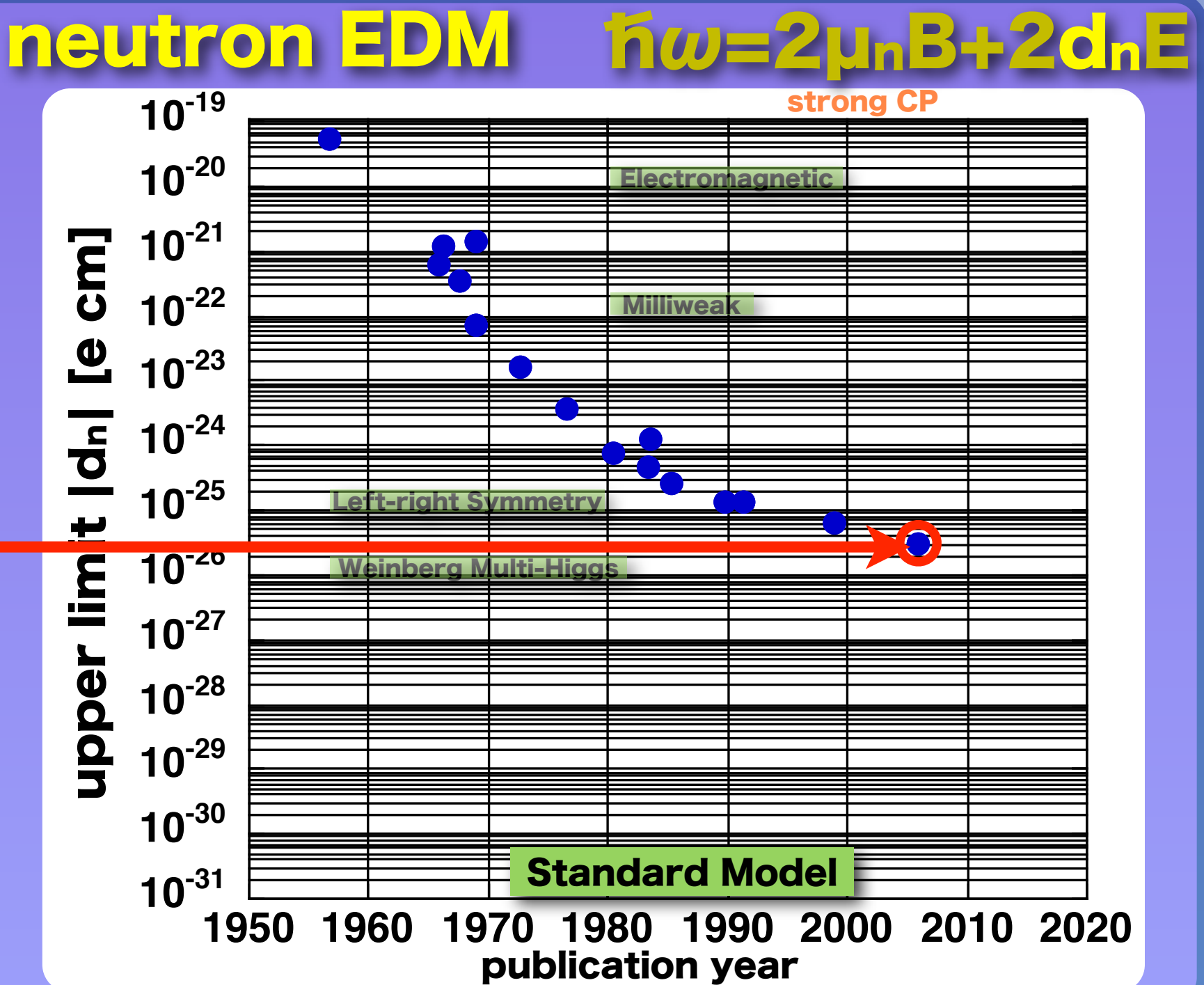
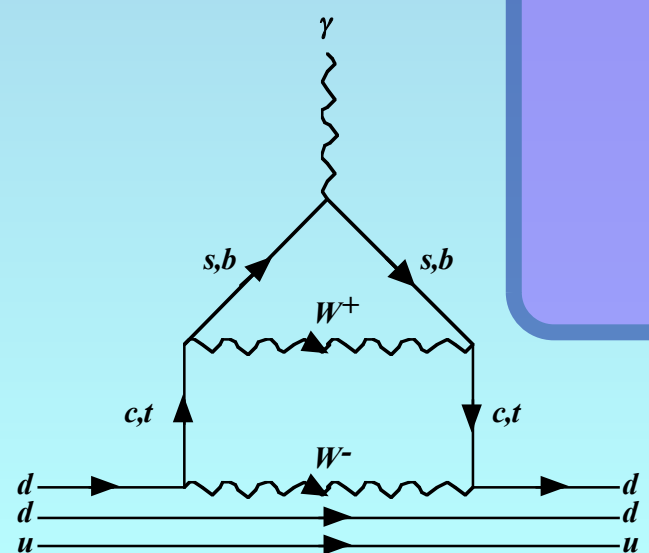


Electric Dipole Moment

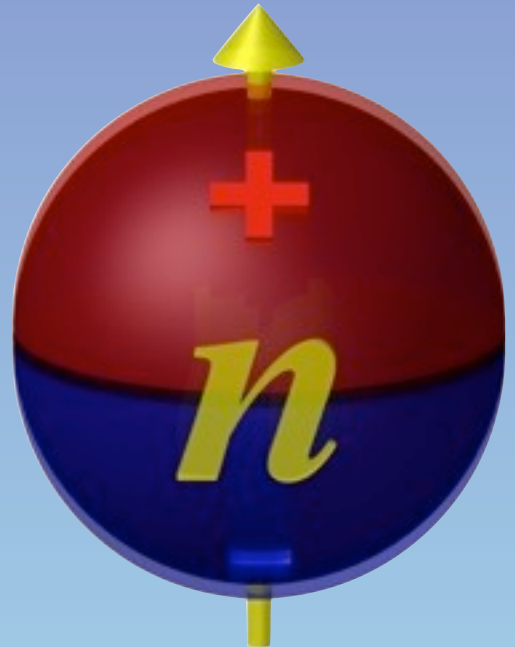


$|d_n| < 2.9 \times 10^{-26} \text{ e cm}$
(90% C.L.)

Baker et al., PRL97 (2006) 131801

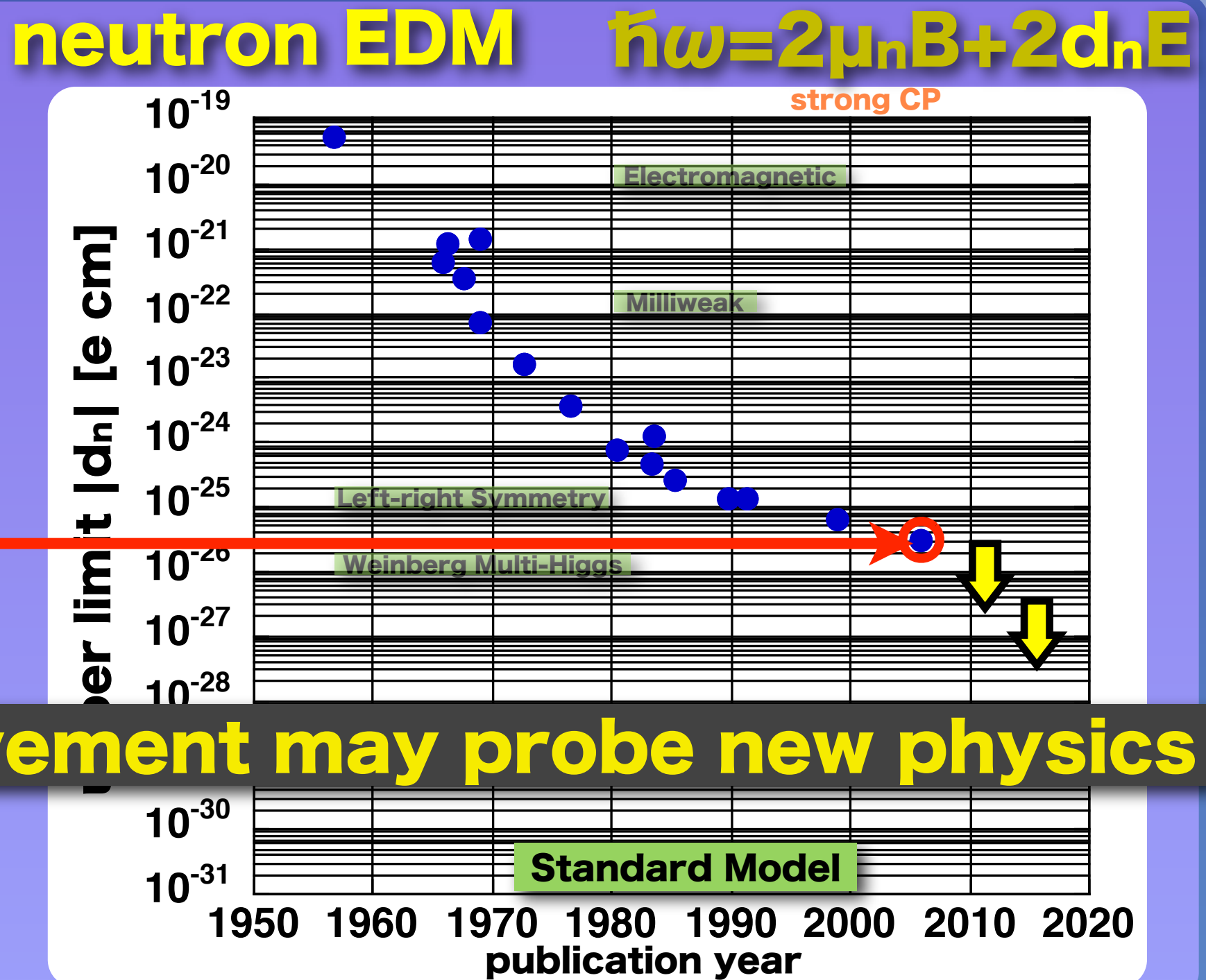


Electric Dipole Moment

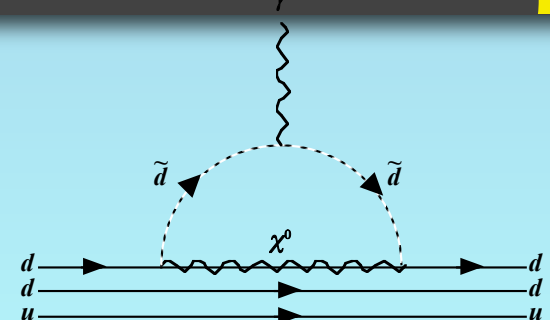


$|d_n| < 2.9 \times 10^{-26} \text{ e cm}$
(90% C.L.)

Baker et al., PRL97 (2006) 131801



1-2 order improvement may probe new physics



One of Precision Frontiers

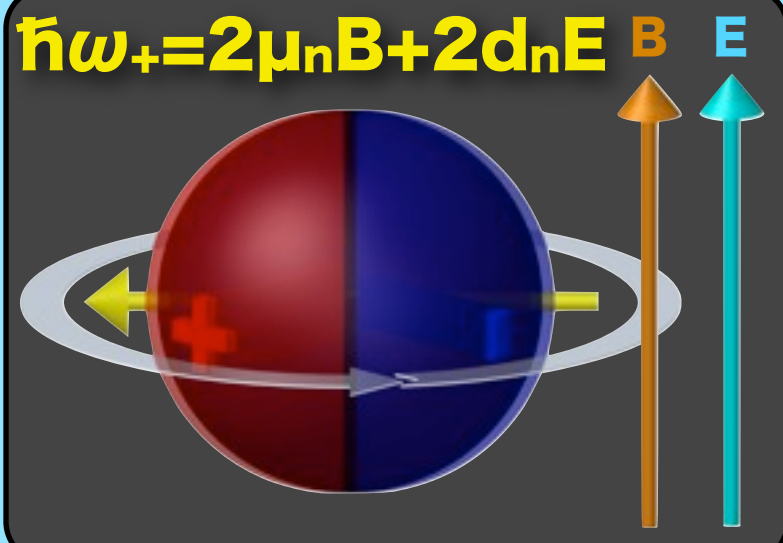
Measurement Procedure

search for the phase change when the electric field is reversed

$$\frac{\omega_{\pm}}{2\pi} = 3 \times 10^1 \frac{B}{1 \mu T} \pm 5 \times 10^{-8} \frac{d_n}{10^{-26} e \text{ cm}} \frac{E}{10 \text{kV/cm}}$$

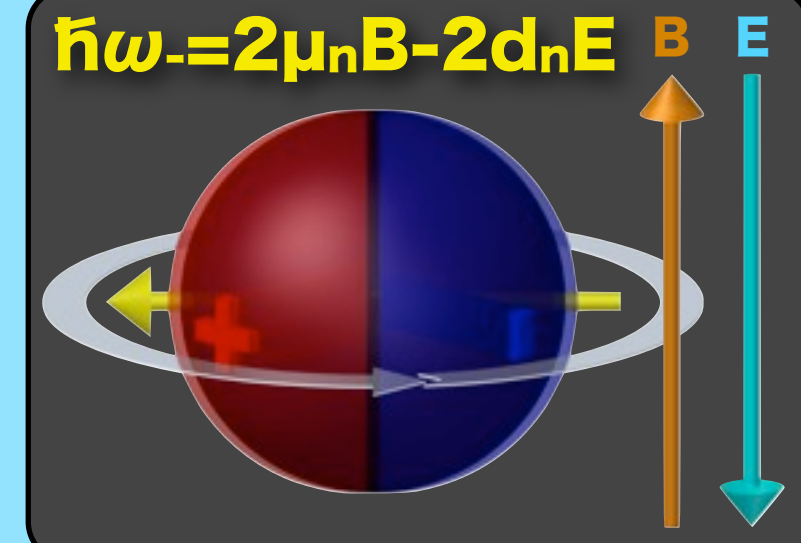
magnetic

electric



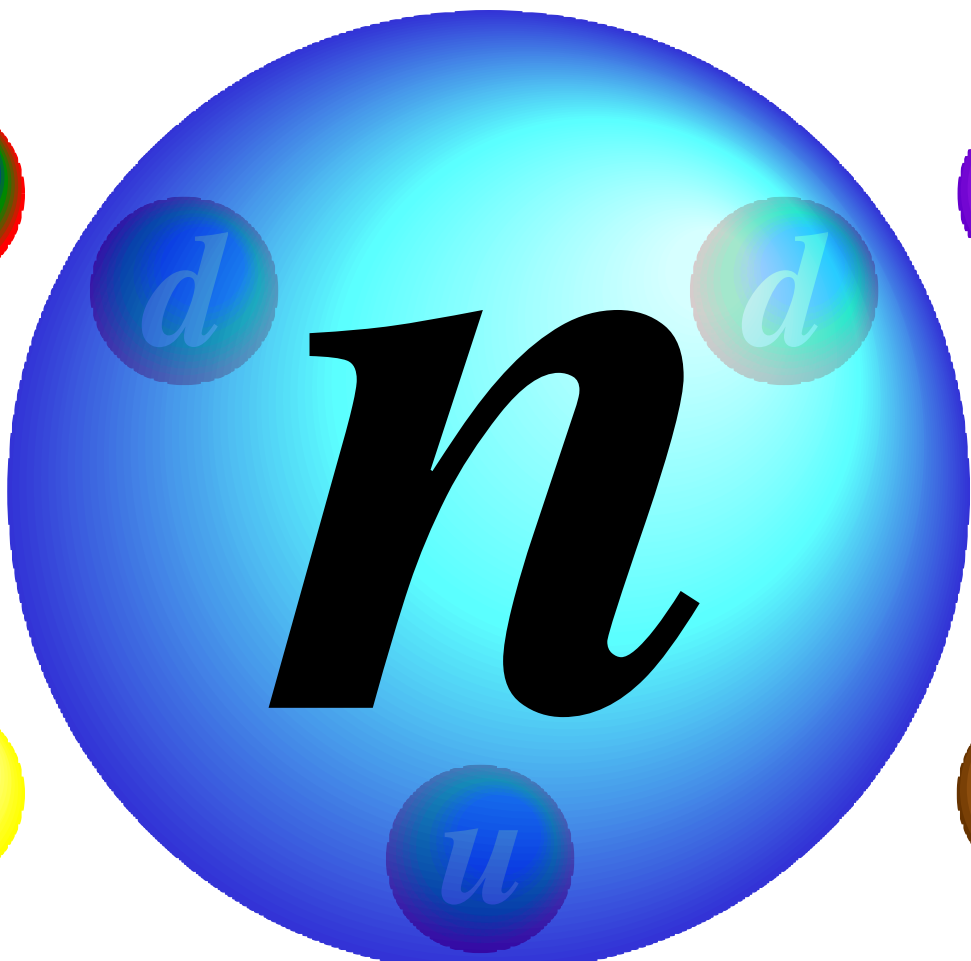
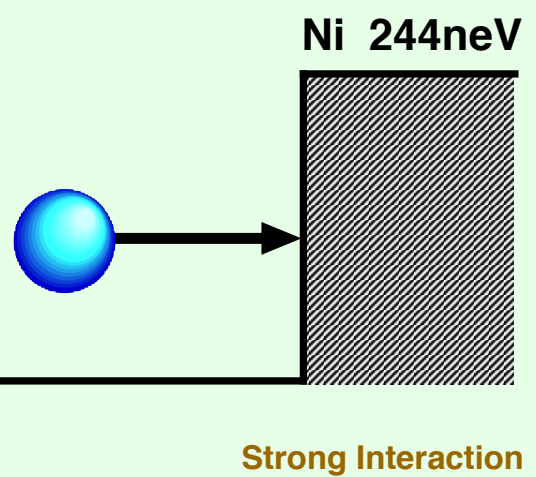
$$\Delta \phi = \int (\omega_+ - \omega_-) dt = \frac{2 d_n E T}{\hbar}$$

$$\Delta d_n = \frac{\hbar/2}{E T N^{1/2}}$$



Confined Ultracold Neutron Spin Precession Freq.

Ni 244neV

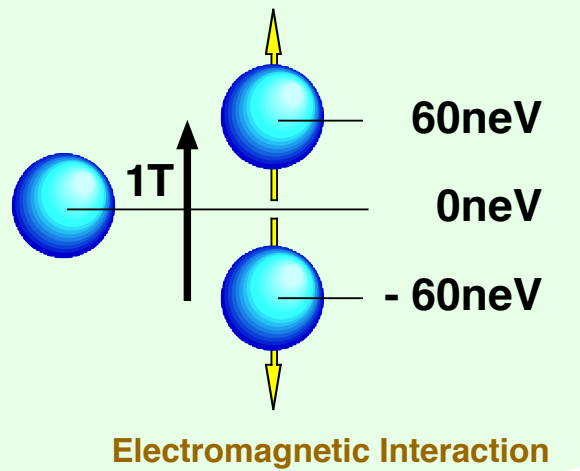


$\tau=885.7\text{s}$

Weak Interaction

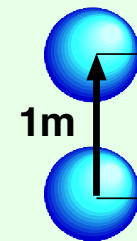
Strong Interaction

60neV
0neV
- 60neV

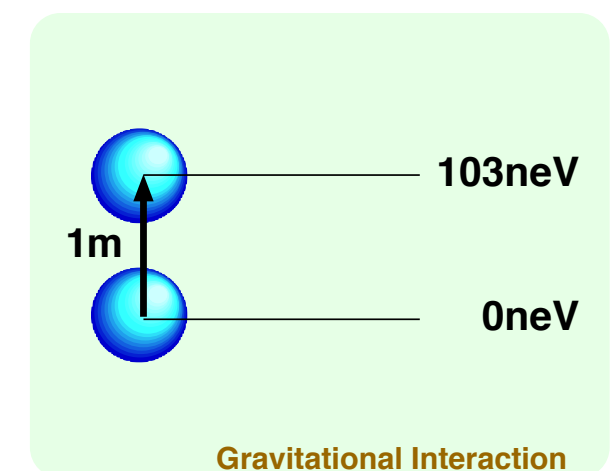
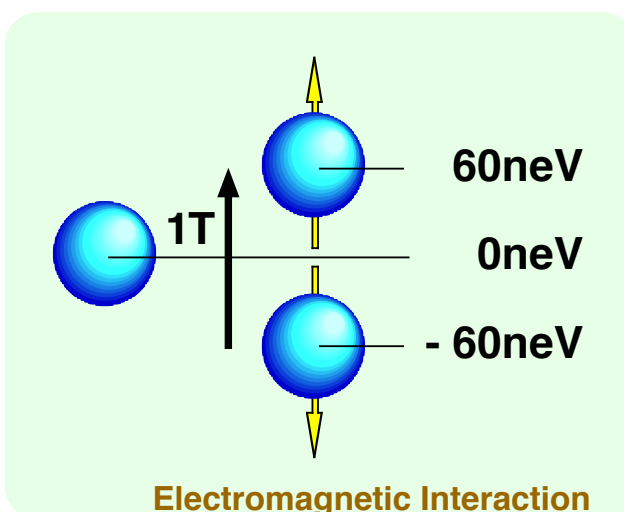
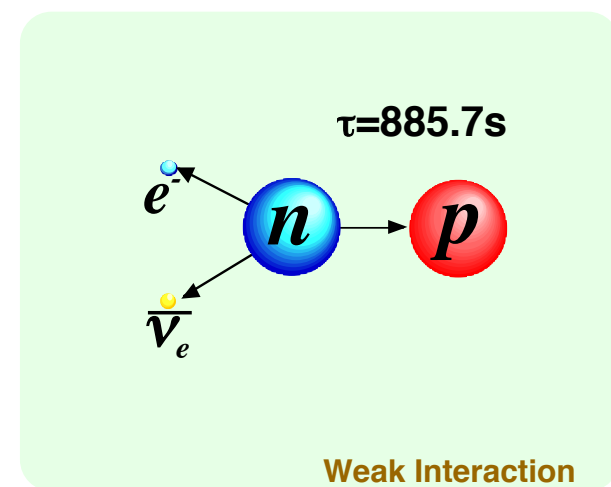
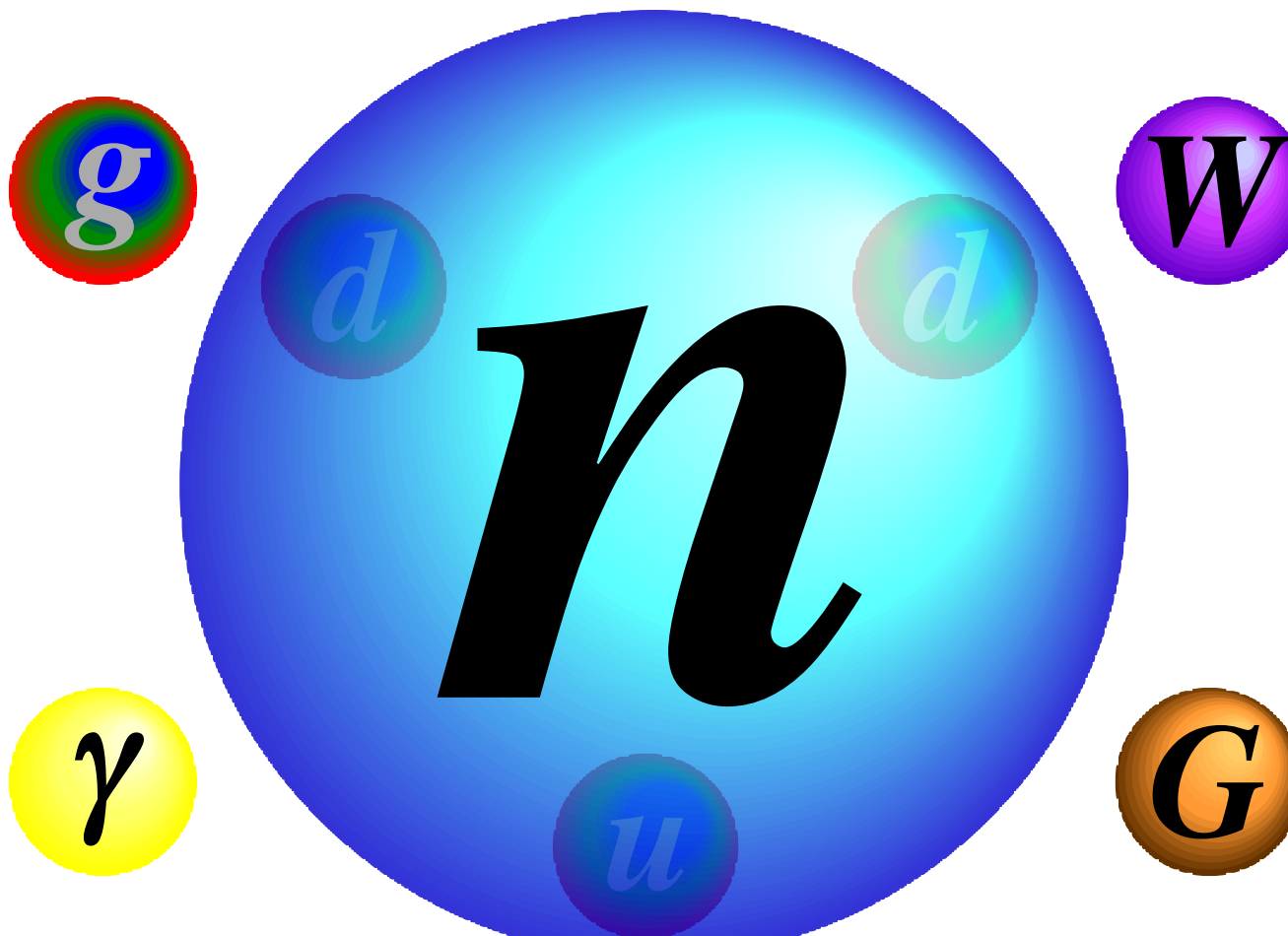
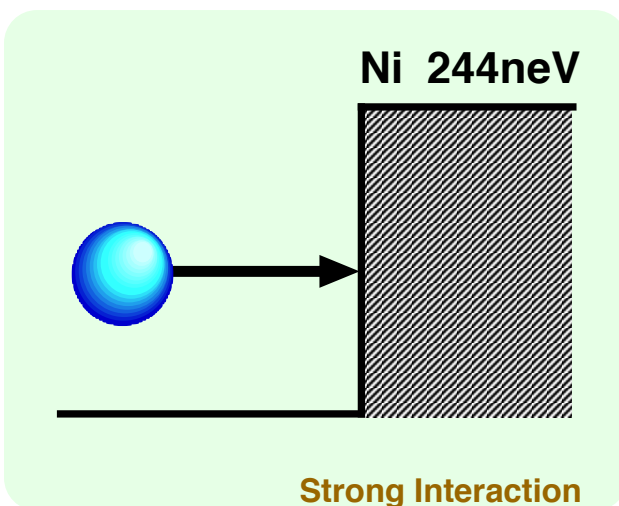


103neV
0neV

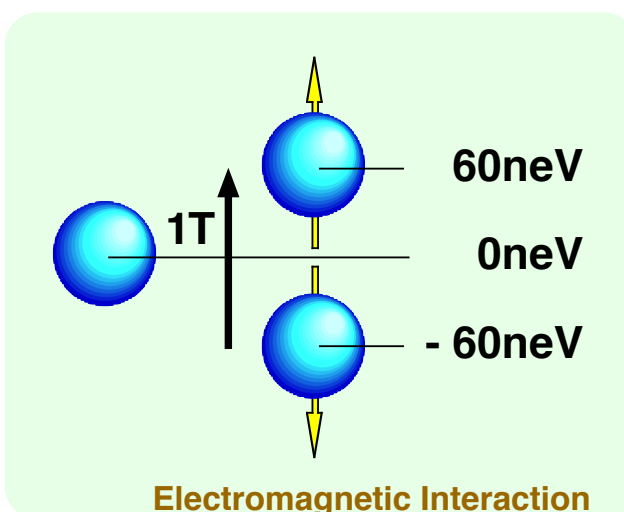
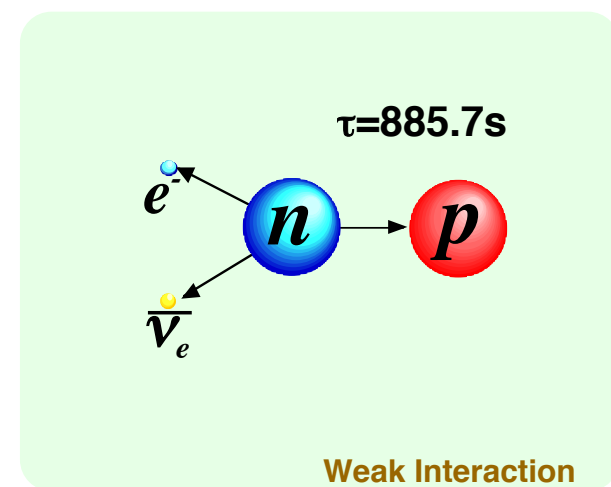
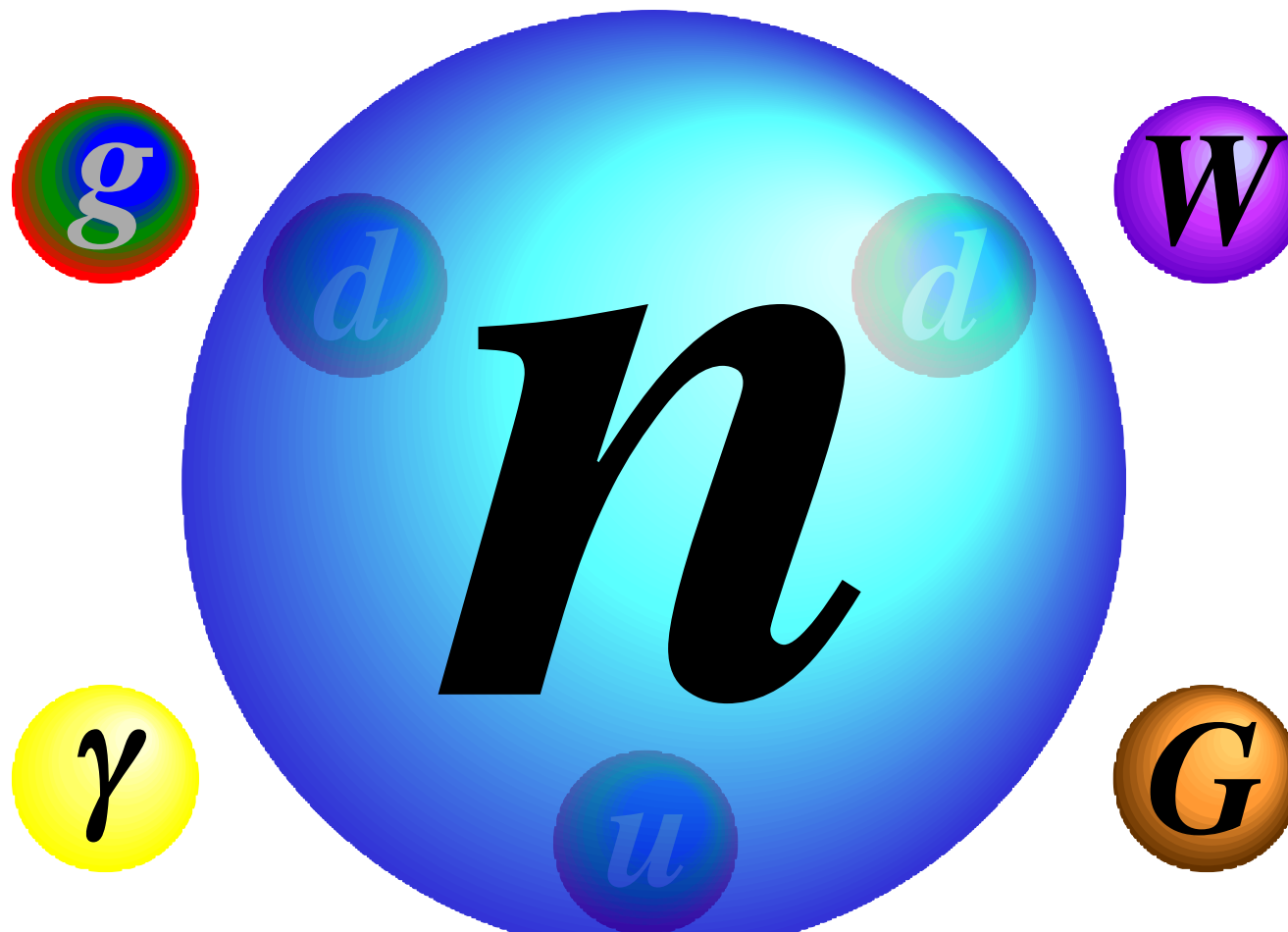
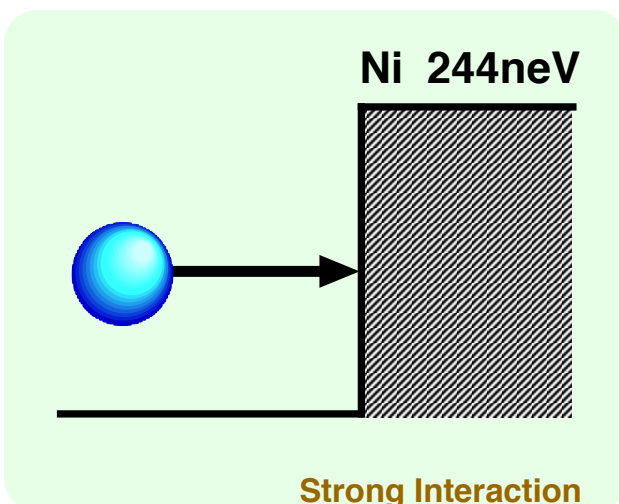
Gravitational Interaction



250neV 7m/s

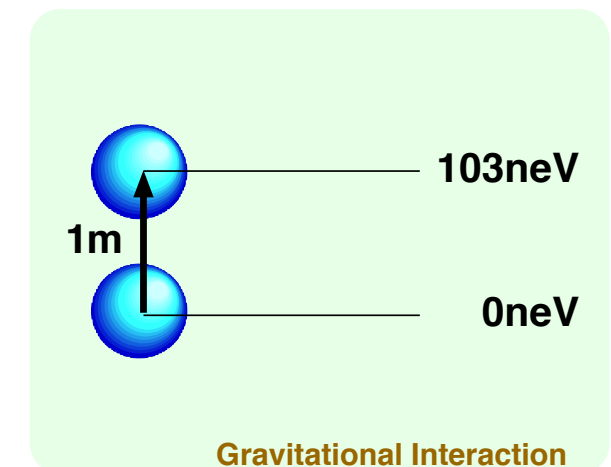
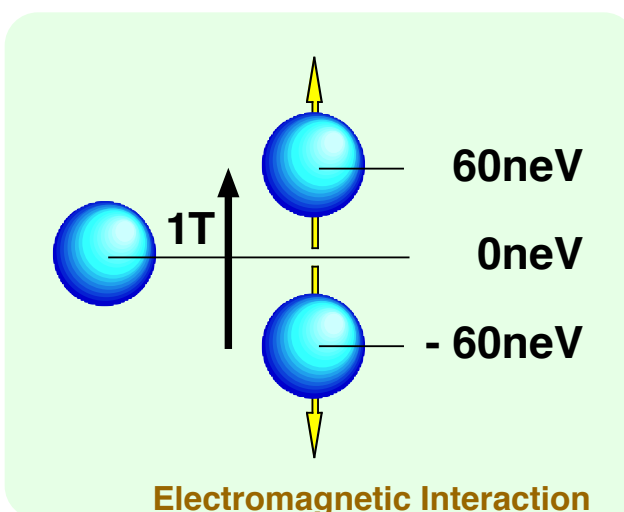
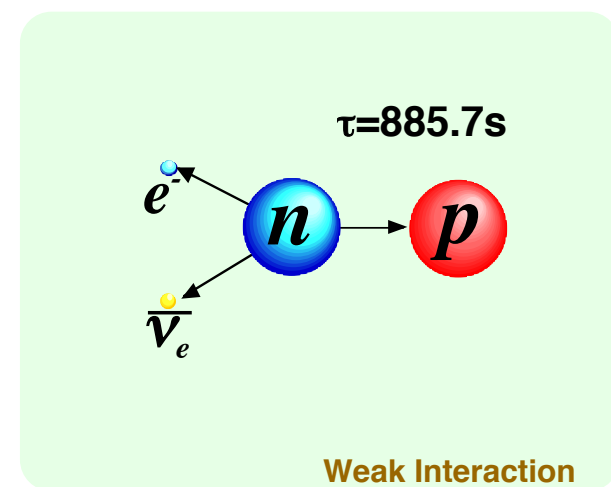
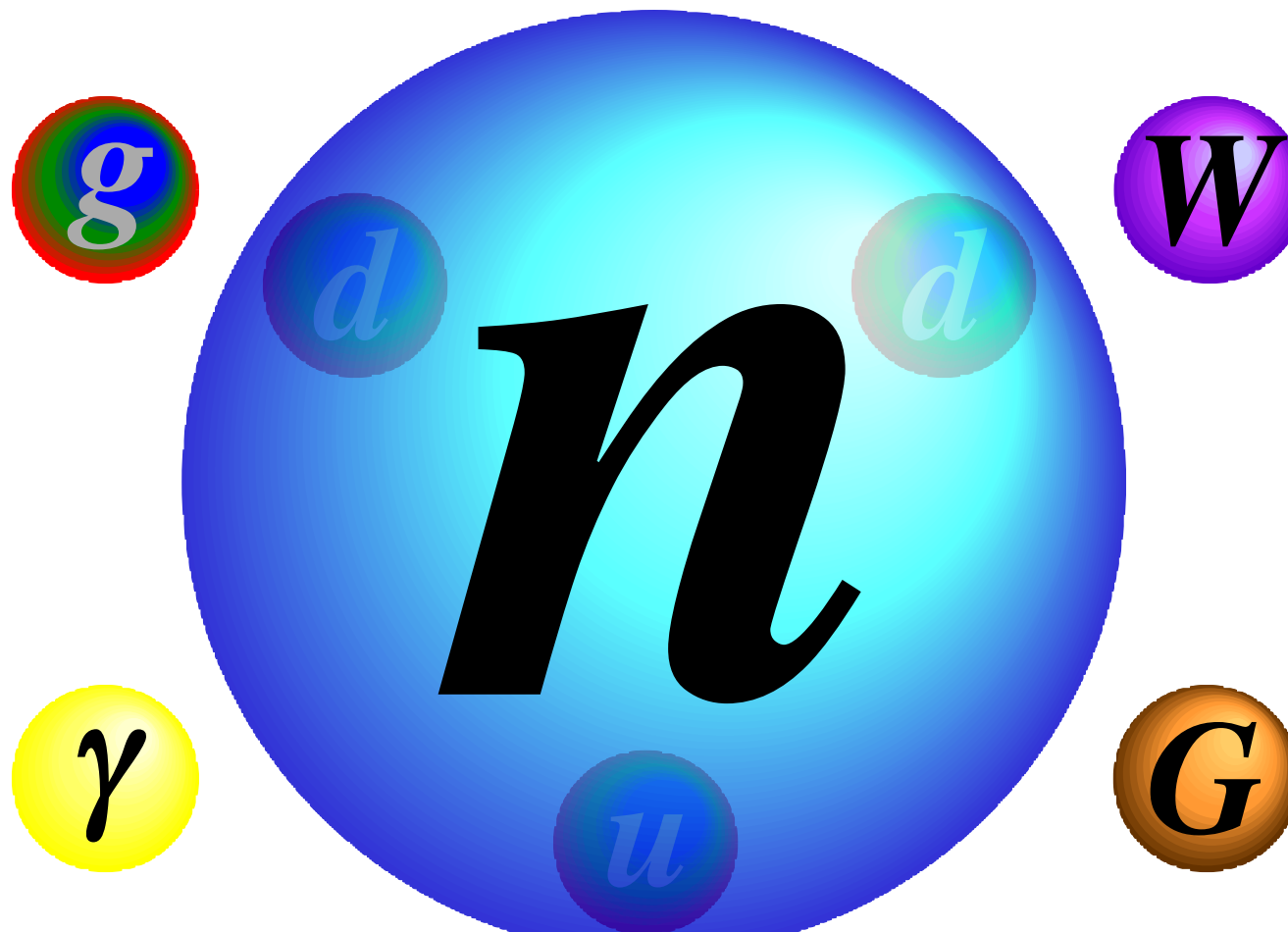
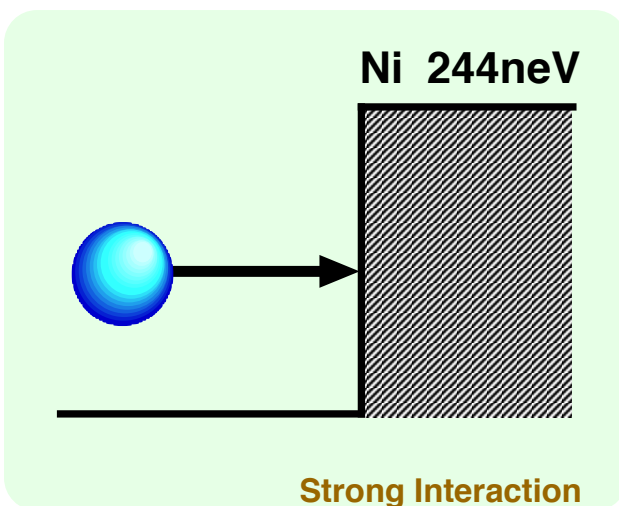


250neV 7m/s



Ultracold Neutron (UCN)

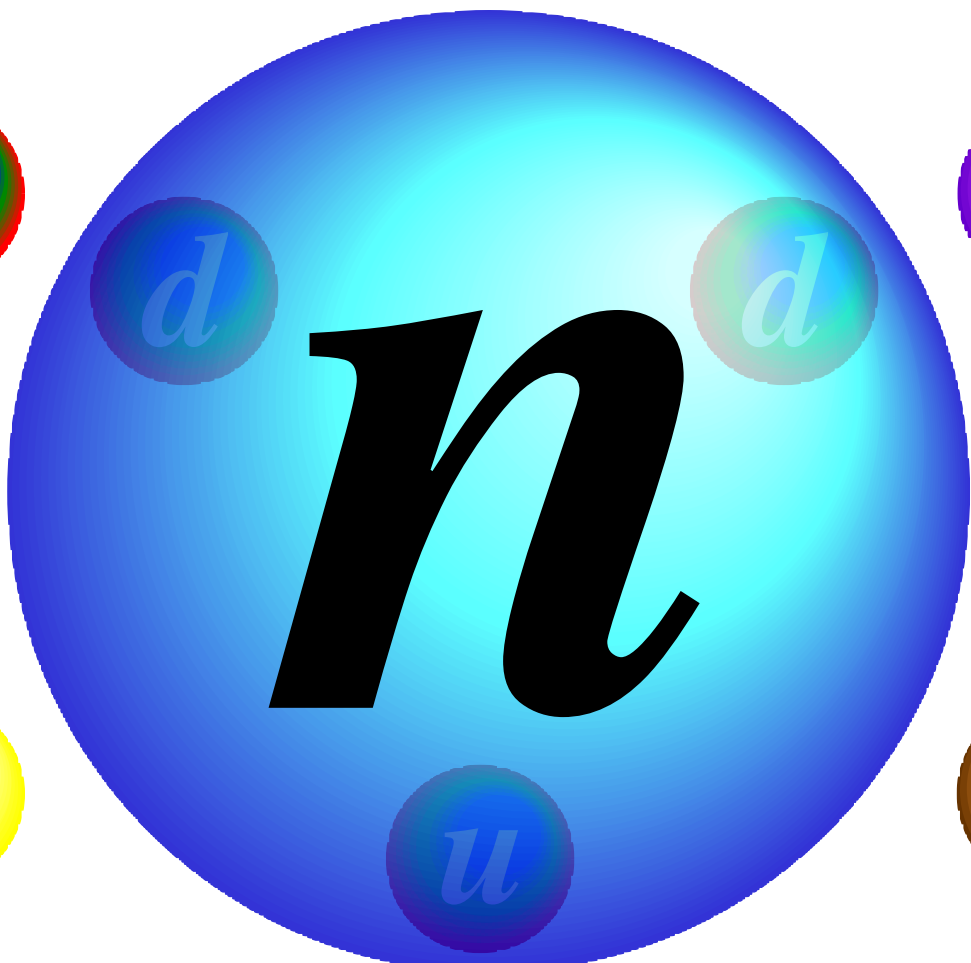
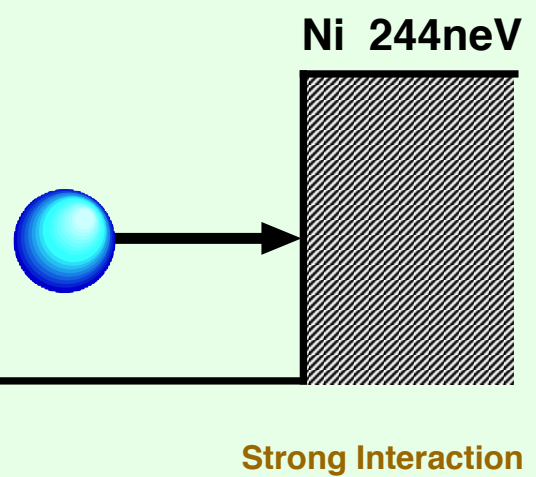
250neV 7m/s



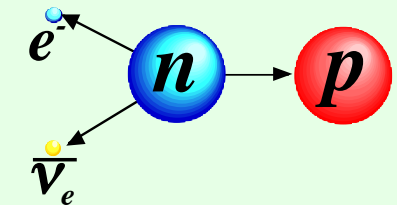
120neV/T

100neV/m

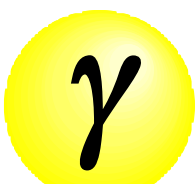
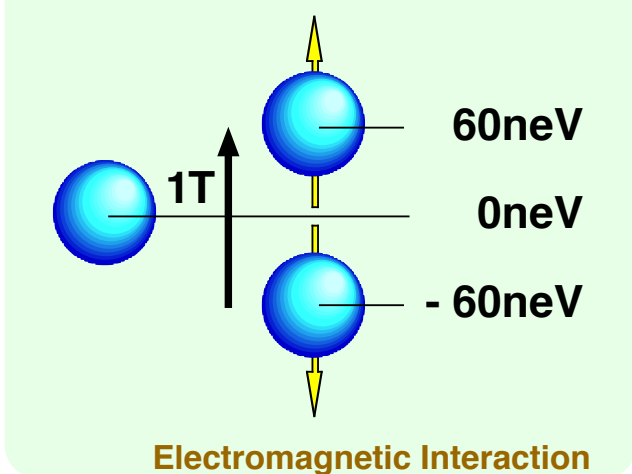
Ni 244neV



$\tau=885.7\text{s}$



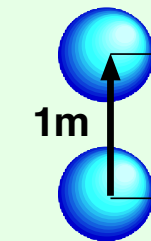
Weak Interaction



103neV

0neV

Gravitational Interaction



Neutron Fundamental Physics

TRIUMF: He-II UCN Source

UCN-EDM

Lifetime, Decay Correlations



NIST:

Lifetime, Decay Correlations

EDM in crystal field



LANL: D₂ UCN Source

UCN Decay Correlations

R&D for SNS-EDM

SNS:

Hadronic-weak Interaction

Lifetime, Decay Correlations

UCN-EDM(measurement in production volume)

PSI: D₂ UCN Source

UCN-EDM

Lifetime, Decay Correlations



ILL: Turbine UCN Source

EDM

Lifetime

Decay Correlations

He-II UCN Source

UCN-EDM

(measurement in production volume)

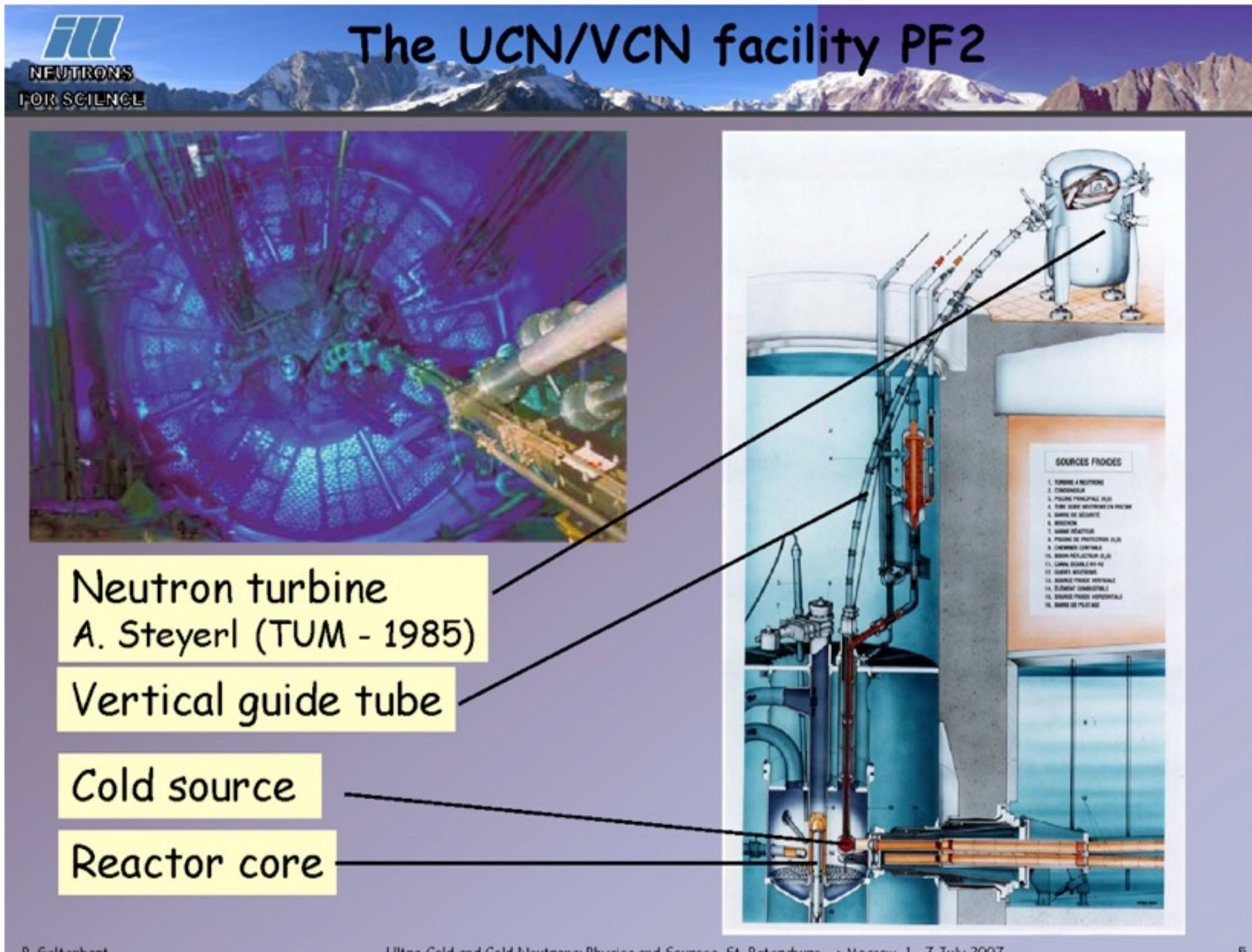


existing UCN facilities - ILL / LANL / Mainz I ~ 10¹

UCN facilities in construction - PSI / SNS / TUM ~ > 10³

UCN facilities planned - J-PARC / TRIUMF / NCSU

ILL-UCN (~ 10 UCN/cm³) gravity+mechanical turbine



P. Geltenbort

Ultra-Cold and Cold Neutrons: Physics and Sources, St. Petersburg --> Moscow, 1 - 7 July 2007

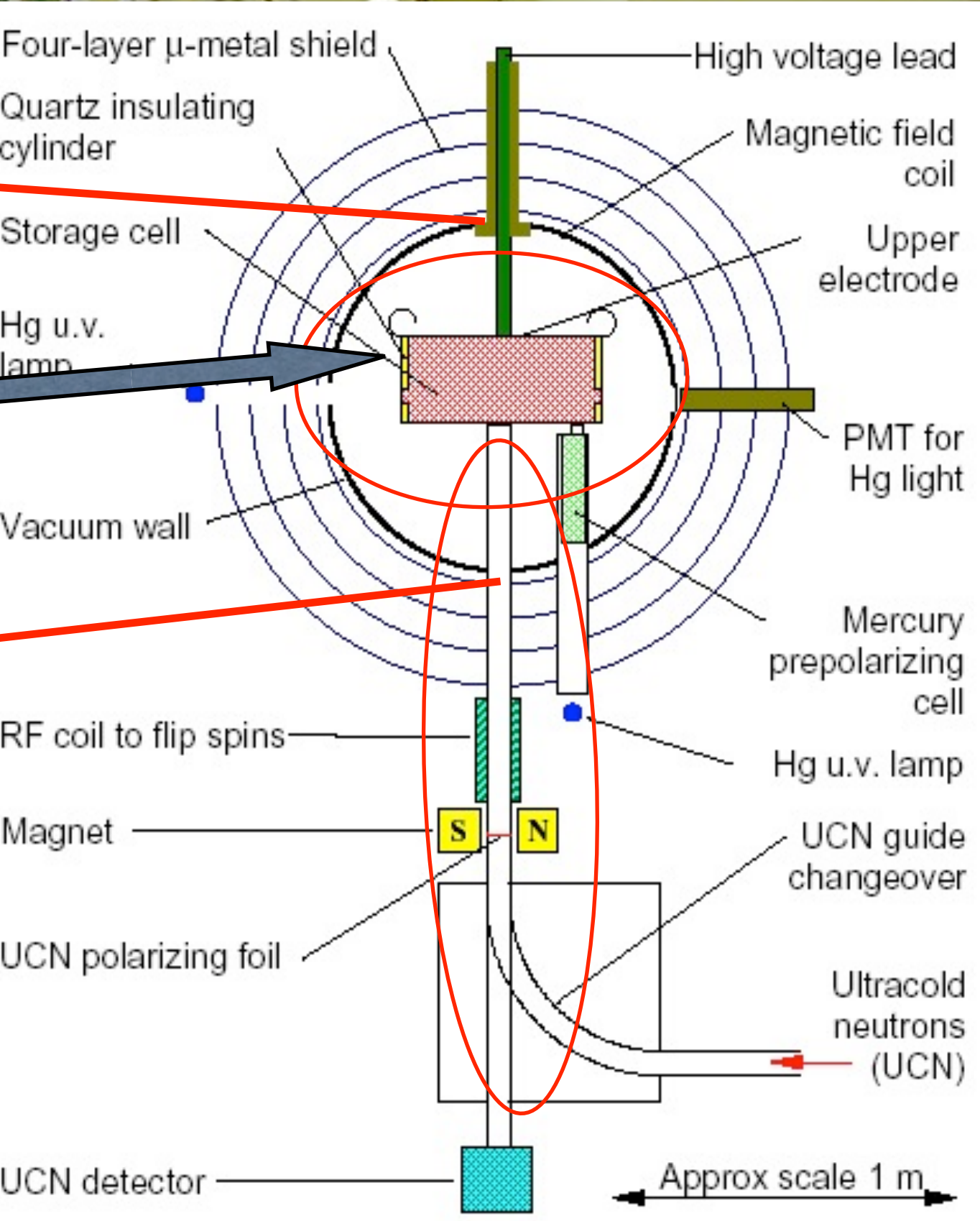
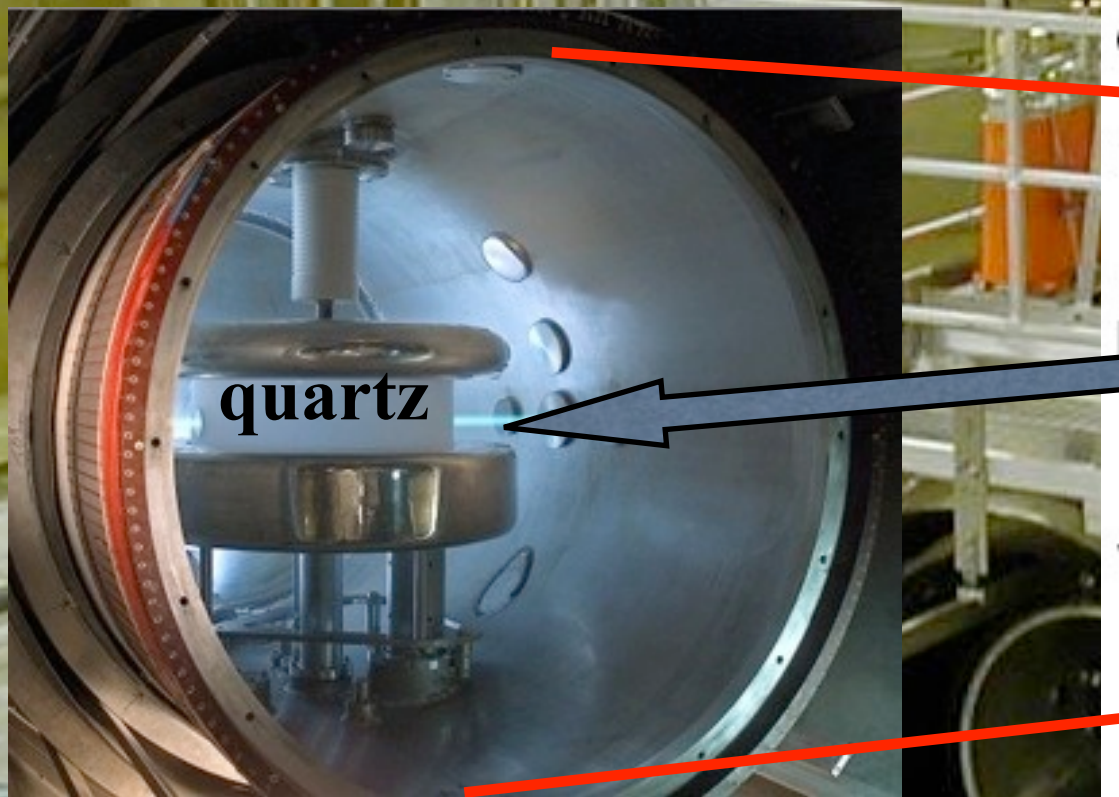
5

Date(2010/06/12) by(T.Yoshioka)

Title(Measurement of Neutron Electric Dipole Moment (J-PARC P33))

Conf(将来計画検討小委員会) At(Tokyo)

ILL EDM Measurement

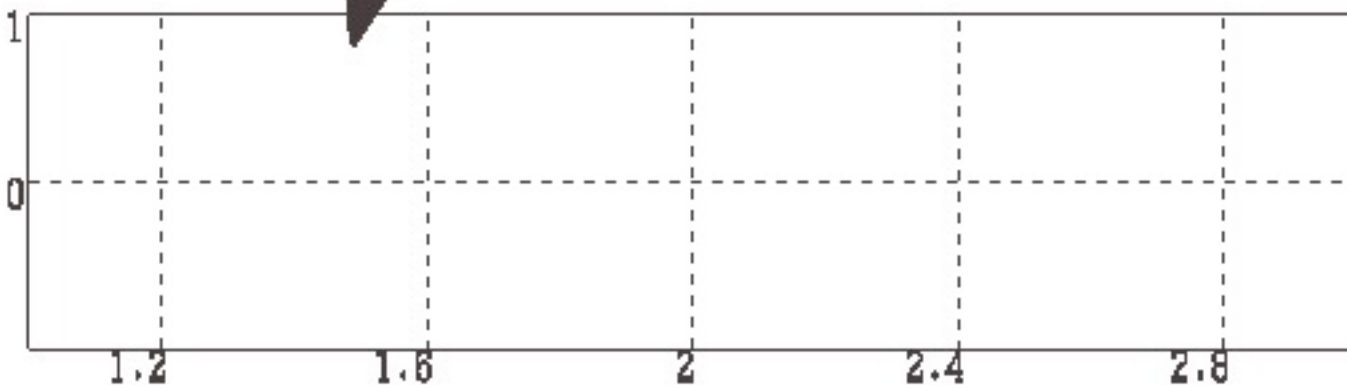
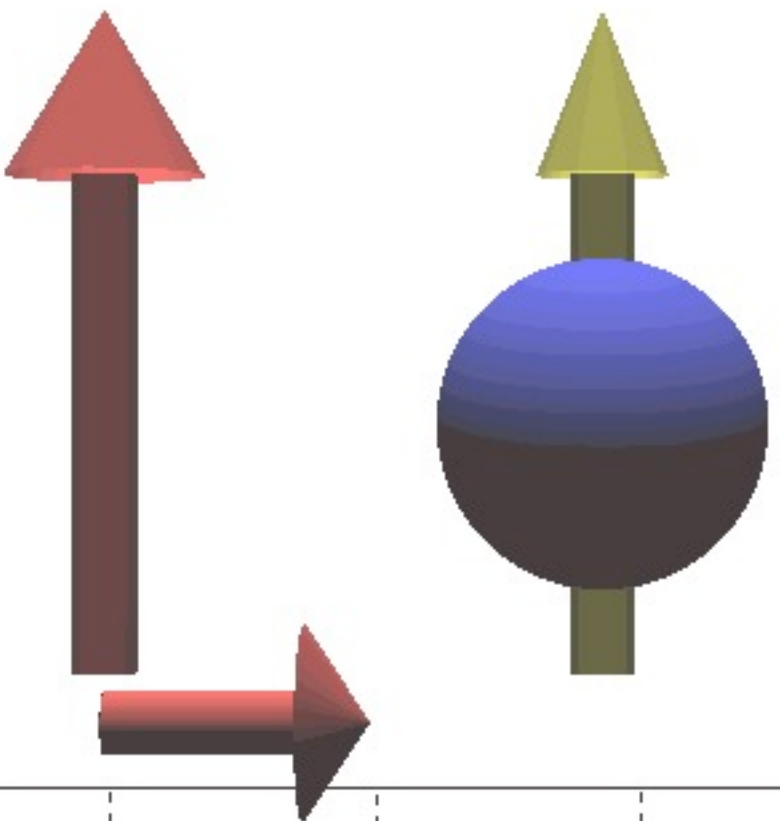


Measurement Procedure

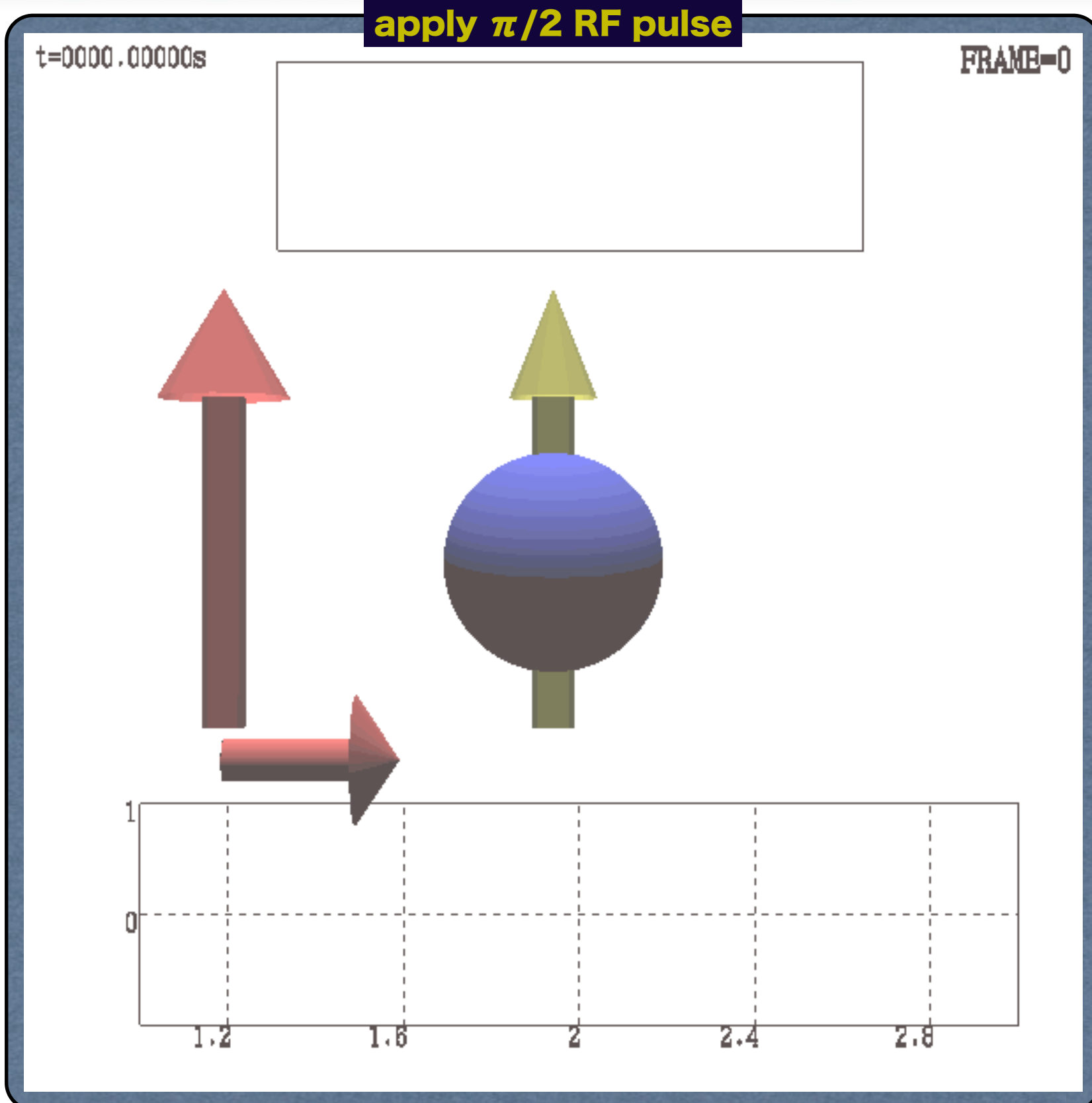
introduce polarized neutrons into the measurement cell

t=0000.00000s

FRAME=0



Measurement Procedure

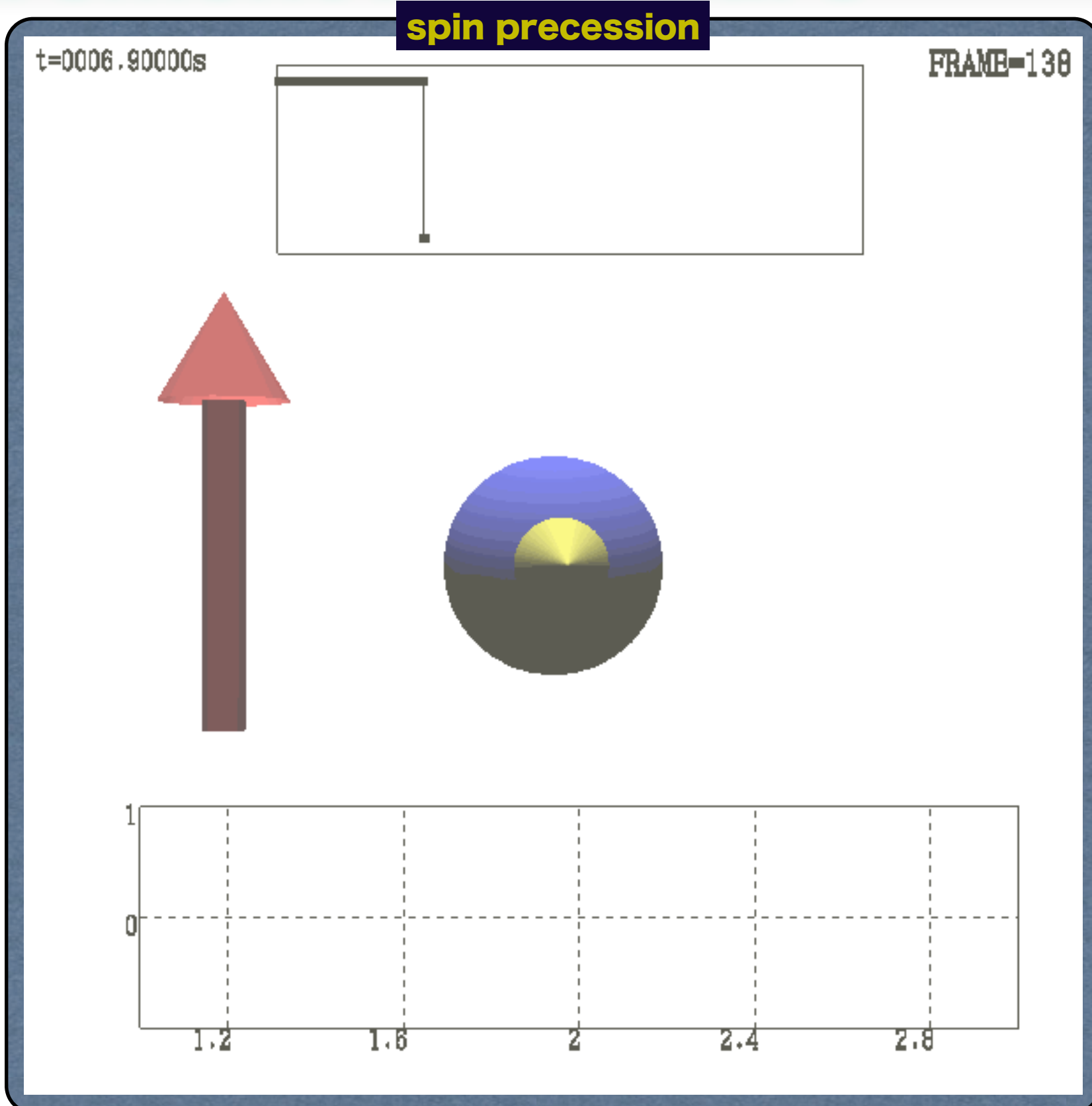


Date(2010/06/12) by(T.Yoshioka)

Title(Measurement of Neutron Electric Dipole Moment (J-PARC P33))

Conf(将来計画検討小委員会) At(Tokyo)

Measurement Procedure



Date(2010/06/12) by(T.Yoshioka)

Title(Measurement of Neutron Electric Dipole Moment (J-PARC P33))

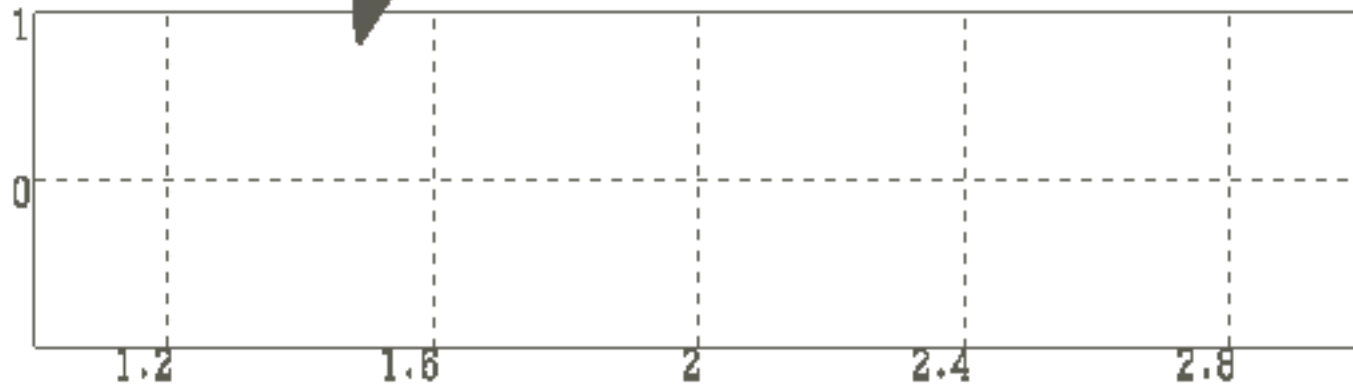
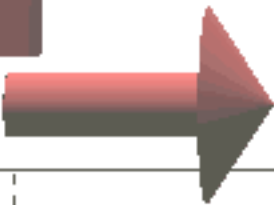
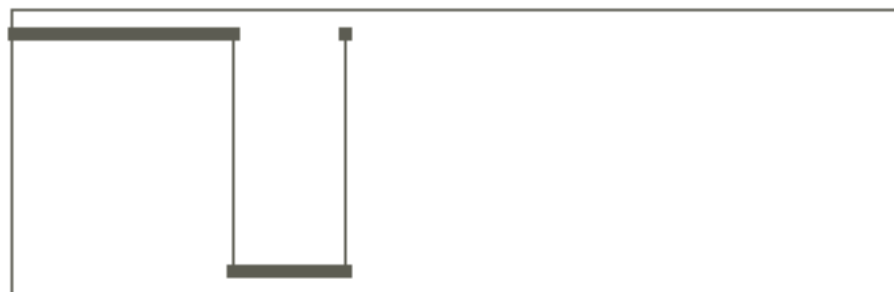
Conf(将来計画検討小委員会) At(Tokyo)

Measurement Procedure

apply another $\pi/2$ RF pulse and measure the polarization

t=0010.30000s

FRAME=206



Date(2010/06/12) by(T.Yoshioka)

Title(Measurement of Neutron Electric Dipole Moment (J-PARC P33))

Conf(将来計画検討小委員会) At(Tokyo)

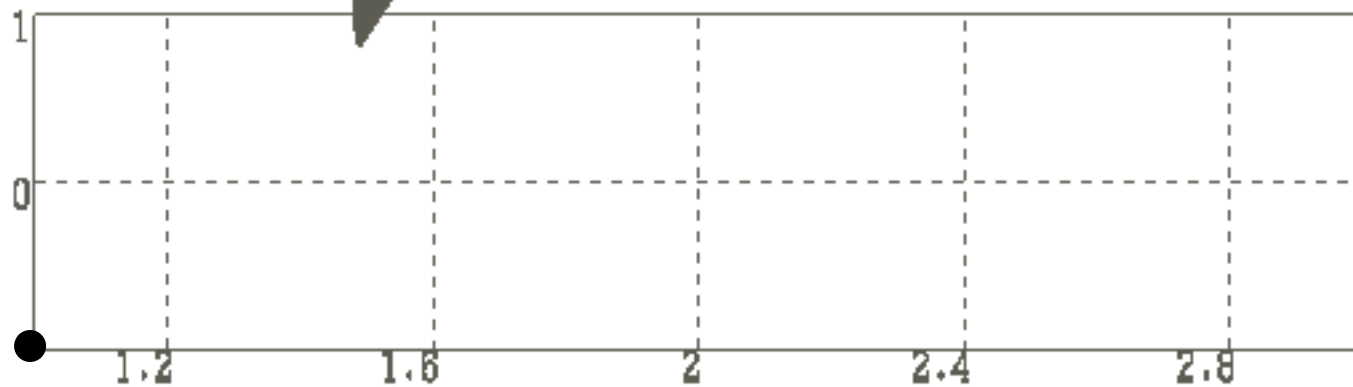
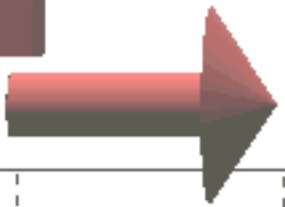
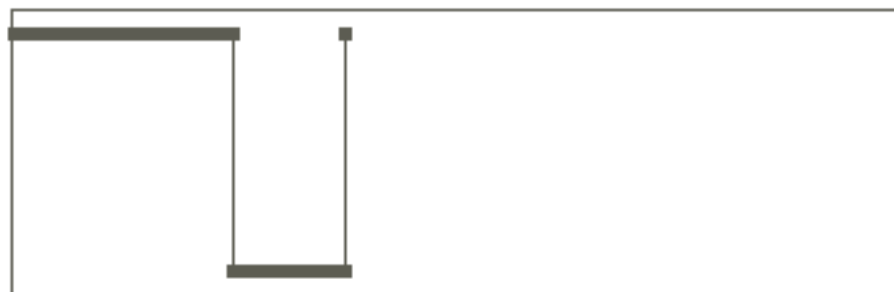


Measurement Procedure

apply another $\pi/2$ RF pulse and measure the polarization

t=0010.30000s

FRAME=206



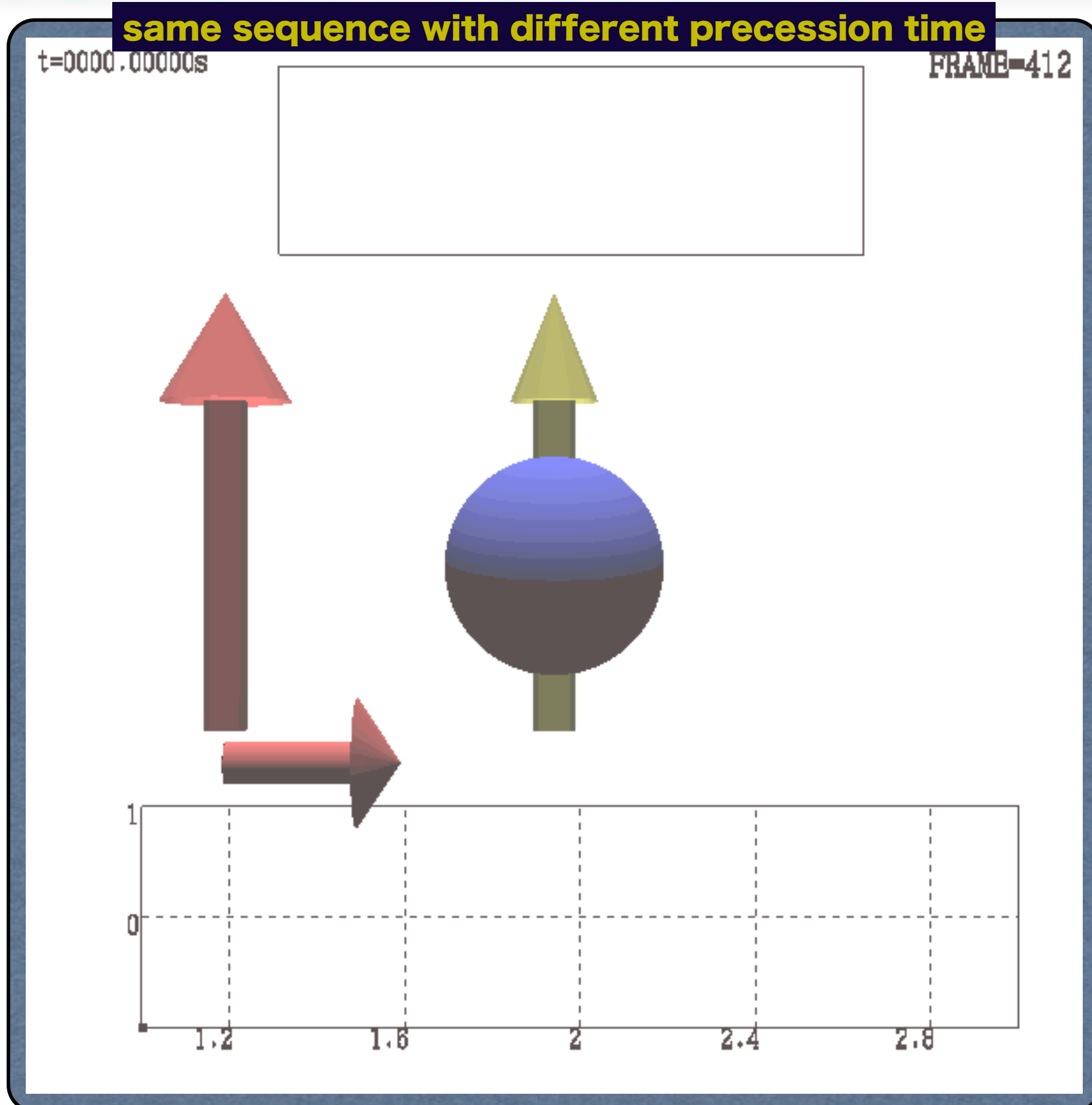
Date(2010/06/12) by(T.Yoshioka)

Title(Measurement of Neutron Electric Dipole Moment (J-PARC P33))

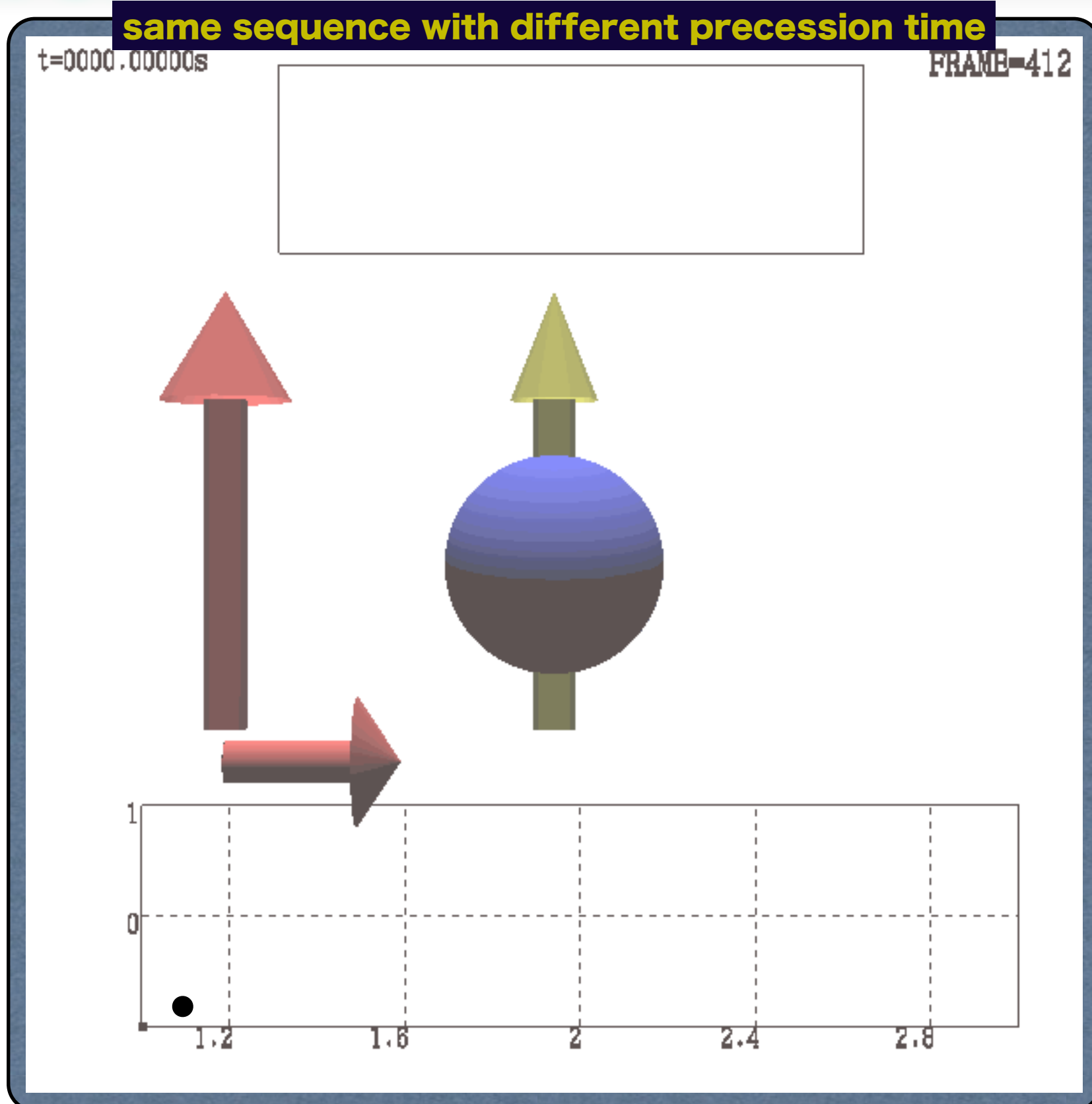
Conf(将来計画検討小委員会) At(Tokyo)



Measurement Procedure



Measurement Procedure

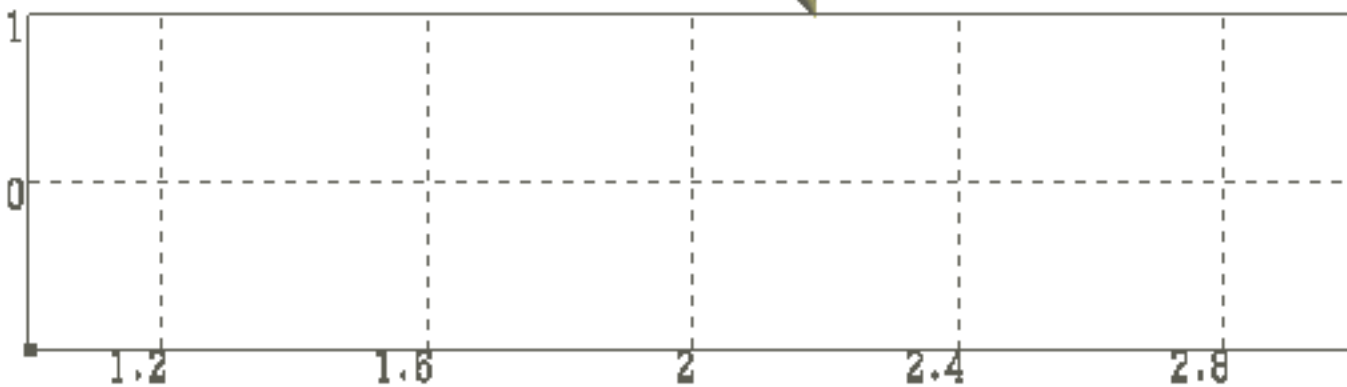
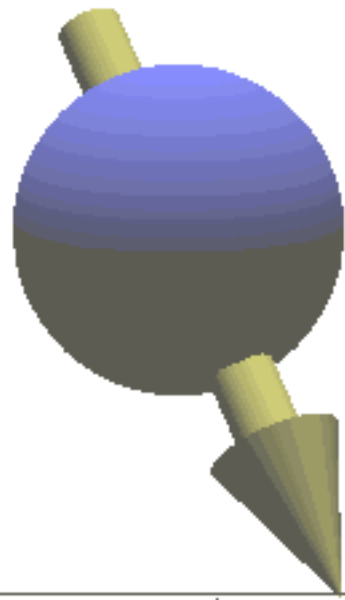
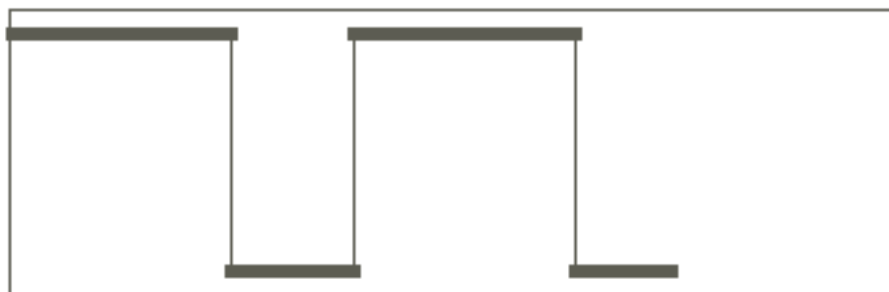


Measurement Procedure

repeat the sequence to calibrate the resonance location

t=0020.50000s

FRAME=83



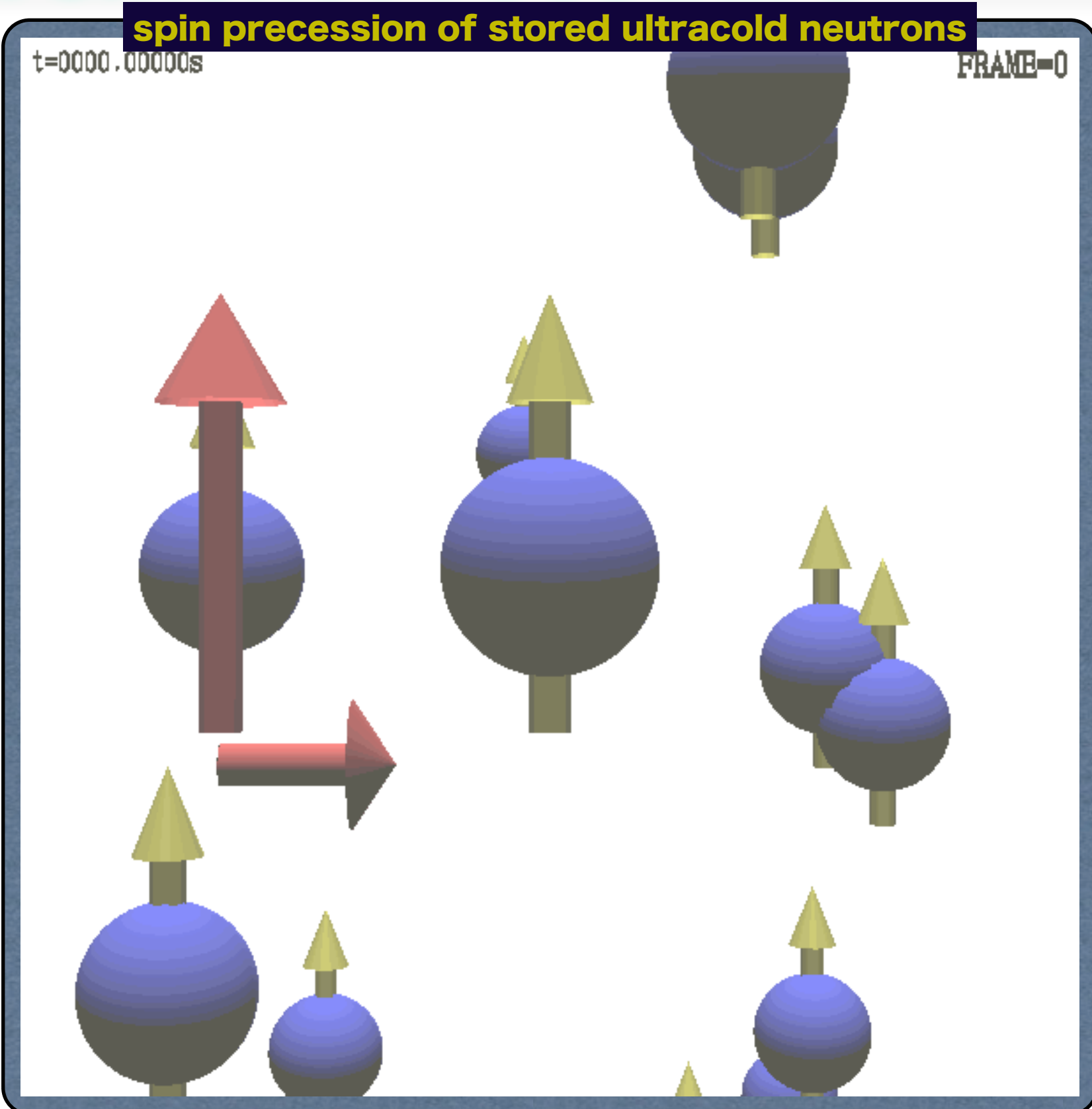
Date(2010/06/12) by(T.Yoshioka)

Title(Measurement of Neutron Electric Dipole Moment (J-PARC P33))

Conf(将来計画検討小委員会) At(Tokyo)



Measurement Procedure

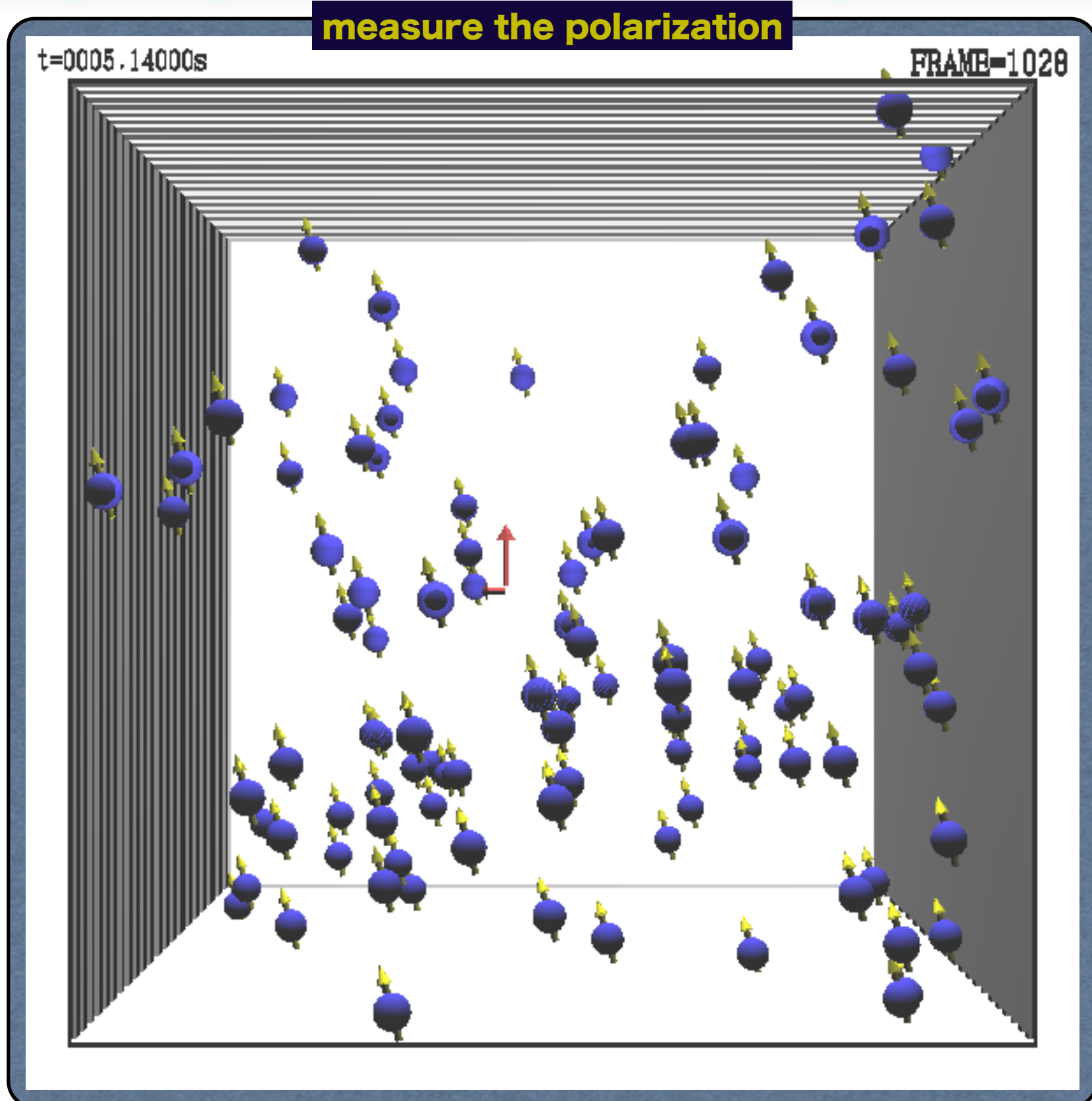


Date(2010/06/12) by(T.Yoshioka)

Title(Measurement of Neutron Electric Dipole Moment (J-PARC P33))

Conf(将来計画検討小委員会) At(Tokyo)

Measurement Procedure

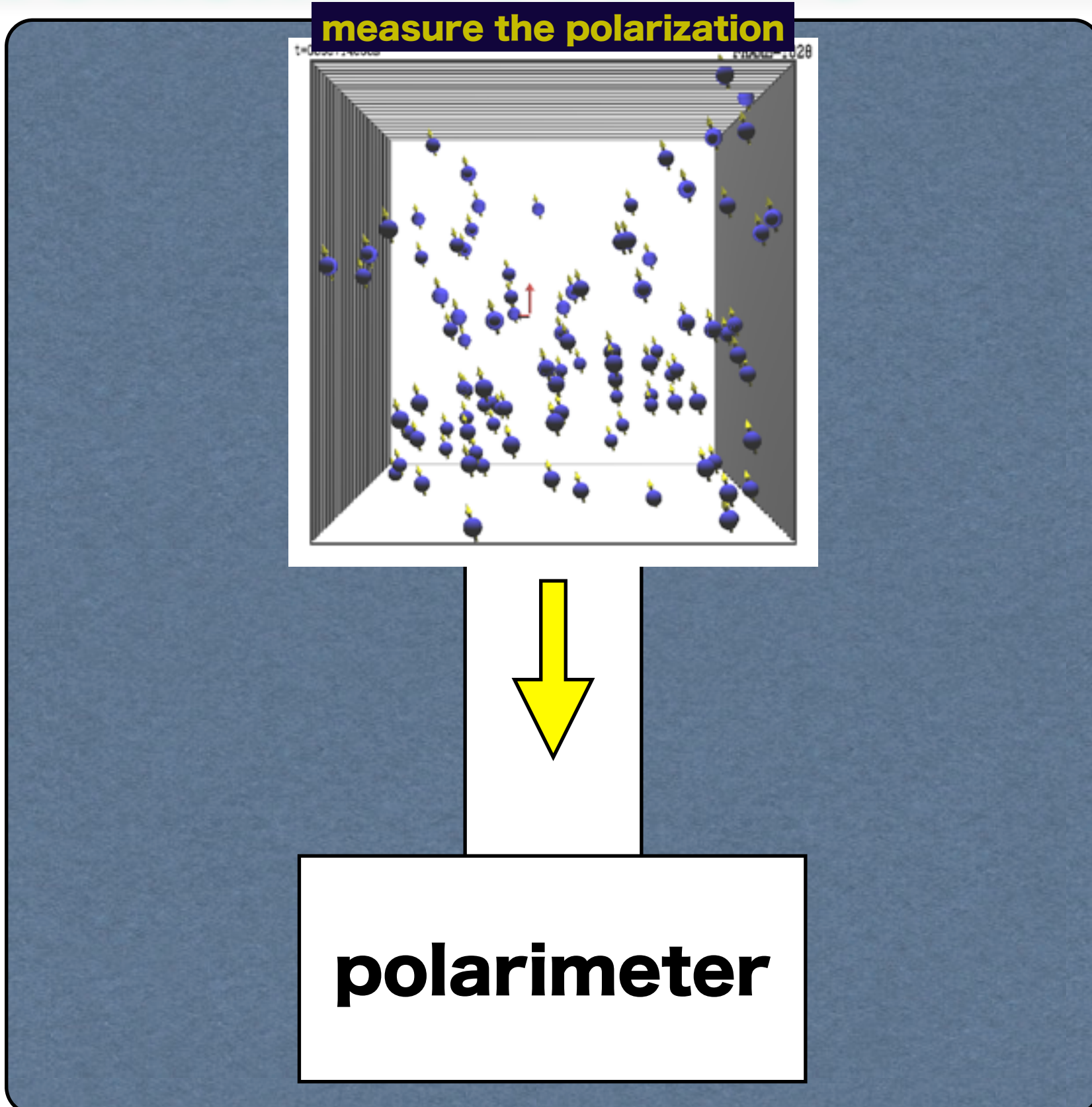


Date(2010/06/12) by(T.Yoshioka)

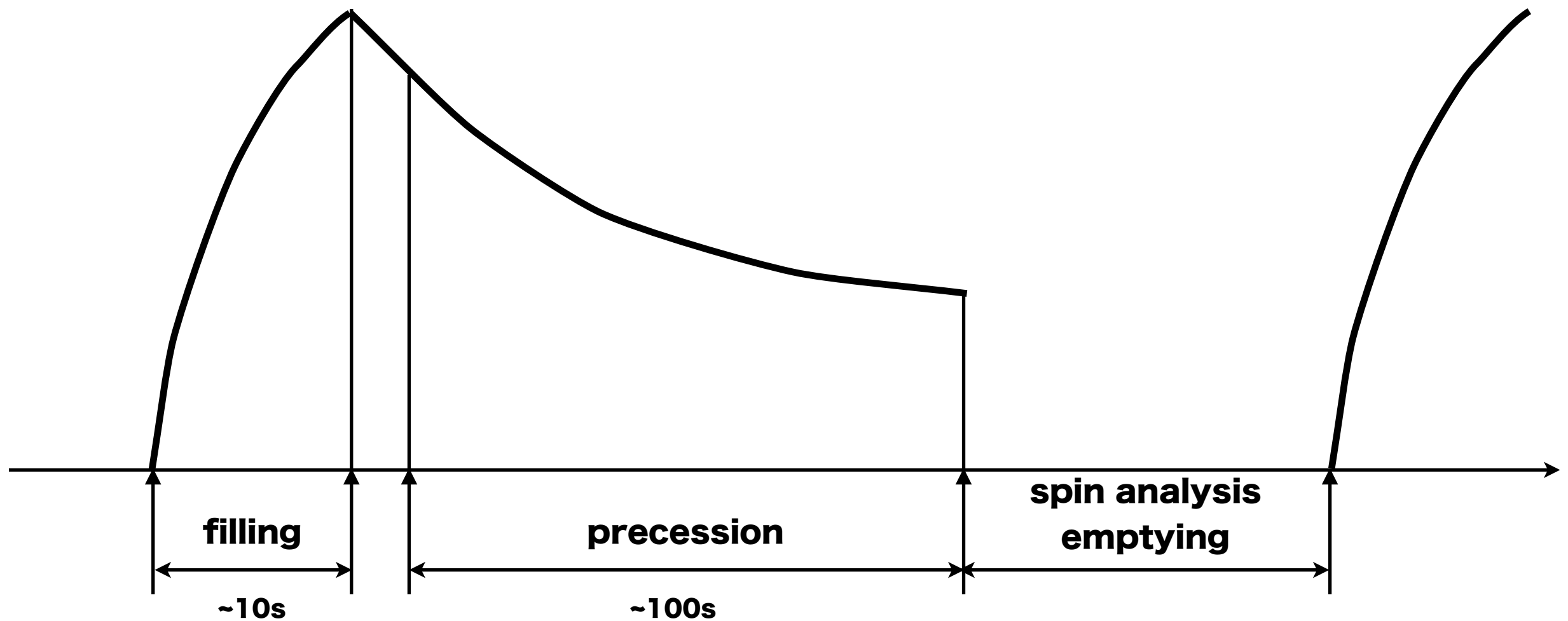
Title(Measurement of Neutron Electric Dipole Moment (J-PARC P33))

Conf(将来計画検討小委員会) At(Tokyo)

Measurement Procedure



Measurement Procedure



Statistical Errors

$$\Delta d_n = \frac{\hbar/2}{ET N^{1/2}} \quad (\text{is minimum at } T=2\tau \text{ (storage lifetime)})$$

L: measurement cell size (volume=L³)

large L

$$N \propto L^3$$

wall reflection rate $\propto L^{-1}$

v_{max}: maximum velocity of stored UCN

large v_{max}

$$N \propto v_{max}^3$$

reflection loss $\propto v^{3-r}$

ρ_0 : UCN spatial density for |v_{max}|=7m/s

large ρ_0

$$N \propto \rho_0$$

longer T decreases the repetition rate of measurement cycle

larger storage volume faster UCN

denser UCN

$$(\Delta d_n)_{stat} \propto L^{-2} v_{max}^{-(r+3)/2} \rho_0^{-1/2}$$



Statistical Errors

$$\Delta d_n = \frac{\hbar/2}{ET N^{1/2}} \quad (\text{is minimum at } T=2\tau \text{ (storage lifetime)})$$

L: measurement cell size (volume=L³)

large L

$$N \propto L^3$$

wall reflection rate $\propto L^{-1}$

v_{max}: maximum velocity of stored UCN

large v_{max}

$$N \propto v_{max}^3$$

reflection loss $\propto v^{3-r}$

ρ_0 : UCN spatial density for |v_{max}|=7m/s

large ρ_0

$$N \propto \rho_0$$

longer T decreases the repetition rate of measurement cycle

larger storage volume faster UCN

denser UCN

$$(\Delta d_n)_{\text{stat}} \propto L^{-2} v_{max}^{-(r+3)/2} \rho_0^{-1/2}$$



Systematic Errors

	Effect	Correction	$(\Delta d_n)_{\text{syst}}$	dependence
(1)	Door cavity dipole	-5.6	2.0	$\propto R^2 H$
(2)	Other dipole fields	0.0	6.0	$\propto R^2 H$
(3)	Quadrupole difference	-1.3	2.0	$\propto R^2 H$
(4)	$v \times E$ (translational)	0.0	0.03	
(5)	$v \times E$ (rotational)	0.0	1.00	$\propto R$
(6)	Second-order $v \times E$	0.0	0.02	$\propto v^2$
(7)	ν_{Hg} light shift (geo phase)	3.5	0.8	$\propto R^2$
(8)	ν_{Hg} light shift (direct)	0.0	0.2	
(9)	Uncompensated B drift	0.0	2.6	$\propto H$
(10)	Hg atom EDM	0.02	0.06	
(11)	Electric forces	0.0	0.4	$\propto (R^2 H)^{1/3}$
(12)	Leakage currents	0.0	0.1	$\propto H/R$
(13)	ac fields	0.0	0.01	
	Total	-3.4	7.2	

$\propto V$

$\propto V_{\text{max}}$

$\propto R, H, V^{1/3}$

smaller storage volume slower UCN



Statistics Systematics

larger storage volume

smaller storage volume

faster UCN

slower UCN

denser UCN



Date(2010/06/12) by(T.Yoshioka)

Title(Measurement of Neutron Electric Dipole Moment (J-PARC P33))

Conf(将来計画検討小委員会) At(Tokyo)

Statistics Systematics

larger storage volume

smaller storage volume

faster UCN

slower UCN

denser UCN

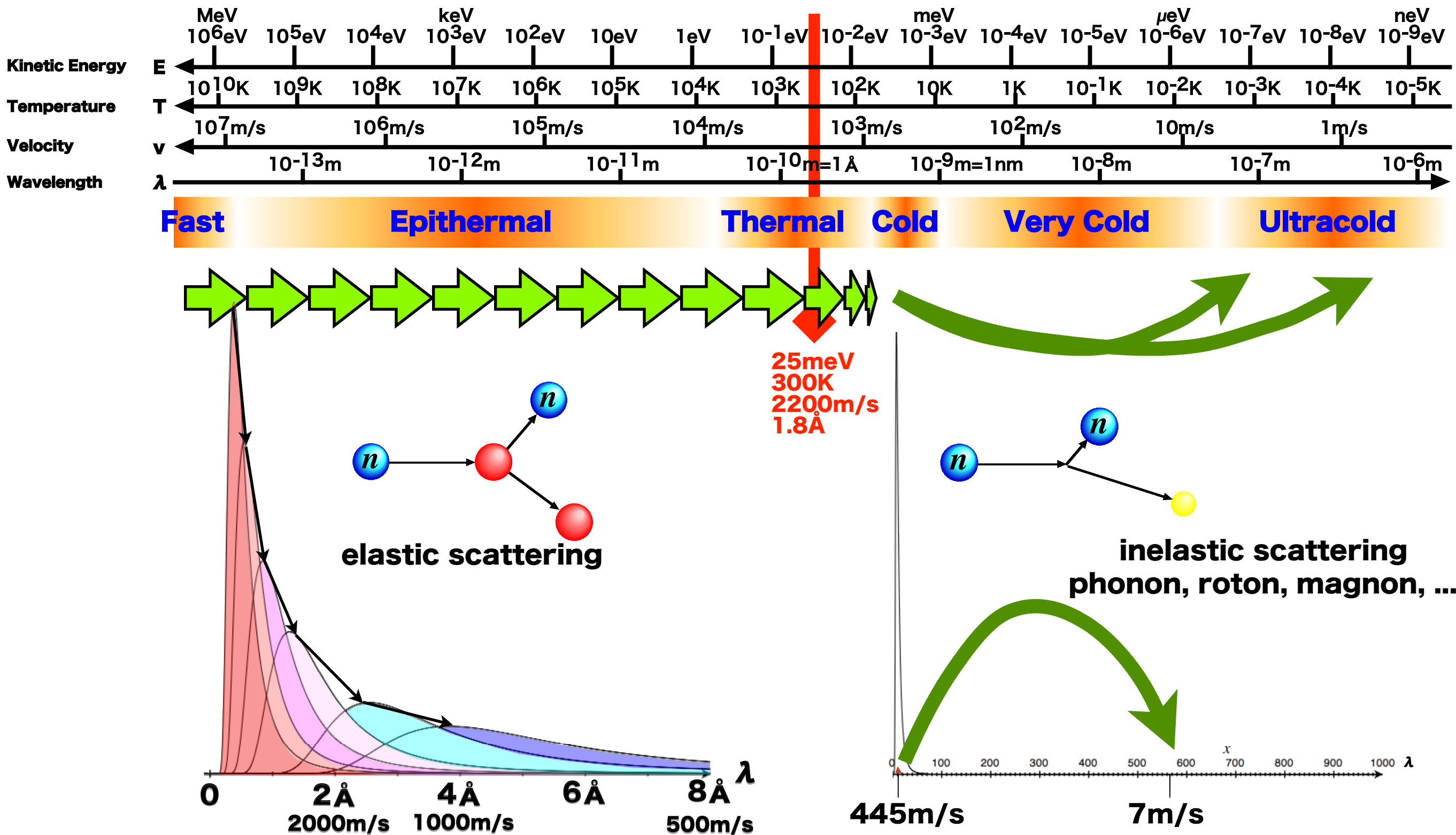


Date(2010/06/12) by(T.Yoshioka)

Title(Measurement of Neutron Electric Dipole Moment (J-PARC P33))

Conf(将来計画検討小委員会) At(Tokyo)

Superthermal UCN Production



Superthermal UCN Converters

C.-Y.Liu, Dissertation, Princeton Univ. (2002)

converter	He-II	Solid ortho-D ₂	α -O ₂
interaction	phonon	phonon	magnon?
converter temperature	0.7K	5K	2K
optimal neutron temperature	9K	29K	12K
production rate (30K neutrons)	$90 \times 10^{-11} \Phi_0 \text{ cm}^{-3} \text{ s}^{-1}$	$1300 \times 10^{-11} \Phi_0 \text{ cm}^{-3} \text{ s}^{-1}$	$\sim 1000 \times 10^{-11} \Phi_0 \text{ cm}^{-3} \text{ s}^{-1}$
ideal lifetime (no wall loss, no upscattering)	886 s	146 ms	489 ms

$$\rho_{UCN} = 10^{-11} \Phi_0$$

(thermal moderator)



Date(2010/06/12) by(T.Yoshioka)

Title(Measurement of Neutron Electric Dipole Moment (J-PARC P33))

Conf(将来計画検討小委員会) At(Tokyo)



Superthermal UCN Converters

C.-Y.Liu, Dissertation, Princeton Univ. (2002)

converter	He-II	Solid ortho-D ₂	α -O ₂
interaction	phonon	phonon	magnon?
converter temperature	0.7K	5K	2K
optimal neutron temperature	9K	29K	12K
production rate (30K neutrons)	$90 \times 10^{-11} \Phi_0 \text{ cm}^{-3} \text{ s}^{-1}$	$1300 \times 10^{-11} \Phi_0 \text{ cm}^{-3} \text{ s}^{-1}$	$\sim 1000 \times 10^{-11} \Phi_0 \text{ cm}^{-3} \text{ s}^{-1}$
ideal lifetime (no wall loss, no upscattering)	886 s	146 ms	489 ms

low loss

large production rate

$$\rho_{UCN} = 10^{-11} \Phi_0$$

(thermal moderator)



Date(2010/06/12) by(T.Yoshioka)

Title(Measurement of Neutron Electric Dipole Moment (J-PARC P33))

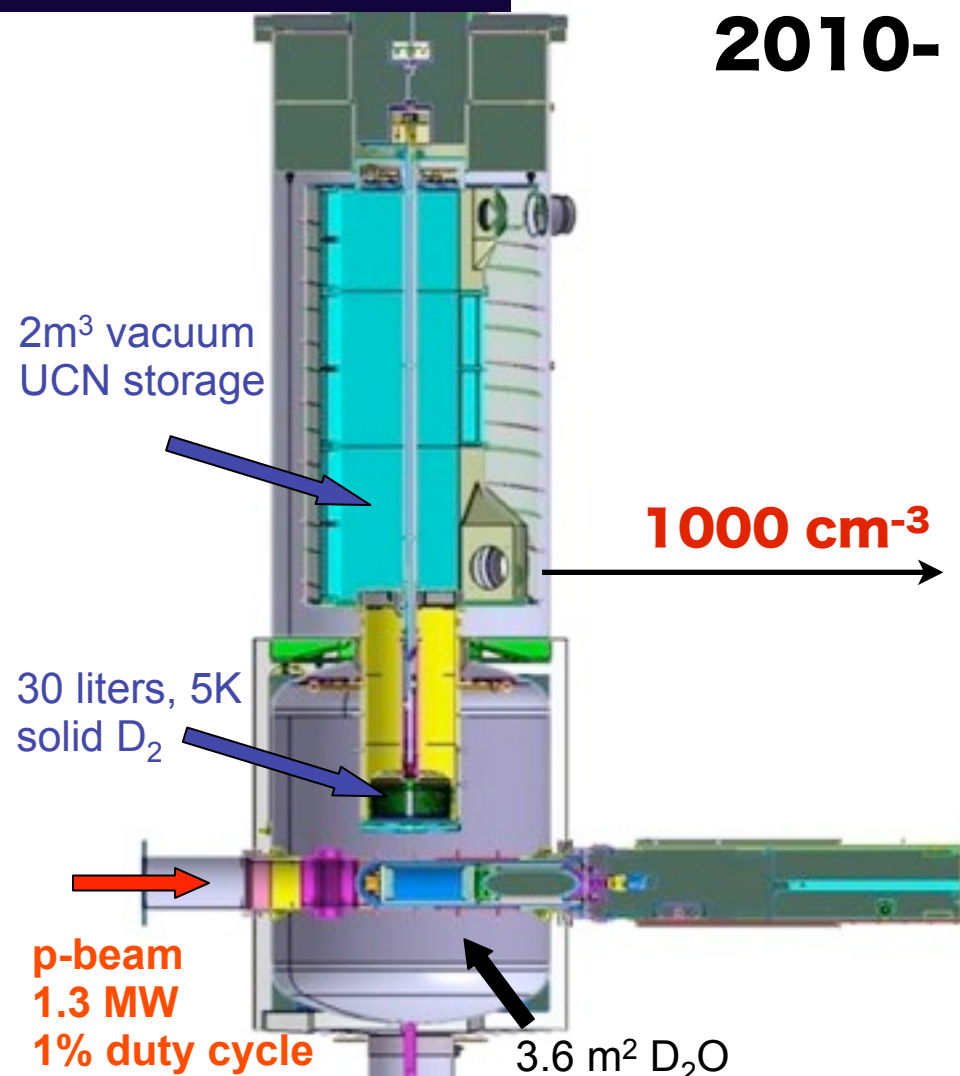
Conf(将来計画検討小委員会) At(Tokyo)



UCN Sources (Accelerator+Spallation)

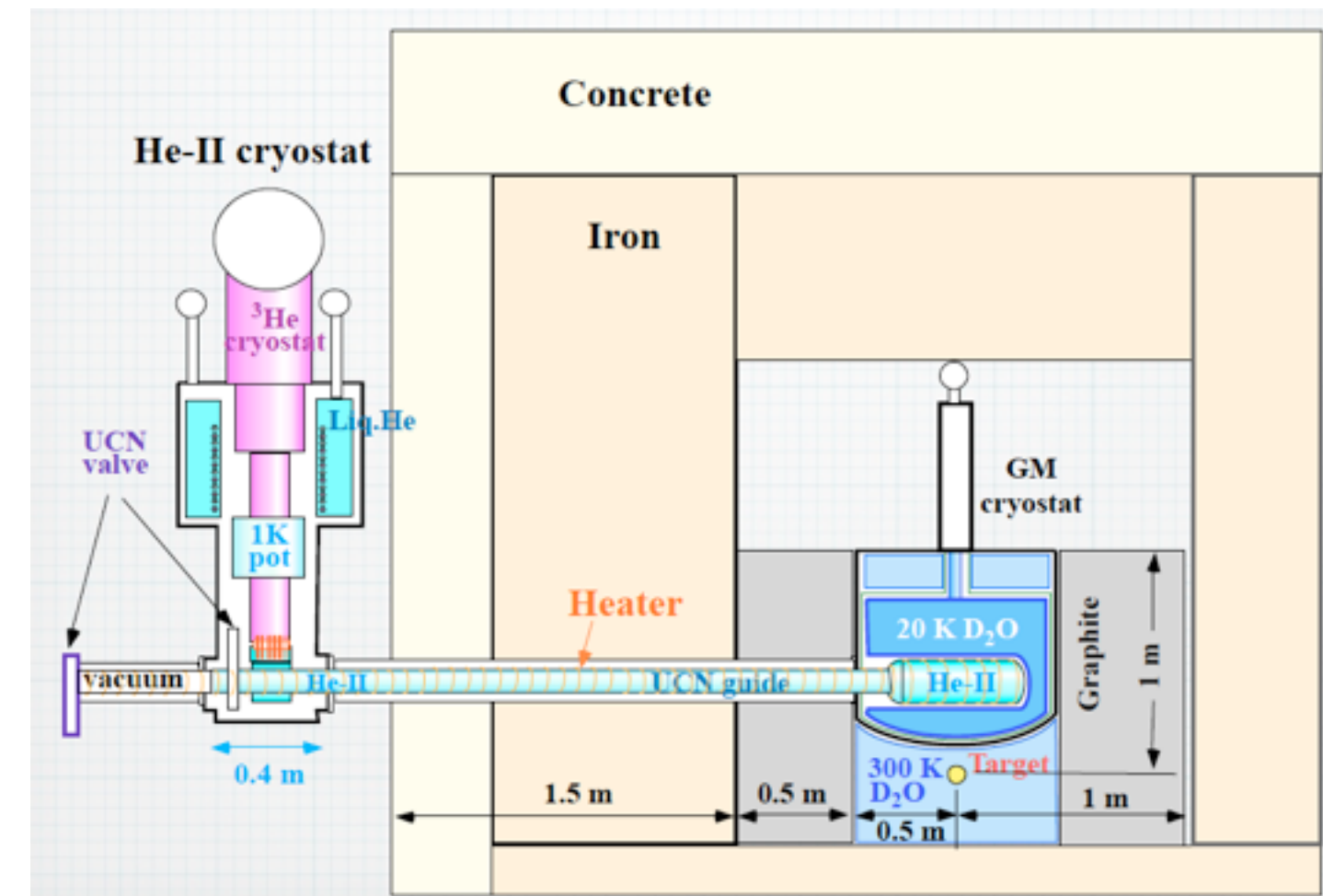
PSI

high power
2010-



TRIUMF

low loss
2013-?



**average = 13kW
max. peak power = 1.3MW**

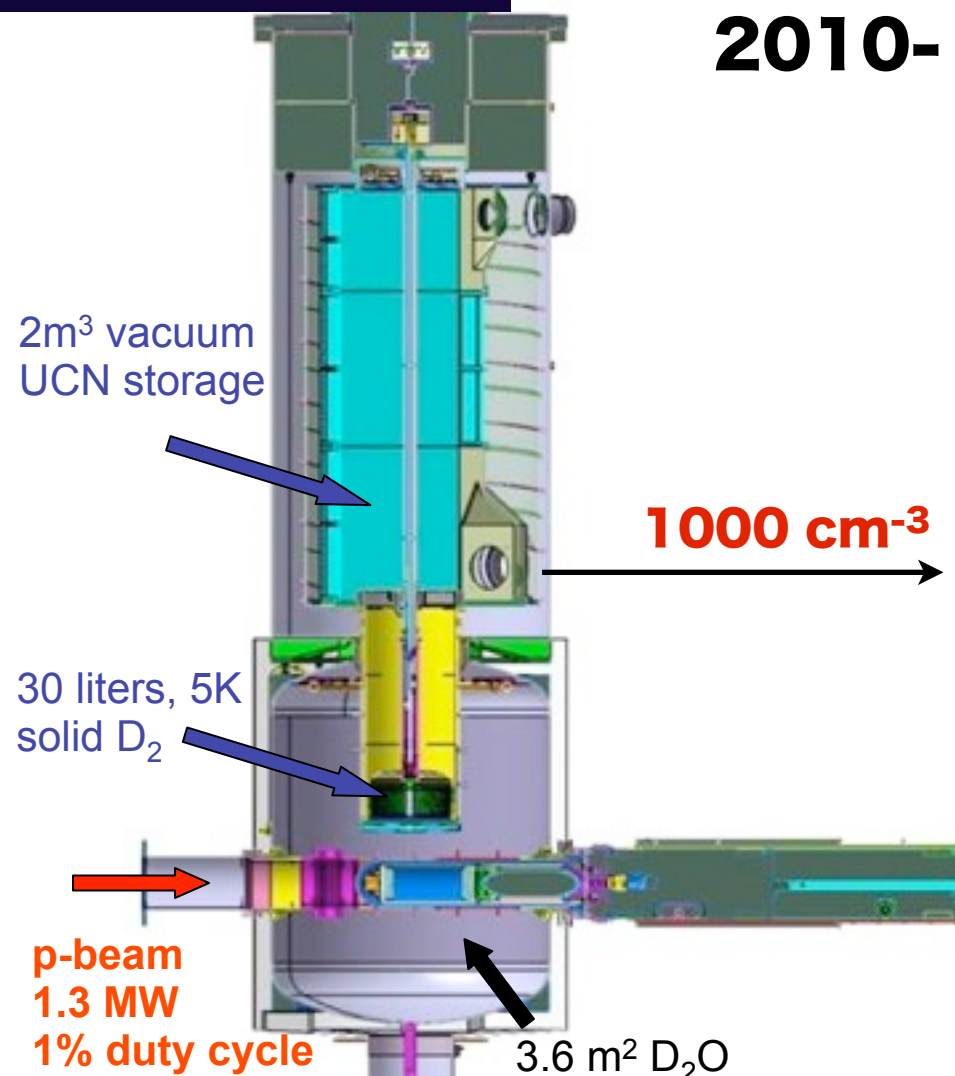
**average=20kW
max. peak power = 200kW**



UCN Sources (Accelerator+Spallation)

PSI

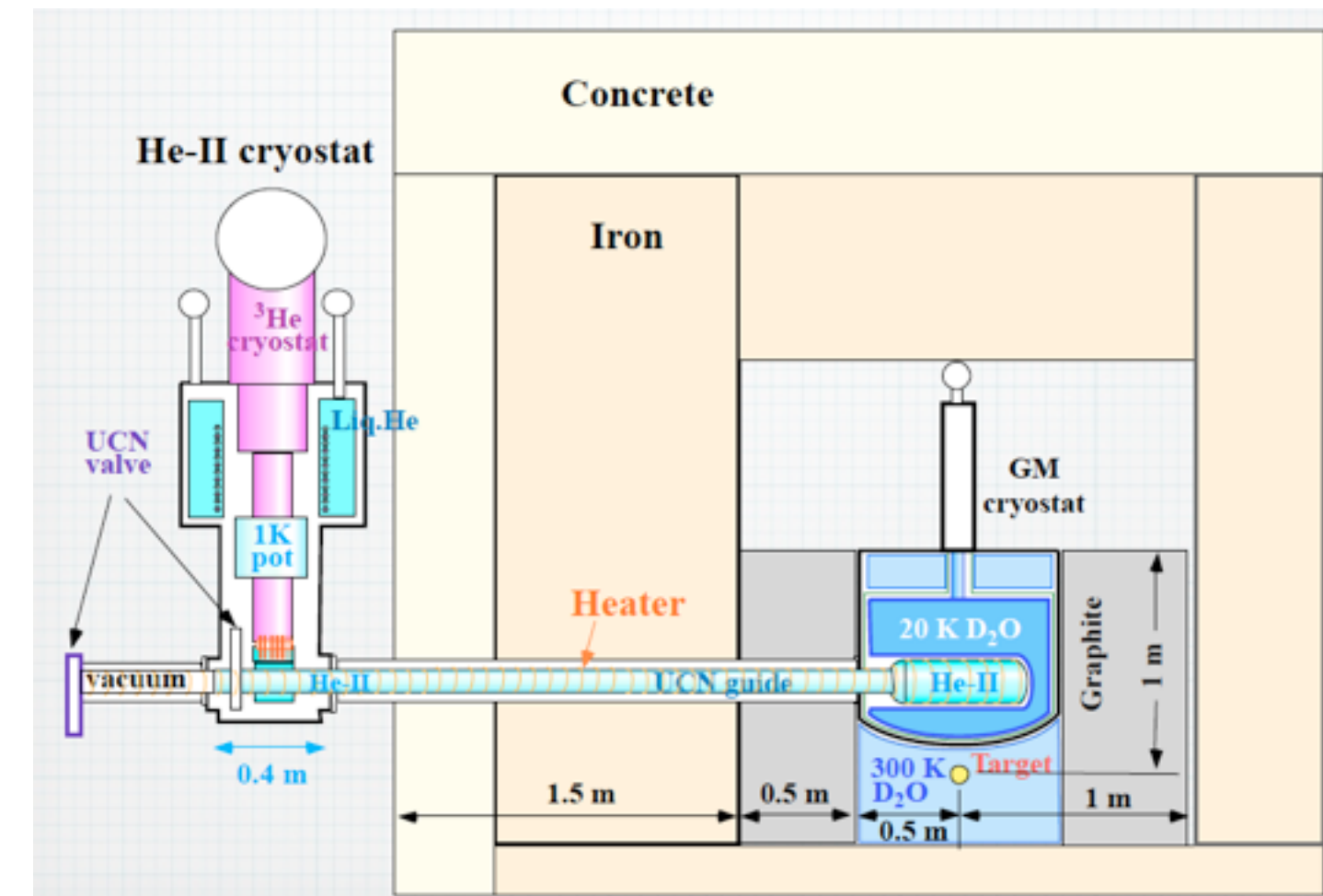
high power
2010-



average = 13kW
max. peak power = 1.3MW

TRIUMF

low loss
2013-?



average=20kW
max. peak power = 200kW

J-PARC P33

instantaneous power + transport optics

average = 2kW
max. peak power = 20MW



Date(2010/06/12) by(T.Yoshioka)

Title(Measurement of Neutron Electric Dipole Moment (J-PARC P33))

Conf(将来計画検討小委員会) At(Tokyo)





J-PARC

Japan Proton Accelerator Research Complex

J-PARC

Japan
Proton
Accelerator
Research
Complex

Linac

3 GeV

Neutrino

Materials and Life
Science Facility

50 GeV

Hadron Exp. Facility



J-PARC

Possible
Location
of UCN
Source

Linac

3 GeV

Neutrino

Materials and Life
Science Facility

50 GeV

Hadron Exp. Facility

J-PARC

Possible
Location
of UCN
Source

Linac

3 GeV

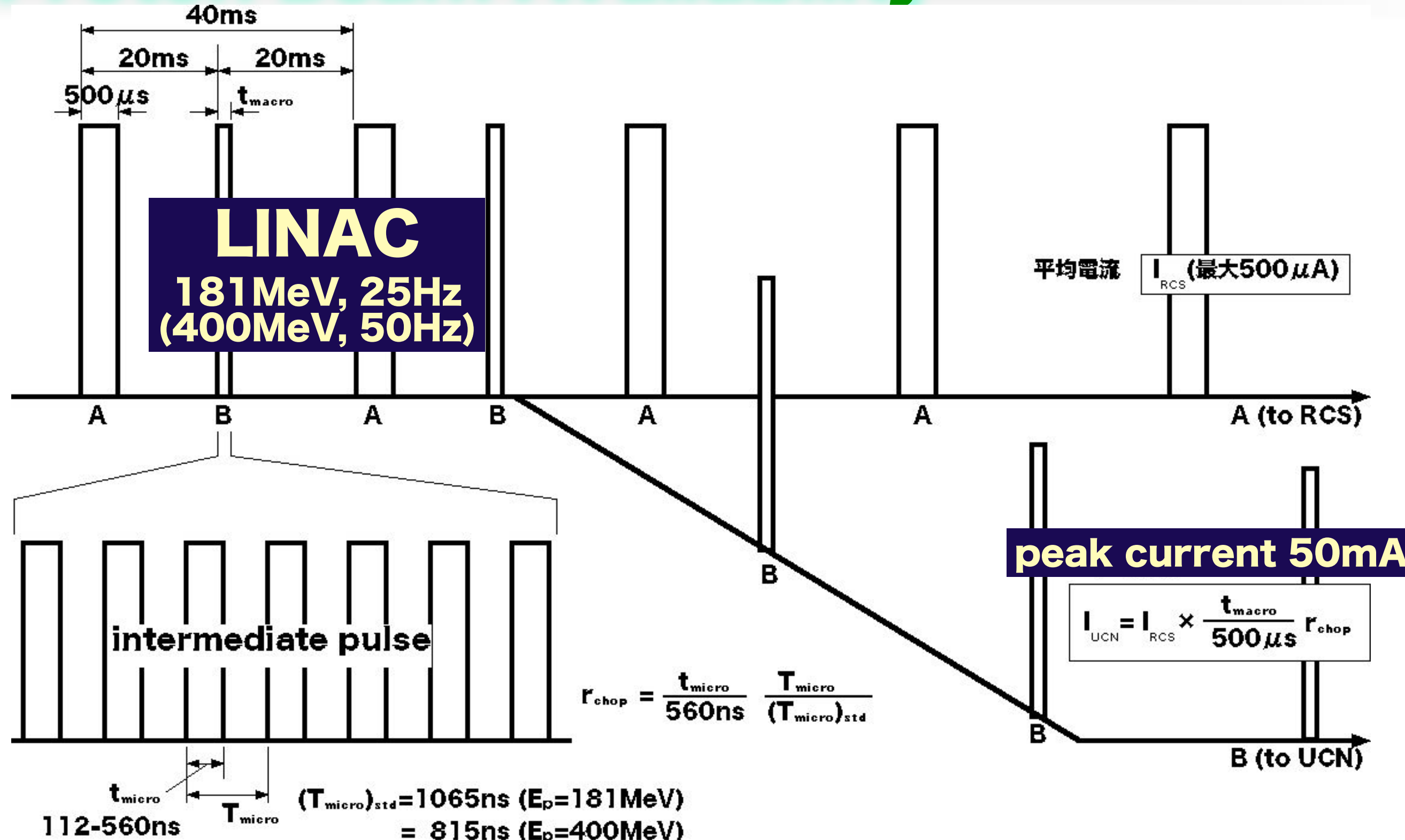
Neutrino

Materials and Life
Science Facility

50 GeV

Hadron Exp. Facility

Proton Beam Availability



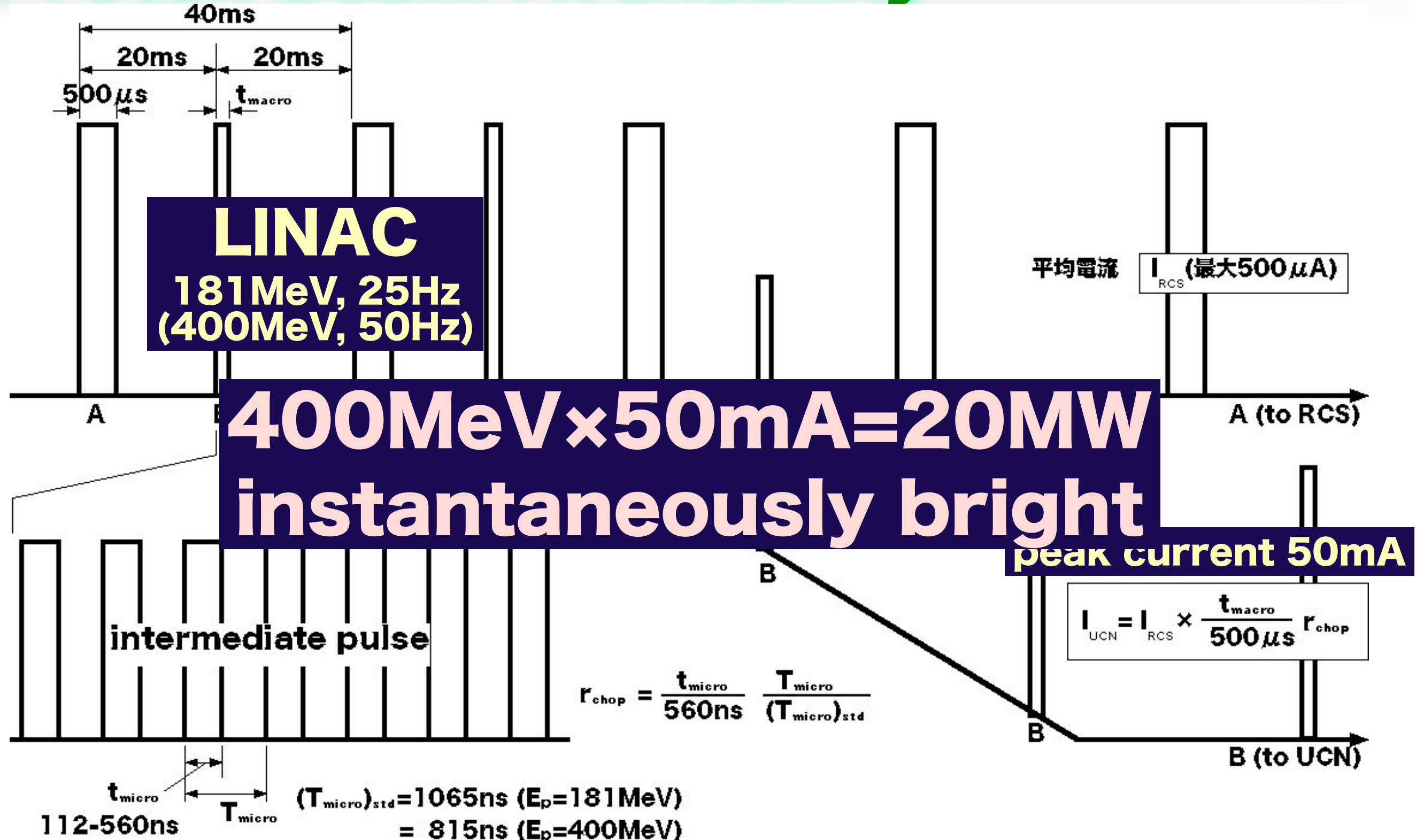
maximum 250kW (400MeV) is available
for 2nd Target Station, Nuclear Transmutation and UCN

Date(2010/08/12), by Y.Toshimura,

Title(Measurement of Neutron Electric Dipole Moment (J-PARC P33))

Conf(将来計画検討小委員会) At(Tokyo)

Proton Beam Availability



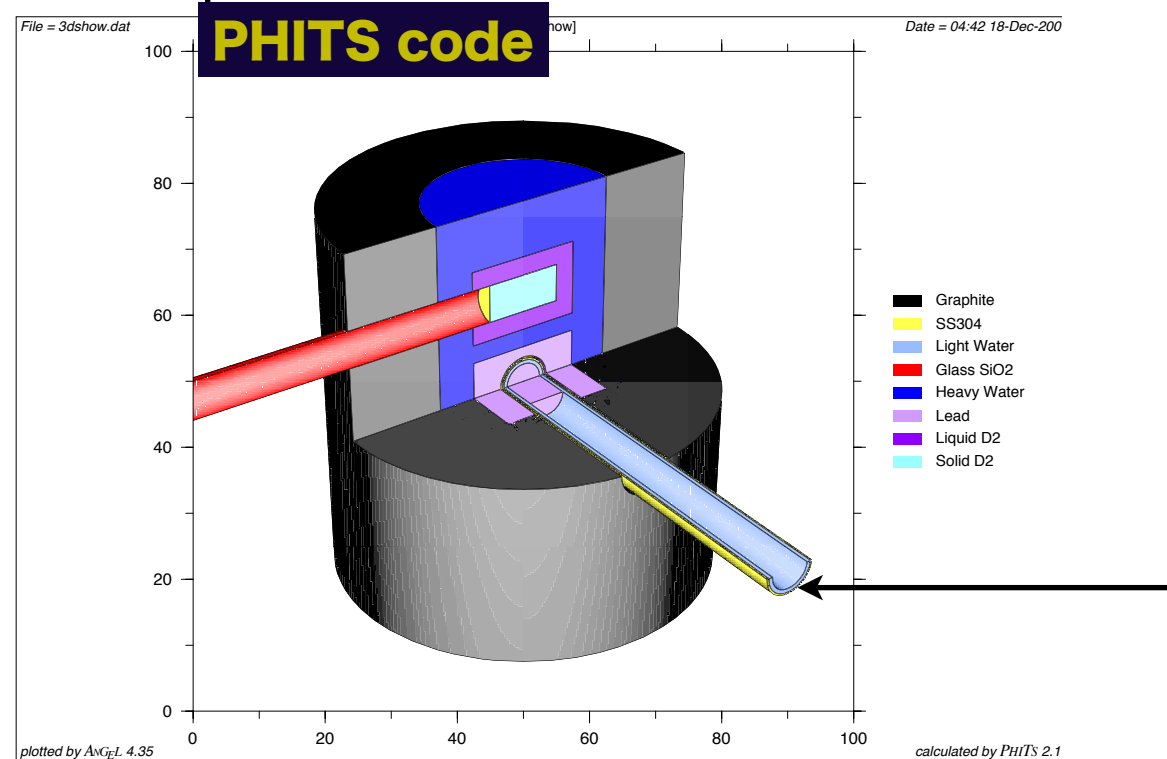
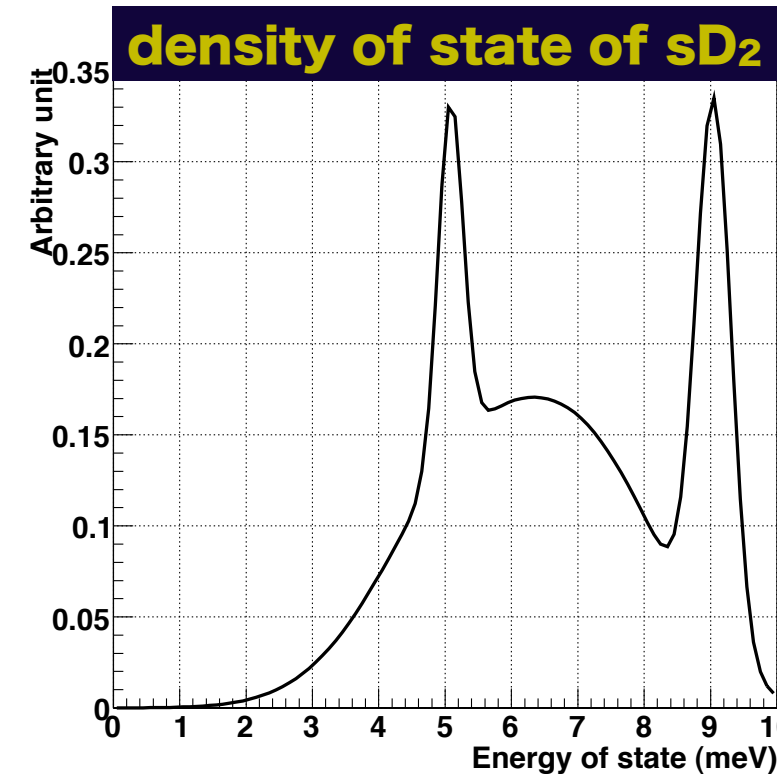
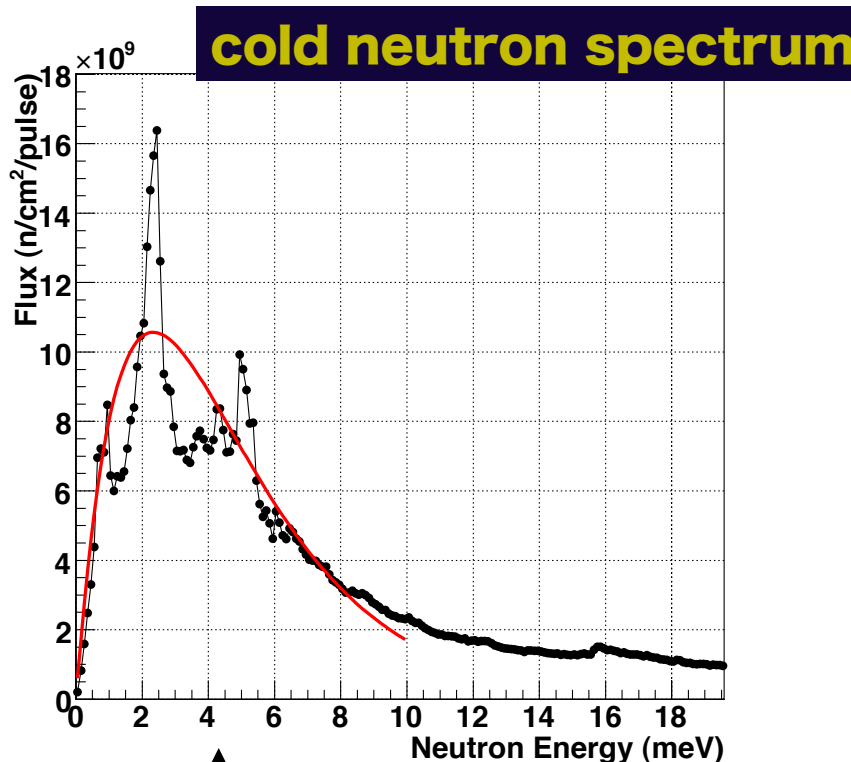
maximum 250kW (400MeV) is available
for 2nd Target Station, Nuclear Transmutation and UCN

Date(2010/08/12, by T.Toshimura)

Title(Measurement of Neutron Electric Dipole Moment (J-PARC P33))

Conf(将来計画検討小委員会) At(Tokyo)

Solid D₂ Converter



UCN density in the converter
6200 cm⁻³ pulse⁻¹

J-PARC LINAC

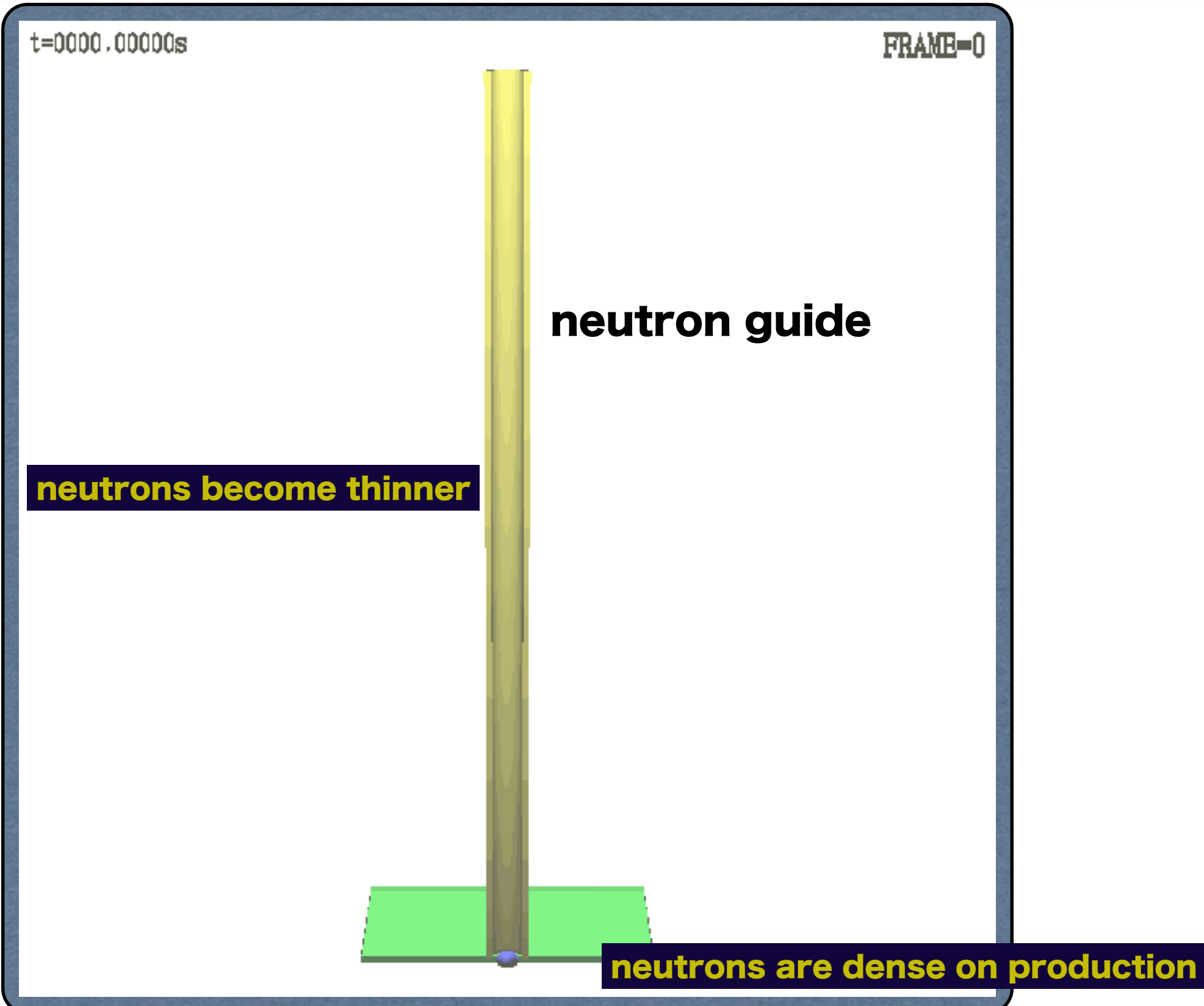
proton 400MeV
t_{pulse}=0.5ms I_{peak}=50mA
(10 kJ pulse⁻¹)

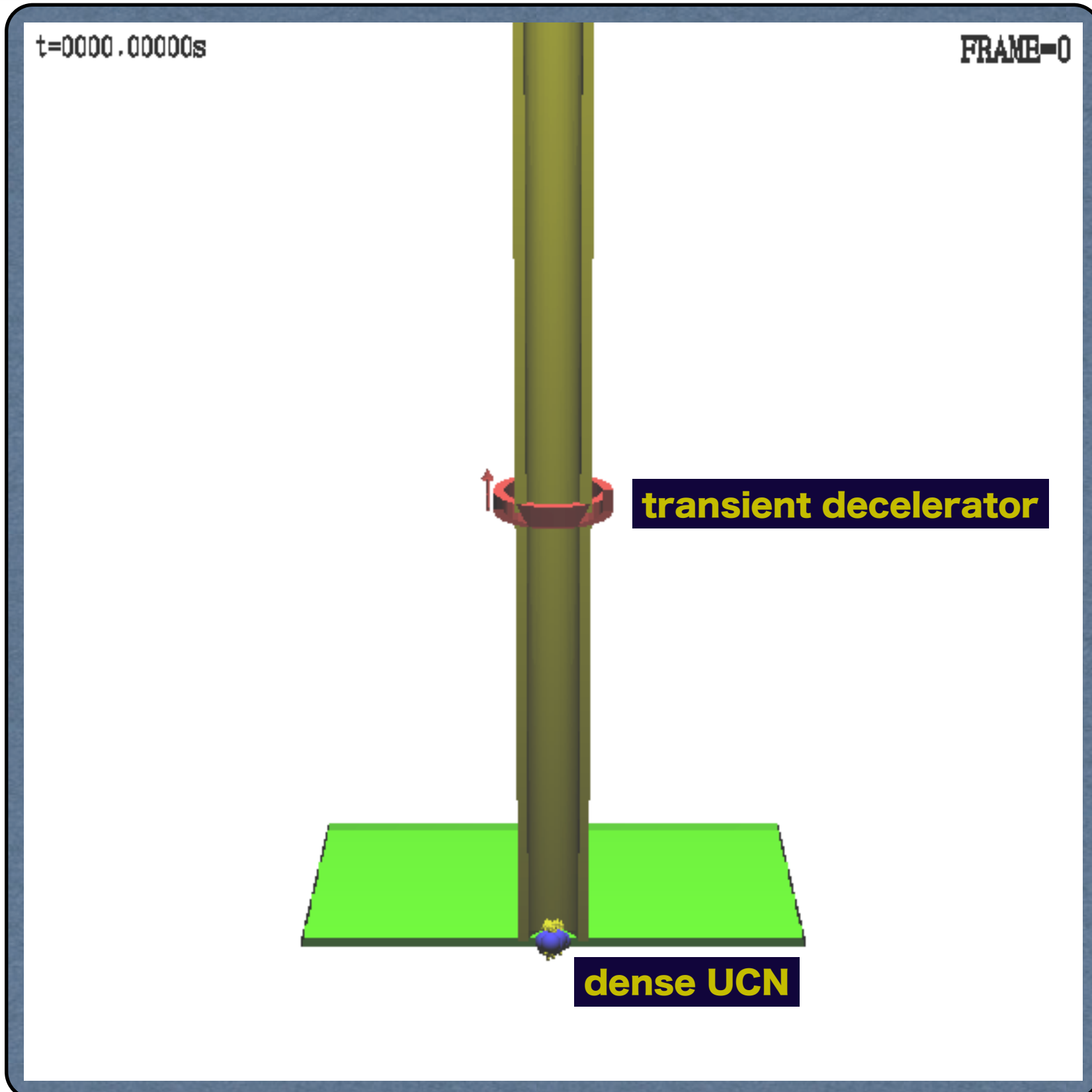


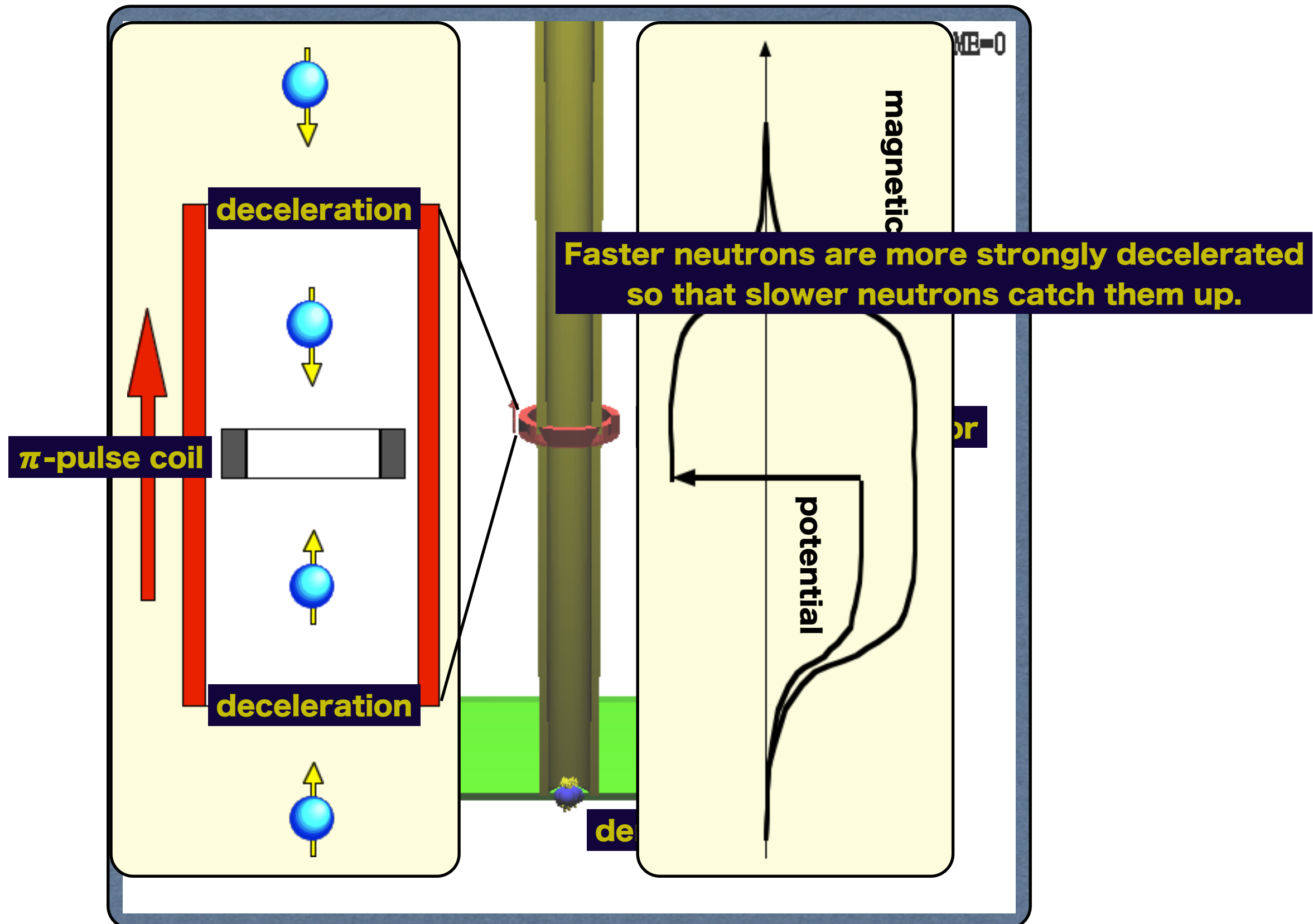
Date(2010/06/12) by(T.Yoshioka)
Title(Measurement of Neutron Electric Dipole Moment (J-PARC P33))
Conf(将来計画検討小委員会) At(Tokyo)

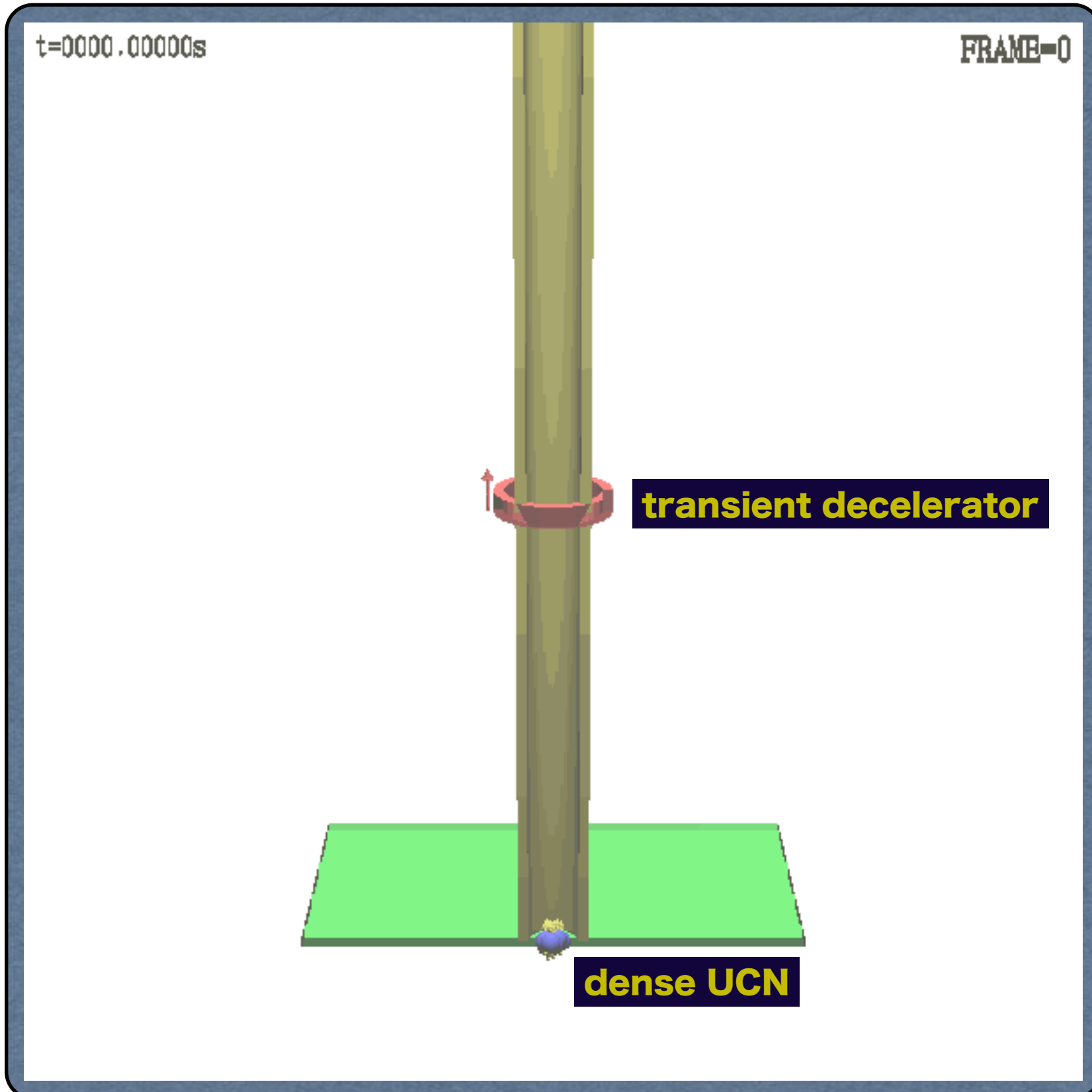


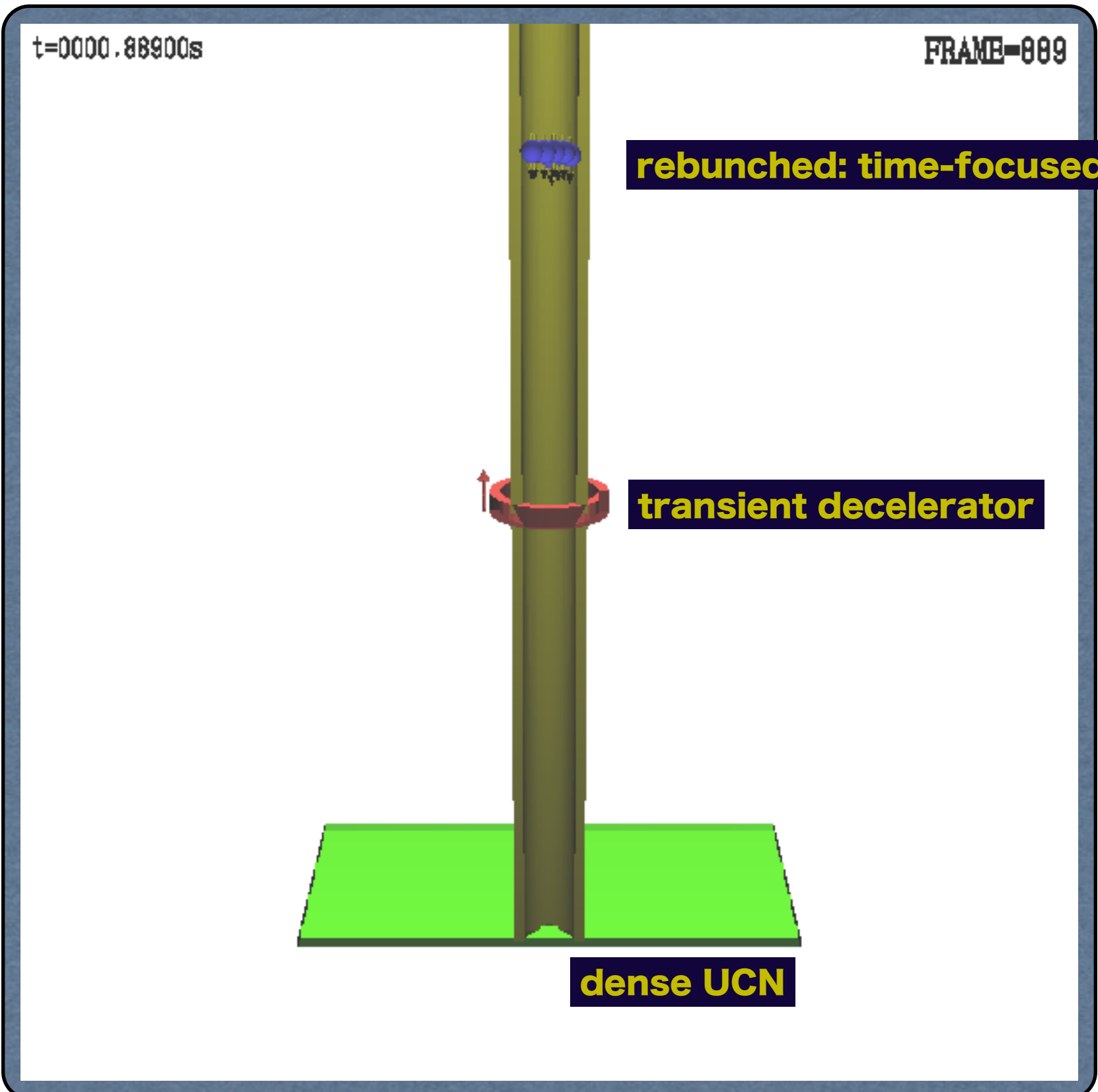
Density Decreases

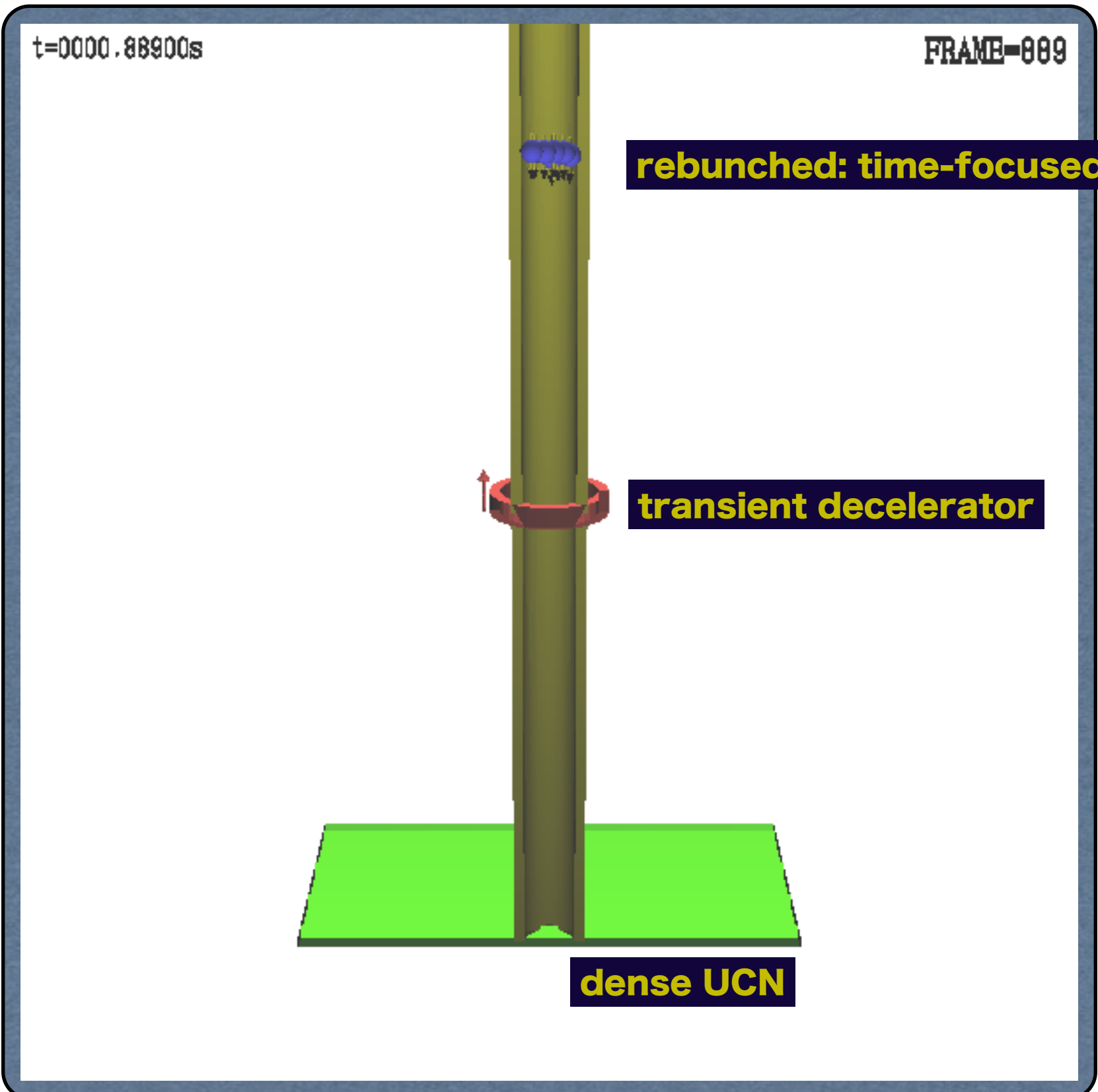


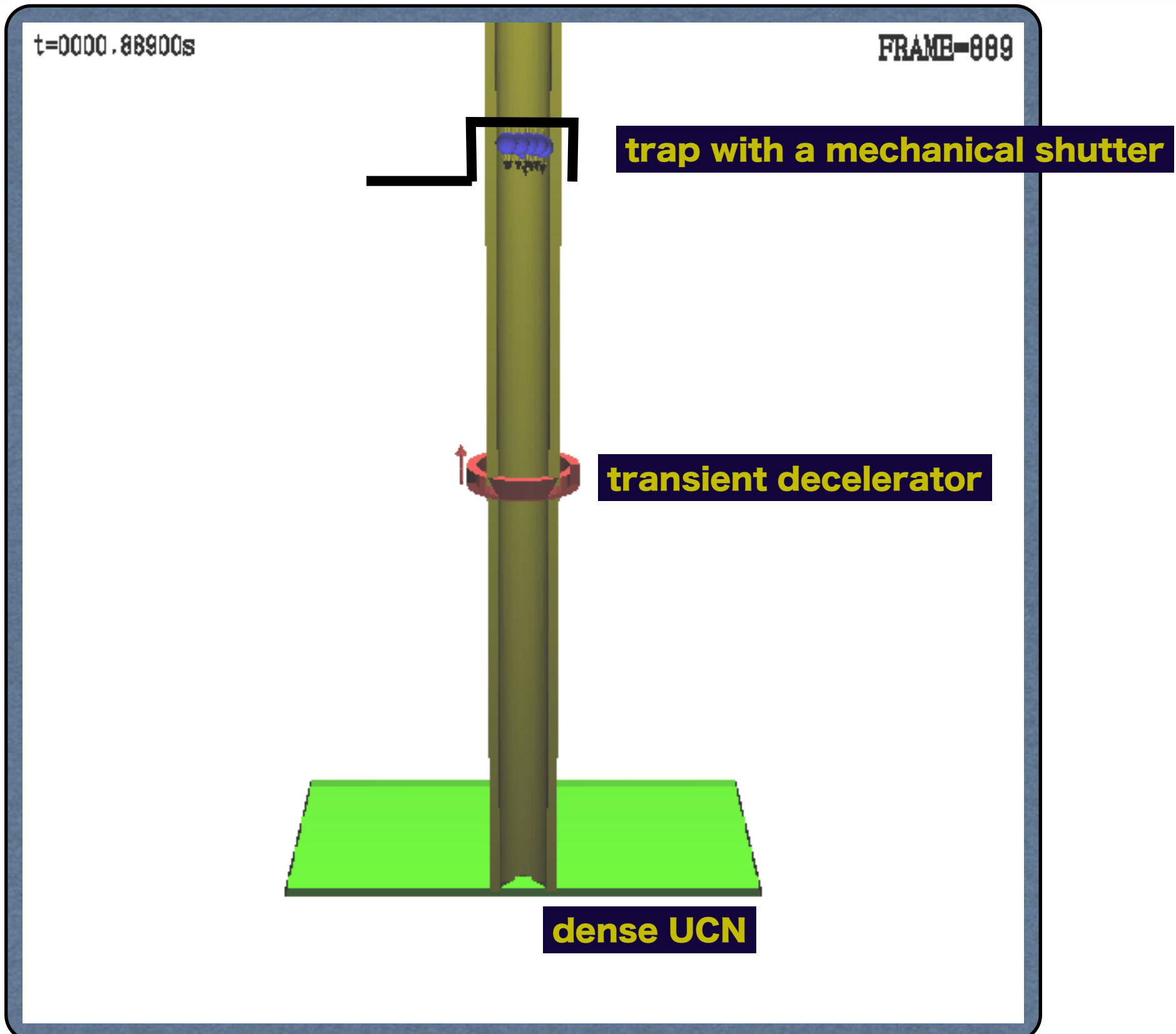






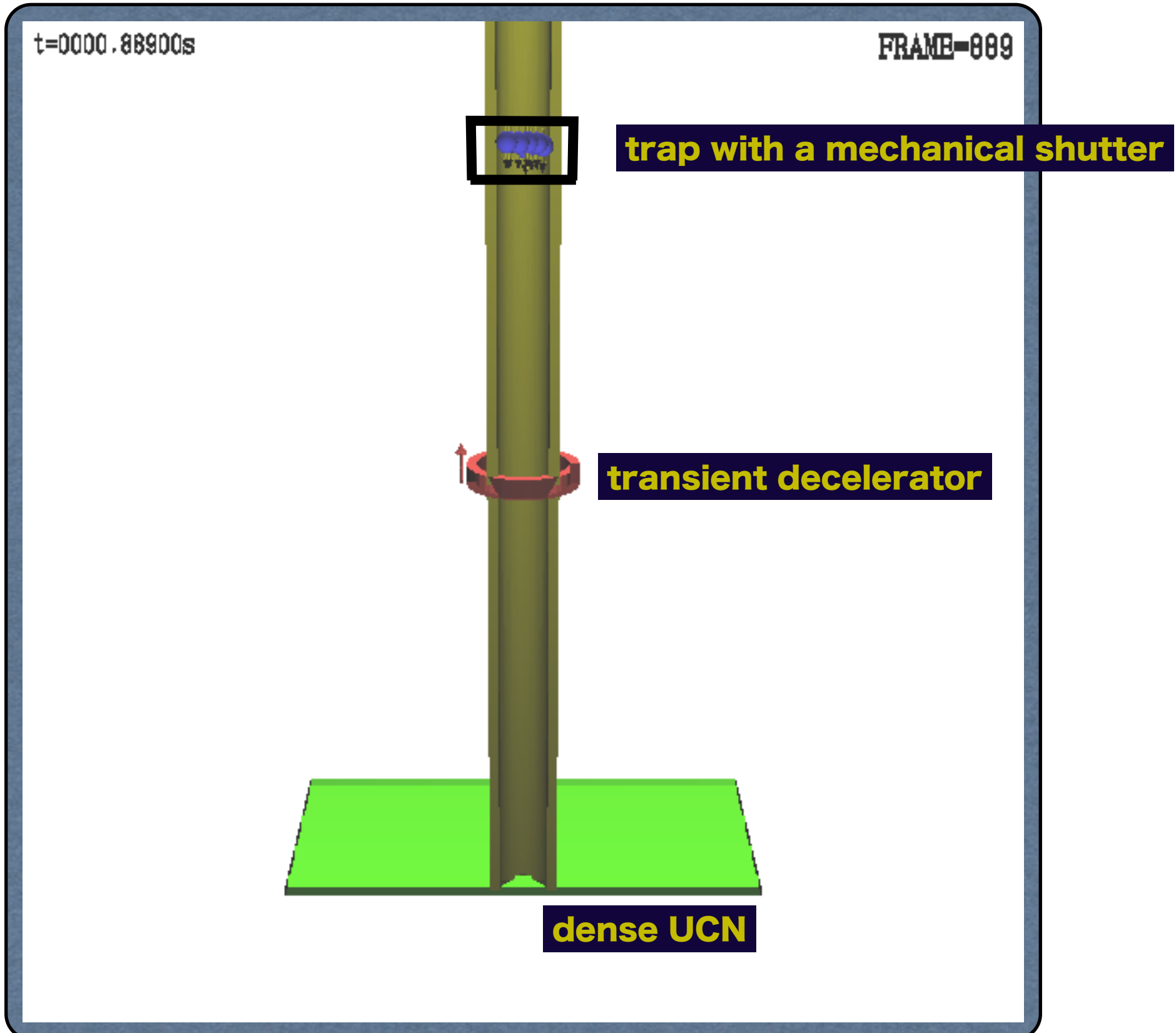






UCN Rebuncher

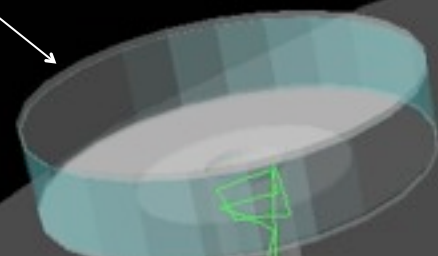
J-PARC P33



Geant4 Simulation

EDM Cell(Quartz)
Radius : 23cm
Height : 20cm
Loss prob : 3.0e-4
Diffuse : 0.1

Lines : 10767
Quads : 1196
Triangles : 500



UCN guide (DLC)
Length : 10m
Fermi pot : 241neV
Loss prob : 3.0e-4
Diffuse : 0.05

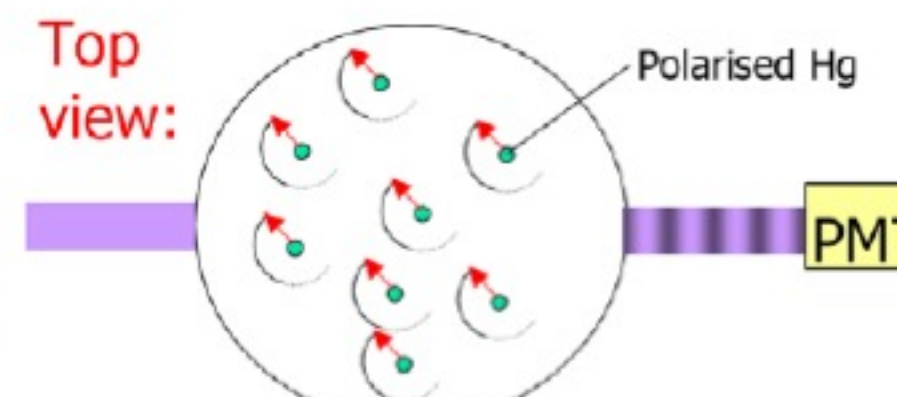
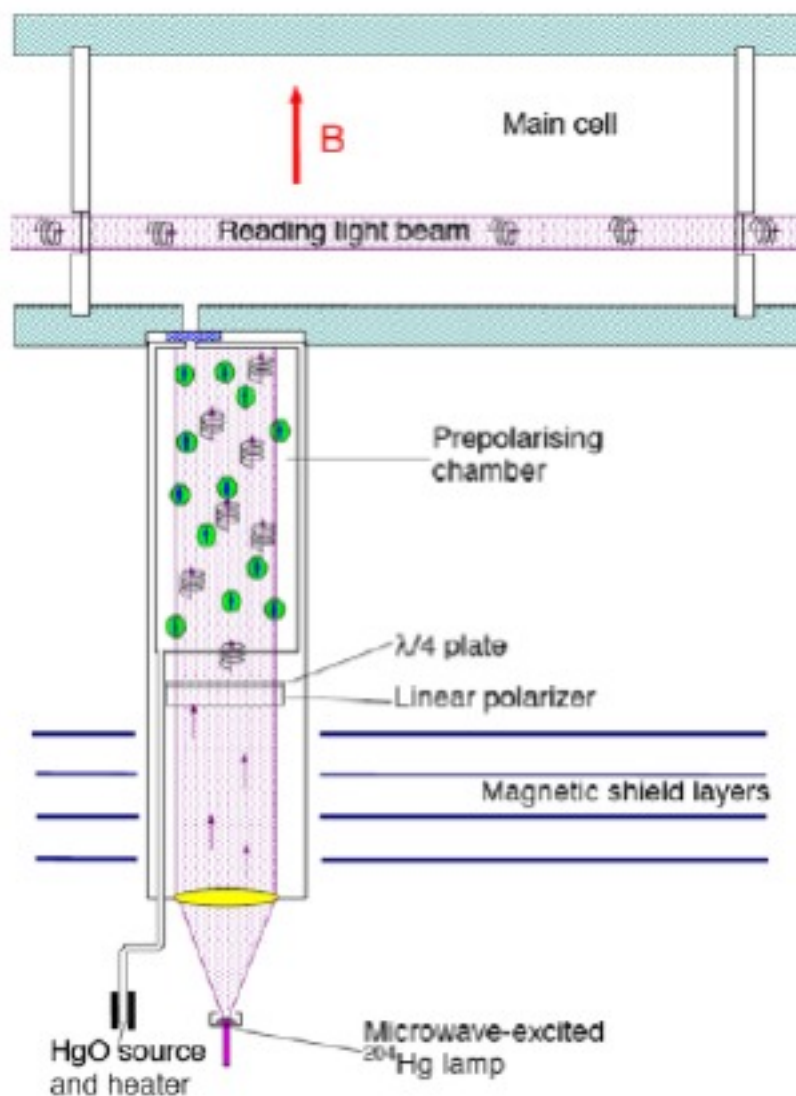
Shutter2
Open @ 8sec
Close @ 800sec

sD2 converter
Radius : 25cm
Vx : -7m/sec ~ 7m/sec, uniform
Vy : -7m/sec ~ 7m/sec, uniform
Vz : 4.2~8.3m/sec, uniform
Beam on : 8sec

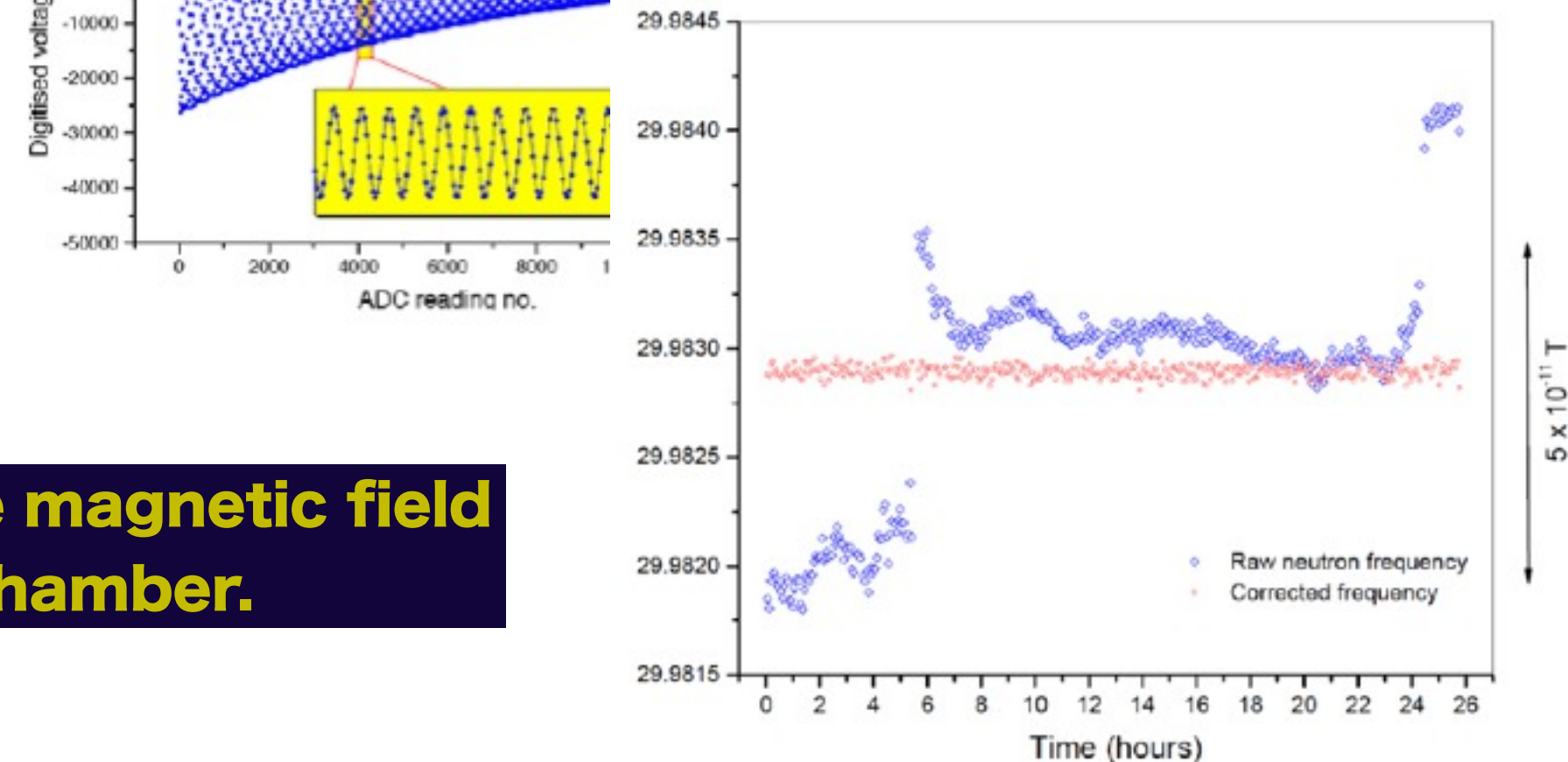
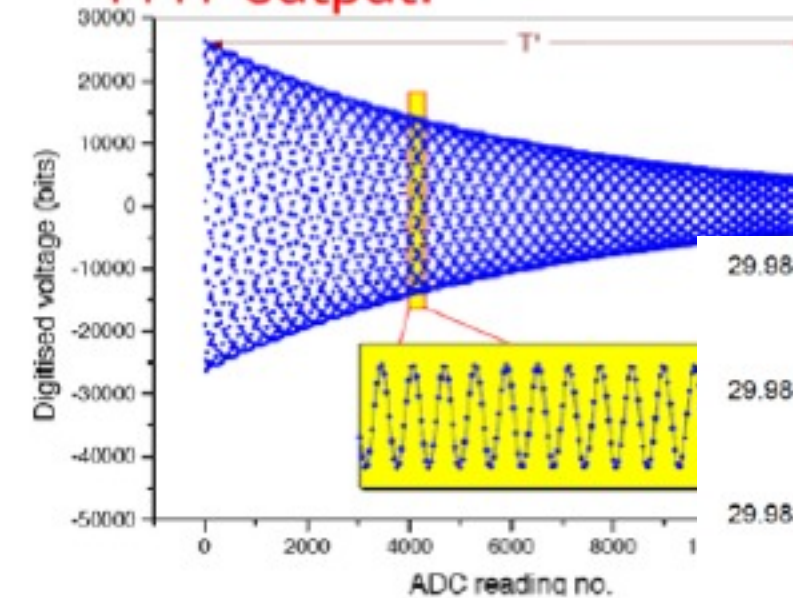
UCN Tank (DLC)
Height : 2.5m
Radius : 70cm
Fermi pot : 241neV
Loss prob : 3.0e-4
Diffuse : 0.1

Shutter1
Open @ 0sec
Close @ 8sec

Magnetometry



PMT output:

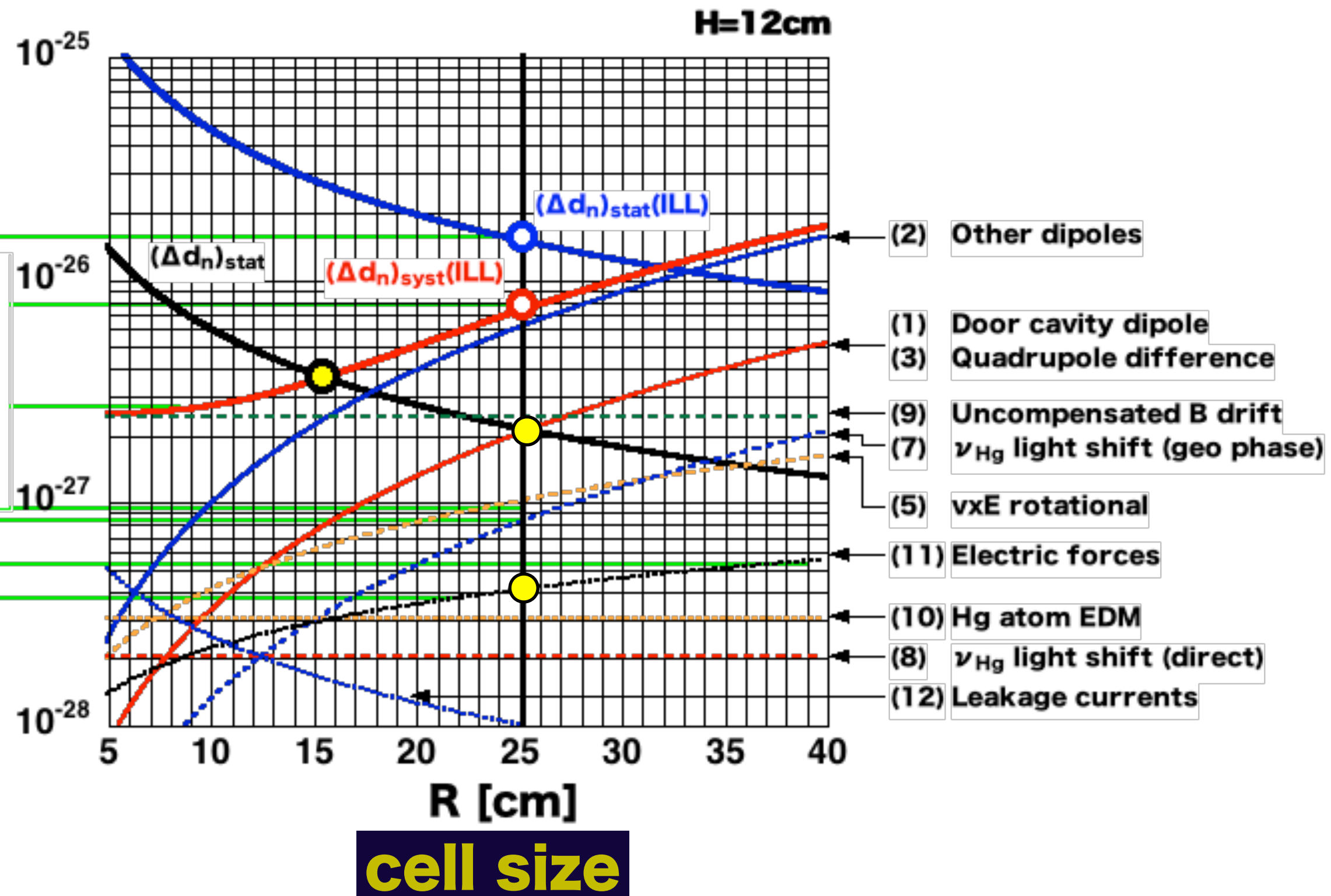


**Measure the average magnetic field
in the UCN storage chamber.**

Experimental Errors

$\rho_0 = 6200 \text{ cm}^{-3}$

5000h



R&D Plans

- UCN Storage

**Reflectivity, Diffuse reflection @ J-PARC/MLF w/ CN
storage time, depolarizing effect @ J-PARC/MLF w/ UCN**

- UCN Transport

**Reflectivity, Diffuse reflection @ J-PARC/MLF w/ CN
demonstration of rebuncher @ J-PARC/MLF w/ UCN**

- Magnetometry

**Hg co-magnetometer @ KEK
Rb NMR magnetometer @ T.I.T/RIKEN**

1 ~ 2 year



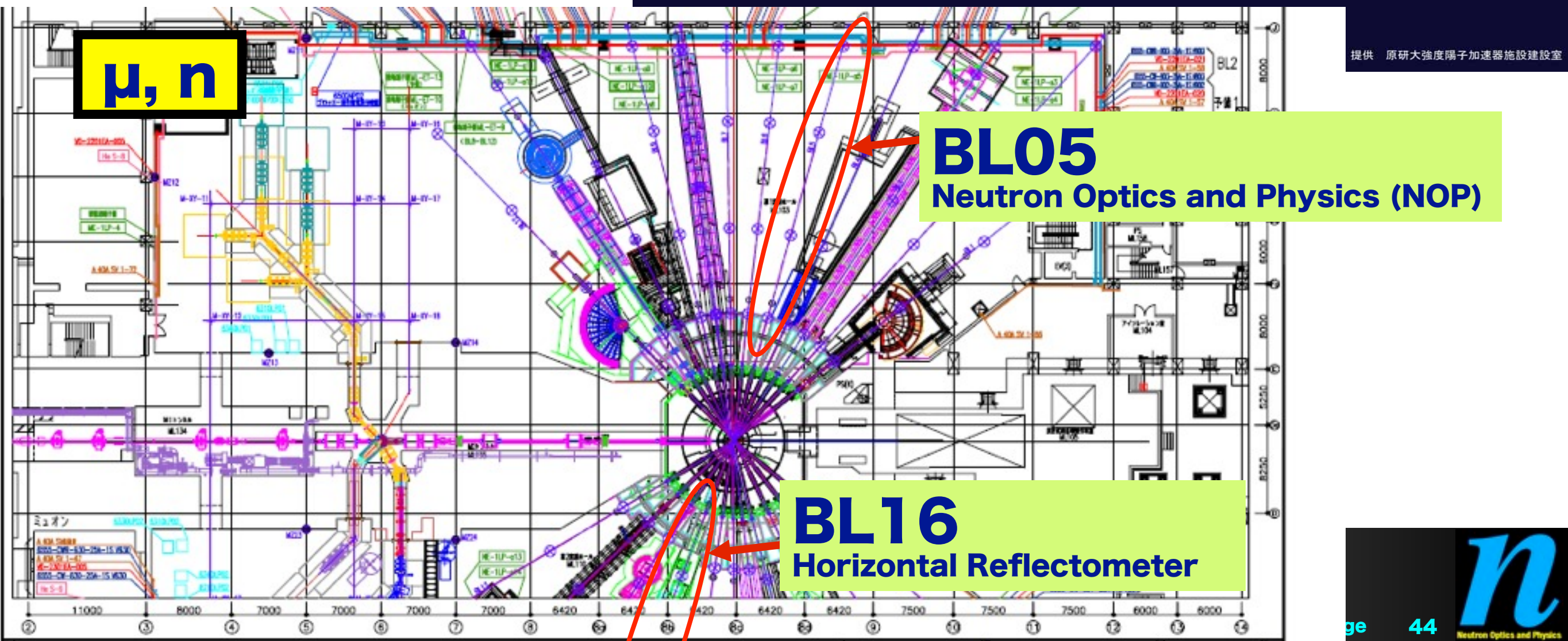
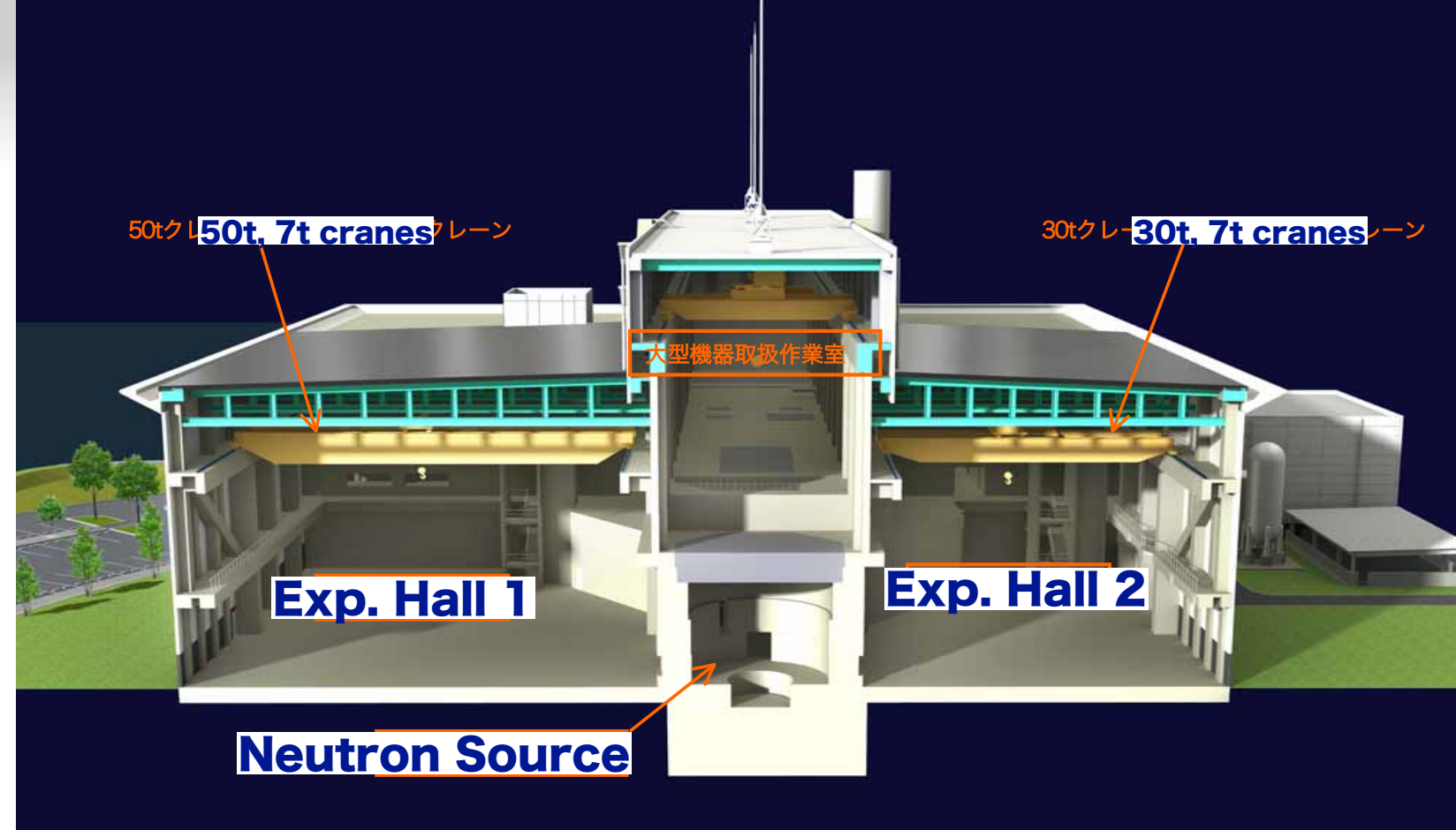
Date(2010/06/12) by(T.Yoshioka)

Title(Measurement of Neutron Electric Dipole Moment (J-PARC P33))

Conf(将来計画検討小委員会) At(Tokyo)

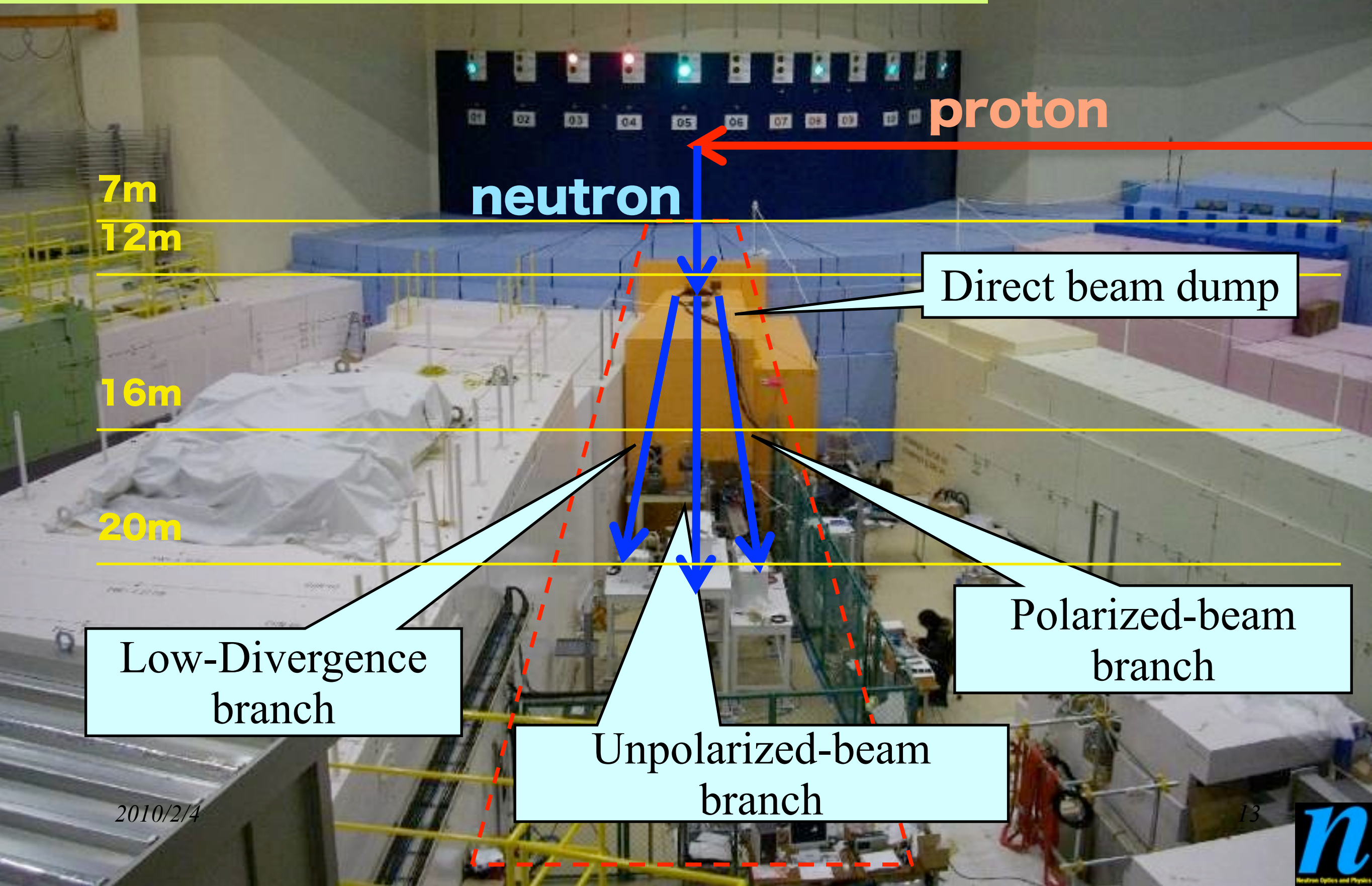
J-PARC MLF

Material and Life-science Facility



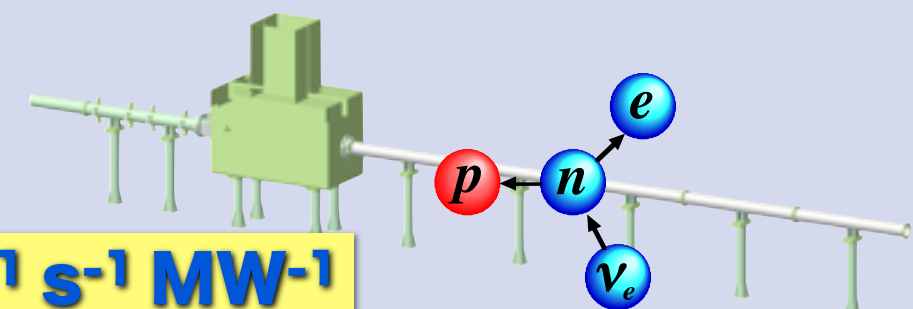
J-PARC BL05

Neutron Optics and Physics (NOP)

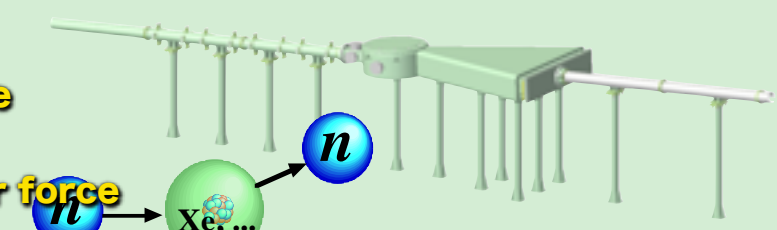


Polarized-beam Branch $4.0 \times 10^8 \text{ cm}^{-2} \text{ s}^{-1} \text{ MW}^{-1}$ $10\text{cm} \times 4\text{cm} P=0.998$ **“Decay”**

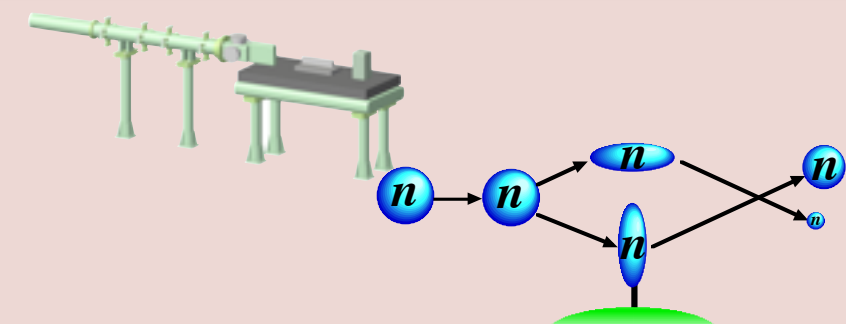
- decay parameters
- unitarity of CKM matrix
- T-violation
- $10^4 \text{ decay m}^{-1} \text{ s}^{-1} \text{ MW}^{-1}$

instantaneous decay rate $\sim 10^5 \text{ decay m}^{-1} \text{ s}^{-1} \text{ MW}^{-1}$ **Unpolarized-beam Branch** $1.2 \times 10^9 \text{ cm}^{-2} \text{ s}^{-1} \text{ MW}^{-1}$ $5\text{cm} \times 4\text{cm}$ **“Scattering”**

- unknown medium range force
- large extra-dimension
- charge symmetry of nuclear force etc.

**Low-divergence-beam Branch** $9.2 \times 10^5 \text{ cm}^{-2} \mu\text{sr}^{-1} \text{ s}^{-1} \text{ MW}^{-1}$ **“Interference”**

- gravitational phase shift
- Aharonov-Casher effect etc.



K.Mishima et al., NIM A600 (2009) 423.

Instantaneously Luminous

background separated in time
wide wavelength range

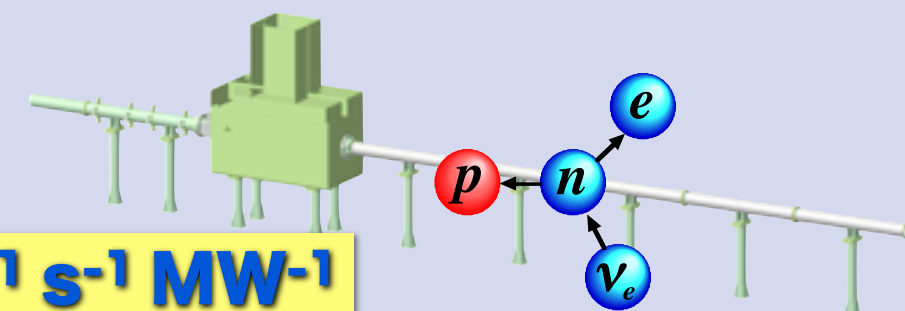
Polarized-beam Branch

$4.0 \times 10^8 \text{ cm}^{-2} \text{ s}^{-1} \text{ MW}^{-1}$

$10\text{cm} \times 4\text{cm}$ P=0.998

“Decay”

- decay parameters
- unitarity of CKM matrix
- T-violation
- $10^4 \text{ decay m}^{-1} \text{ s}^{-1} \text{ MW}^{-1}$



instantaneous decay rate $\sim 10^5 \text{ decay m}^{-1} \text{ s}^{-1} \text{ MW}^{-1}$

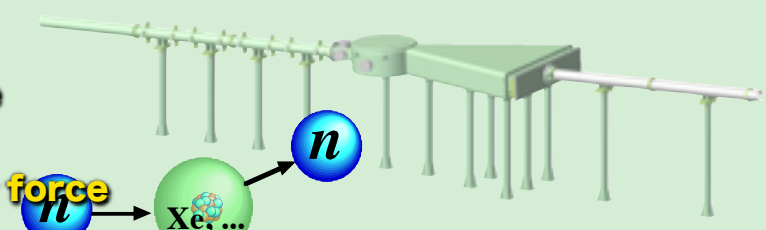
Unpolarized-beam Branch

$1.2 \times 10^9 \text{ cm}^{-2} \text{ s}^{-1} \text{ MW}^{-1}$

$5\text{cm} \times 4\text{cm}$

“Scattering”

- unknown medium range force
- large extra-dimension
- charge symmetry of nuclear force
- etc.

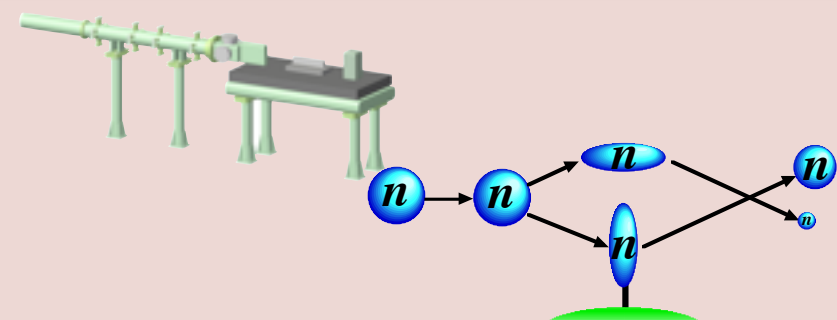


Low-divergence-beam Branch

$9.2 \times 10^5 \text{ cm}^{-2} \mu\text{sr}^{-1} \text{ s}^{-1} \text{ MW}^{-1}$

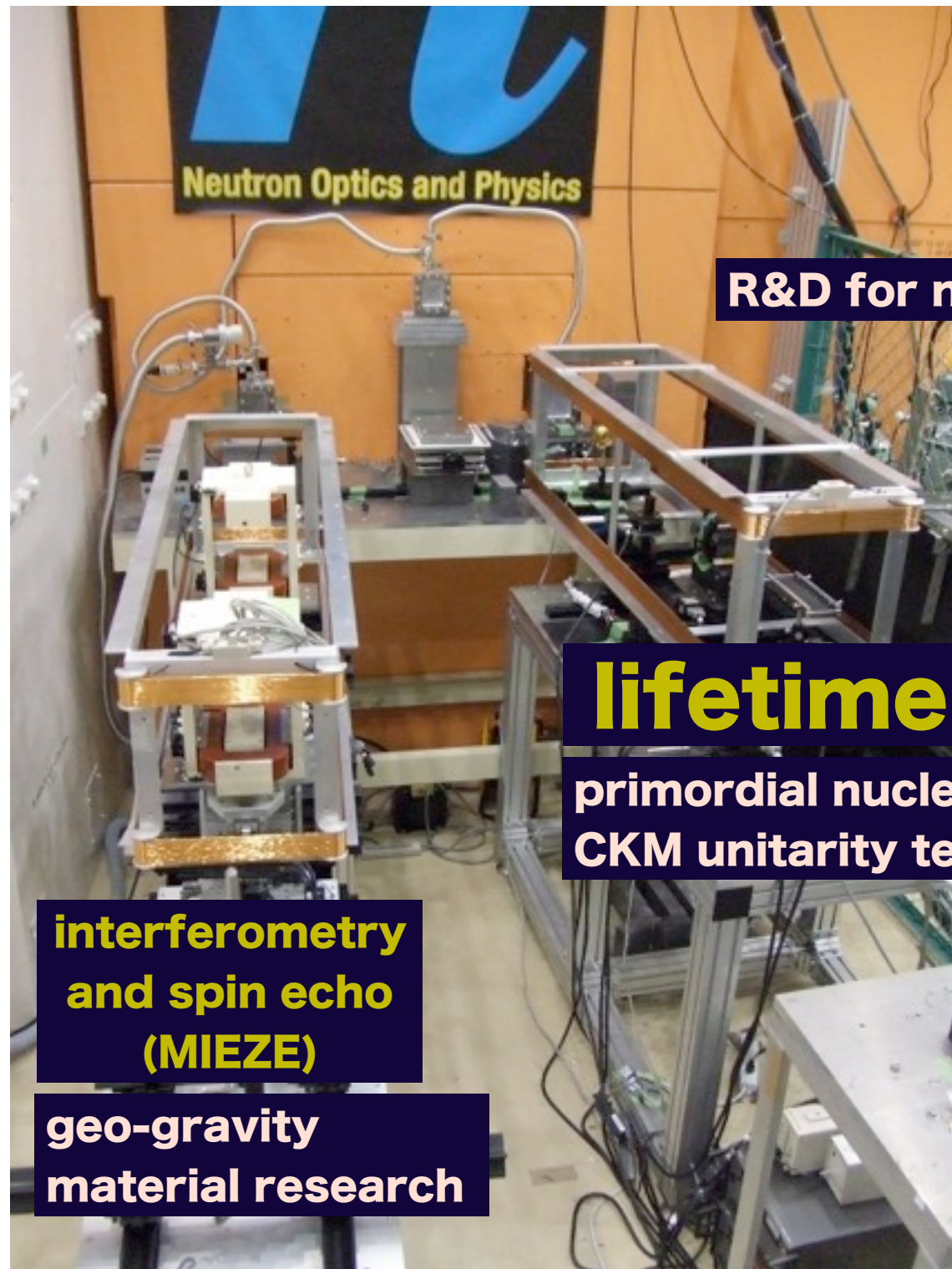
“Interference”

- gravitational phase shift
- Ahoronov-Casher effect
- etc.



K.Mishima et al., NIM A600 (2009) 423.

On-going Researches at BL05

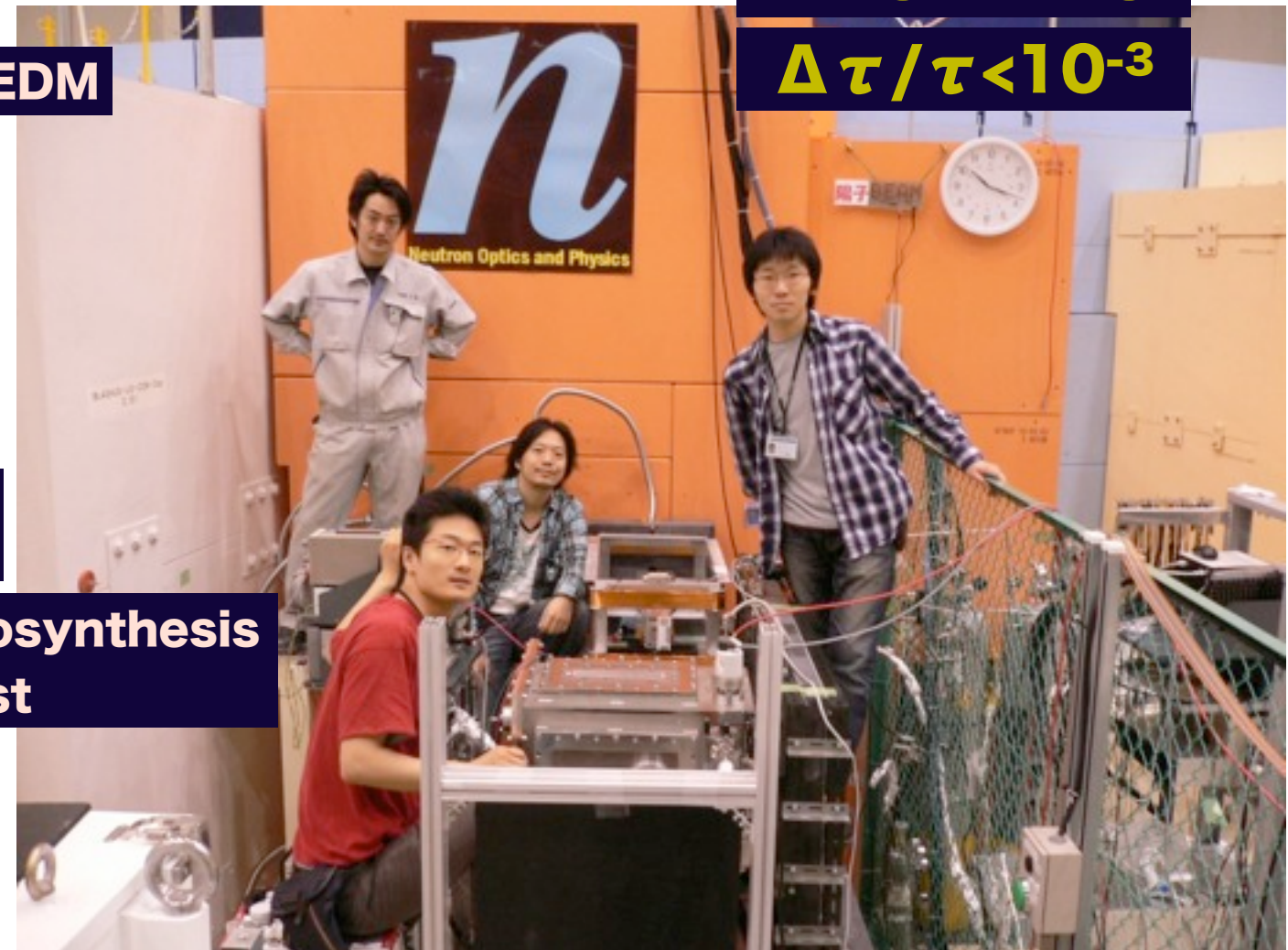
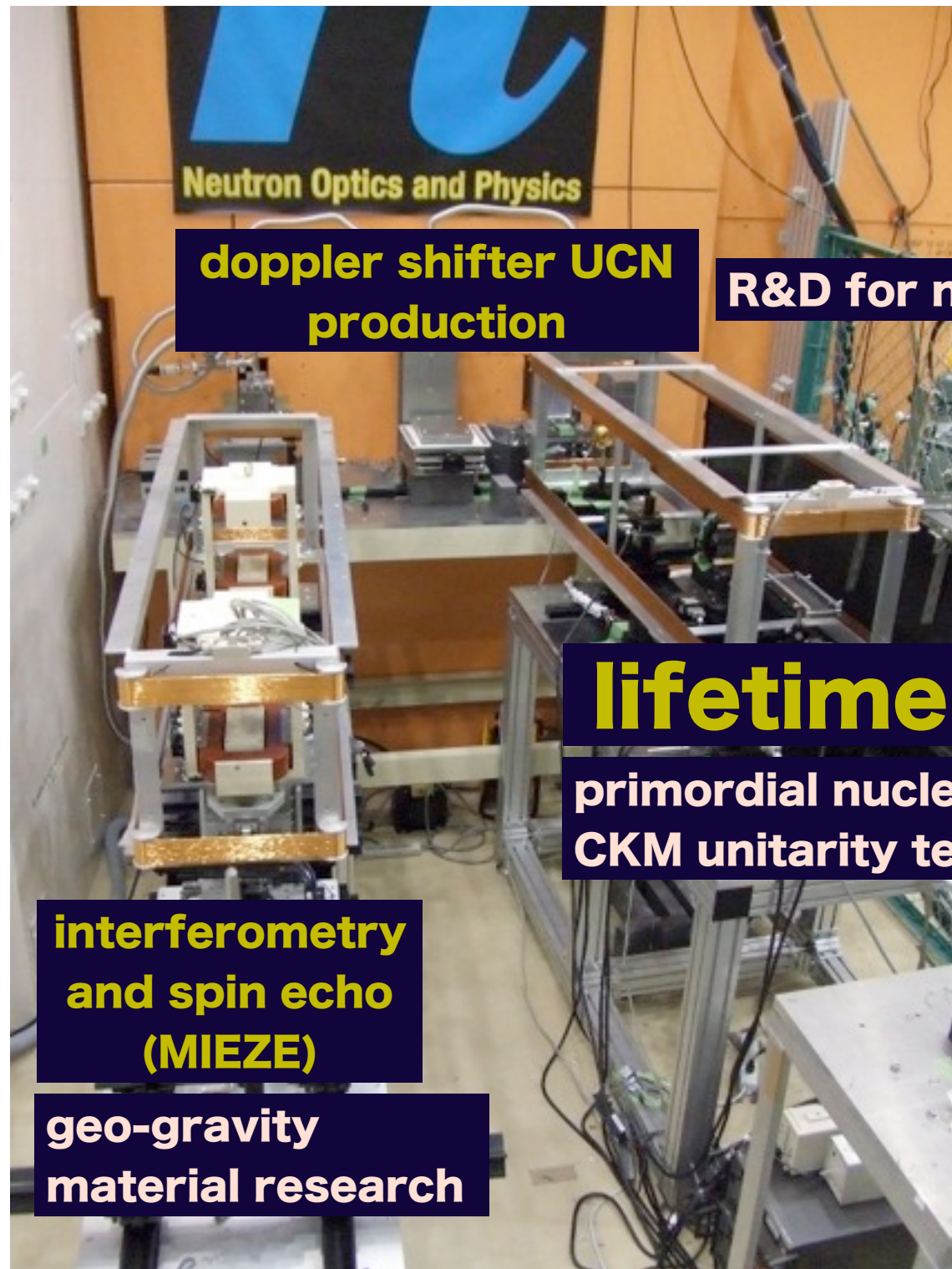


interferometry
and spin echo
(MIEZE)

geo-gravity
material research



On-going Researches at BL05



Neutron Lifetime



Doppler Shifter

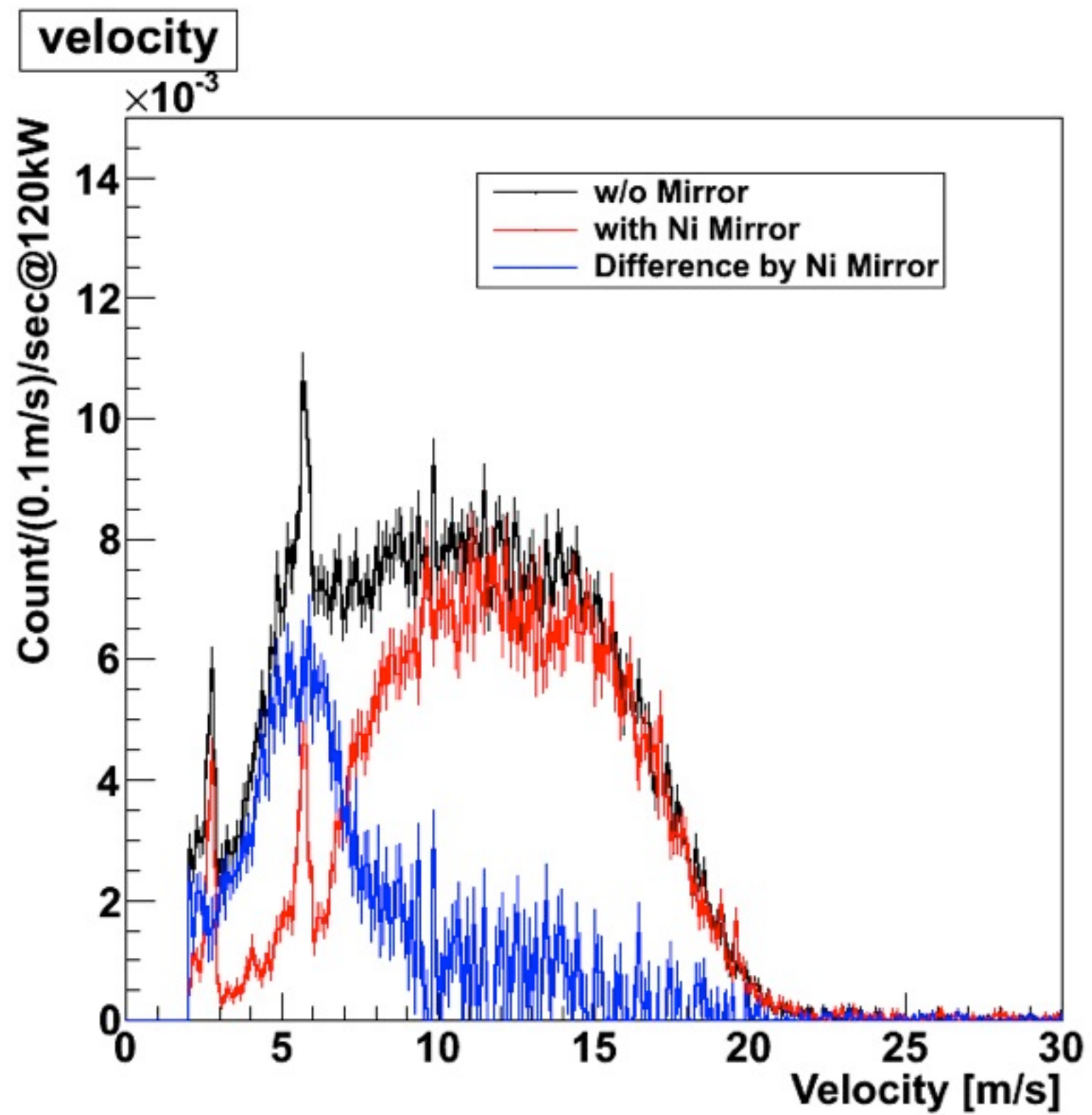
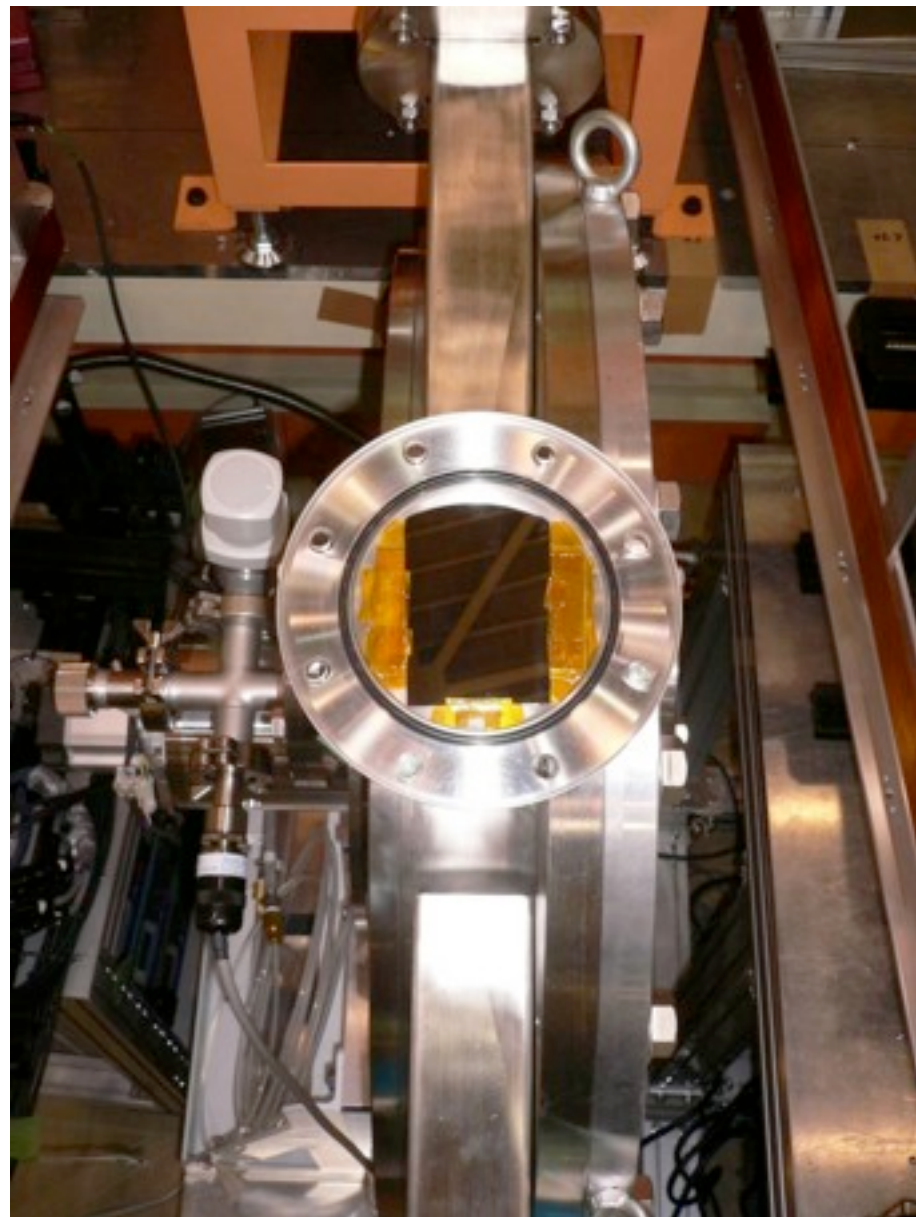


Date(2010/06/12) by(T.Yoshioka)

Title(Measurement of Neutron Electric Dipole Moment (J-PARC P33))

Conf(将来計画検討小委員会) At(Tokyo)

Doppler Shifter

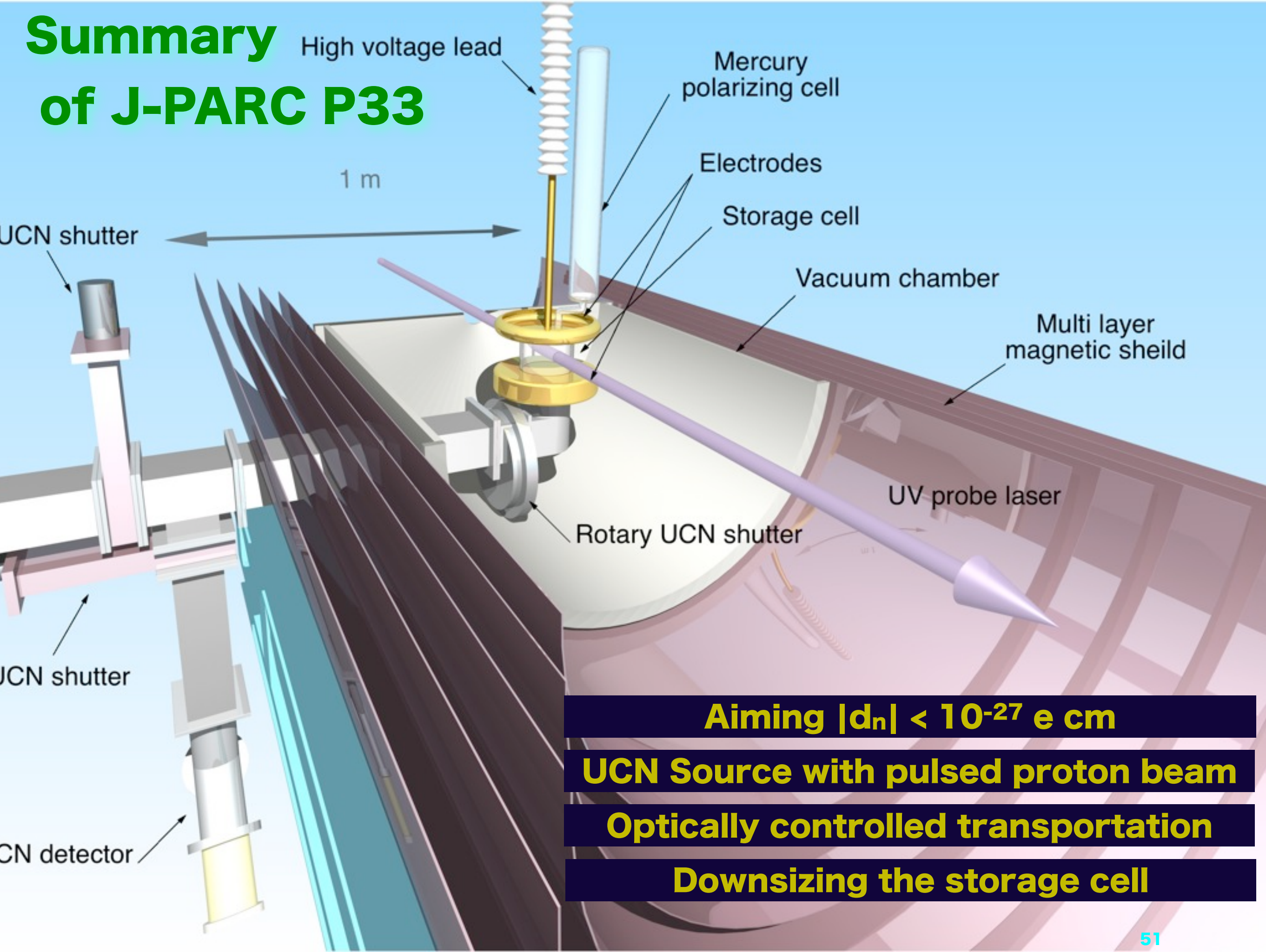


Date(2010/06/12) by(T.Yoshioka)

Title(Measurement of Neutron Electric Dipole Moment (J-PARC P33))

Conf(将来計画検討小委員会) At(Tokyo)

Summary of J-PARC P33



THE END



Date(2010/06/12) by(T.Yoshioka)

Title(Measurement of Neutron Electric Dipole Moment (J-PARC P33))

Conf(将来計画検討小委員会) At(Tokyo)

BACKUP



Date(2010/06/12) by(T.Yoshioka)

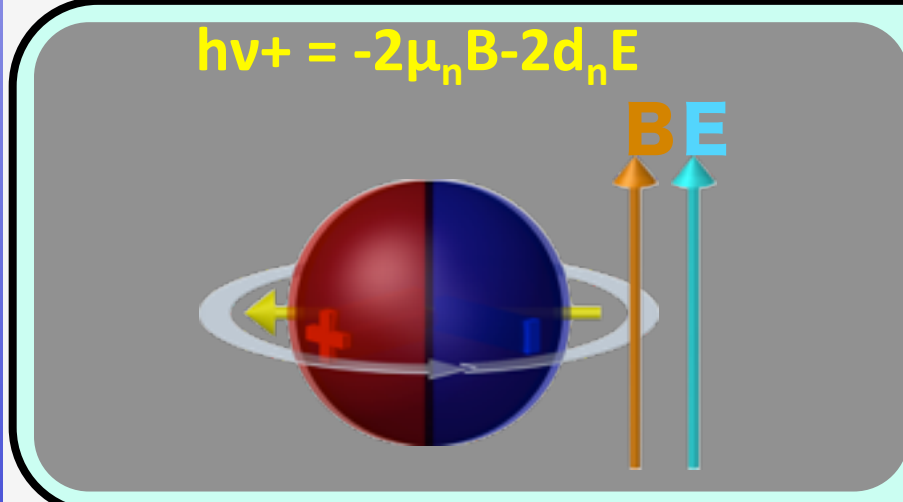
Title(Measurement of Neutron Electric Dipole Moment (J-PARC P33))

Conf(将来計画検討小委員会) At(Tokyo)

Neutron Electric Dipole Moment (nEDM)

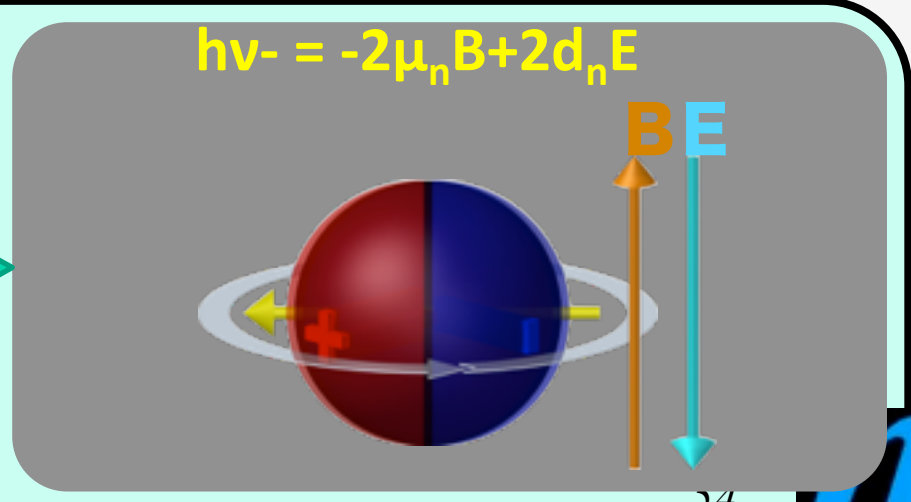
- nEDM is T and P violation process, and also violates CP assuming CPT invariance.
 - Present experimental sensitivities are very close to those theoretical predictions.
 - Some BSM predict $d_n \sim 10^{-27\text{--}28}$ (SM predicts $d_n \sim 10^{-32}$).
 - Current upper limit : 2.8×10^{-26} (90% C.L.)
- nEDM measurement provides strong constraints on these theories.

Measurement principle

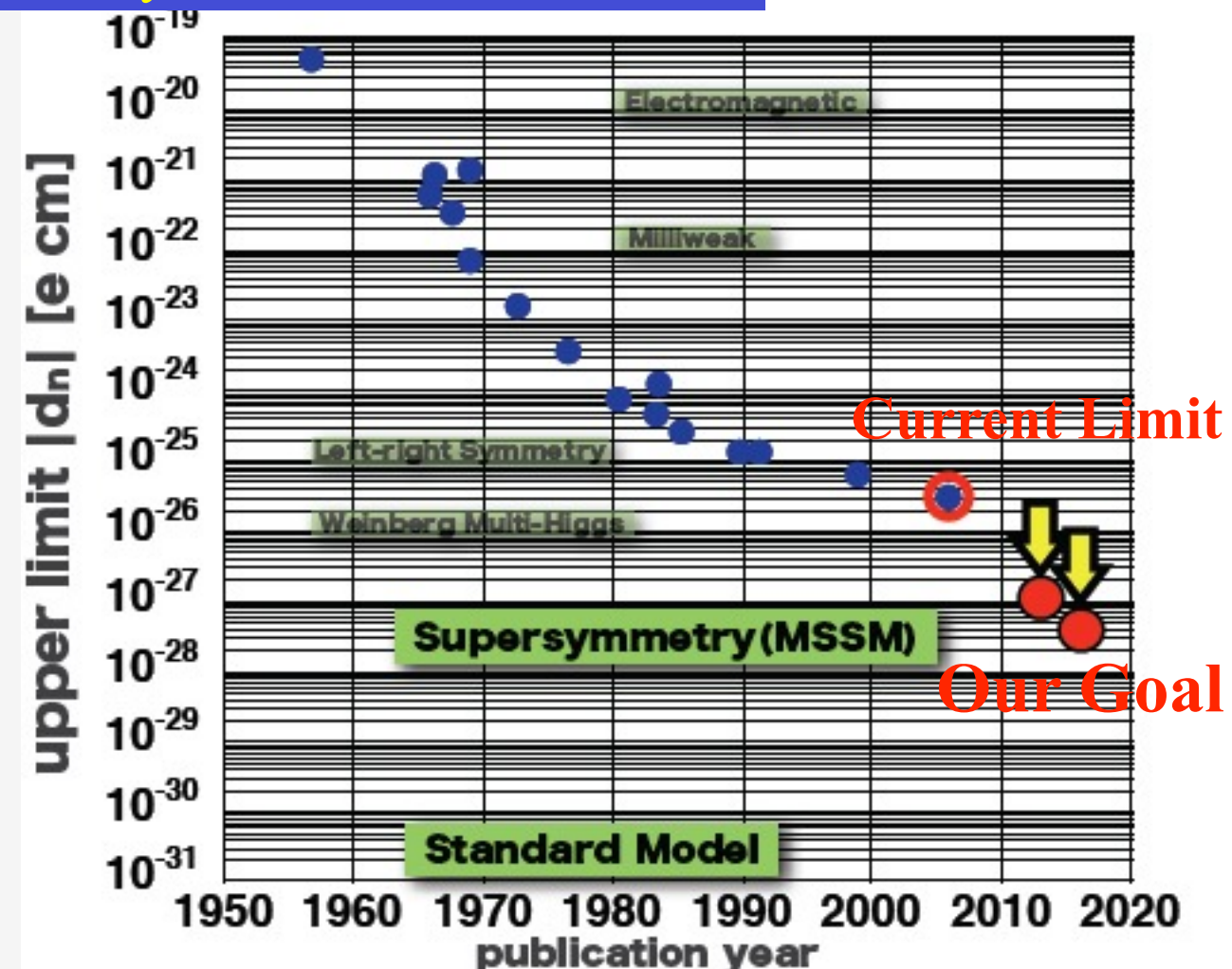


$$d_n = -\frac{\hbar}{4E} (\nu_+ - \nu_-)$$

Search for the phase change when the electric field is reversed



History of nEDM measurement



標準理論における時間反転対称性の破れ

strong CP problem

$|d_n| < 10^{-16} \text{ e cm}$

$$\mathcal{L} = -\frac{1}{4}F_{\mu\nu}F^{\mu\nu} - \frac{n_f g^2 \theta}{32\pi^2} F_{\mu\nu}\tilde{F}^{\mu\nu} + \bar{\psi}(i\gamma^\mu D_\mu - me^{i\theta' \gamma_5})\psi$$

CKM phase

$|d_n| < 10^{-32} \text{ e cm}$

$$\mathcal{L}_Y = -Y_{ij}^d \overline{Q_{Li}^I} \phi d_{Rj}^I - Y_{ij}^u \overline{Q_{Li}^I} \epsilon \phi^* u_{Rj}^I + \text{h.c.}$$

$$V = \begin{pmatrix} c_{12}c_{13} & s_{12}c_{13} & s_{13}e^{-i\delta} \\ -s_{12}c_{23}-c_{12}s_{23}s_{13}e^{i\delta} & c_{12}c_{23}-s_{12}s_{23}s_{13}e^{i\delta} & s_{23}c_{13} \\ s_{12}s_{23}-c_{12}c_{23}s_{13}e^{i\delta} & -c_{12}s_{23}-s_{12}c_{23}s_{13}e^{i\delta} & c_{23}c_{13} \end{pmatrix}$$

$$\theta_{12} = 13.04 \pm 0.05^\circ, \theta_{13} = 0.201 \pm 0.011^\circ, \theta_{23} = 2.38 \pm 0.06^\circ, \text{ and } \delta_{13} = 1.20 \pm 0.08$$

及び 標準理論を超える新しい物理

SUSY etc.

精密測定



量子論的ループを通じた新しい物理の探索

$$\delta_{\text{NEW}} = \frac{\Delta O_{\text{NEW}}}{O_{\text{SM}}} \sim \frac{\alpha}{\pi} \left(\frac{M}{M'} \right)^2$$

新しい物理を発見できる場合

標準理論が正確に予言できる場合

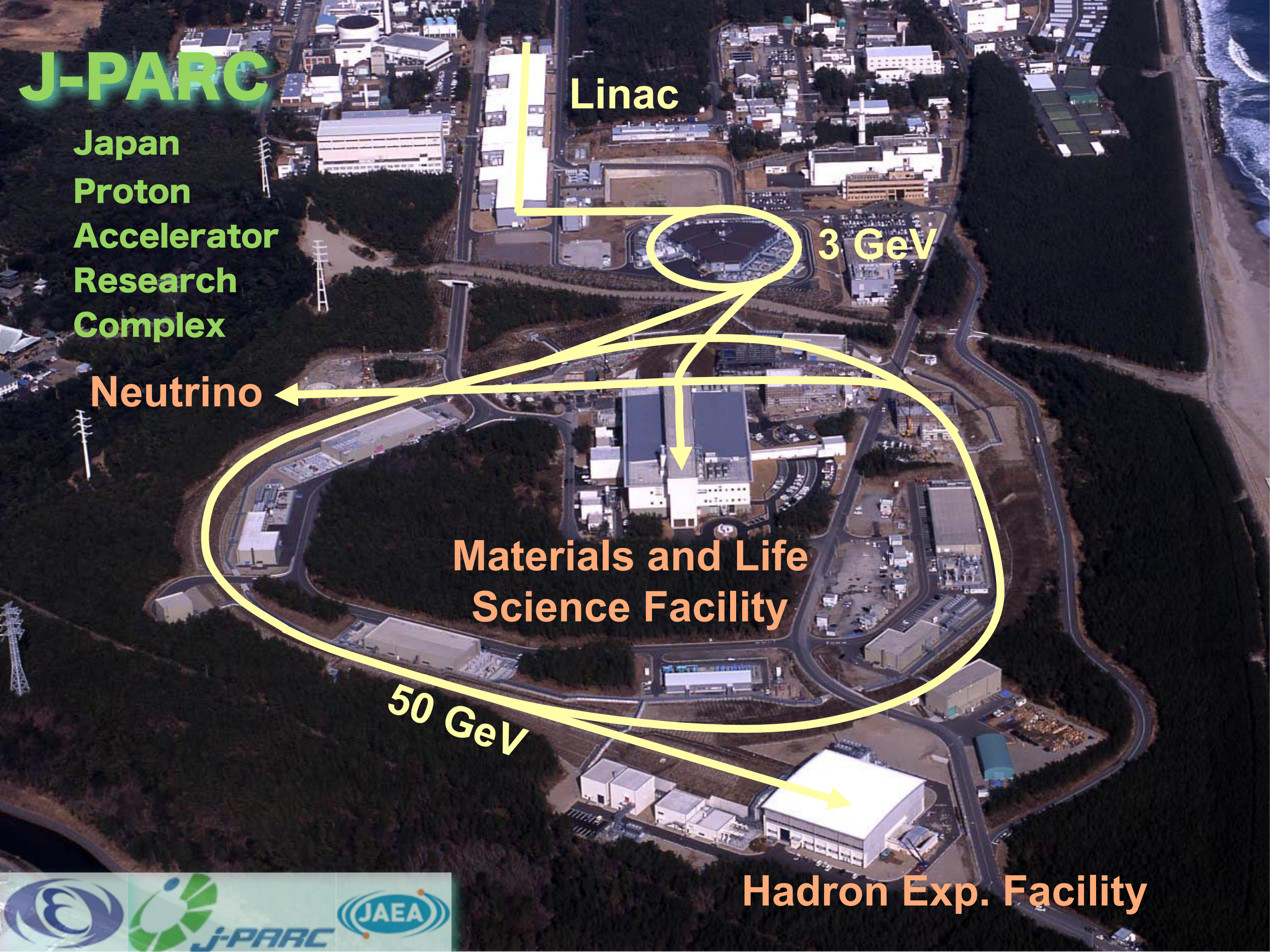
各種精密測定の標準理論からのズレを比較検討する場合

標準理論において禁止或は抑制されている場合



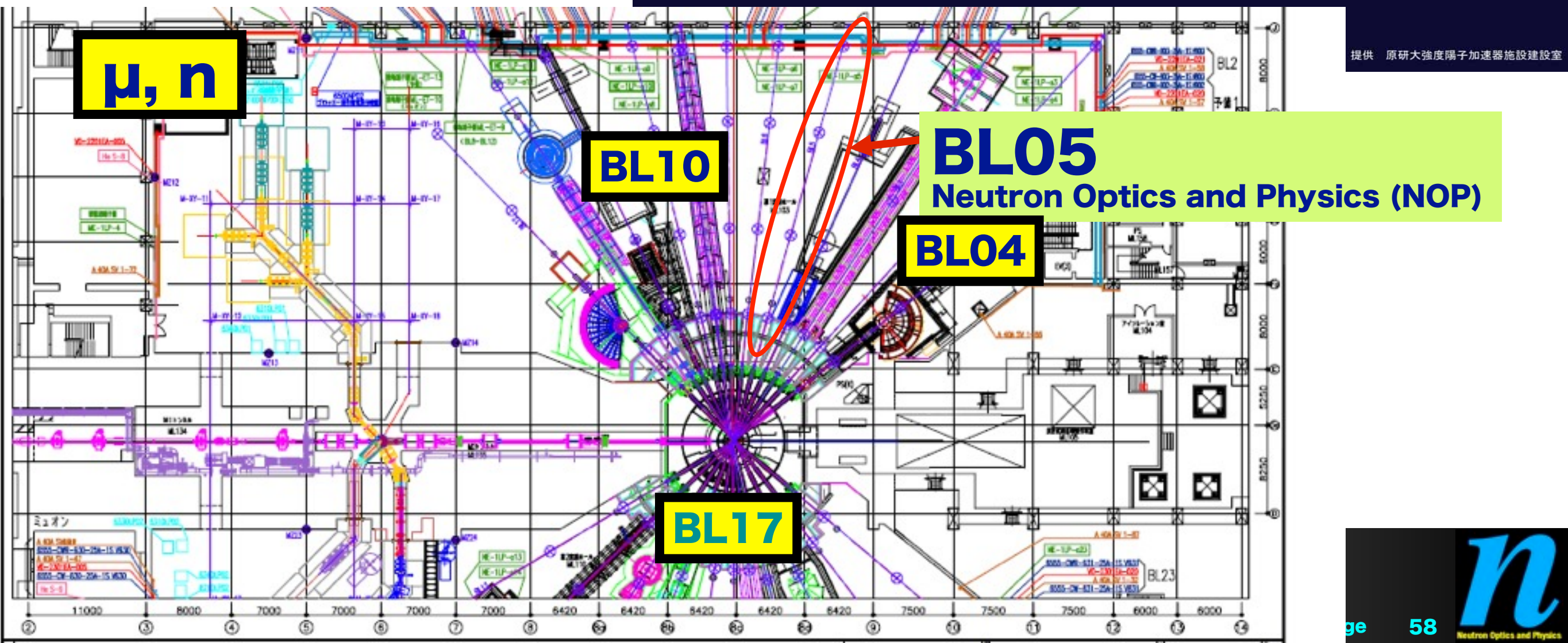
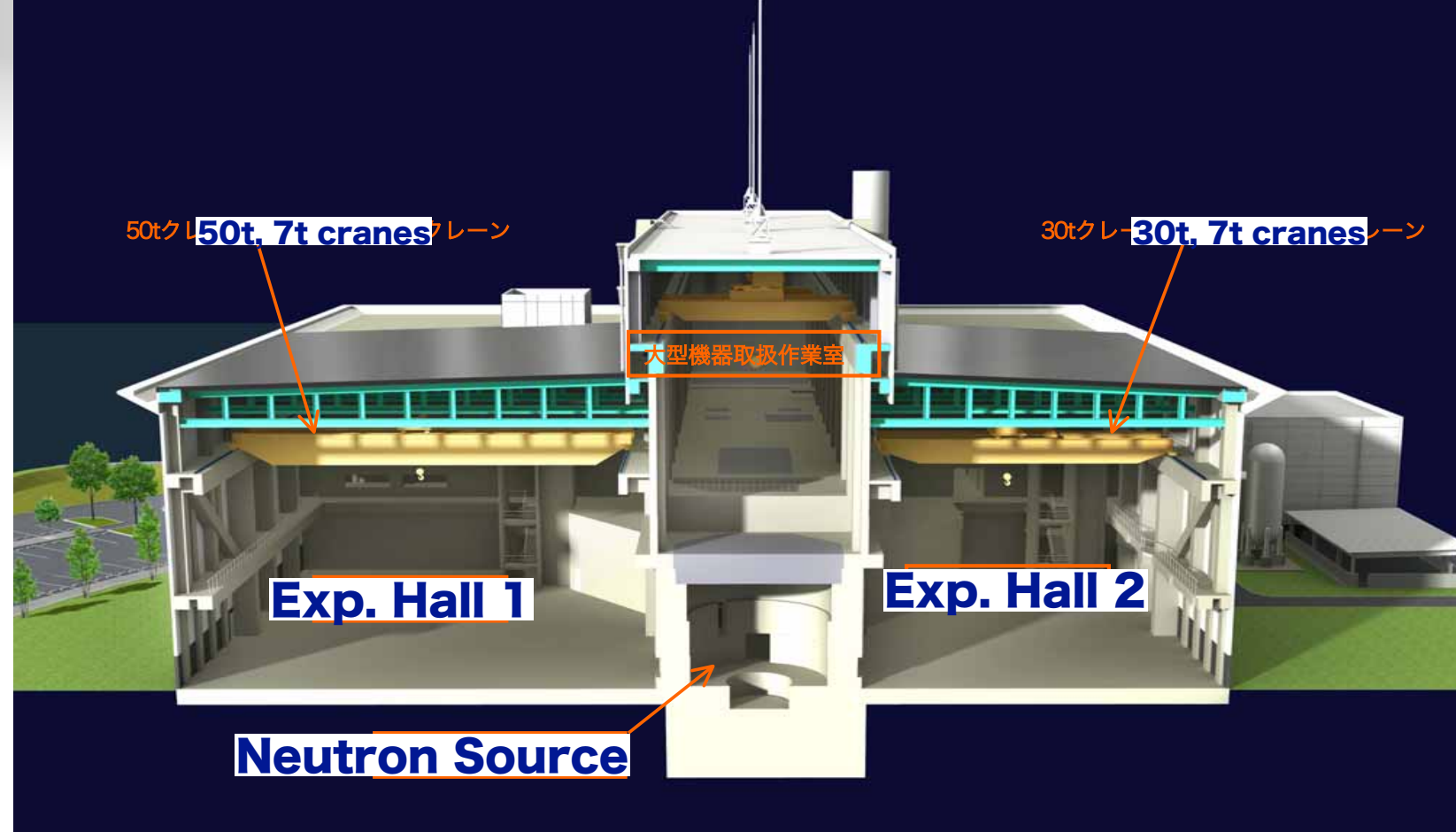
J-PARC

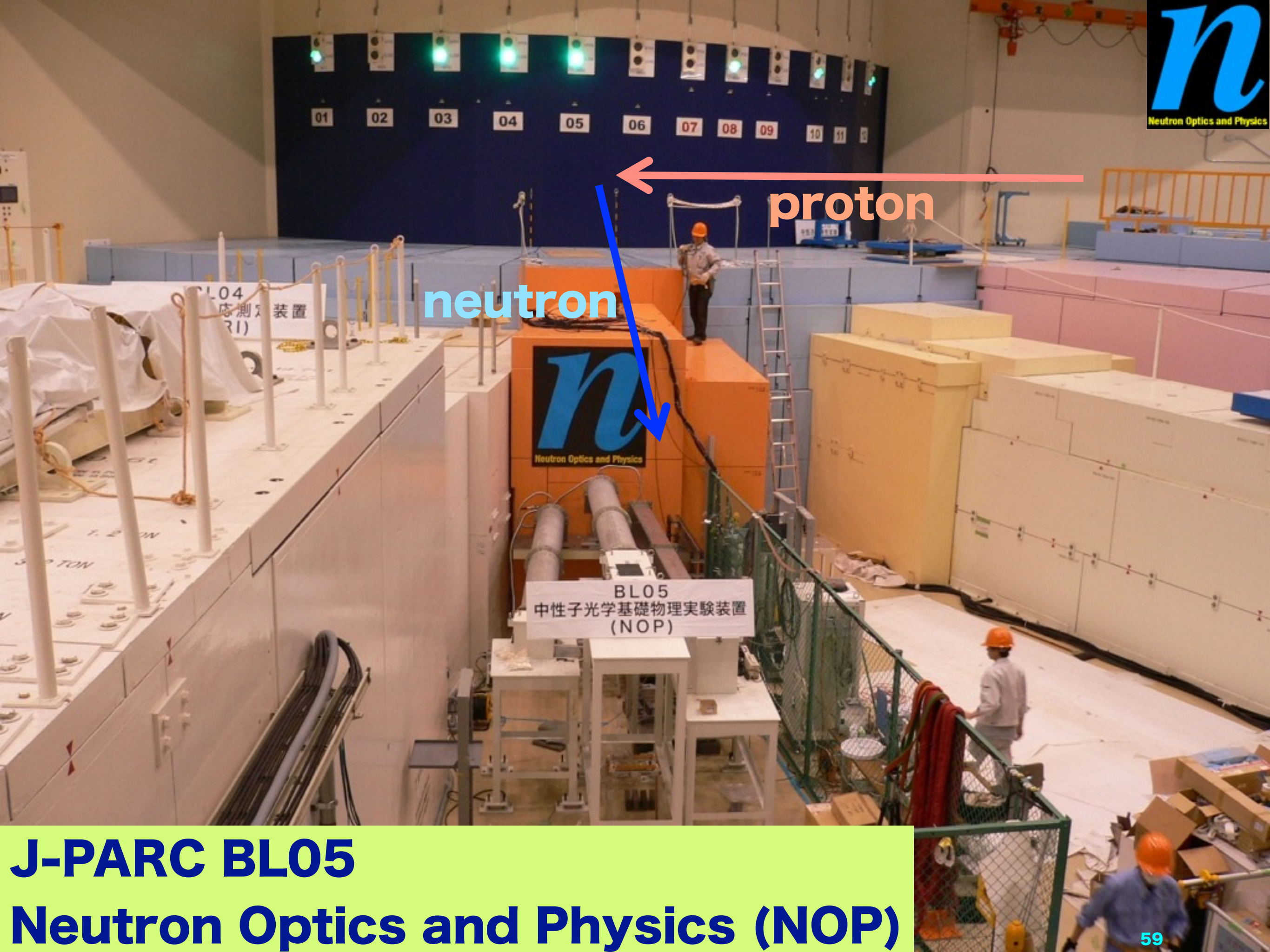
Japan Proton Accelerator Research Complex



J-PARC MLF

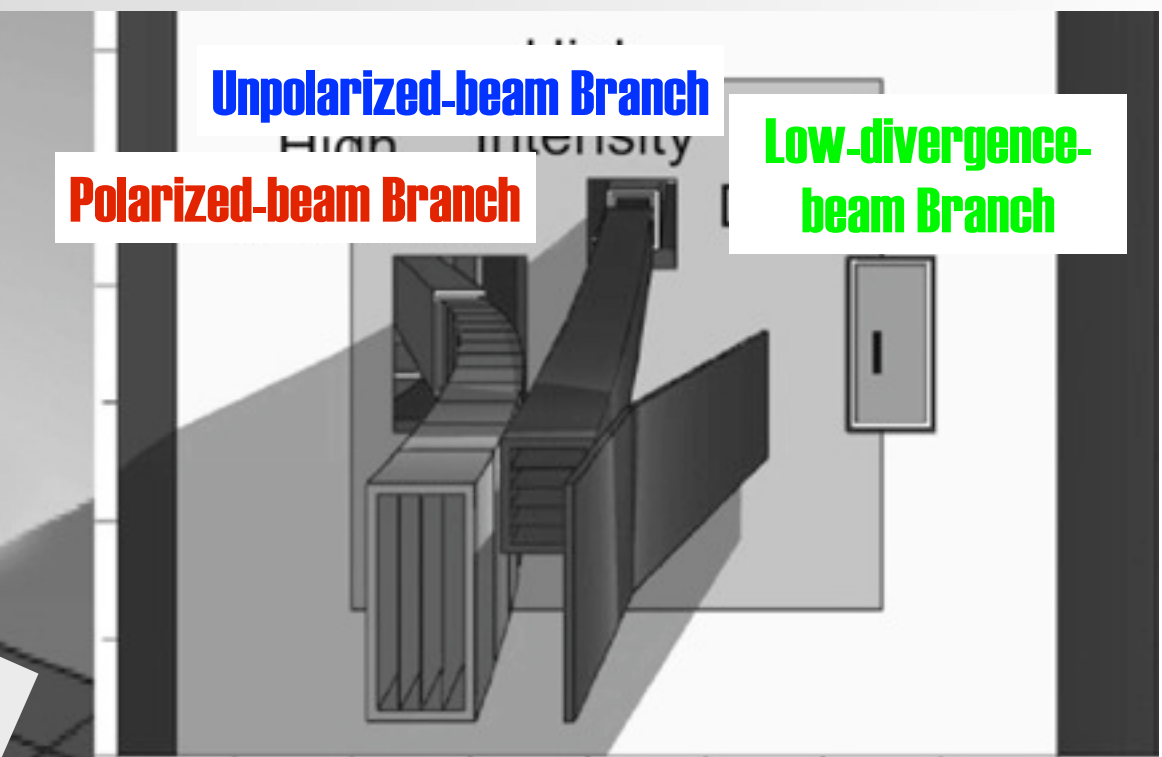
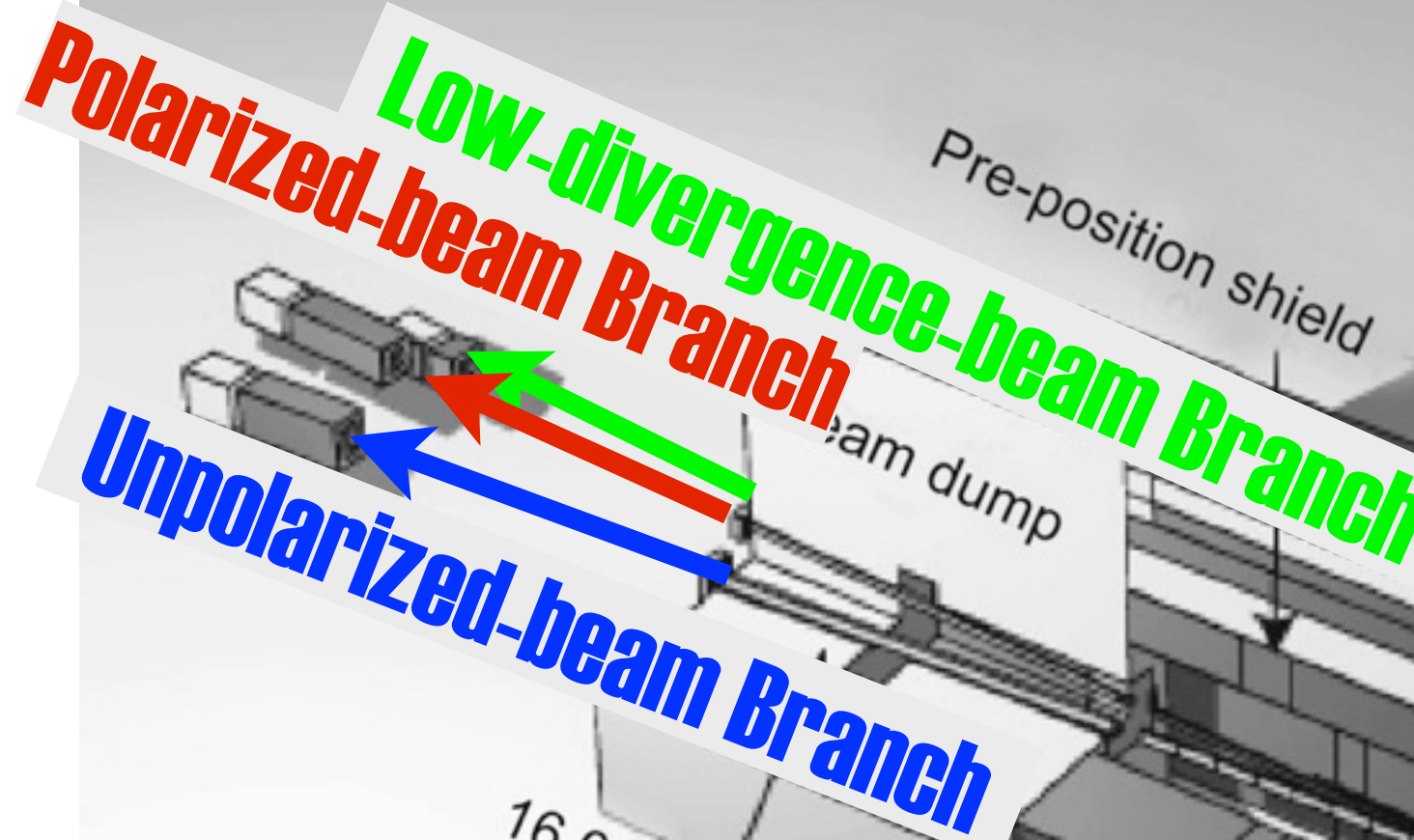
Material and Life-science Facility





J-PARC BL05

Neutron Optics and Physics (NOP)



K.Mishima et al., NIM A600 (2009) 423.

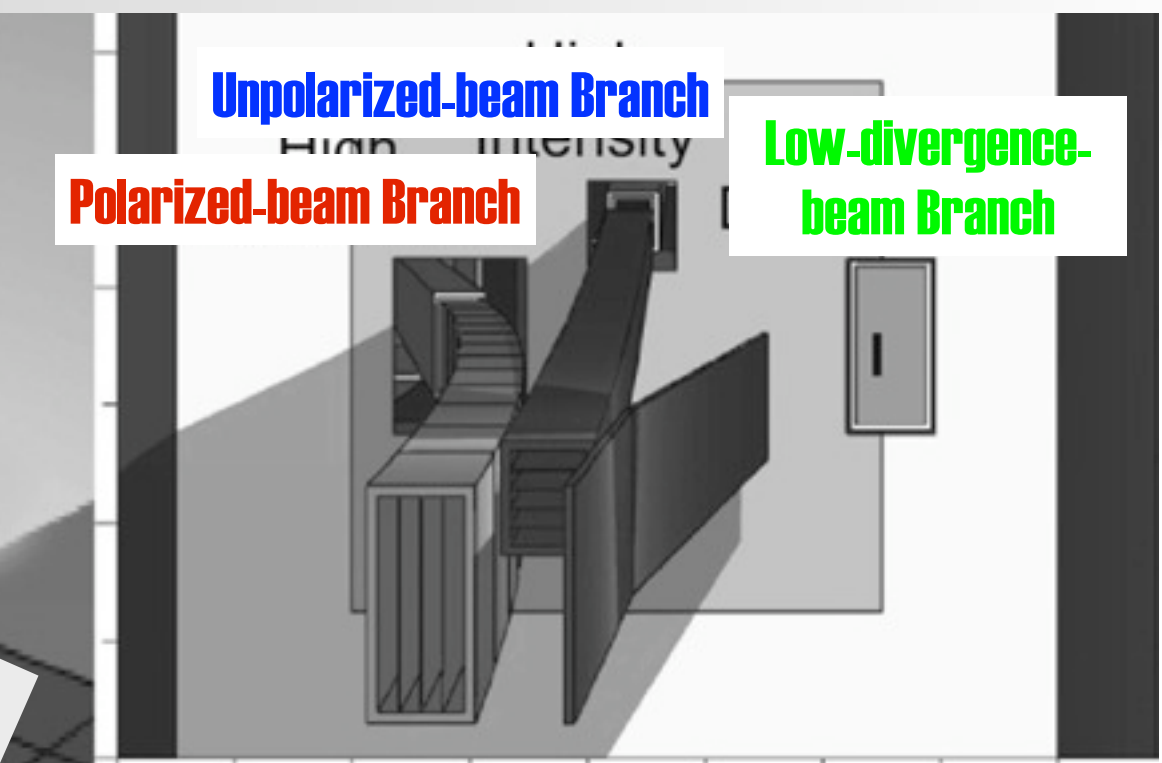
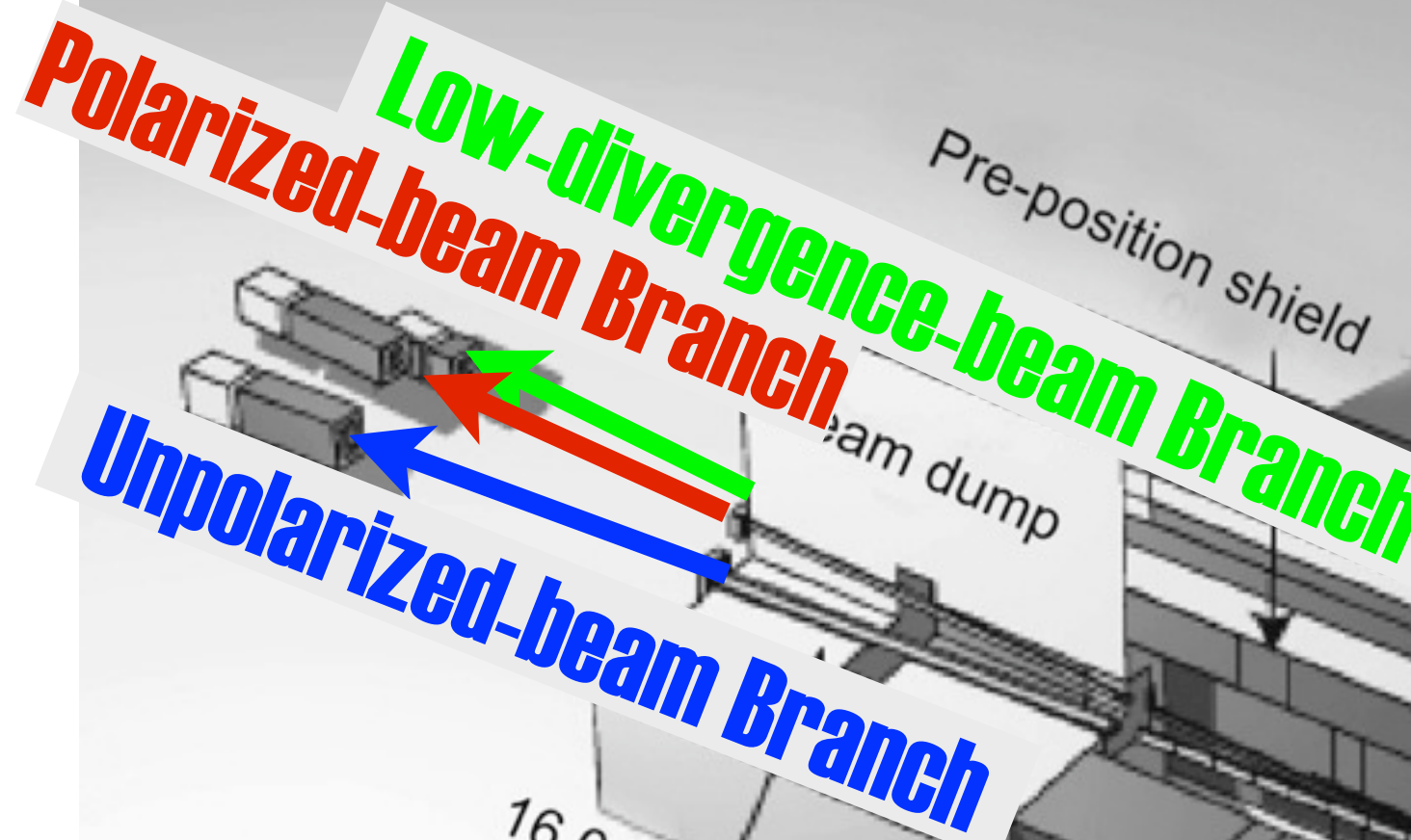


Date(2010/06/12) by(T.Yoshioka)

Title(Measurement of Neutron Electric Dipole Moment (J-PARC P33))

Conf(将来計画検討小委員会) At(Tokyo)





K.Mishima et al., NIM A600 (2009) 423.



Date(2010/06/12) by(T.Yoshioka)

Title(Measurement of Neutron Electric Dipole Moment (J-PARC P33))

Conf(将来計画検討小委員会) At(Tokyo)

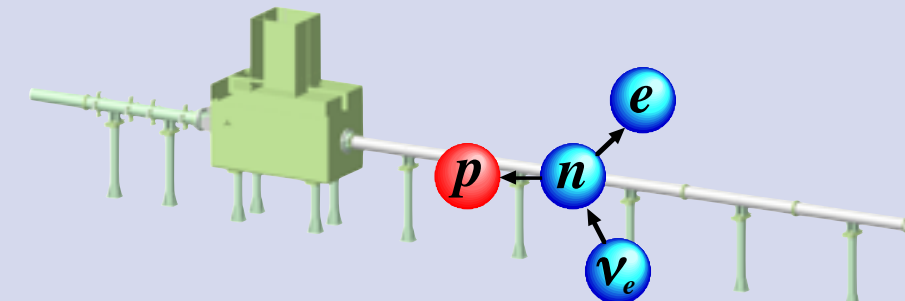


Polarized-beam Branch

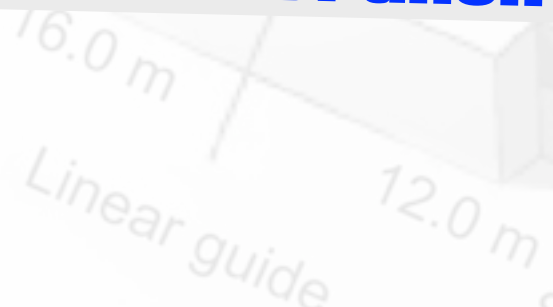


“Decay”

- decay parameters
- unitarity of CKM matrix
- T-violation
- nucleosynthesis

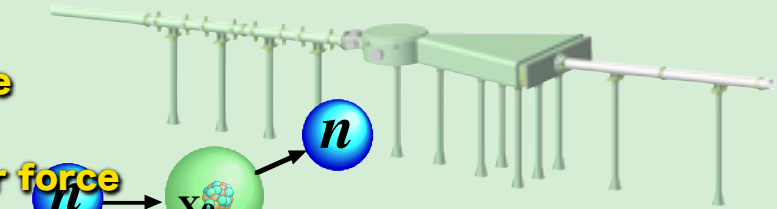


Unpolarized-beam Branch



“Scattering”

- unknown medium range force
- large extra-dimension
- charge symmetry of nuclear force etc.

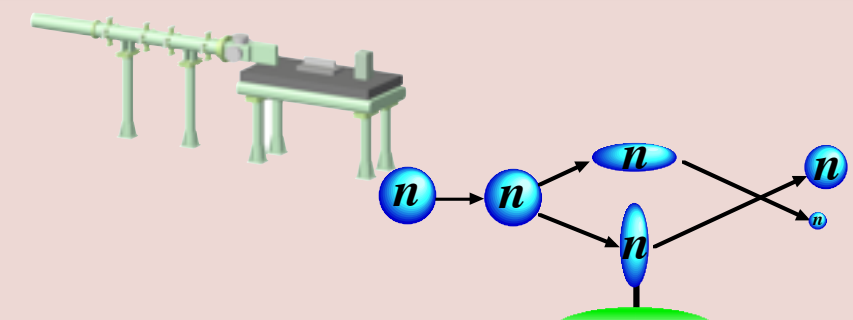


Low-divergence-beam Branch



“Interference”

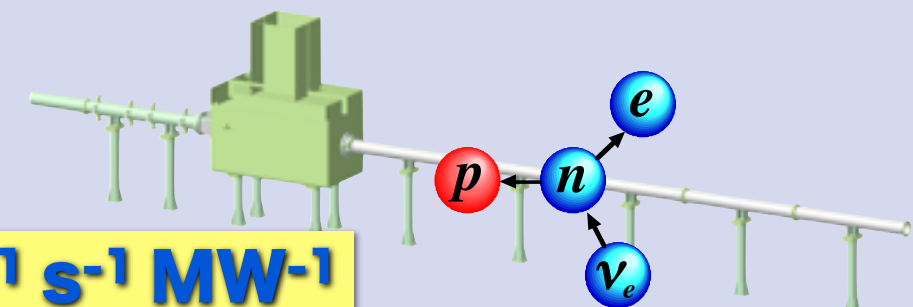
- gravitational phase shift
- Ahoronov-Casher effect etc.



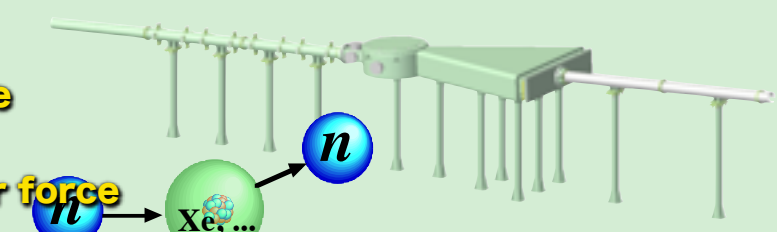
K.Mishima et al., NIM A600 (2009) 423.

Polarized-beam Branch **$4.0 \times 10^8 \text{ cm}^{-2} \text{ s}^{-1} \text{ MW}^{-1}$** **$10\text{cm} \times 4\text{cm}$ P=0.998****“Decay”**

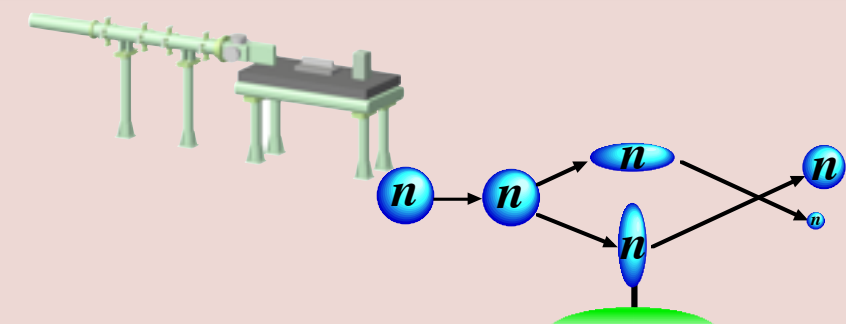
- decay parameters
- unitarity of CKM matrix
- T-violation
- **$10^4 \text{ decay m}^{-1} \text{ s}^{-1} \text{ MW}^{-1}$**

**instantaneous decay rate $\sim 10^5 \text{ decay m}^{-1} \text{ s}^{-1} \text{ MW}^{-1}$** **Unpolarized-beam Branch** **$1.2 \times 10^9 \text{ cm}^{-2} \text{ s}^{-1} \text{ MW}^{-1}$** **$5\text{cm} \times 4\text{cm}$** **“Scattering”**

- unknown medium range force
- large extra-dimension
- charge symmetry of nuclear force
- etc.

**Low-divergence-beam Branch** **$9.2 \times 10^5 \text{ cm}^{-2} \mu\text{sr}^{-1} \text{ s}^{-1} \text{ MW}^{-1}$** **“Interference”**

- gravitational phase shift
- Ahoronov-Casher effect
- etc.

**K.Mishima et al., NIM A600 (2009) 423.**

Instantaneously Luminous

background separated in time
wide wavelength range

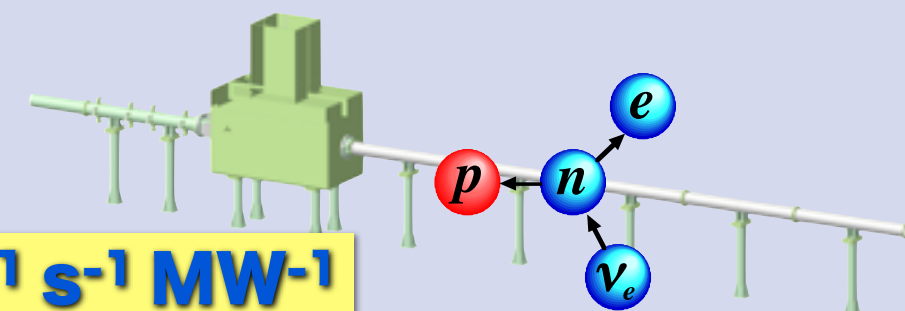
Polarized-beam Branch

$4.0 \times 10^8 \text{ cm}^{-2} \text{ s}^{-1} \text{ MW}^{-1}$

$10\text{cm} \times 4\text{cm}$ P=0.998

“Decay”

- decay parameters
- unitarity of CKM matrix
- T-violation
- $10^4 \text{ decay m}^{-1} \text{ s}^{-1} \text{ MW}^{-1}$



instantaneous decay rate $\sim 10^5 \text{ decay m}^{-1} \text{ s}^{-1} \text{ MW}^{-1}$

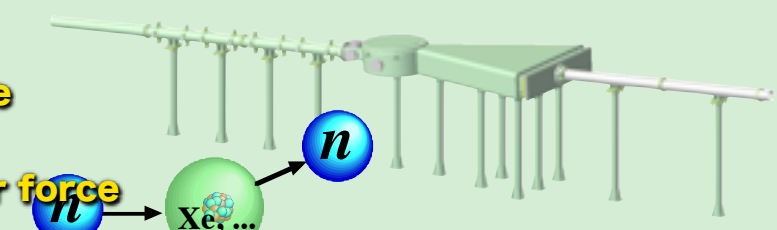
Unpolarized-beam Branch

$1.2 \times 10^9 \text{ cm}^{-2} \text{ s}^{-1} \text{ MW}^{-1}$

$5\text{cm} \times 4\text{cm}$

“Scattering”

- unknown medium range force
- large extra-dimension
- charge symmetry of nuclear force
- etc.

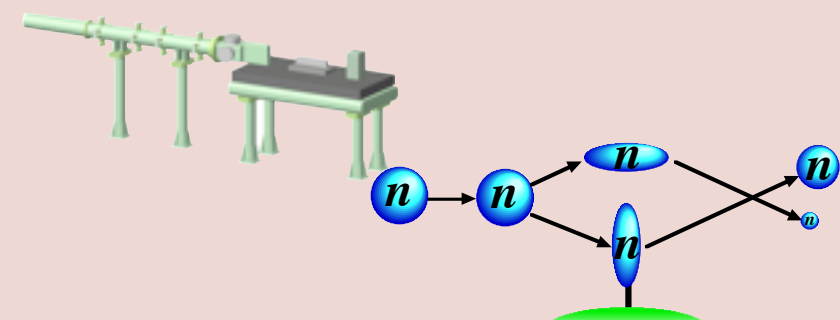


Low-divergence-beam Branch

$9.2 \times 10^5 \text{ cm}^{-2} \mu\text{sr}^{-1} \text{ s}^{-1} \text{ MW}^{-1}$

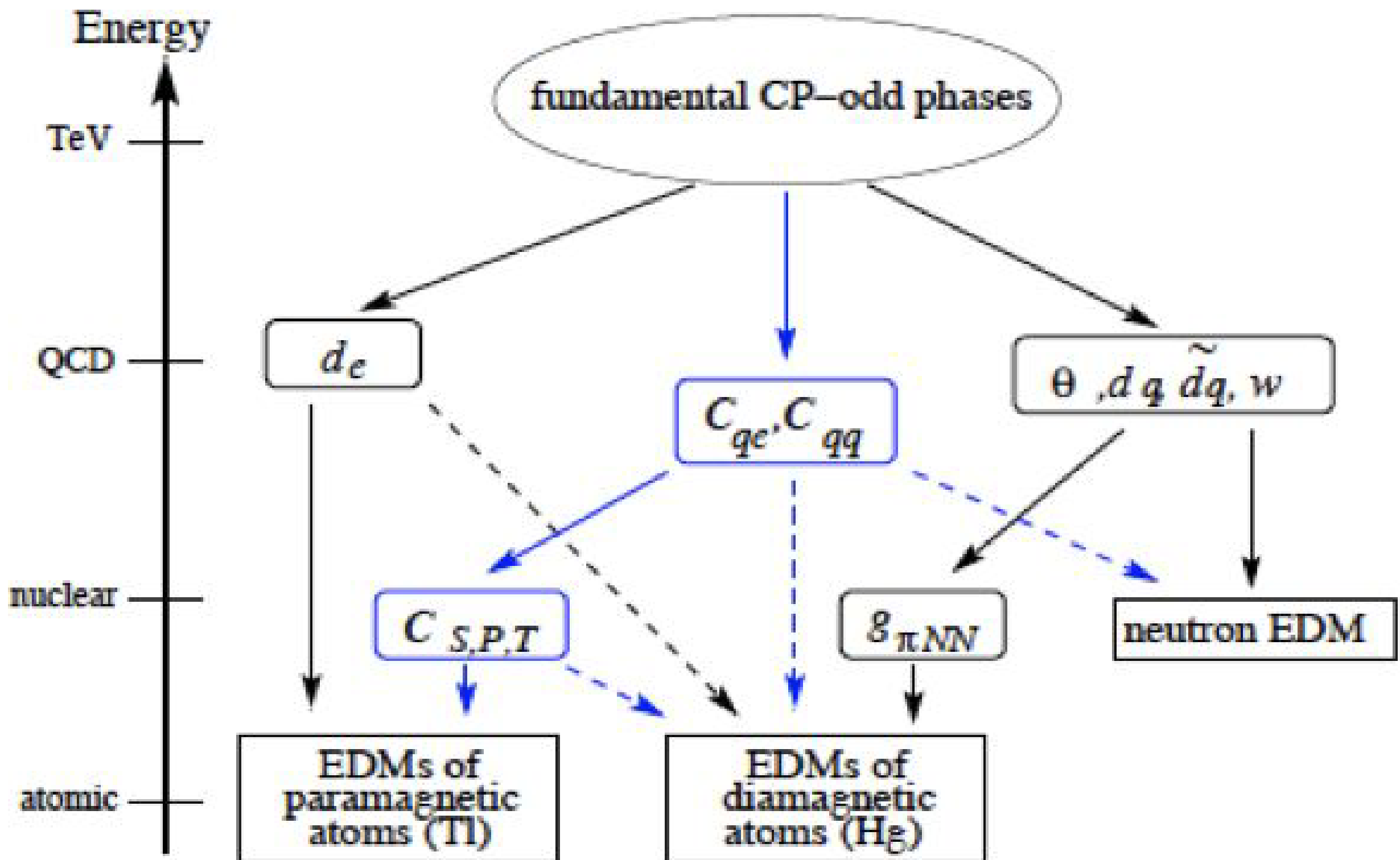
“Interference”

- gravitational phase shift
- Ahoronov-Casher effect
- etc.

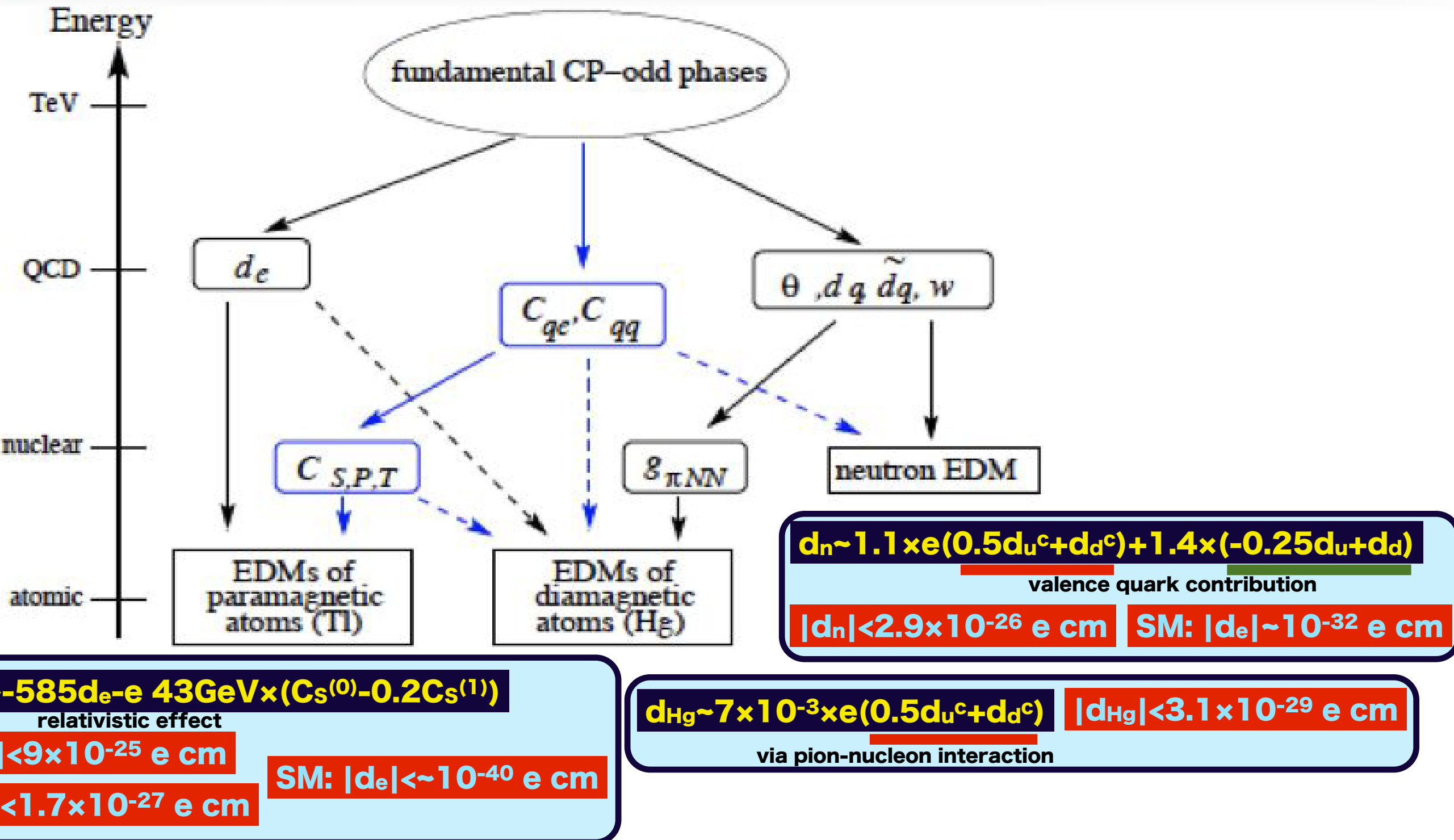


K.Mishima et al., NIM A600 (2009) 423.

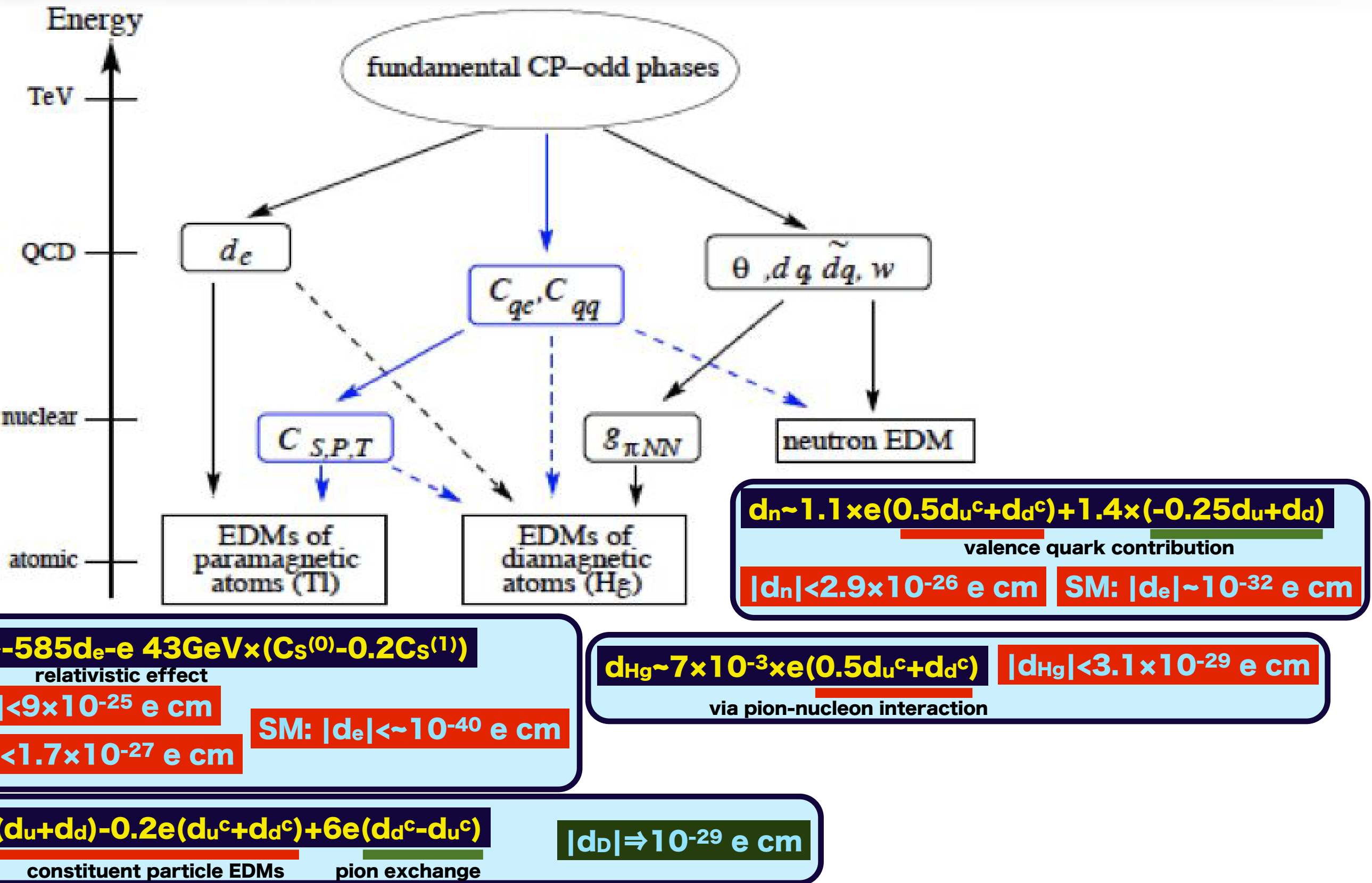
TeV → EDM

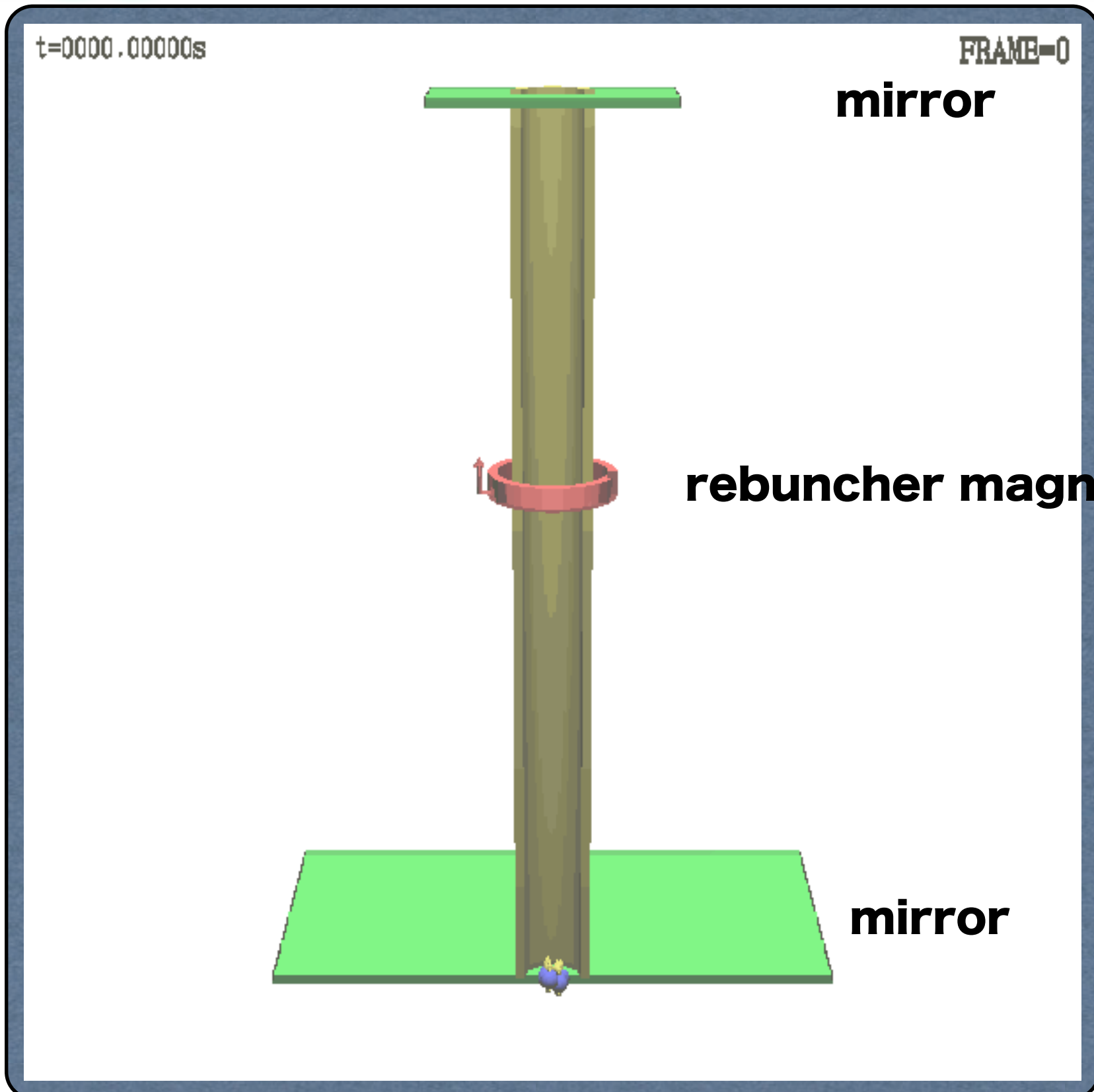


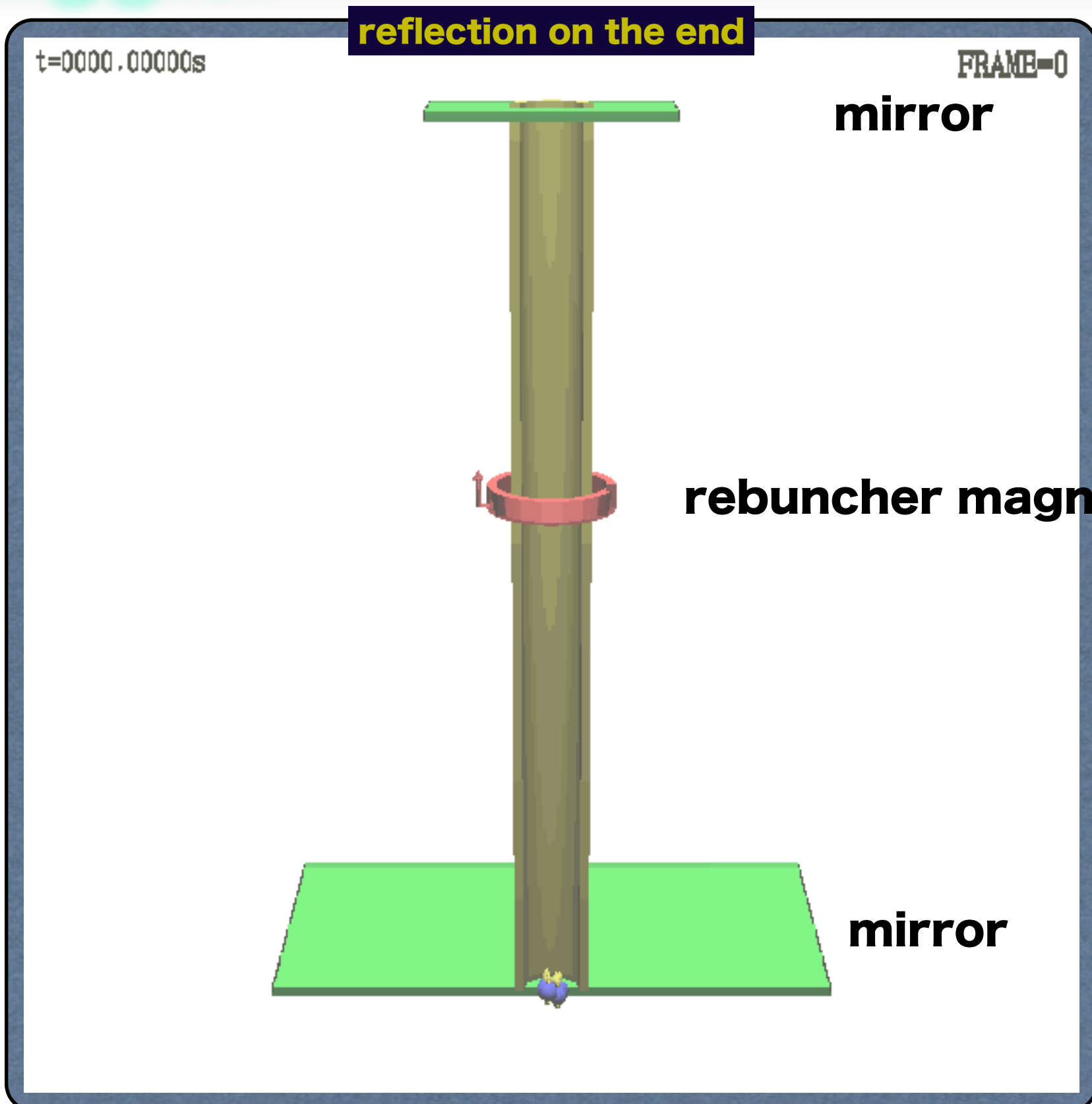
TeV → EDM

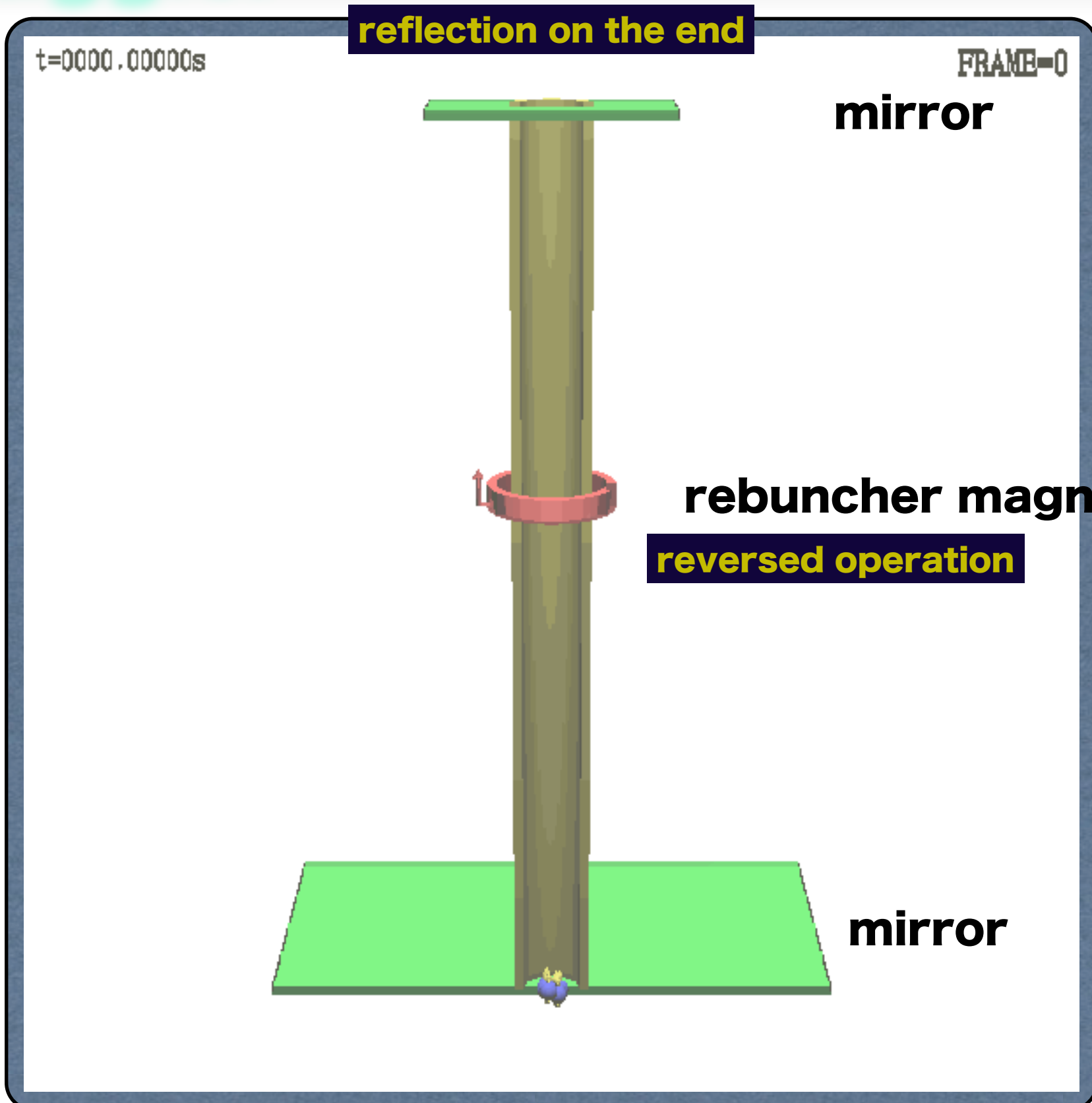


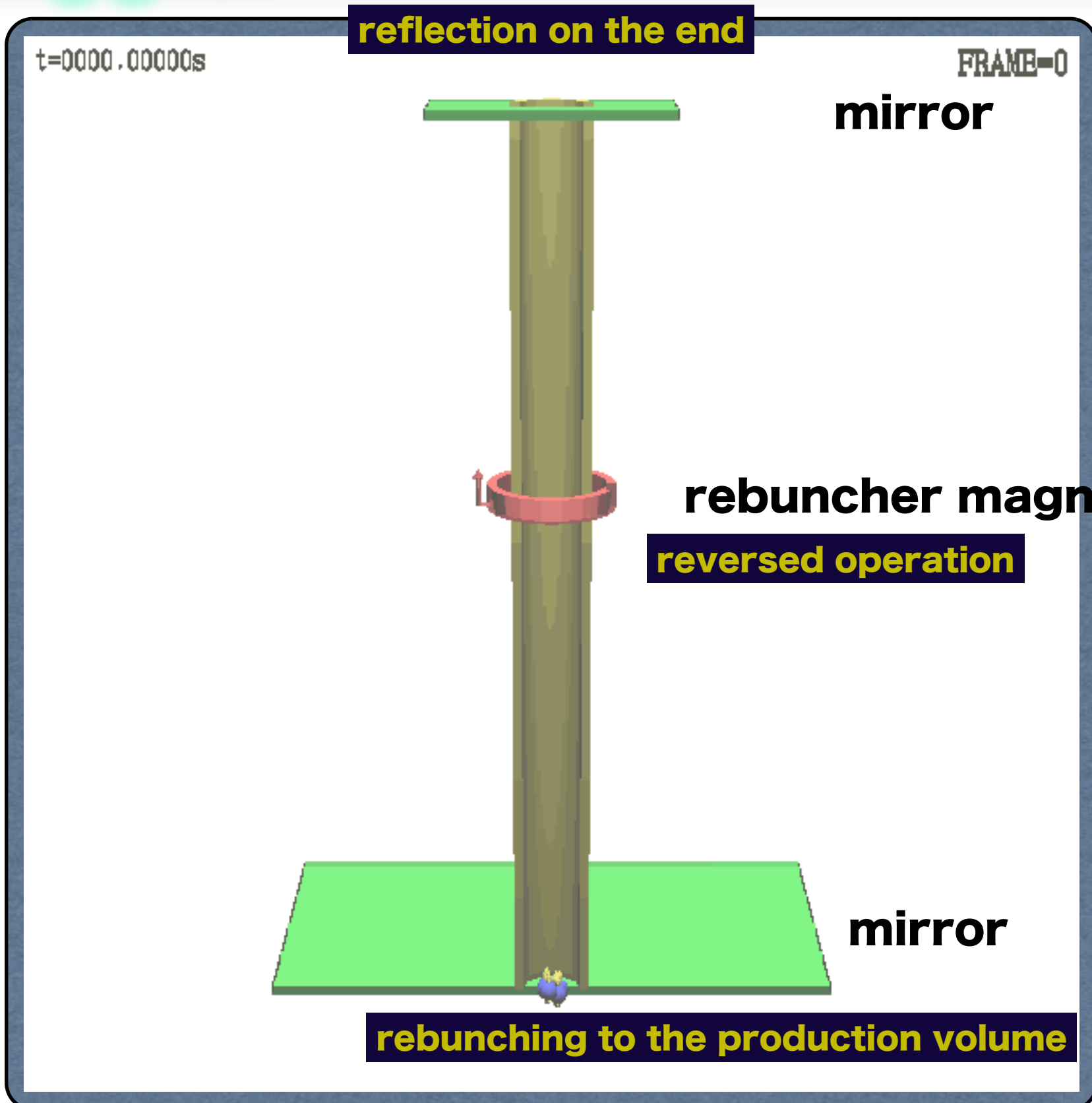
TeV → EDM





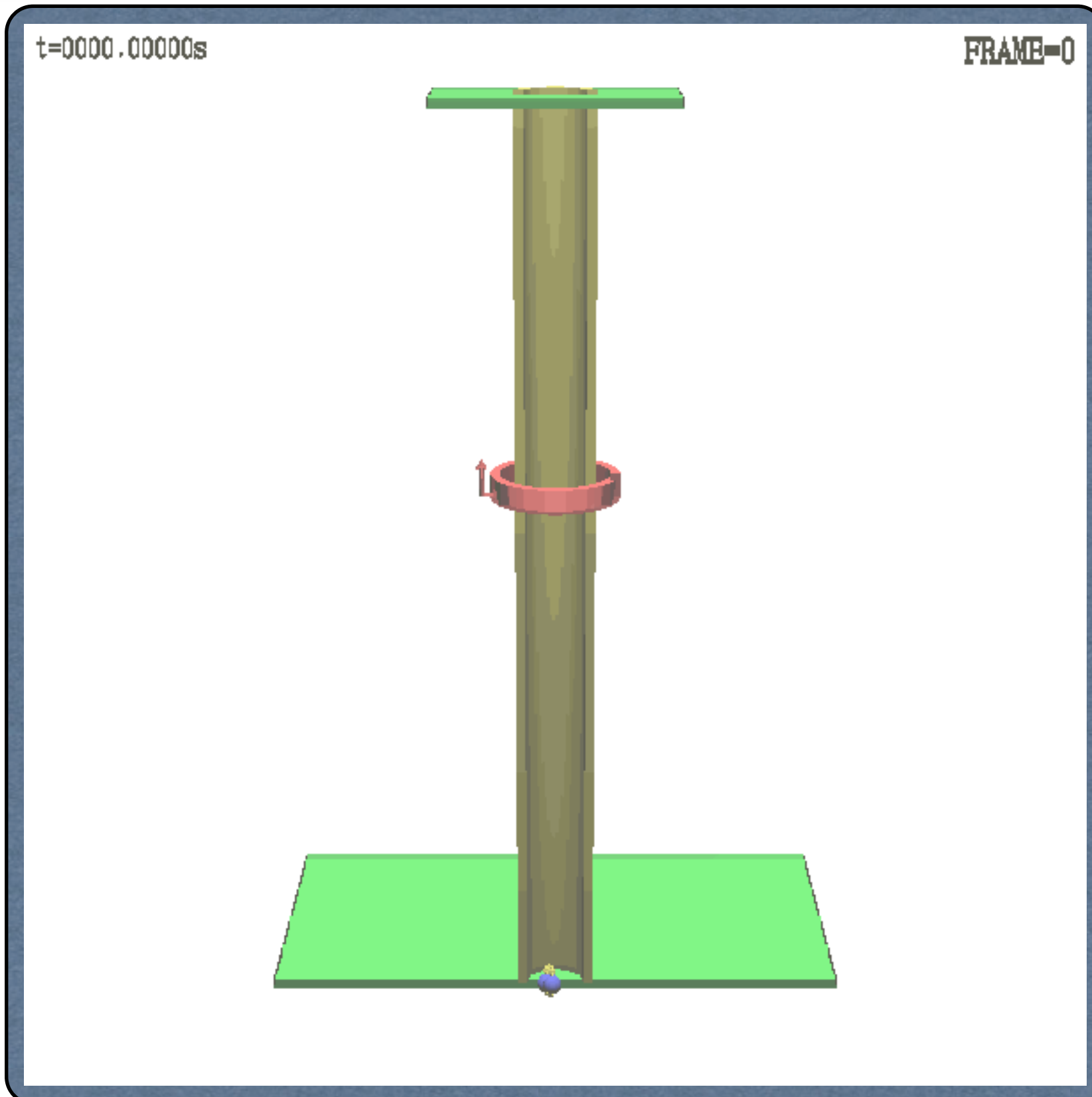






UCN Condenser

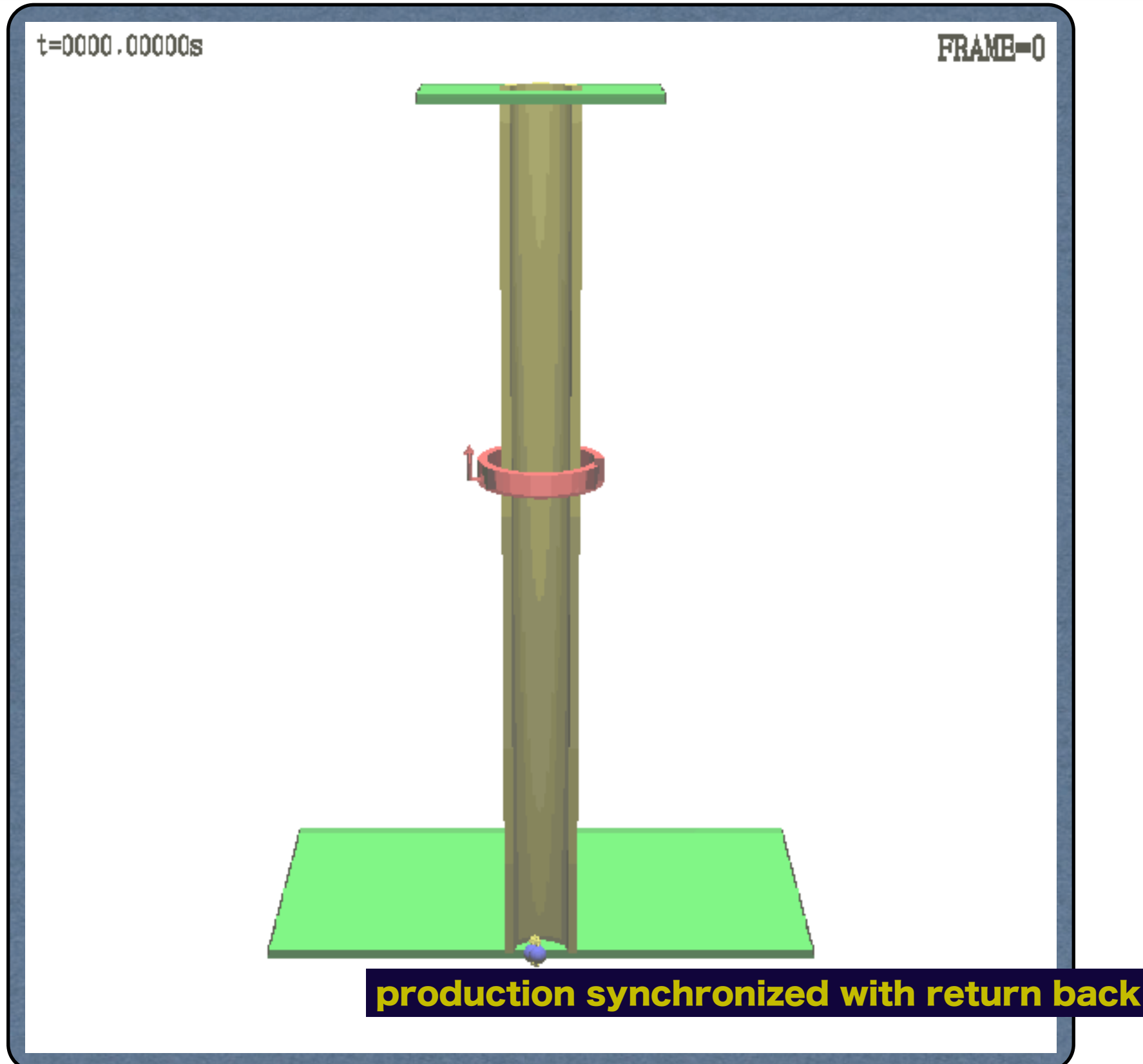
Pulsed Source+Rebuncher+Juggler



Date(2010/06/12) by(T.Yoshioka)
Title(Measurement of Neutron Electric Dipole Moment (J-PARC P33))
Conf(将来計画検討小委員会) At(Tokyo)

UCN Condenser

Pulsed Source+Rebuncher+Juggler



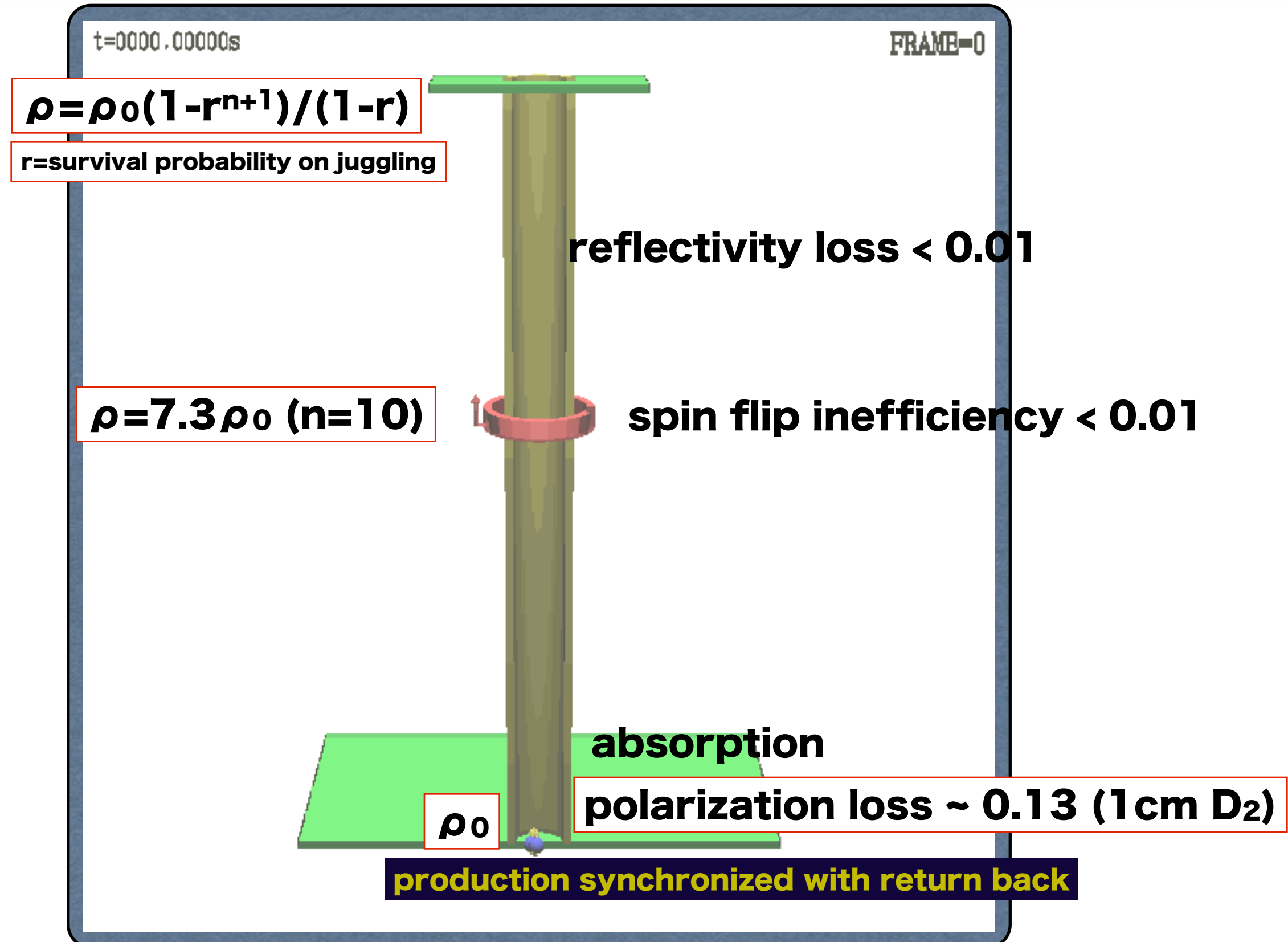
Date(2010/06/12) by(T.Yoshioka)

Title(Measurement of Neutron Electric Dipole Moment (J-PARC P33))

Conf(将来計画検討小委員会) At(Tokyo)

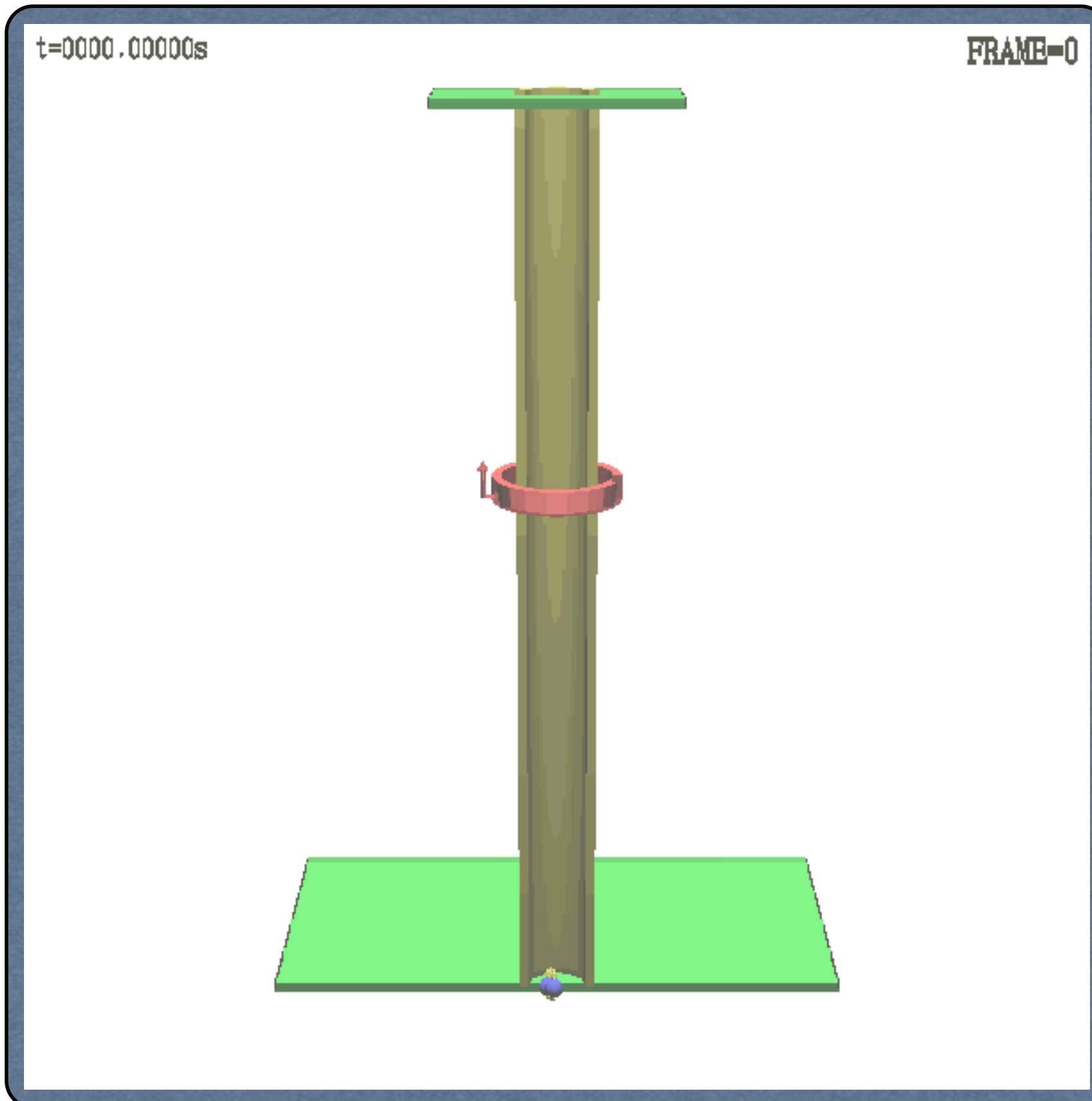
UCN Condenser

Pulsed Source+Rebuncher+Juggler



UCN Condenser

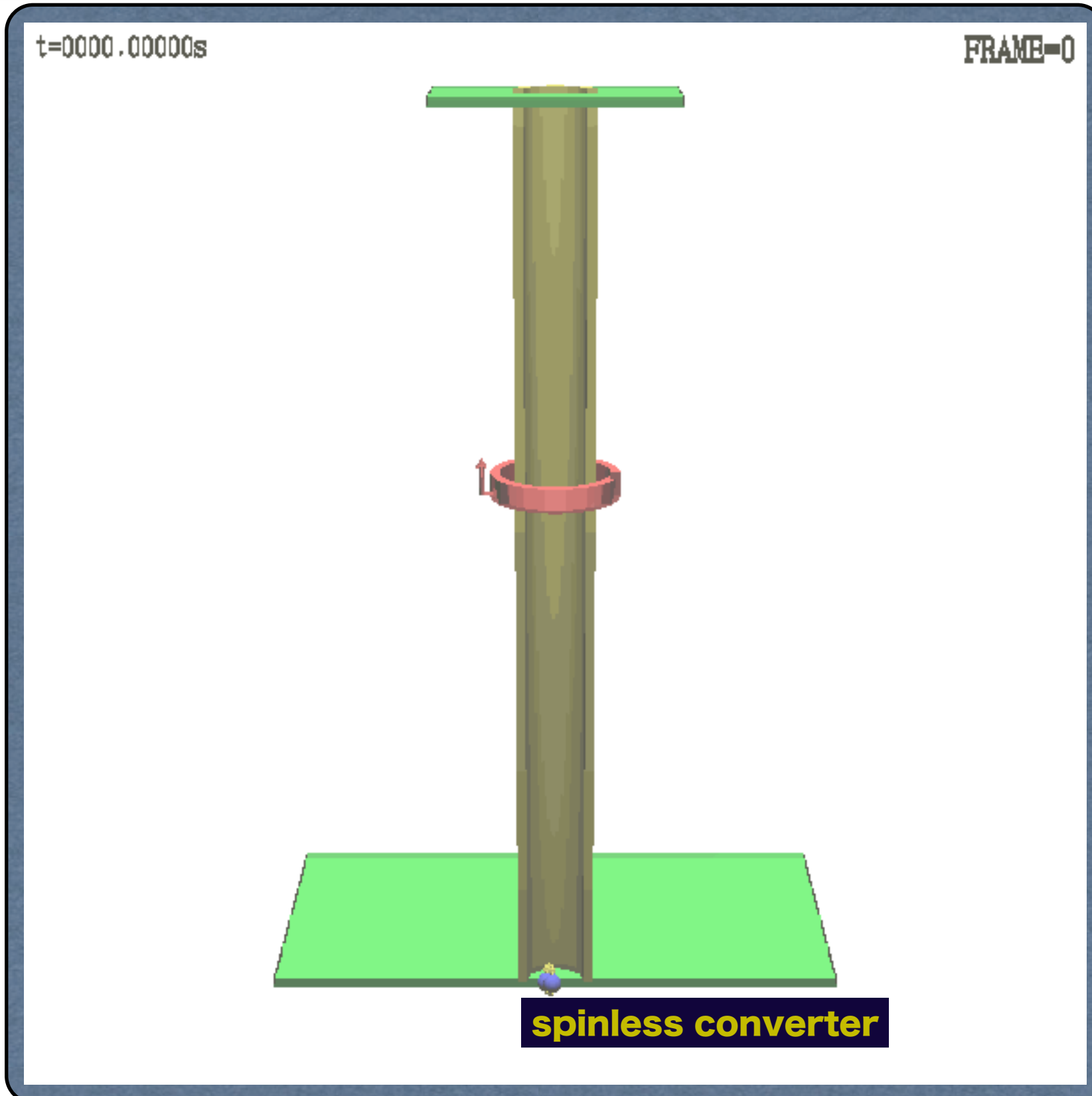
Pulsed Source+Rebuncher+Juggler



Date(2010/06/12) by(T.Yoshioka)
Title(Measurement of Neutron Electric Dipole Moment (J-PARC P33))
Conf(将来計画検討小委員会) At(Tokyo)

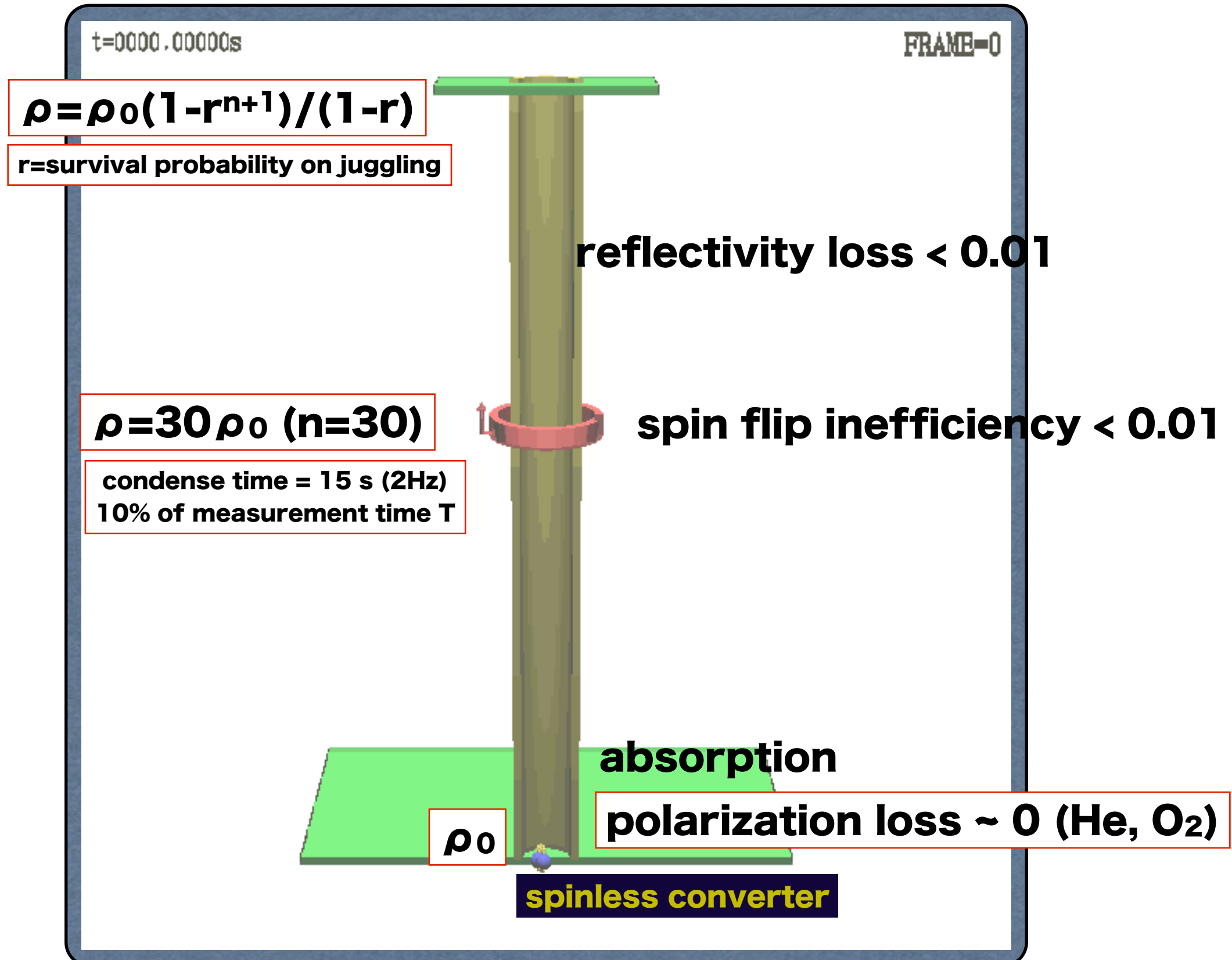
UCN Condenser

Pulsed Source+Rebuncher+Juggler



UCN Condenser

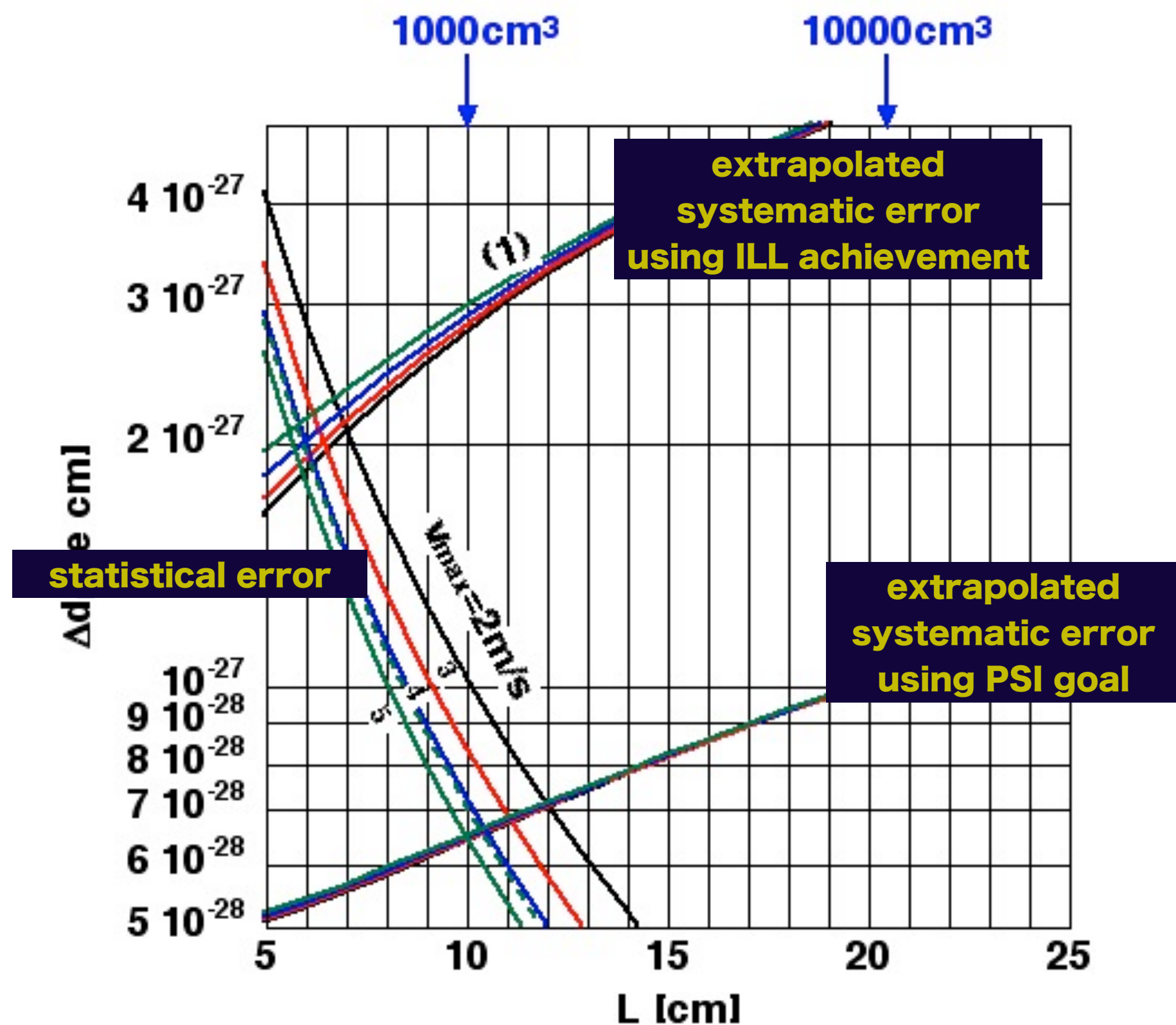
Pulsed Source+Rebuncher+Juggler



Experimental Errors

$$\rho_0 = 93000 \text{ cm}^{-3}$$

5000h
T=150s



cell size

Date(2010/06/12) by(T.Yoshioka)

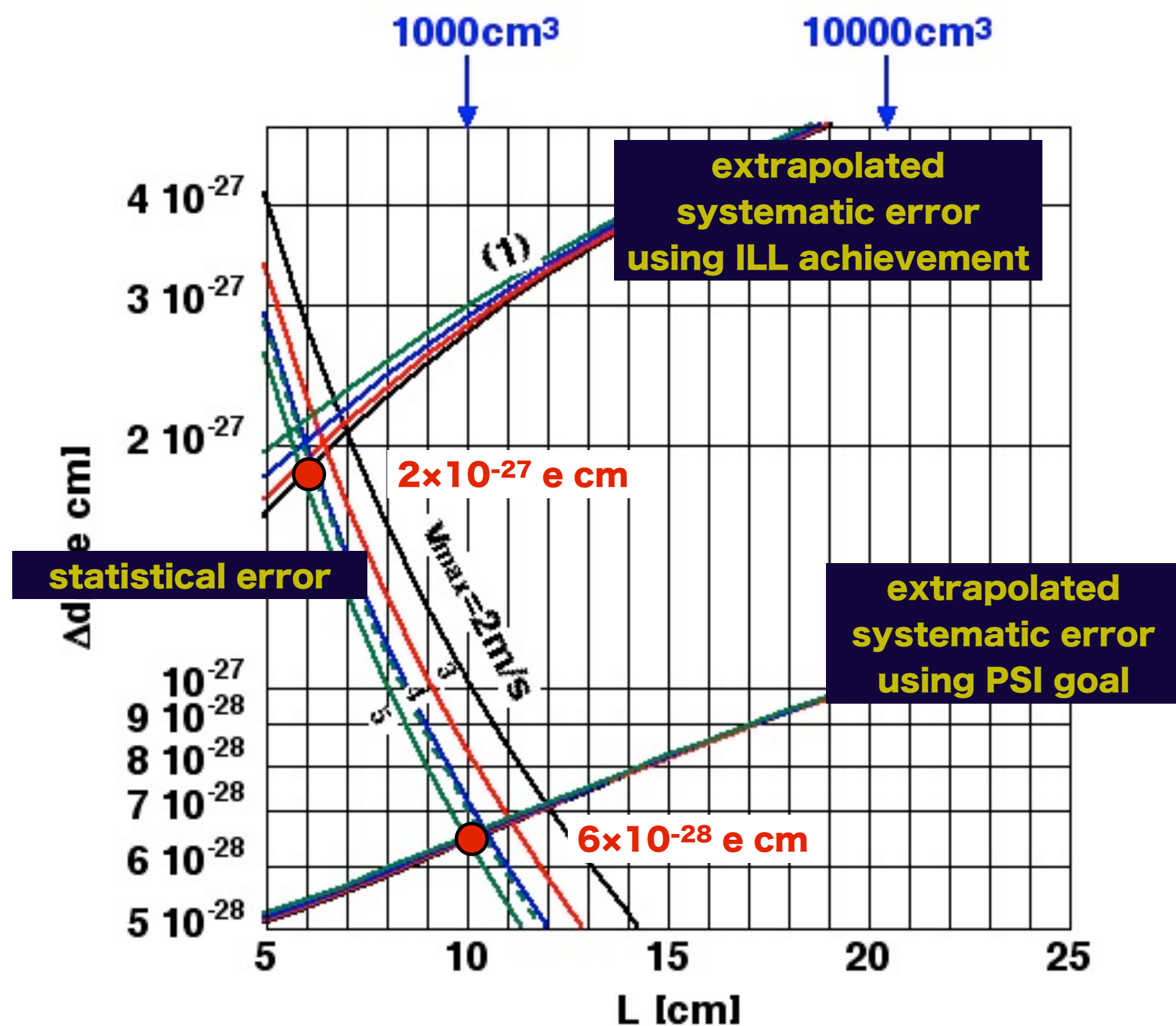
Title(Measurement of Neutron Electric Dipole Moment (S-PARC/PSI))

Conf(将来計画検討小委員会) At(Tokyo)

Experimental Errors

$$\rho_0 = 93000 \text{ cm}^{-3}$$

5000h
T=150s



cell size

Date(2010/06/12) by(T.Yoshioka)

Title(Measurement of Neutron Electric Dipole Moment (S-PARC/PSI))

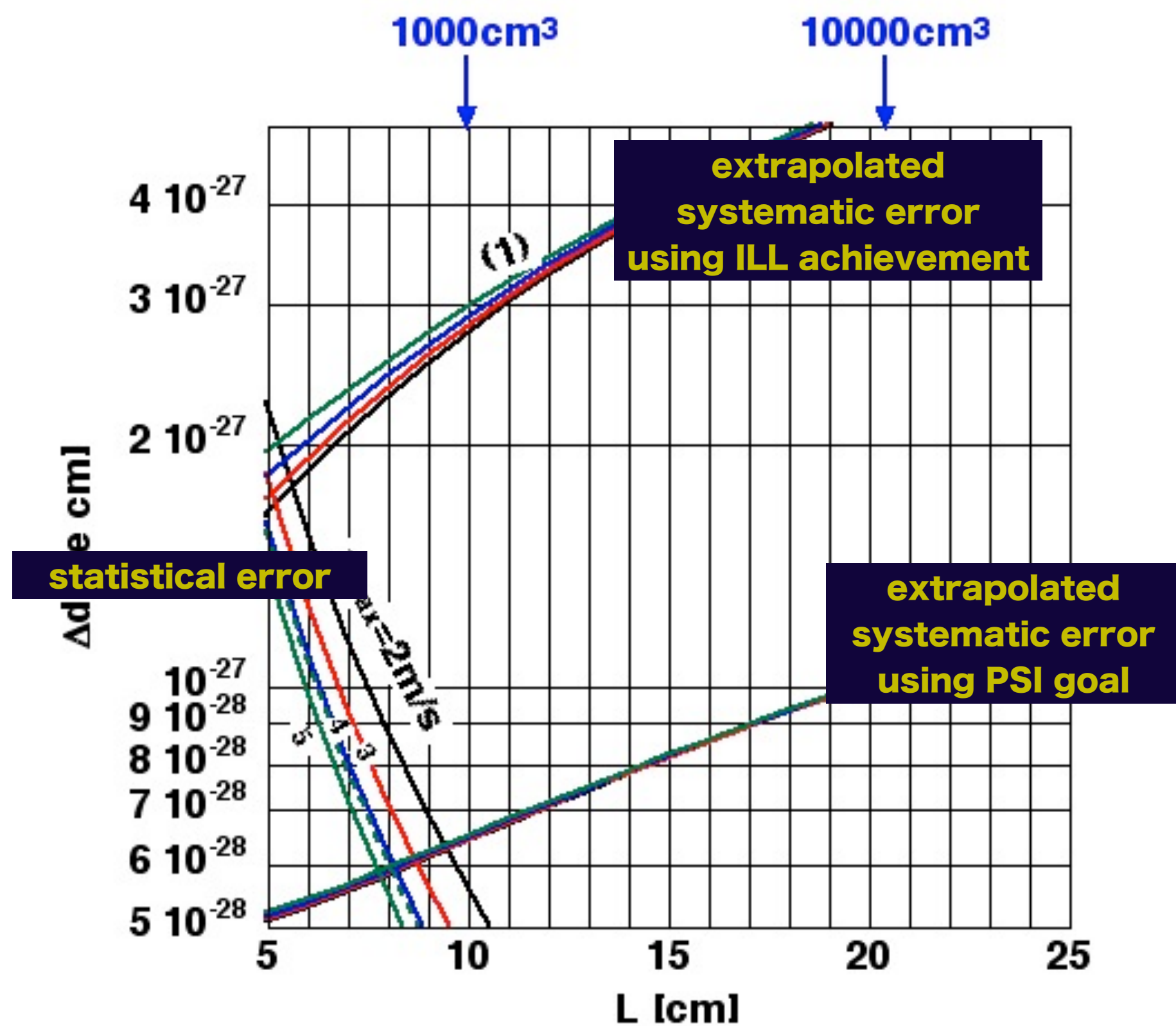
Conf(将来計画検討小委員会) At(Tokyo)

Experimental Errors

$$\rho_0 = 620000 \text{ cm}^{-3}$$

5000h

T=150s



cell size

Date(2010/06/12) by(T.Yoshioka)

Title(Measurement of Neutron Electric Dipole Moment (S-PARC/PSI))

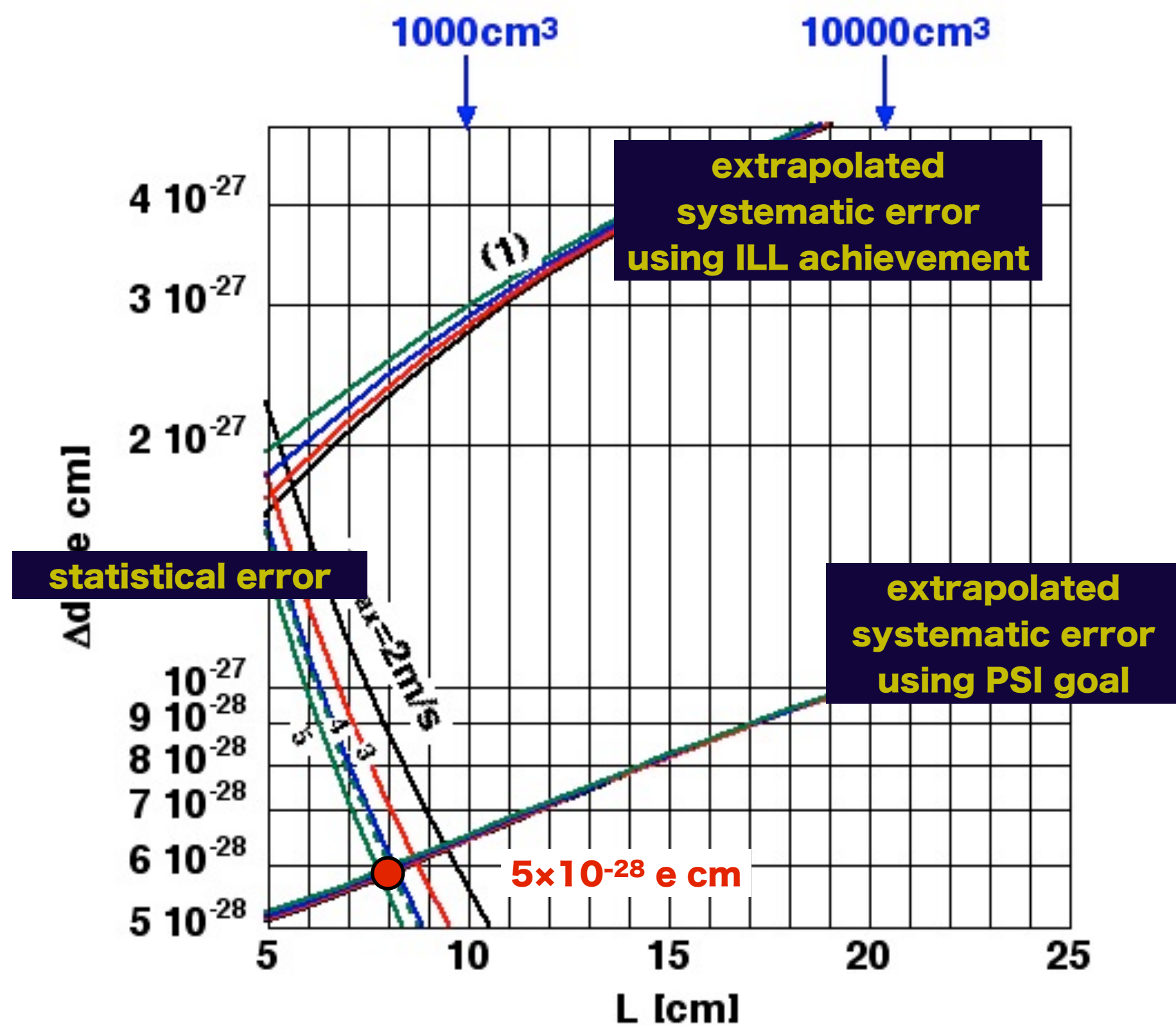
Conf(将来計画検討小委員会) At(Tokyo)

Experimental Errors

$$\rho_0 = 620000 \text{ cm}^{-3}$$

5000h

T=150s



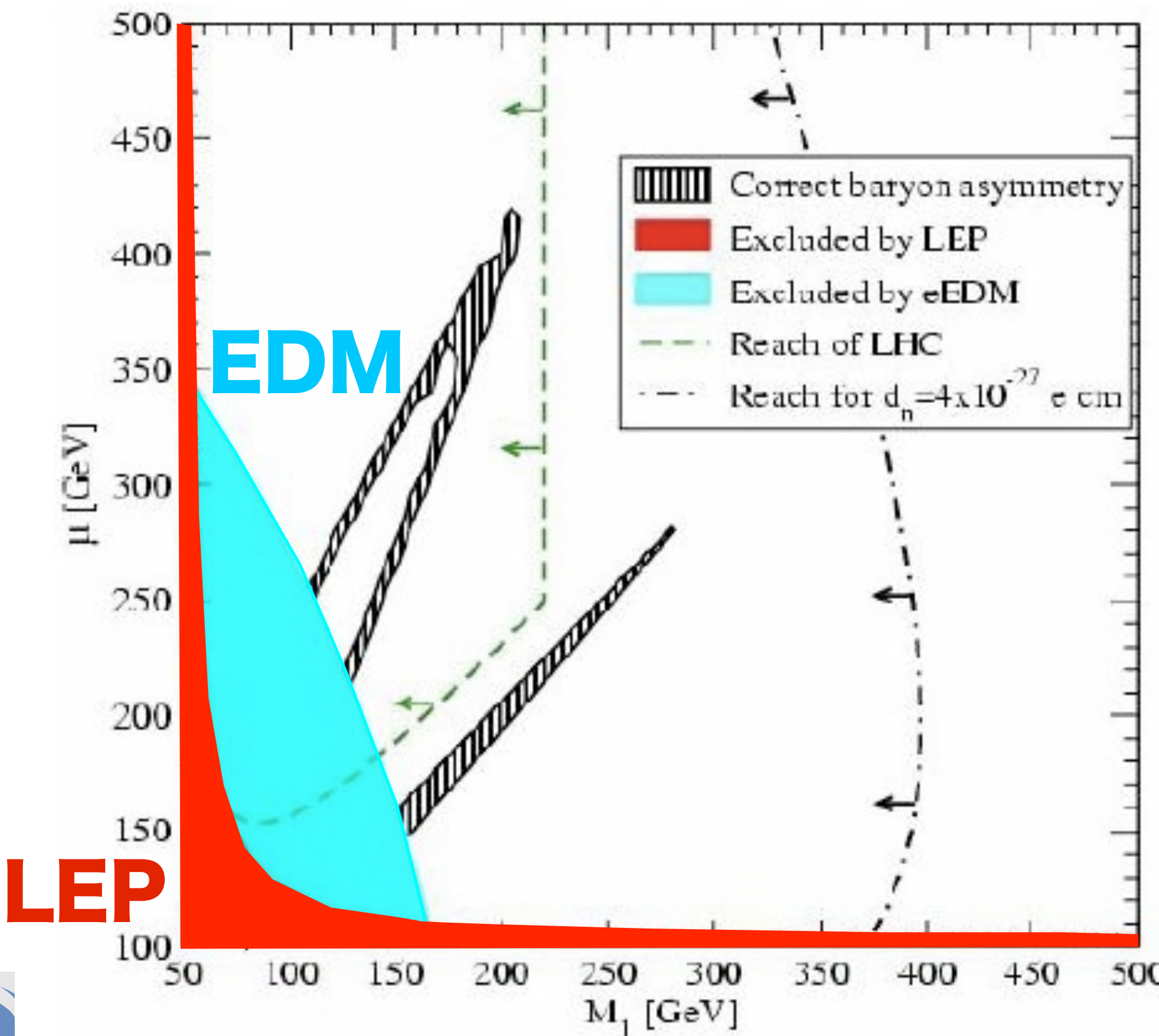
Date(2010/06/12) by(T.Yoshioka)

Title(Measurement of Neutron Electric Dipole Moment (S-PARC/PSI))

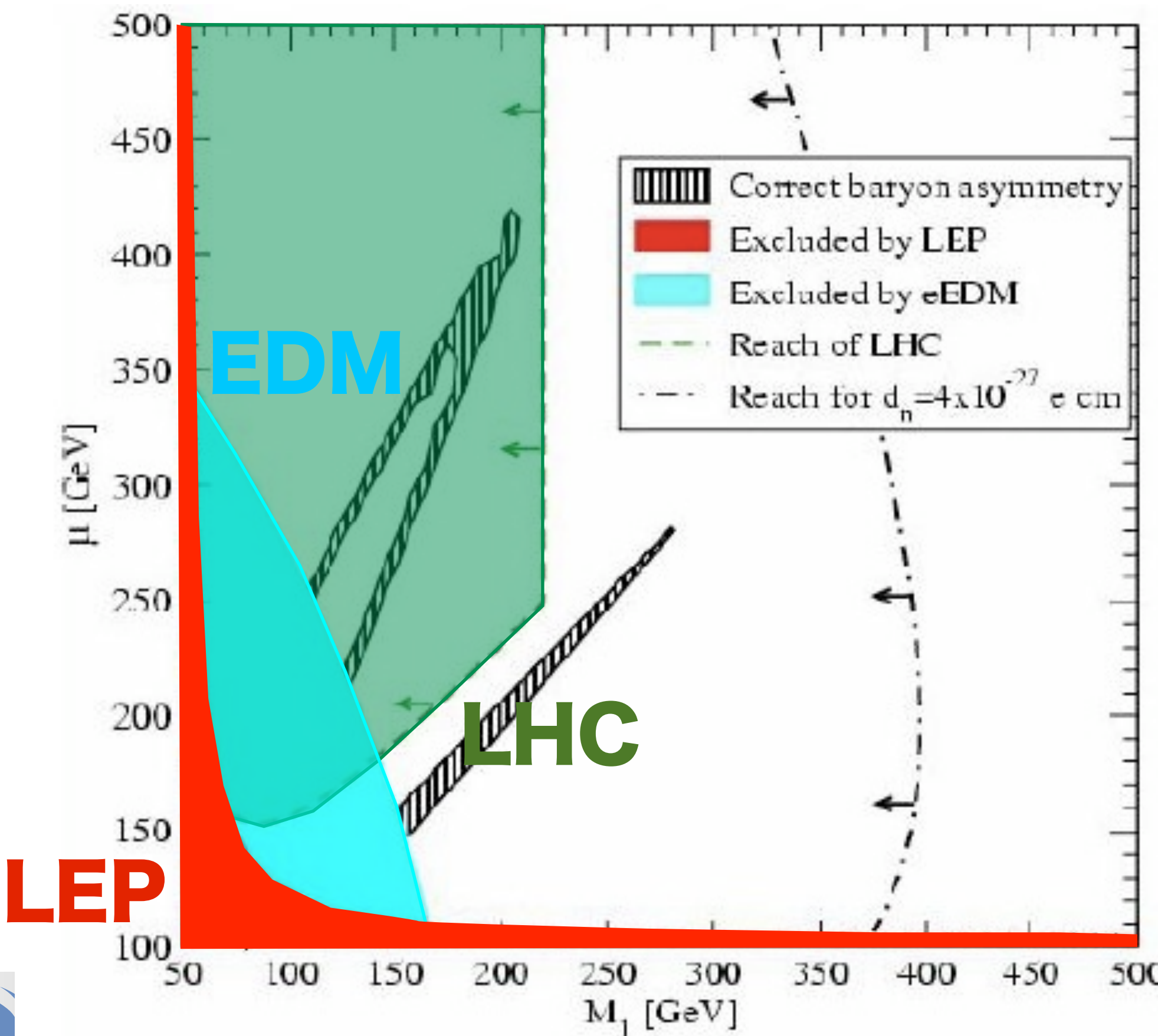
Conf(将来計画検討小委員会) At(Tokyo)

cell size

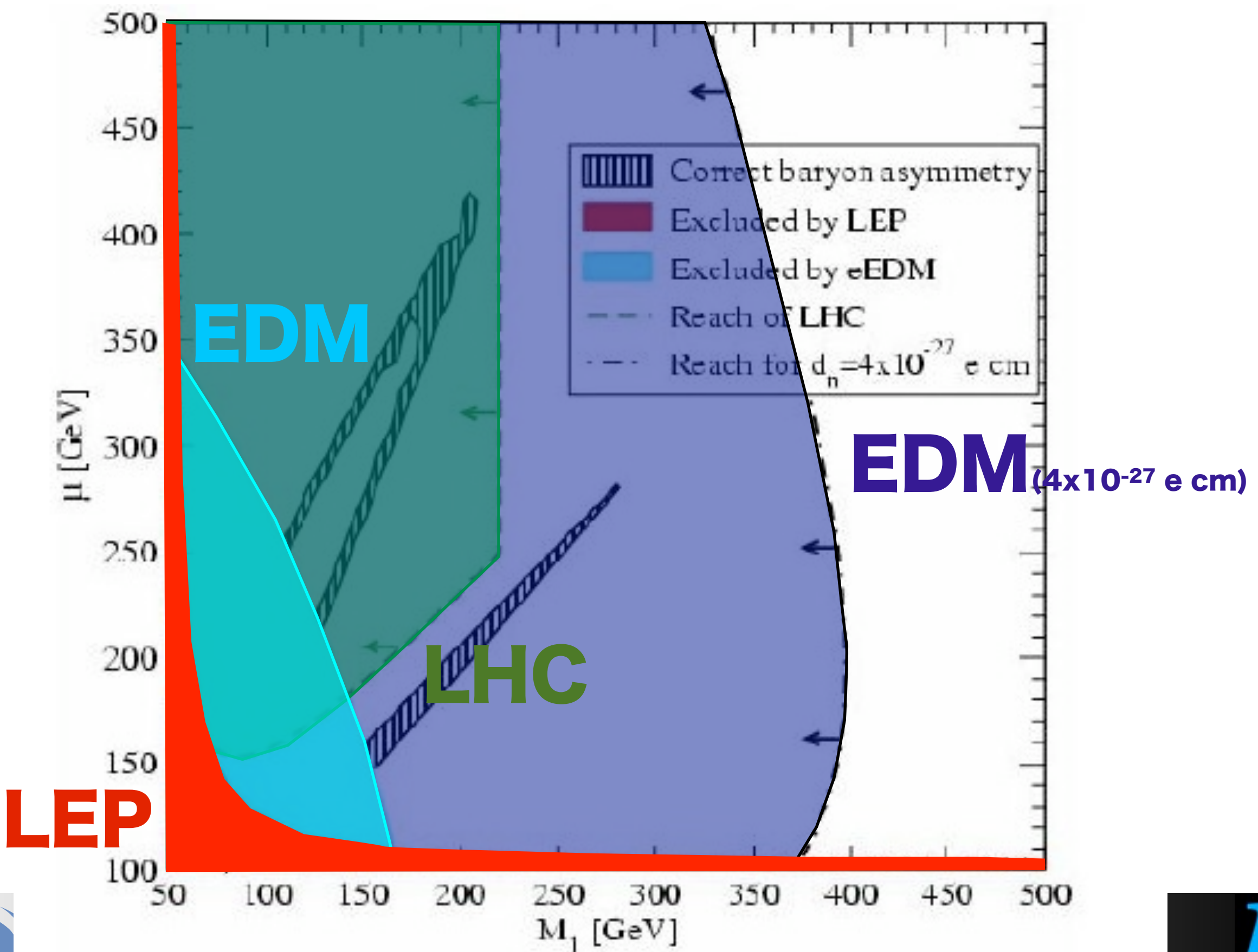
nEDM probing beyond-SM



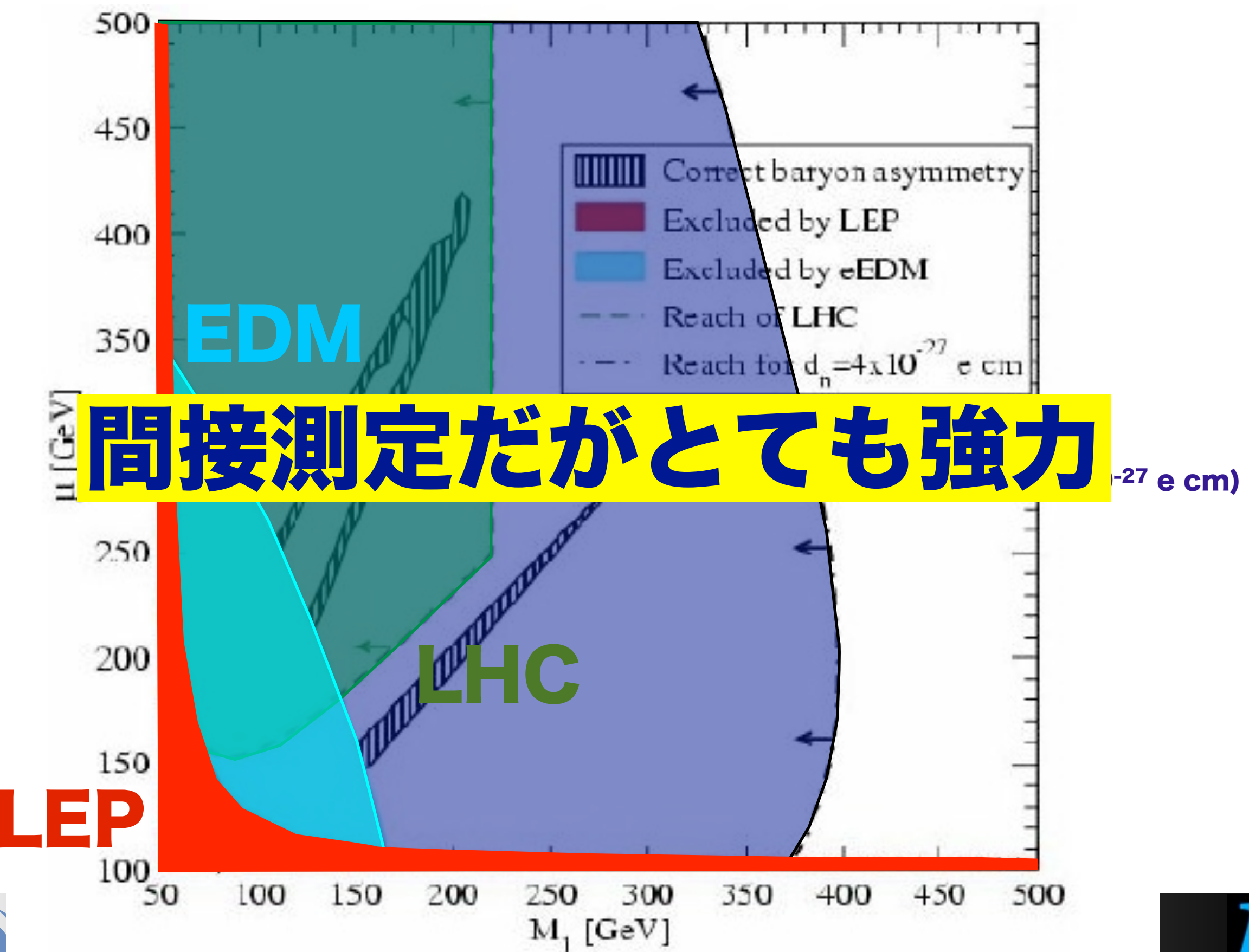
nEDM probing beyond-SM



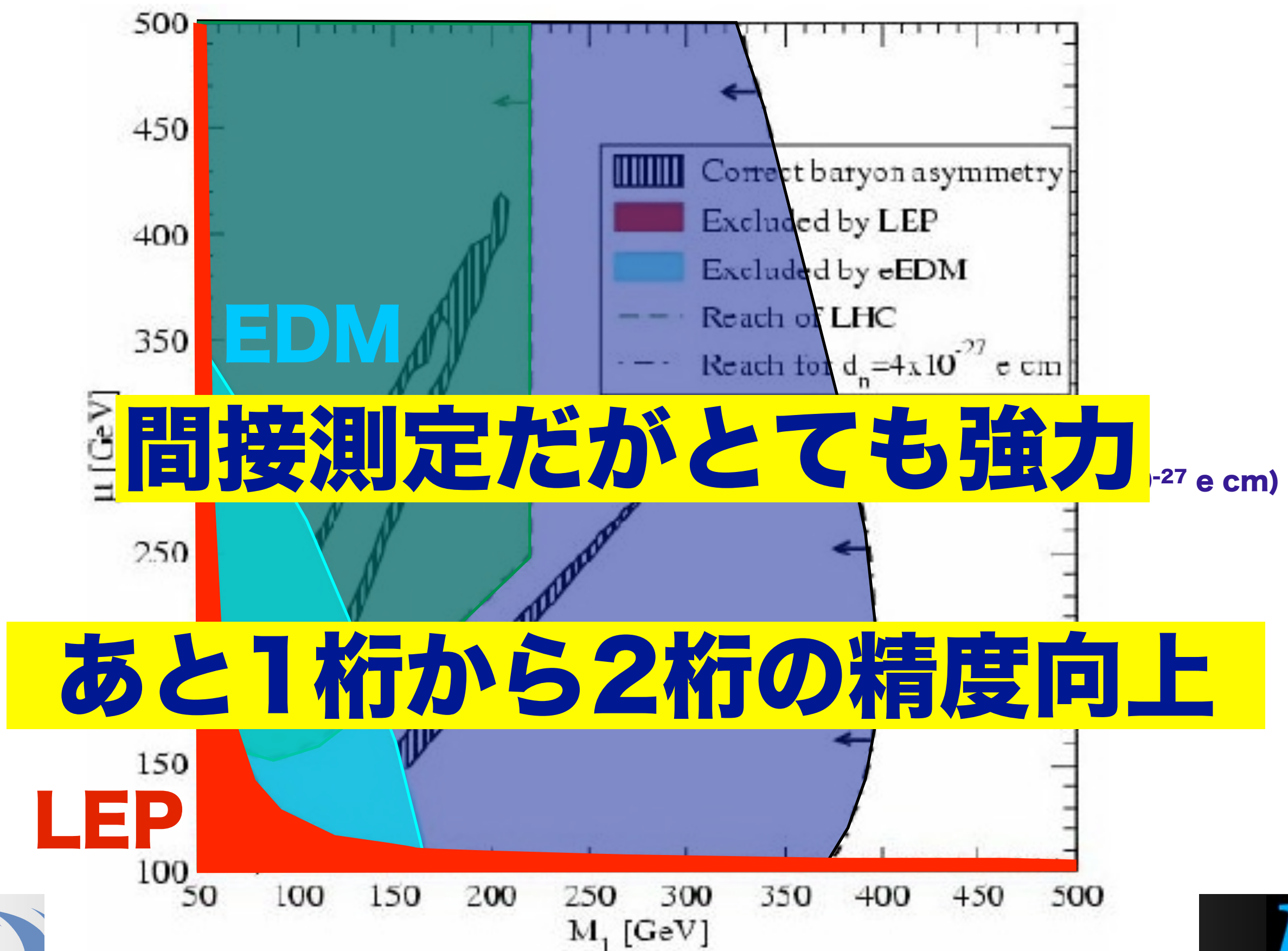
nEDM probing beyond-SM



nEDM probing beyond-SM



nEDM probing beyond-SM



Magnetometry

Hg magnetometer

100fT

Cs magnetometer

3fT

^3He magnetometer

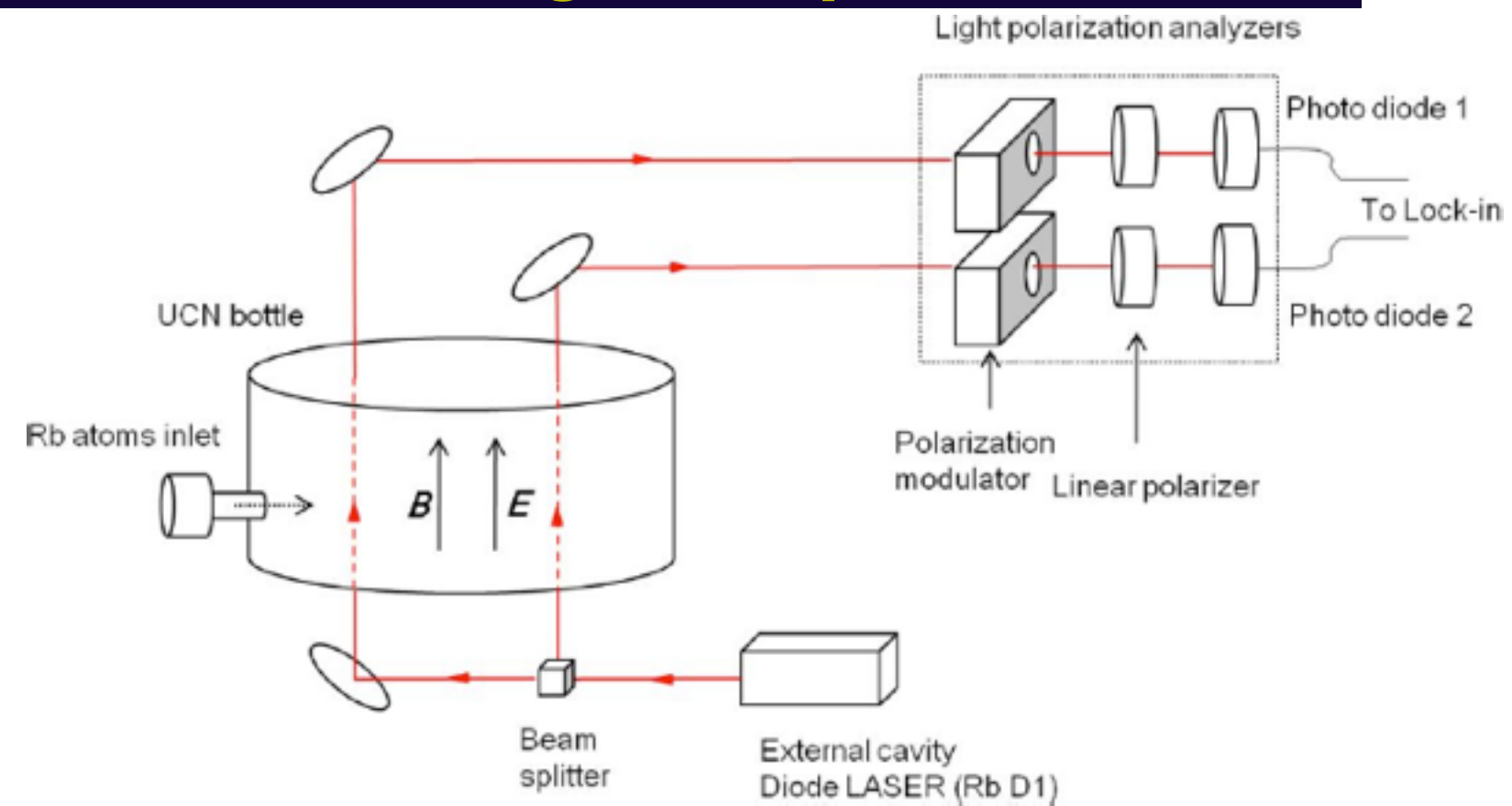
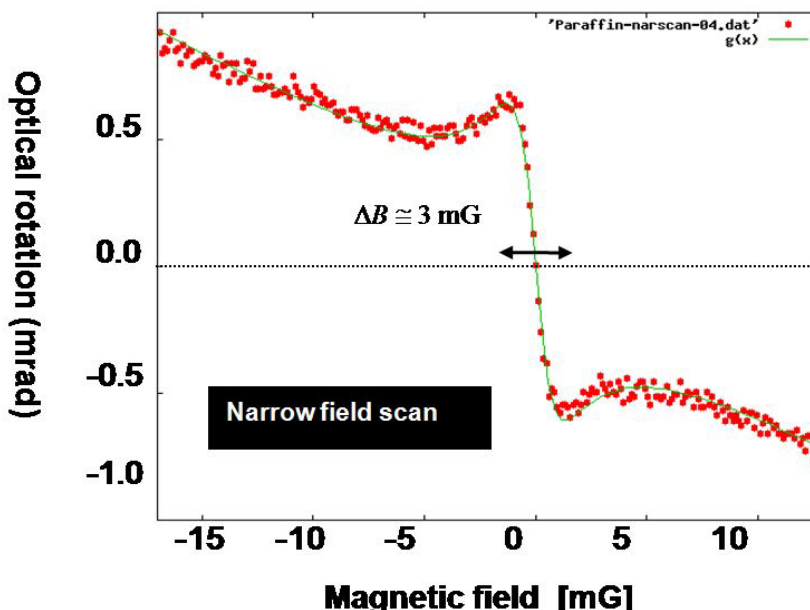
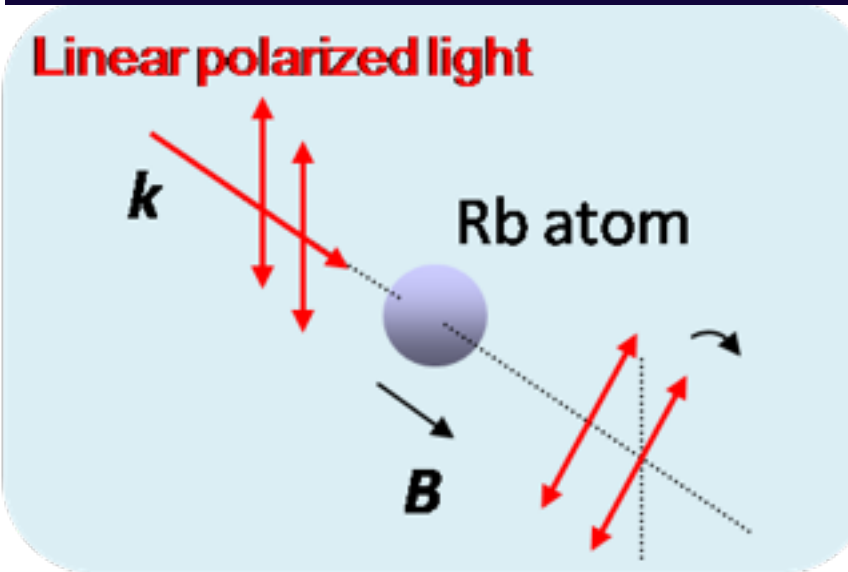
1fT

SQUID magnetometer

$80\text{aT}/\text{Hz}^{1/2}$

requires low temperature

Rb NMOR magnetometer (Nonlinear Magneto-Optical Rotation)



$300\text{aT}/\text{Hz}^{1/2}$

$100\text{aT} @ 0.1\text{-}0.01\text{Hz}$

K.Asahi, A.Yoshimi, Tokyo Inst. Tech



Date(2010/06/12) by(T.Yoshioka)

Title(Measurement of Neutron Electric Dipole Moment (J-PARC P33))

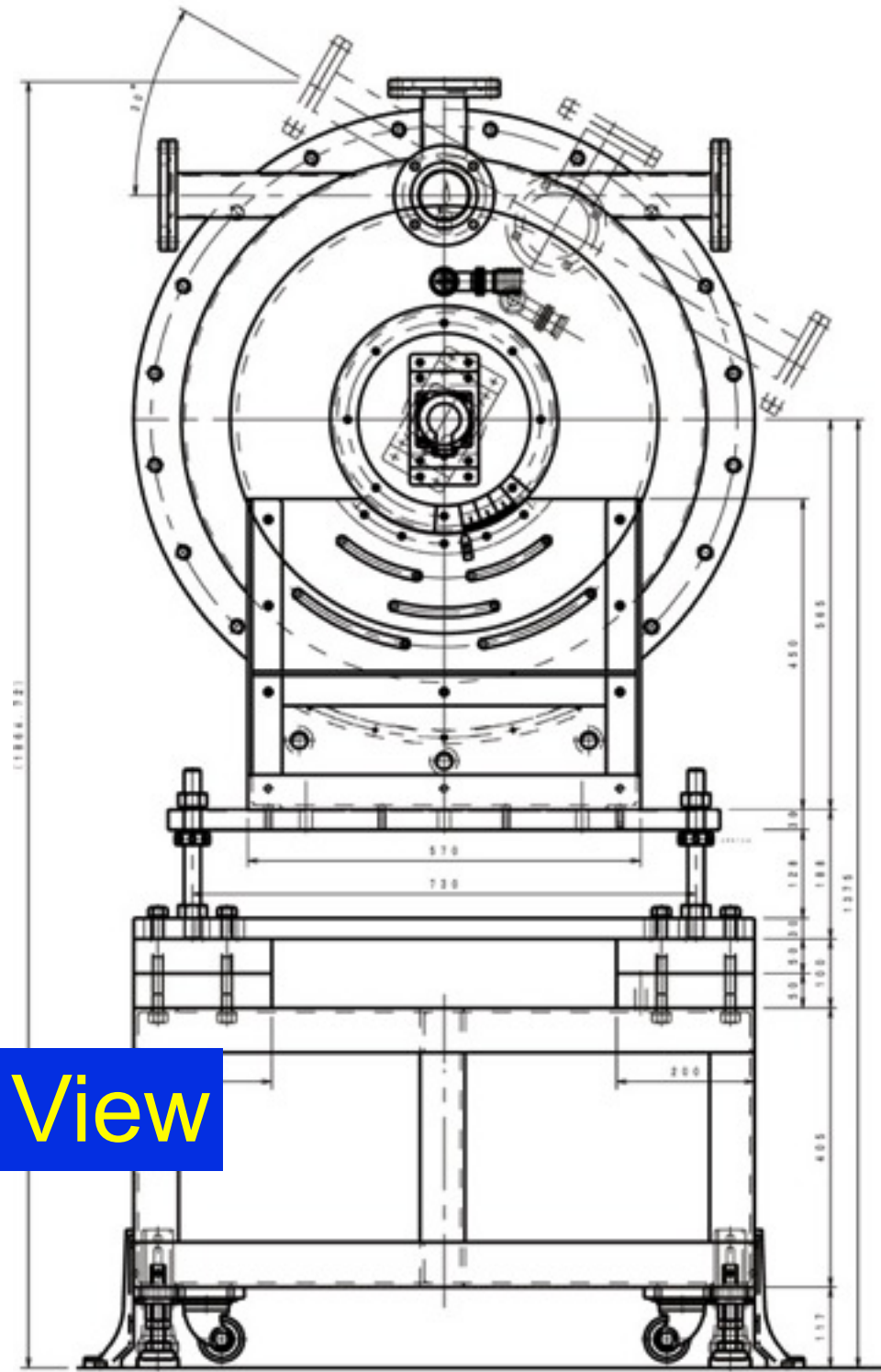
Conf(将来計画検討小委員会) At(Tokyo)



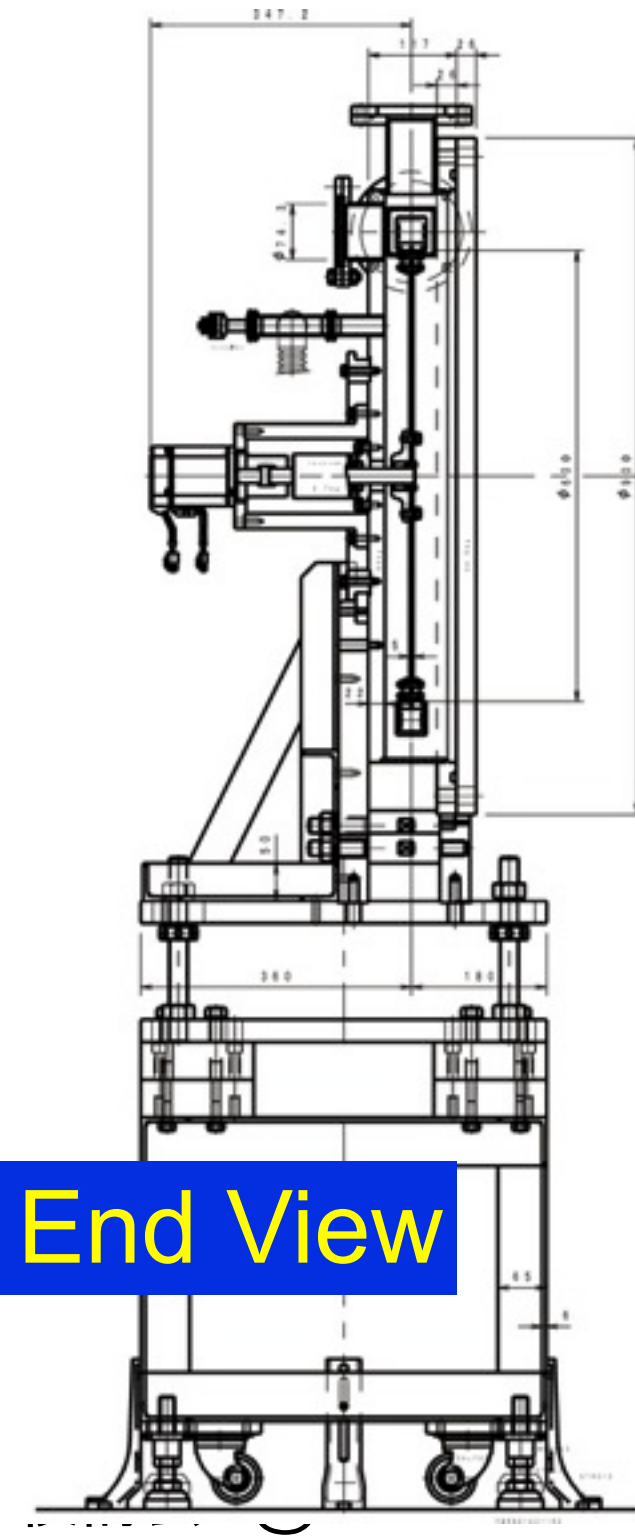
UCN production by a Doppler

K. Mishima (KEK), S.Imajo(Kyoto Univ.)
and the NOP Collaboration

Drawing



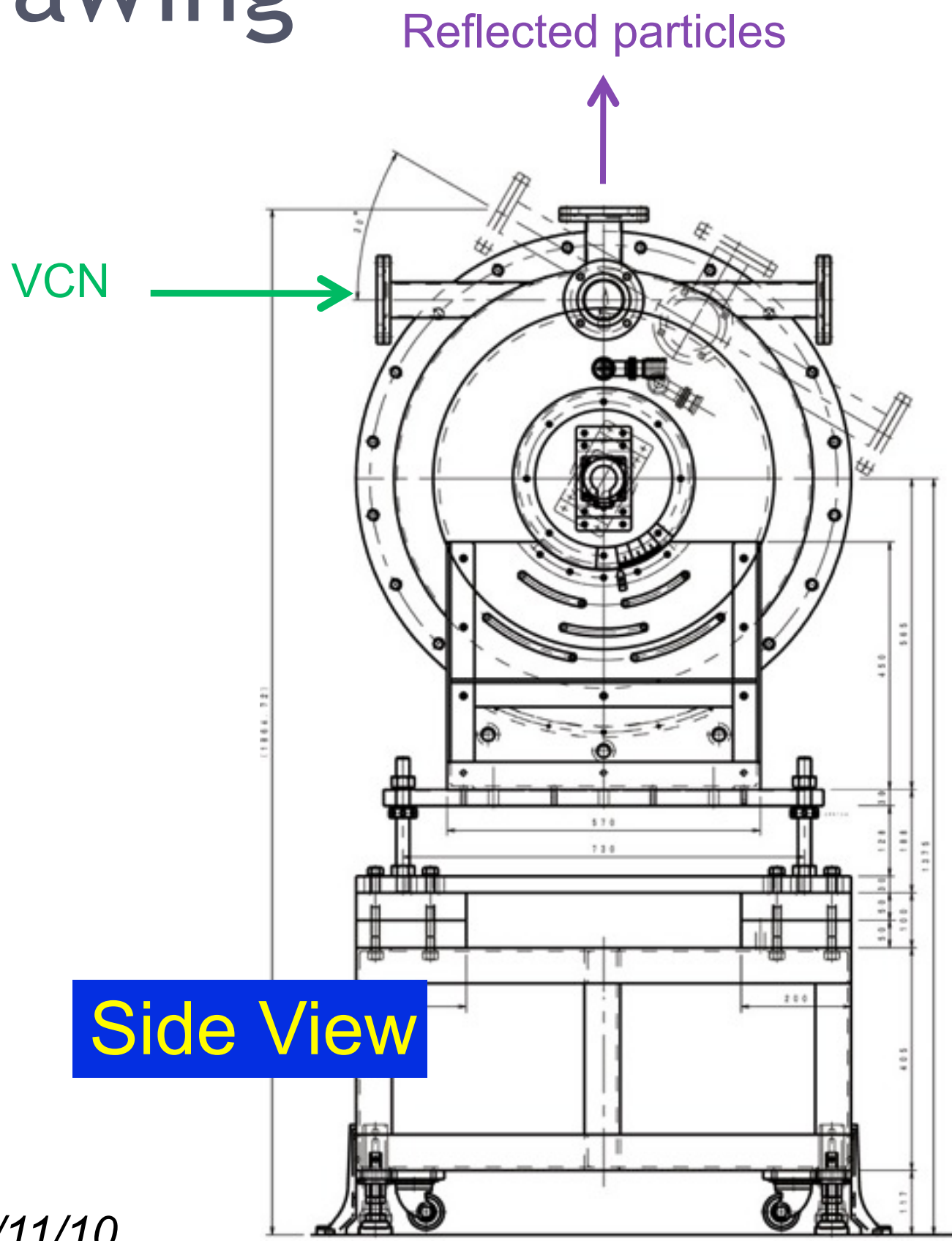
Side View



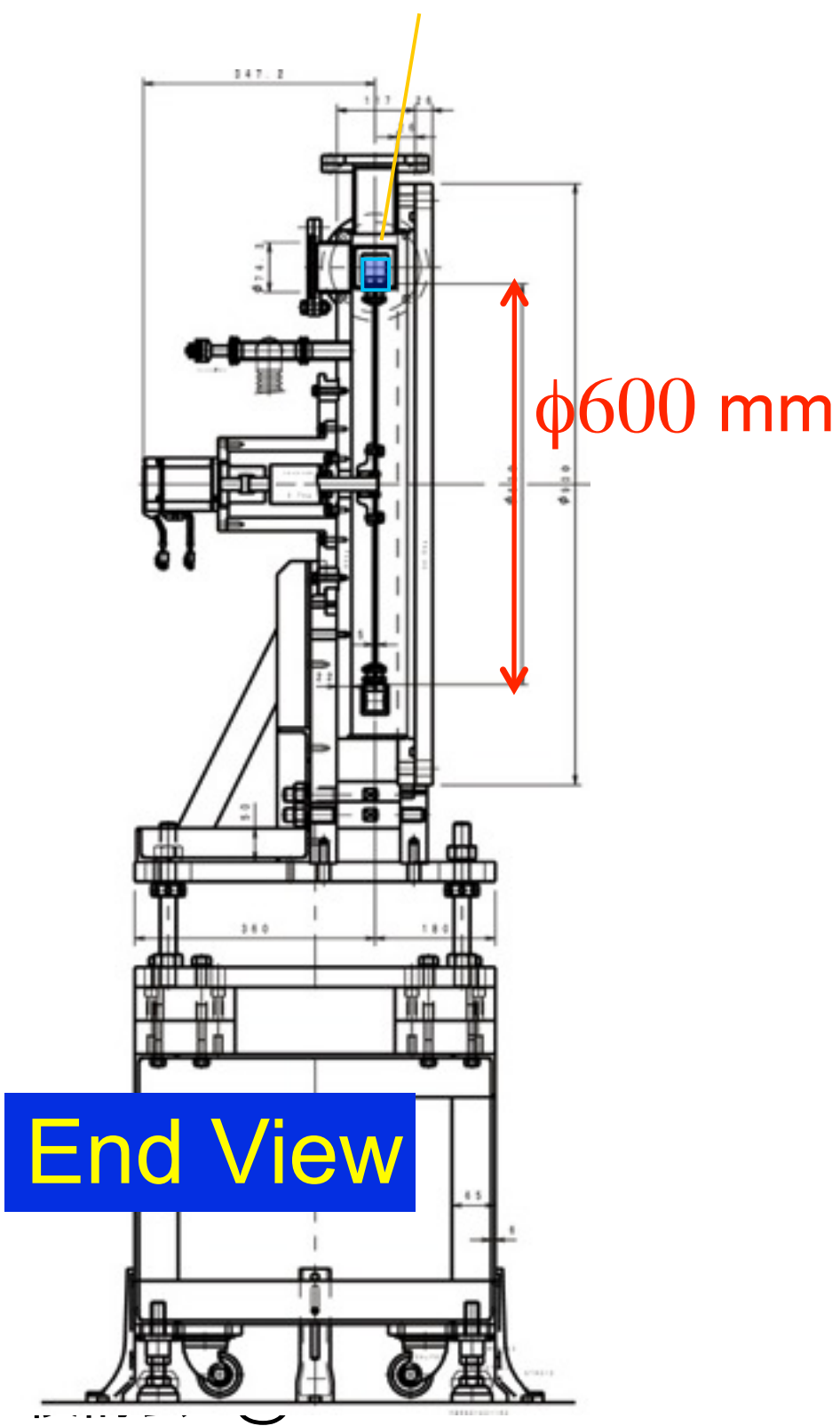
End View

06/11/10

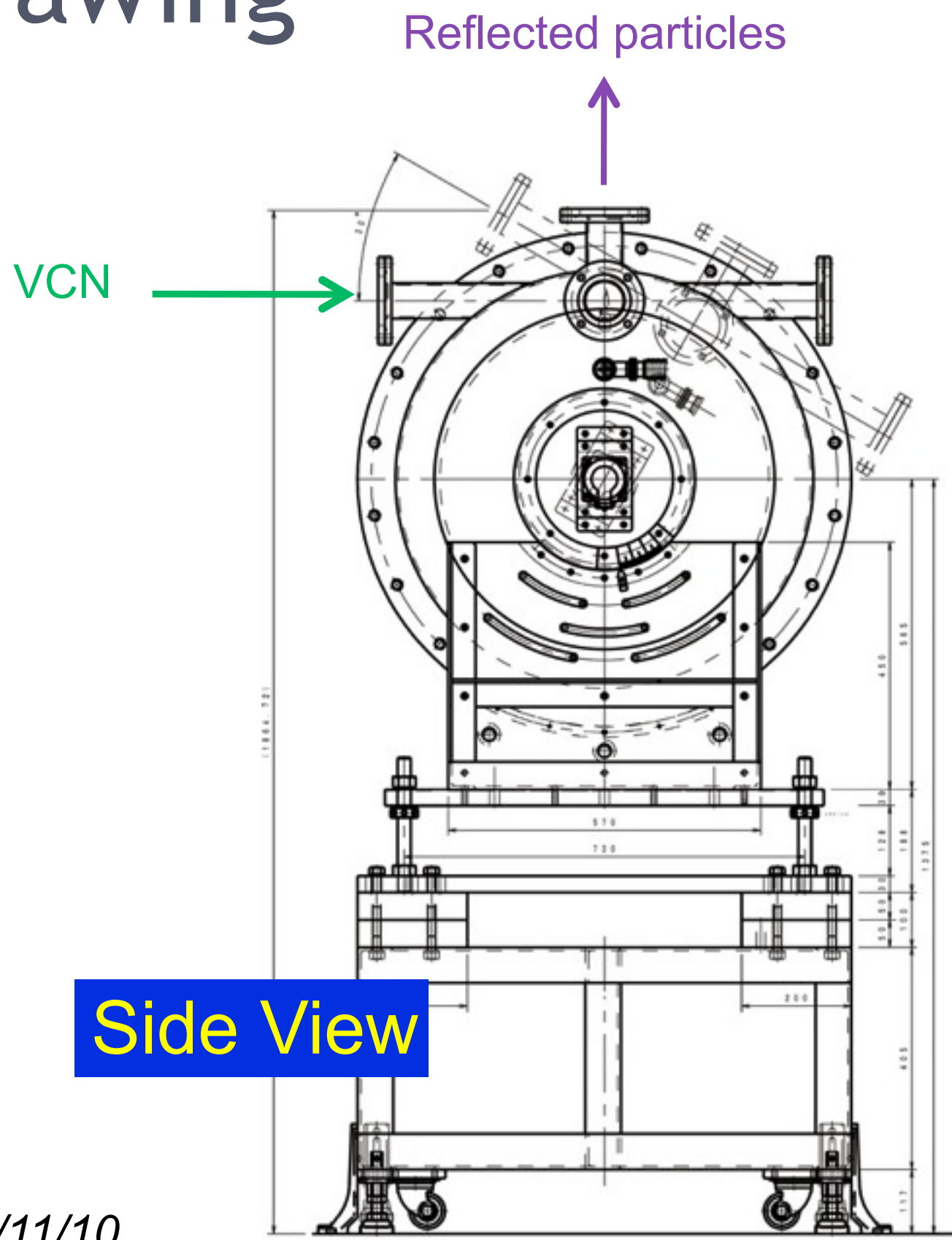
Drawing



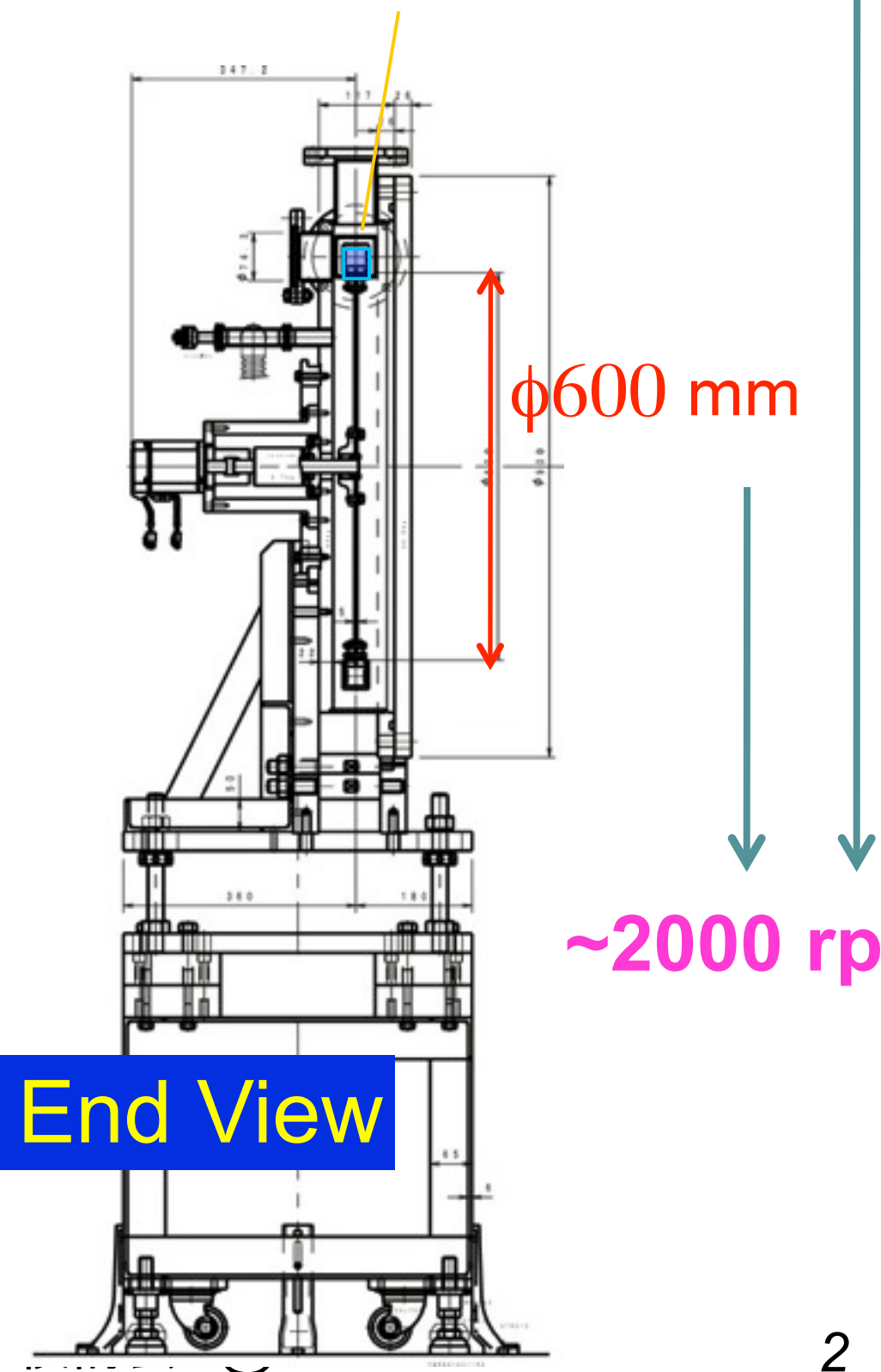
30 mm×30 mm 10Q
Monochrome mirror



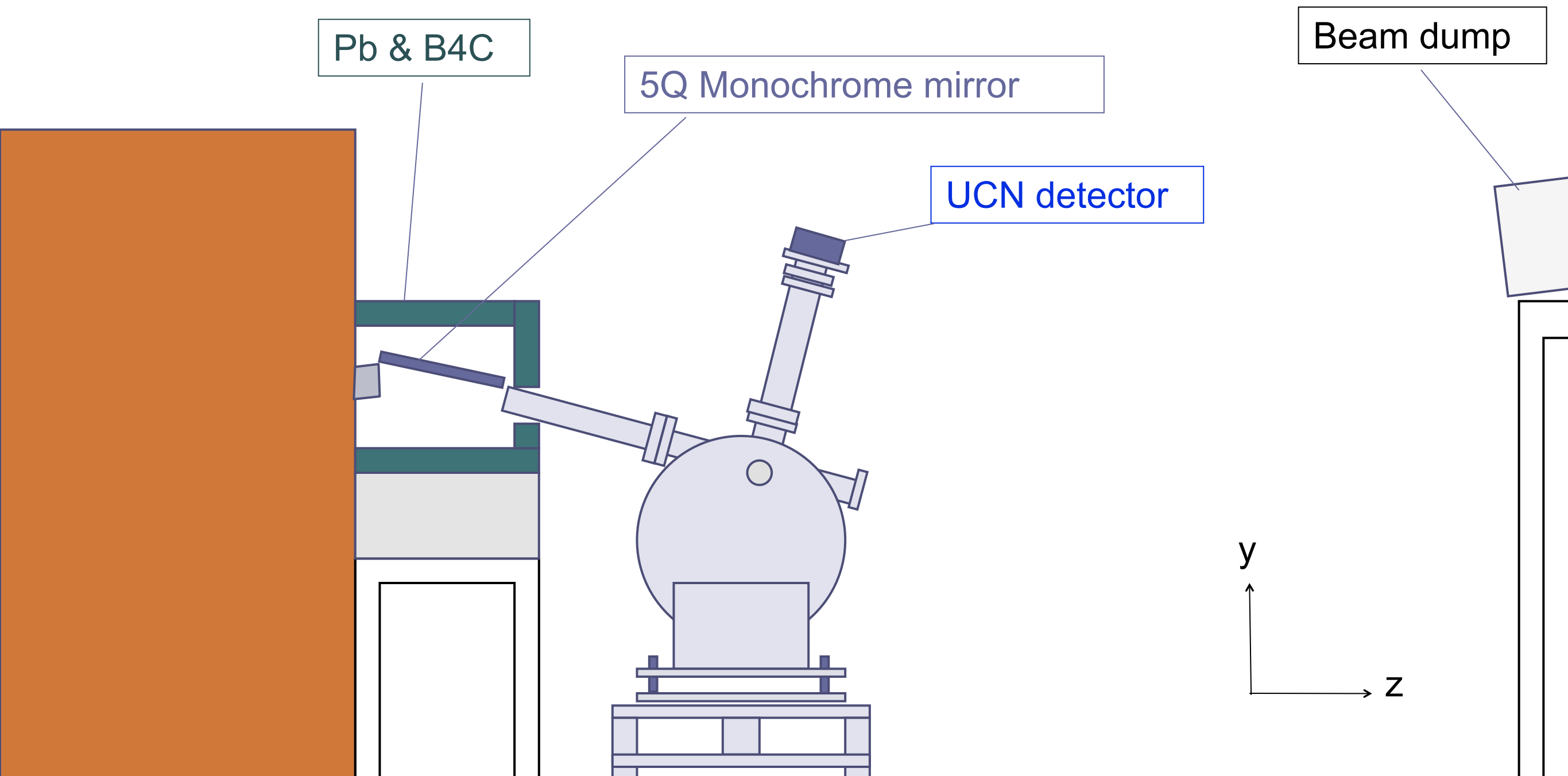
Drawing



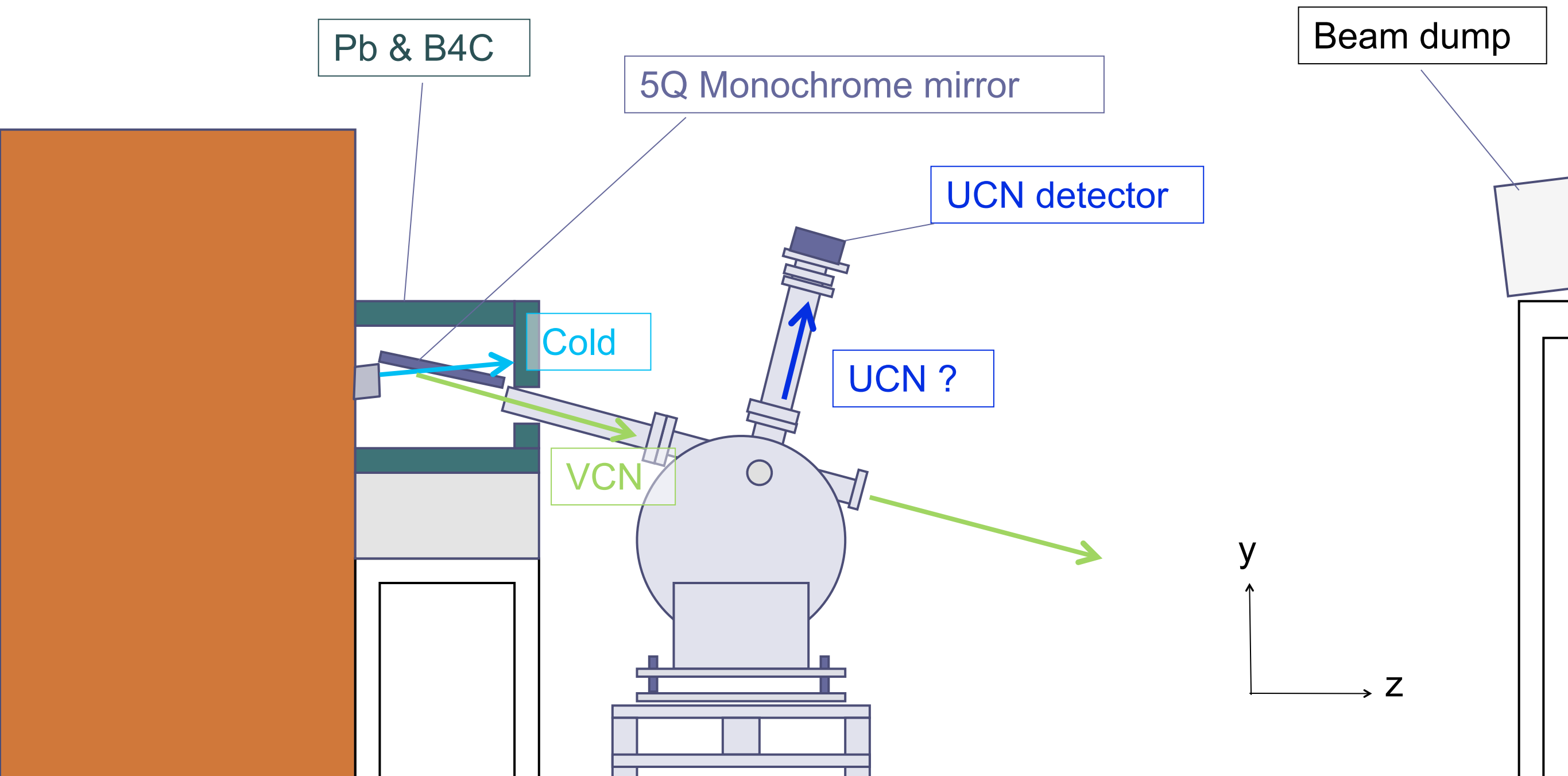
30 mm×30 mm 10Q
Monochrome mirror



Beaml ine Configuration



Beaml ine Configuration

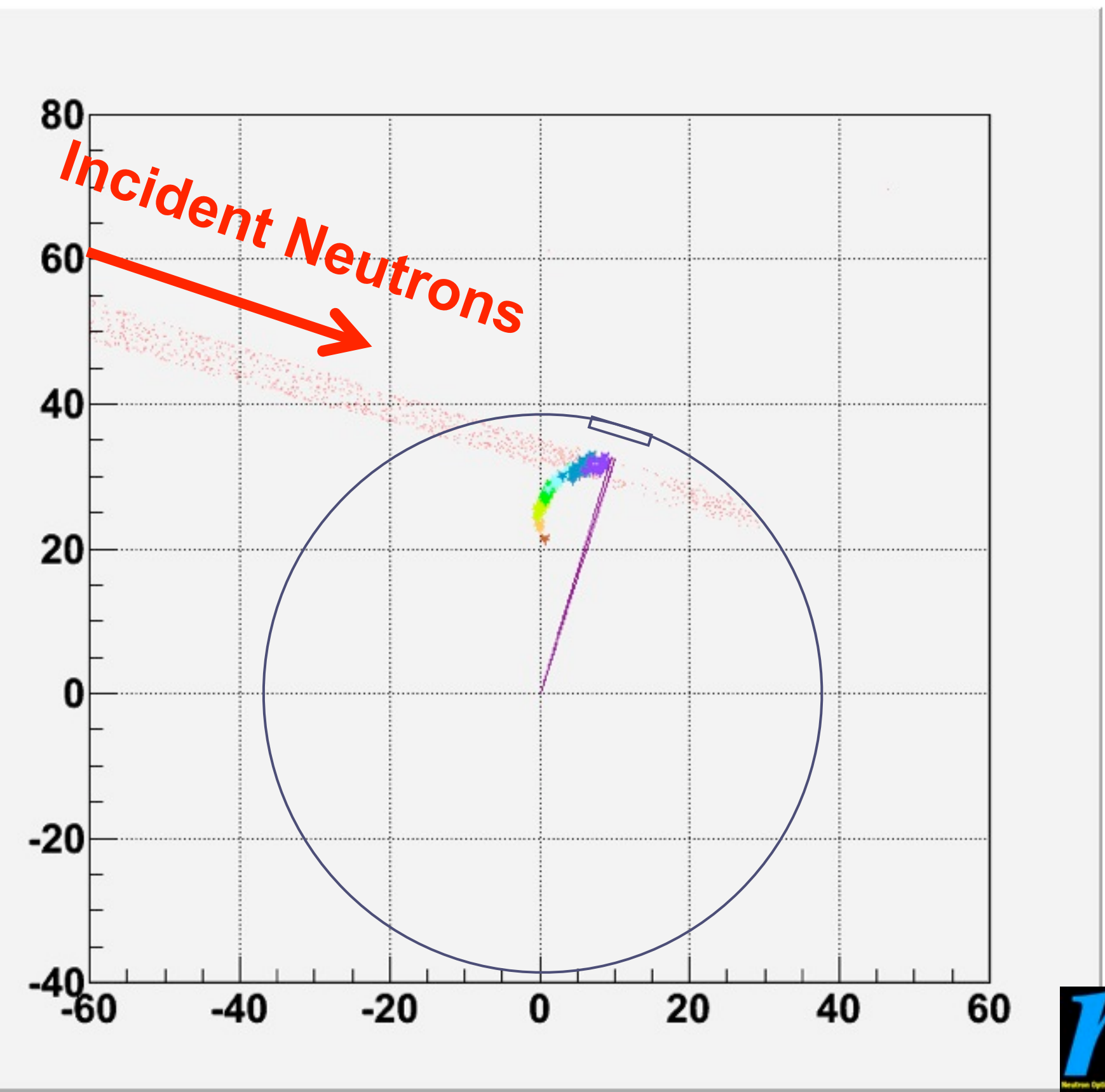


Simulation Setup

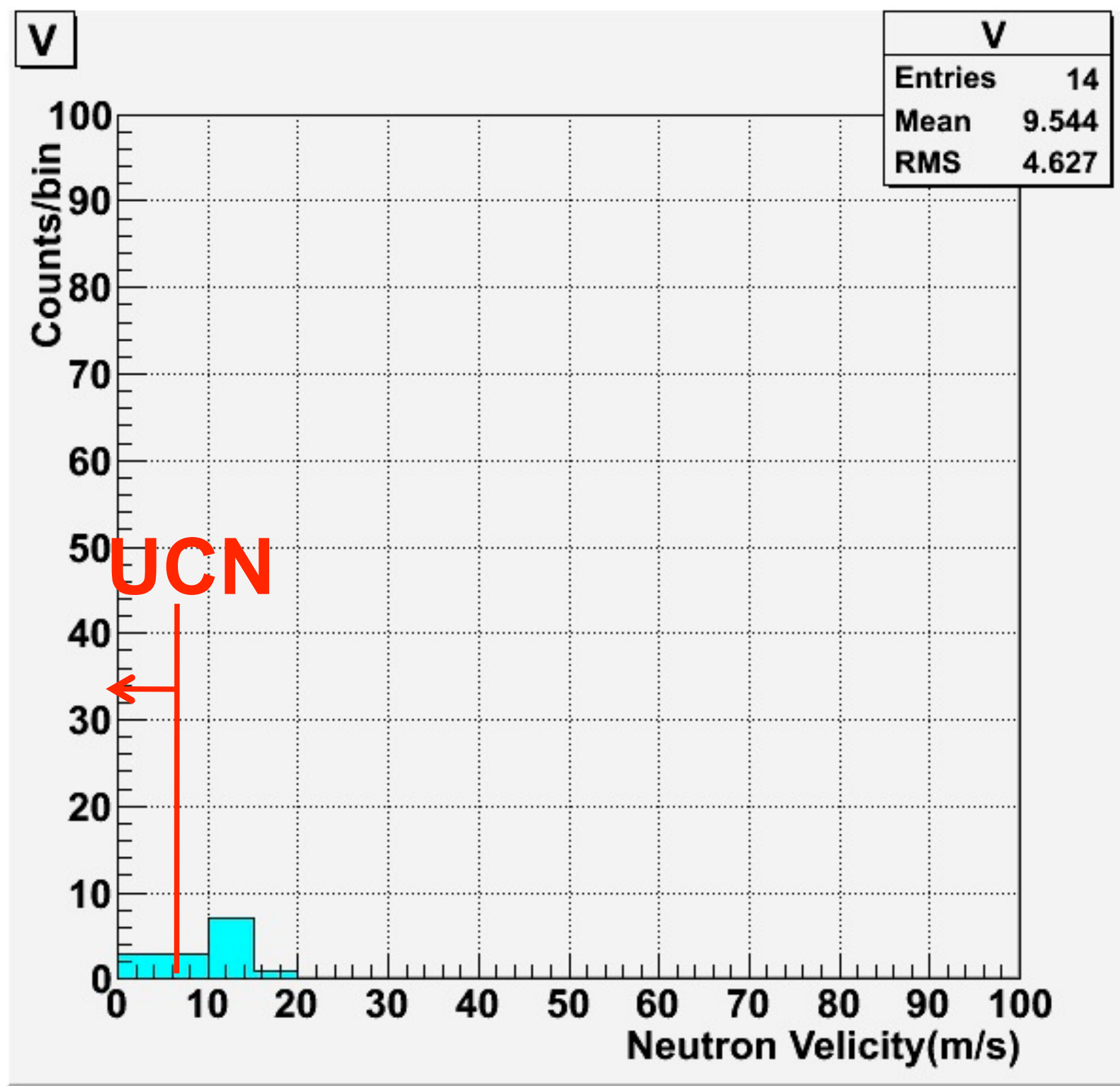
- Incident neutrons
 - Energy Spectrum : measured spectrum (previous page)
 - Velocity : 100 m/s ~ 200 m/s
 - Divergence : +- 10 mrad
- Supper Mirror
 - 10Qc (will/can be made using IBS in KUR)
 - Mirror size : 30 mm x 30 mm
 - Assuming 100% reflectivity for <137 m/s neutrons

Simulation w/ extraction hole

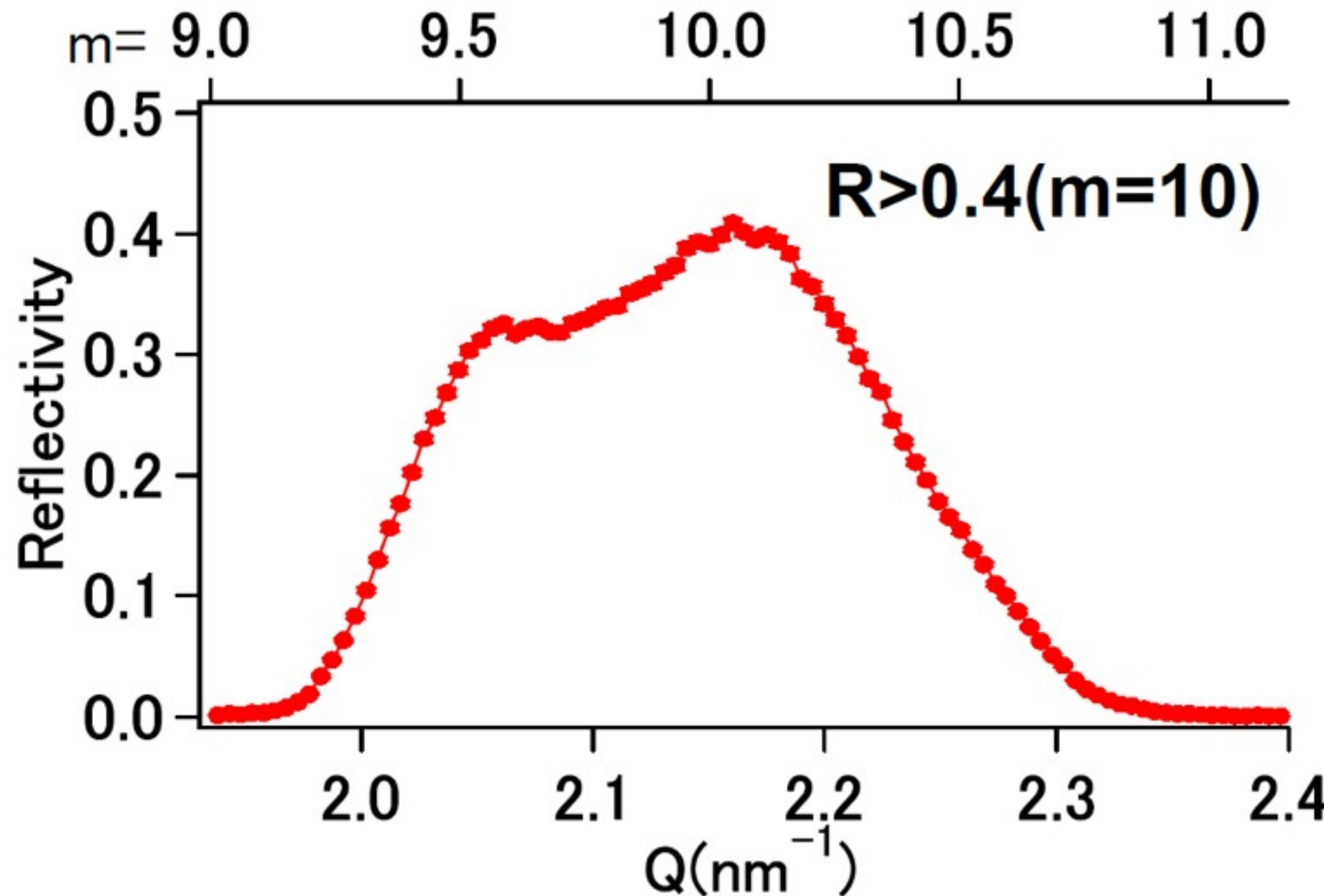
- █ 0 m/s ~ 10 m/s
- █ 10 m/s ~ 20 m/s
- █ 20 m/s ~ 30 m/s
- █ 30 m/s ~ 40 m/s
- █ 40 m/s ~ 50 m/s
- █ 50 m/s ~ 60 m/s
- █ 60 m/s ~ 70 m/s
- █ 70 m/s ~ 80 m/s
- █ 80 m/s ~



Extraction Efficiency



m=10 NiC/Ti wide-band monochromator



The Doppler Shifter



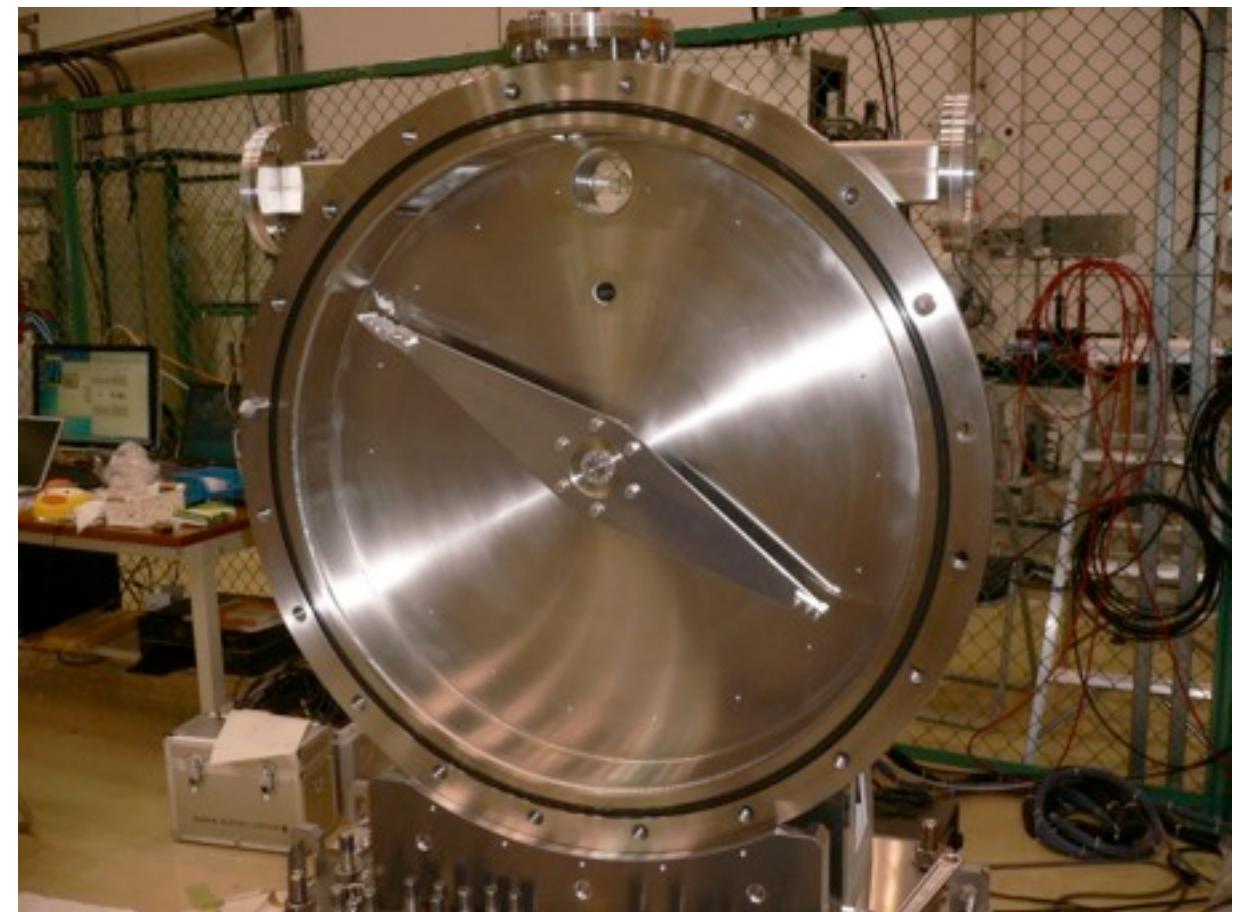
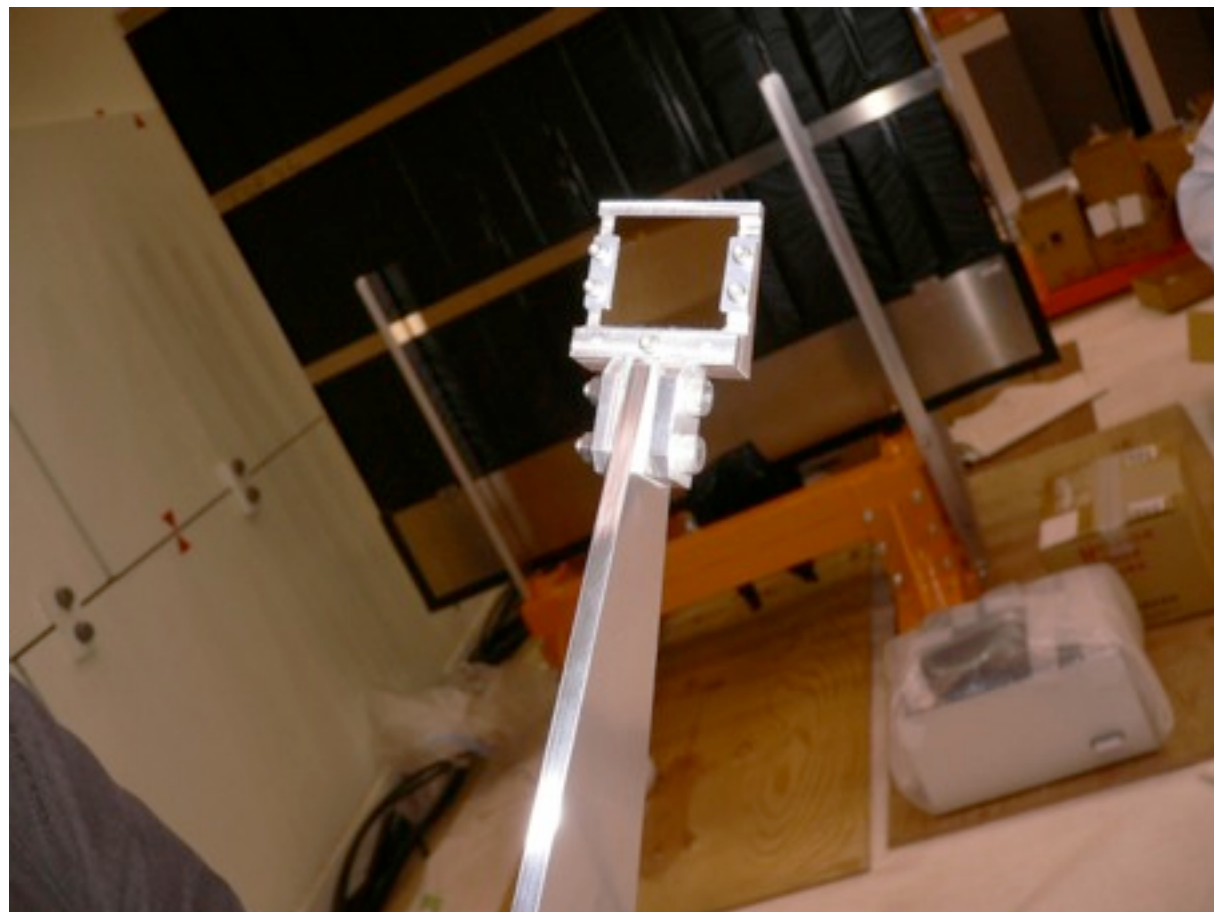
06/11/10



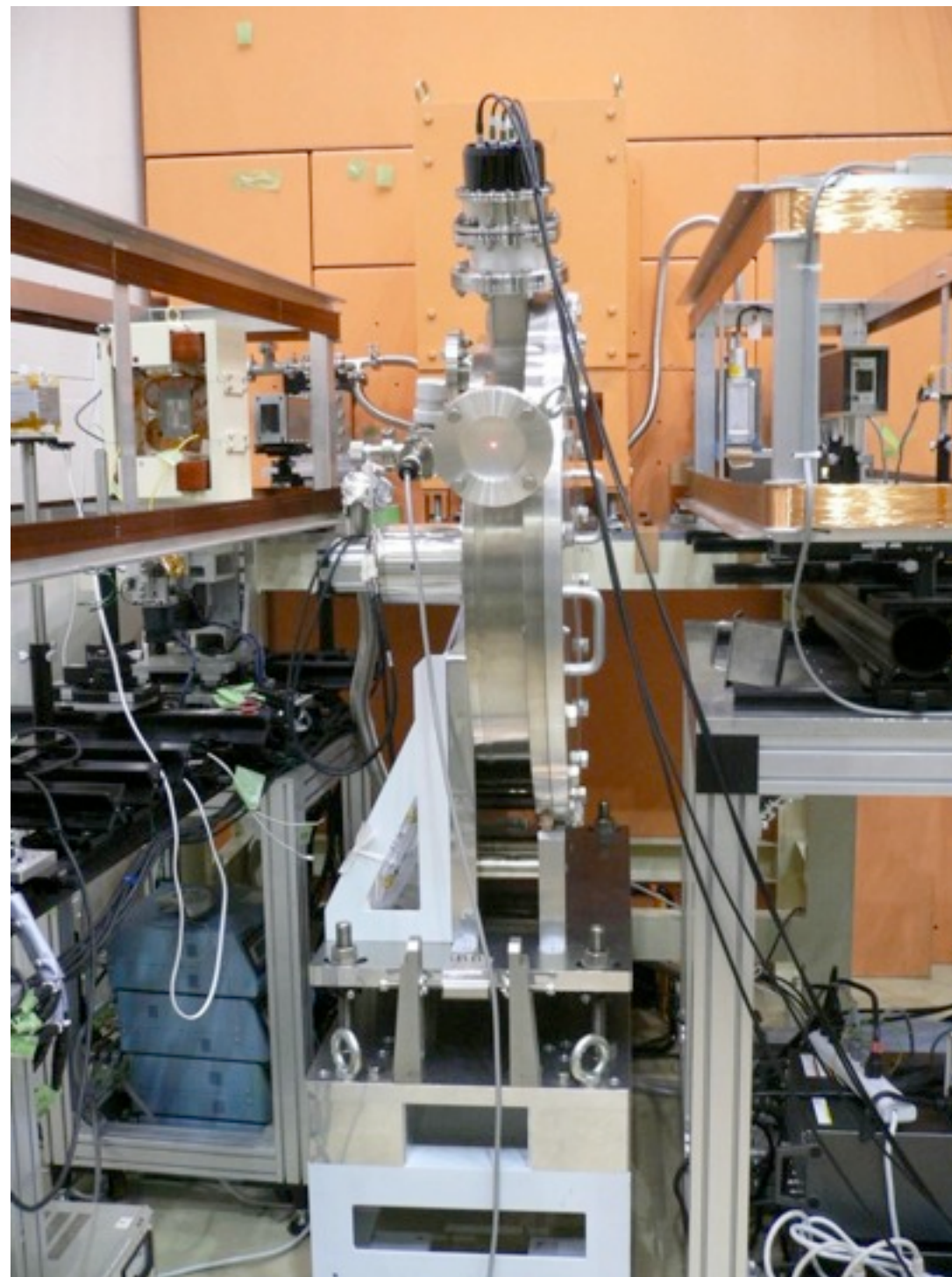
nEDM検討会 @ KEK

8

A stack of 10Qc Monochromatic mirrors



Installation in Beamline



コントロール

位相制御
0.15deg p-p

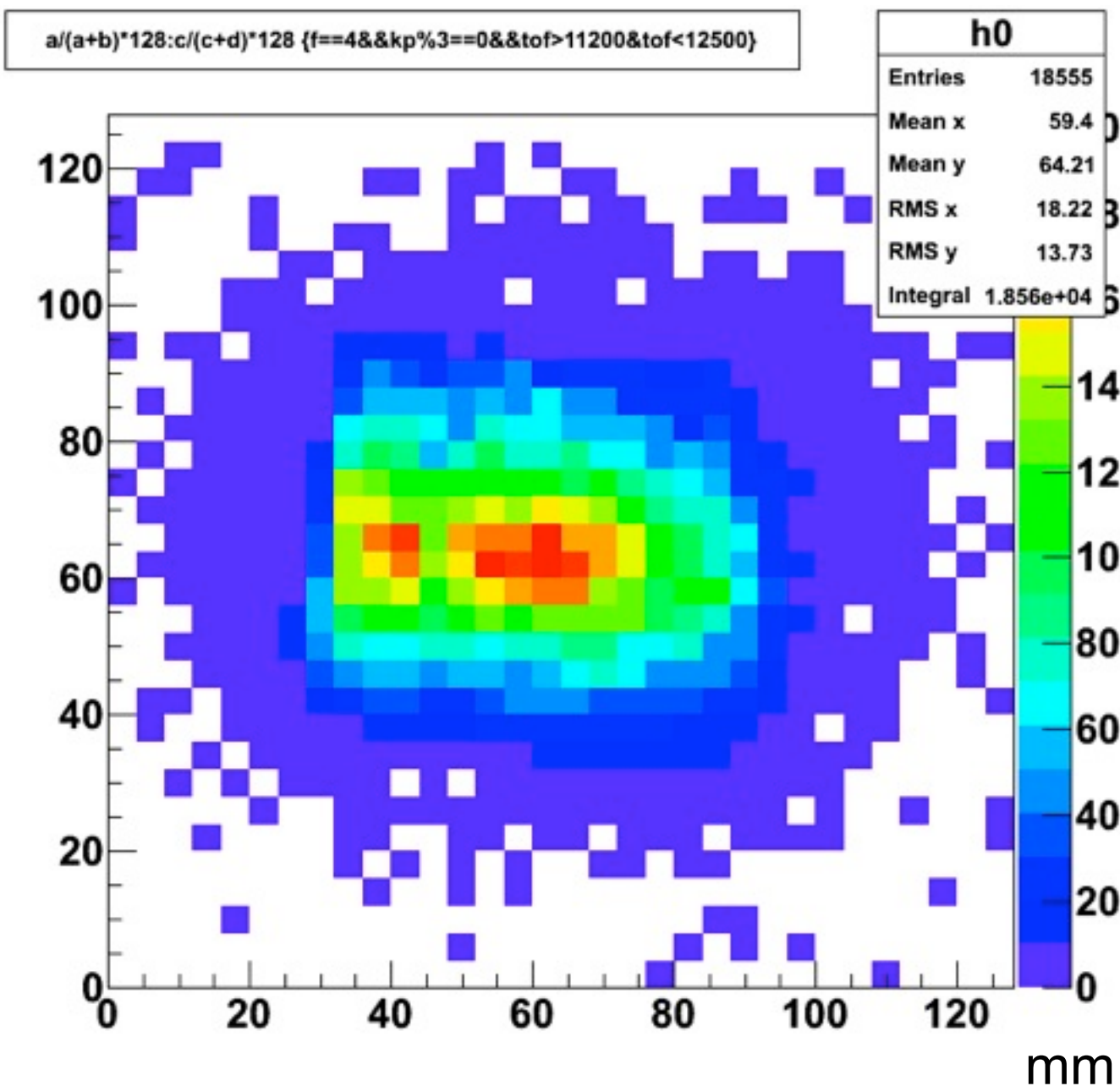


Experimental setup



透過ビームと
UCNを同時に測定。

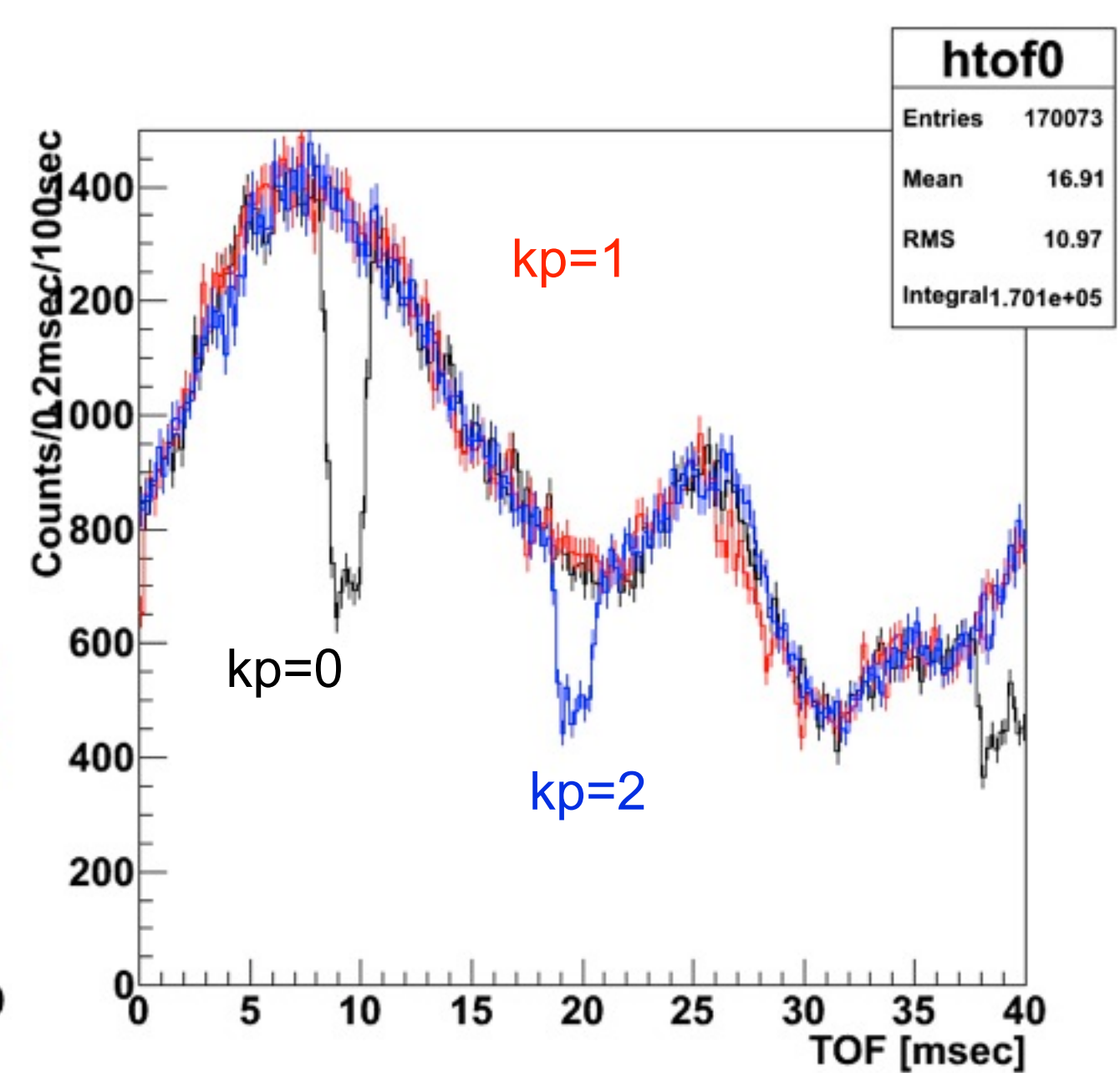
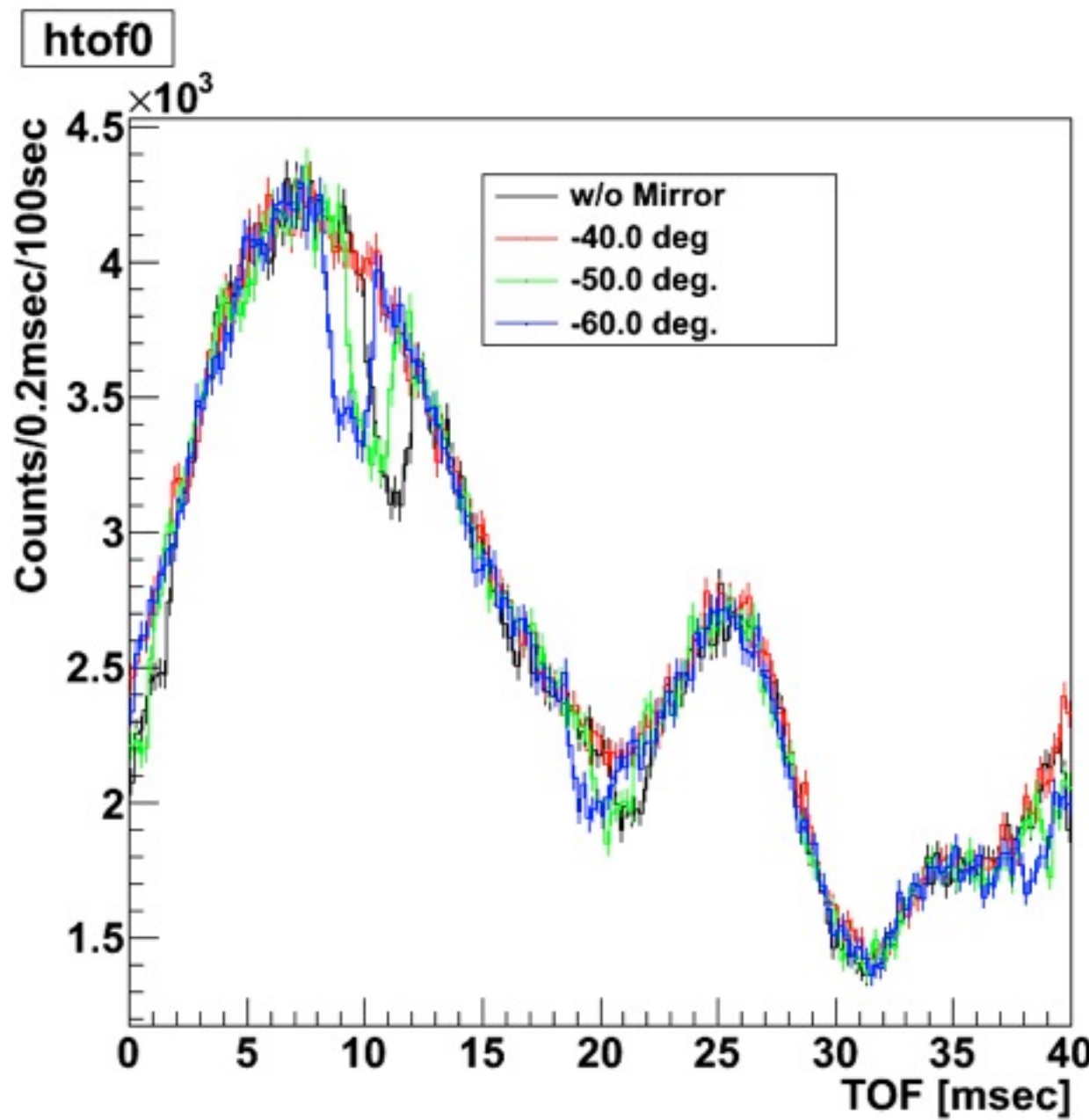
ビーム広がり



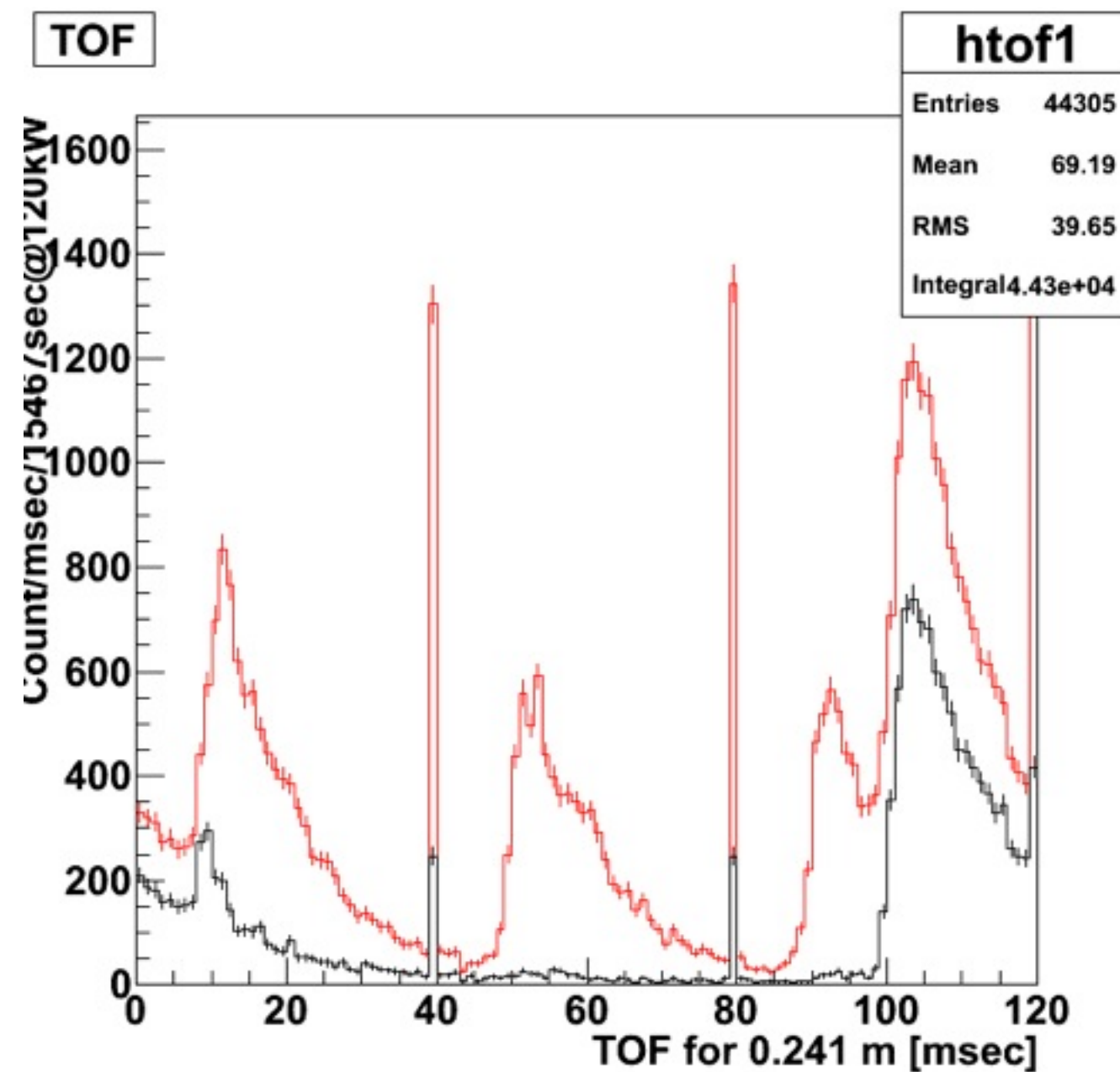
Count rate~14kcps
検出効率 ~ 70~100%

モノクロミラーで120~150m/sを
切りだす。ターゲットは136 m/s

透過VCNビーム

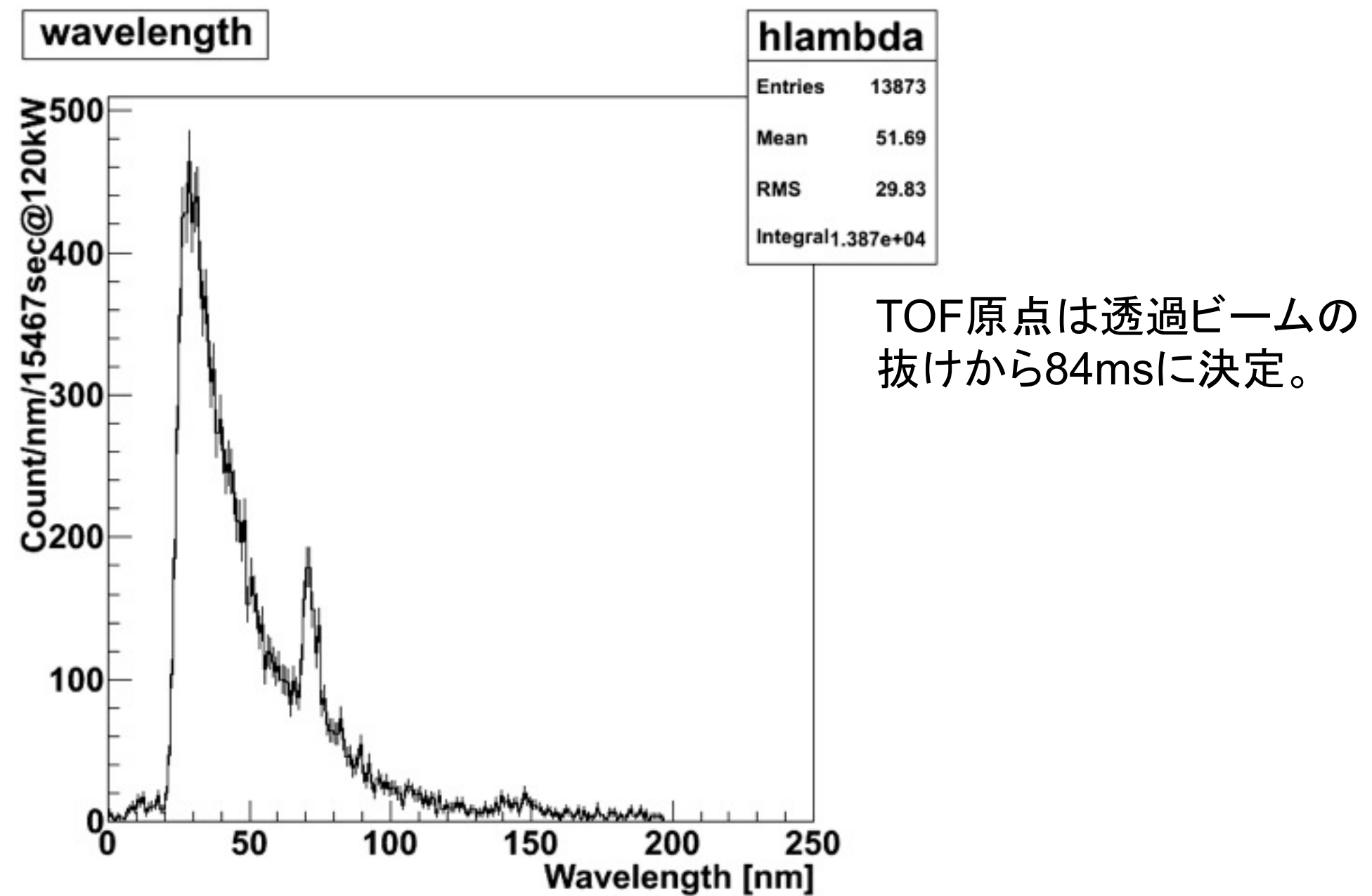


UCN Results

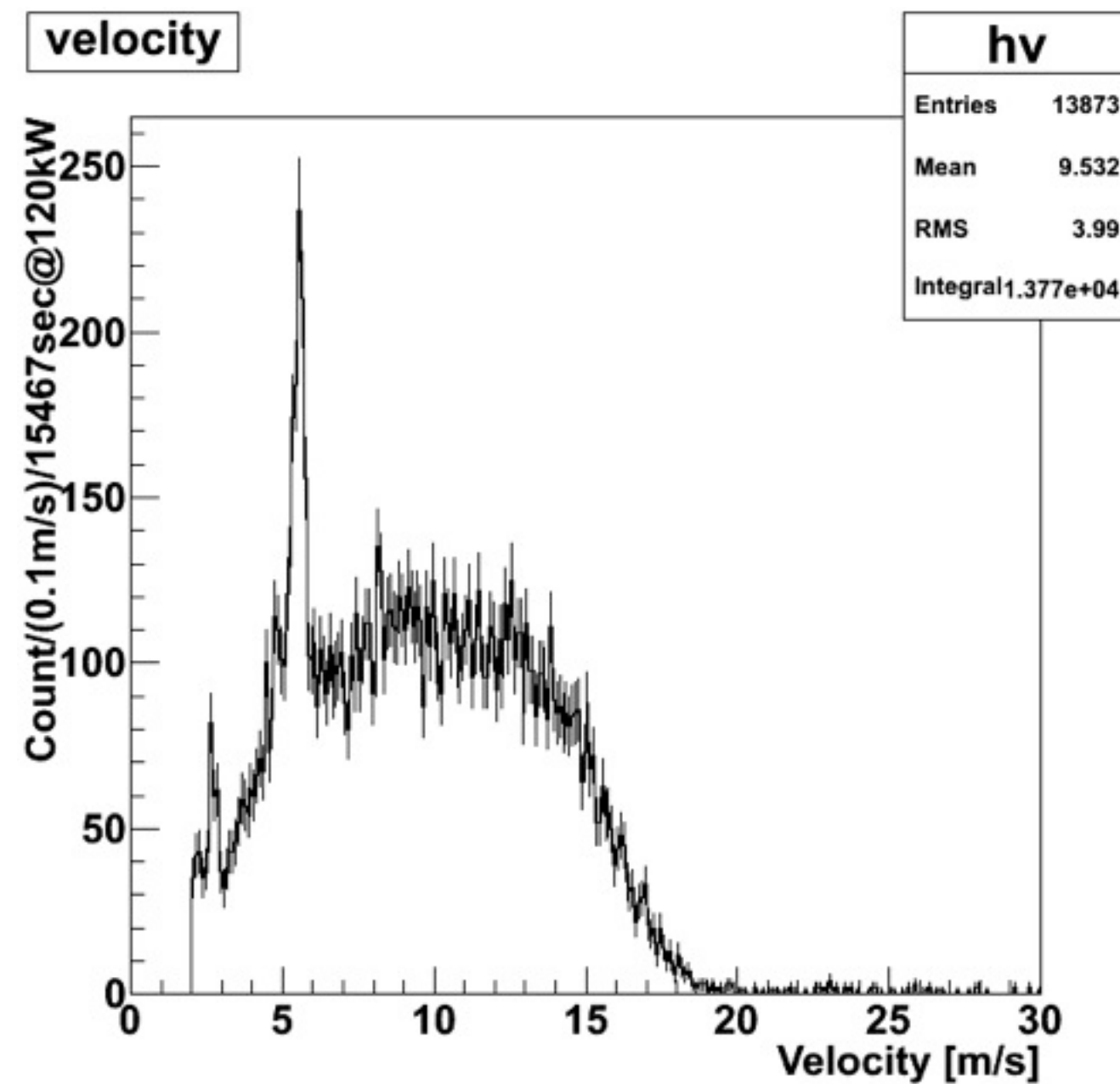


赤 : $\text{ph} > 0\text{ch}$ ($n + \gamma$)
黒 : $\text{ph} > 400\text{ch}$

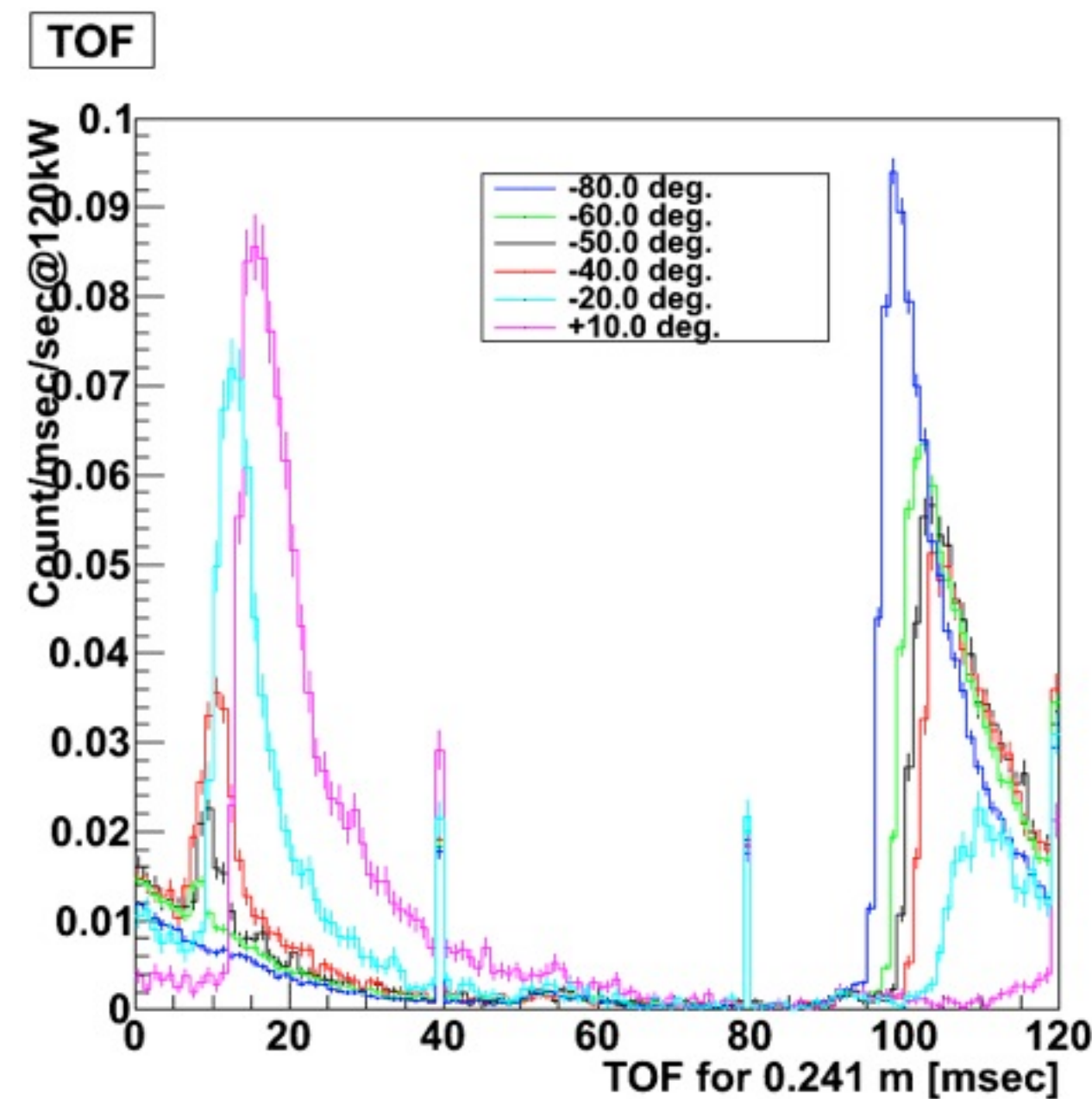
Results



Results

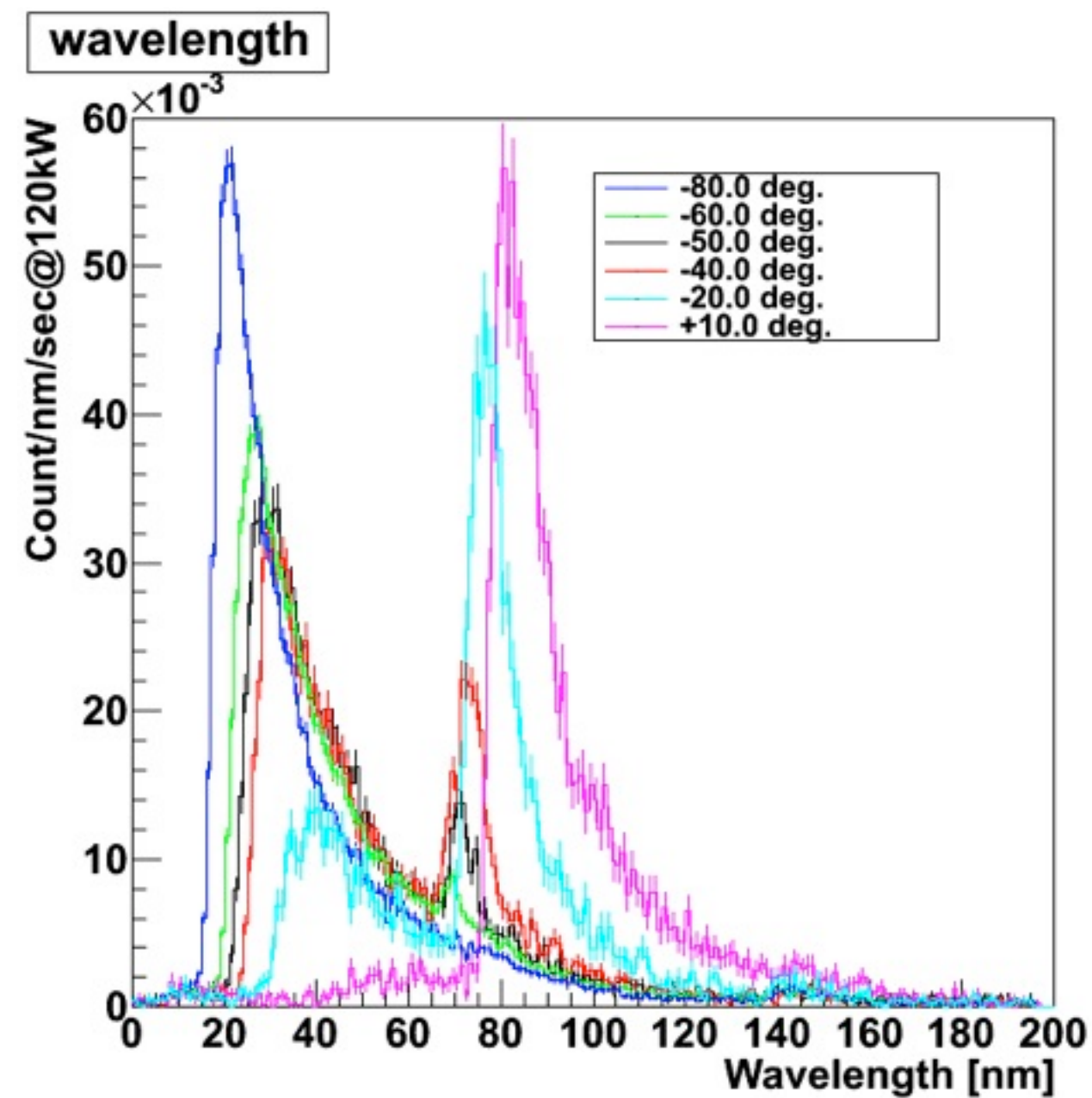


位相を変えてみる。

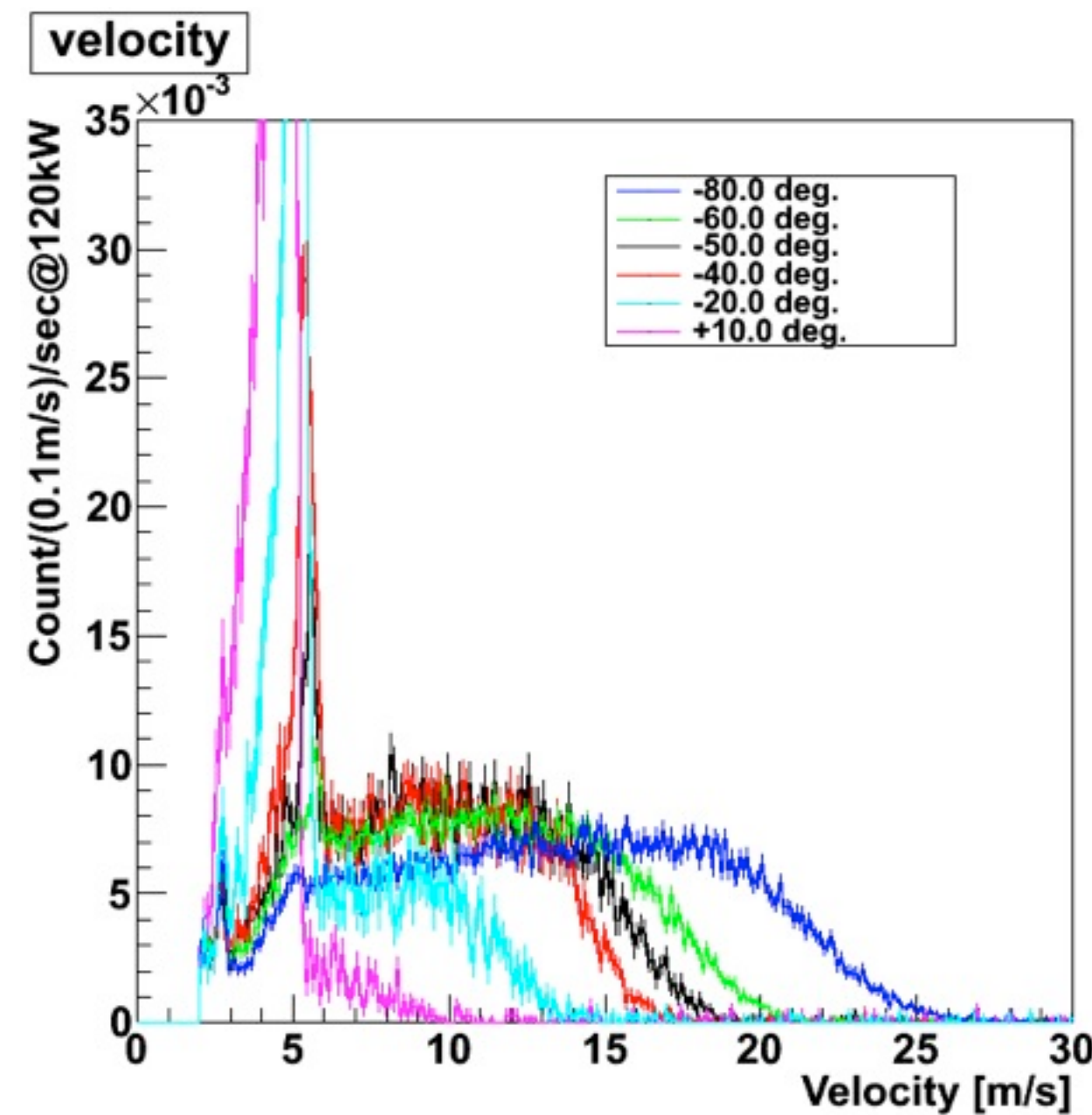


位相を変えてみる。

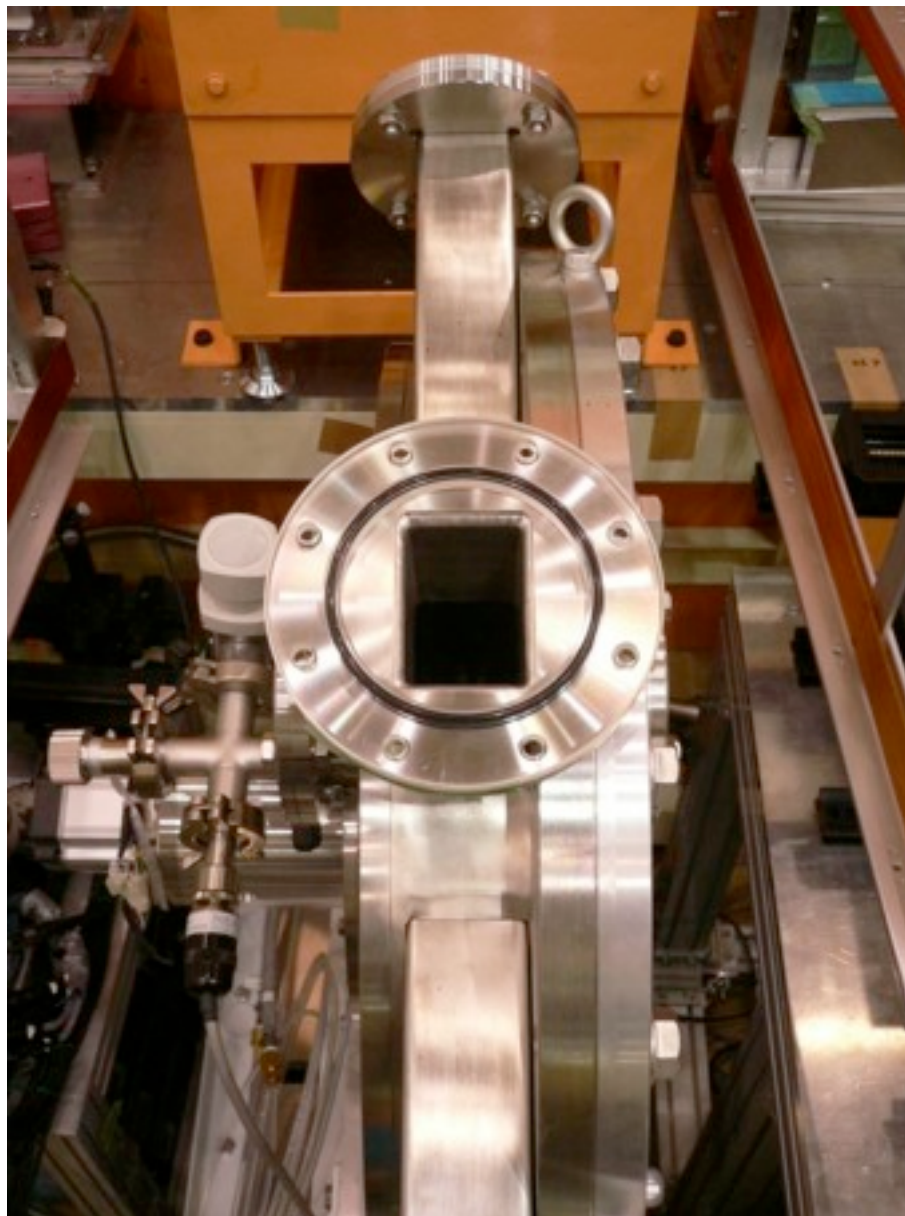
nEDM検討会 @ KEK 06/11/10



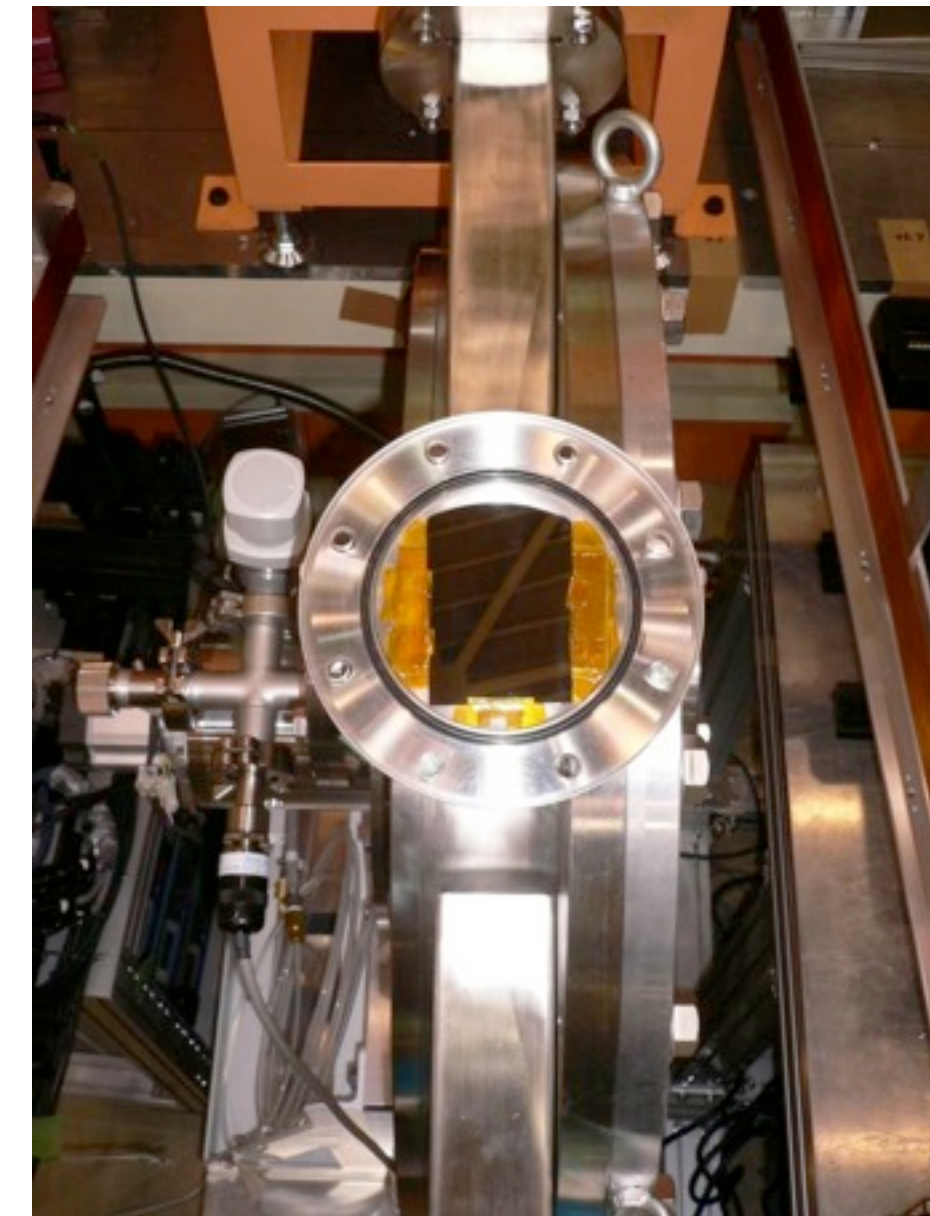
位相を変えてみる。



Ni Mirrorを置いてみる。



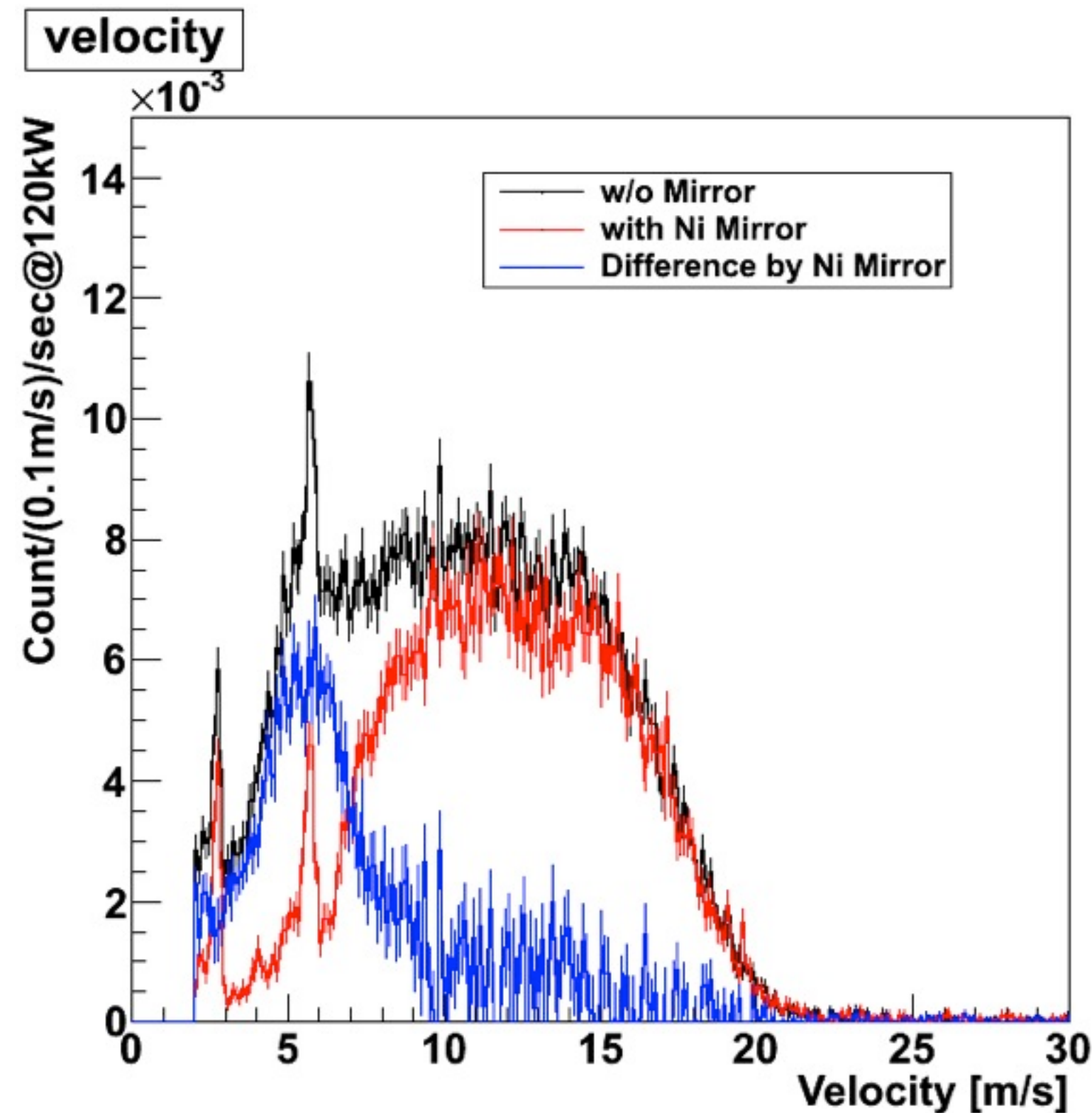
Mirror



Ni mirror on Si(0.3mm)

Ni Mirrorを置いてみる。

nEDM検討会 @ KEK 06/11/10



UCN yieldと蓄積

- VCN count は 14 kcps (予想は 50kcps)
- UCN? ($v < 20\text{m/s}$) count rate は 1.0 cps
- UCN ($v < 7\text{m/s}$) は 0.3 cps
- V_{cn} の z 方向が 136m/s , x-y 方向の divergence が 10mrad より $v_x = v_y < 1.4\text{m/s}$ のはず。

Summary

- UCNらしきTOFを確認。
- Ni on 0.3mmSi基板を置いたところ、6~9m/sの成分がなくなった。以上からUCNと結論できるだろう。
- V_{cn} のz方向が136m/s, x-y方向のdivergenceが10mradより $v_x = v_y < 1.4\text{m/s}$ のはず。

Backup

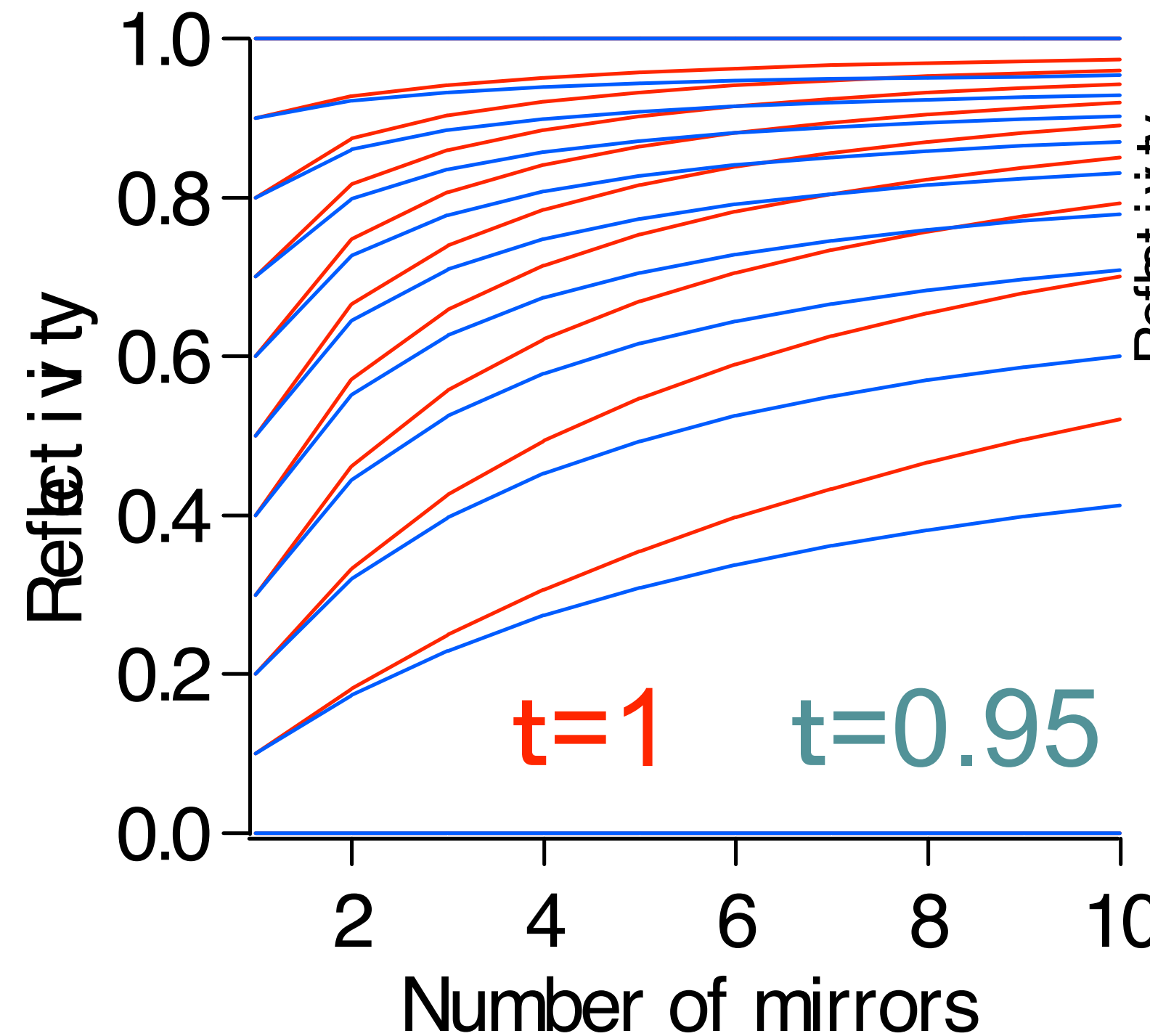
06/11/10

*nEDM*検討会 @ KEK

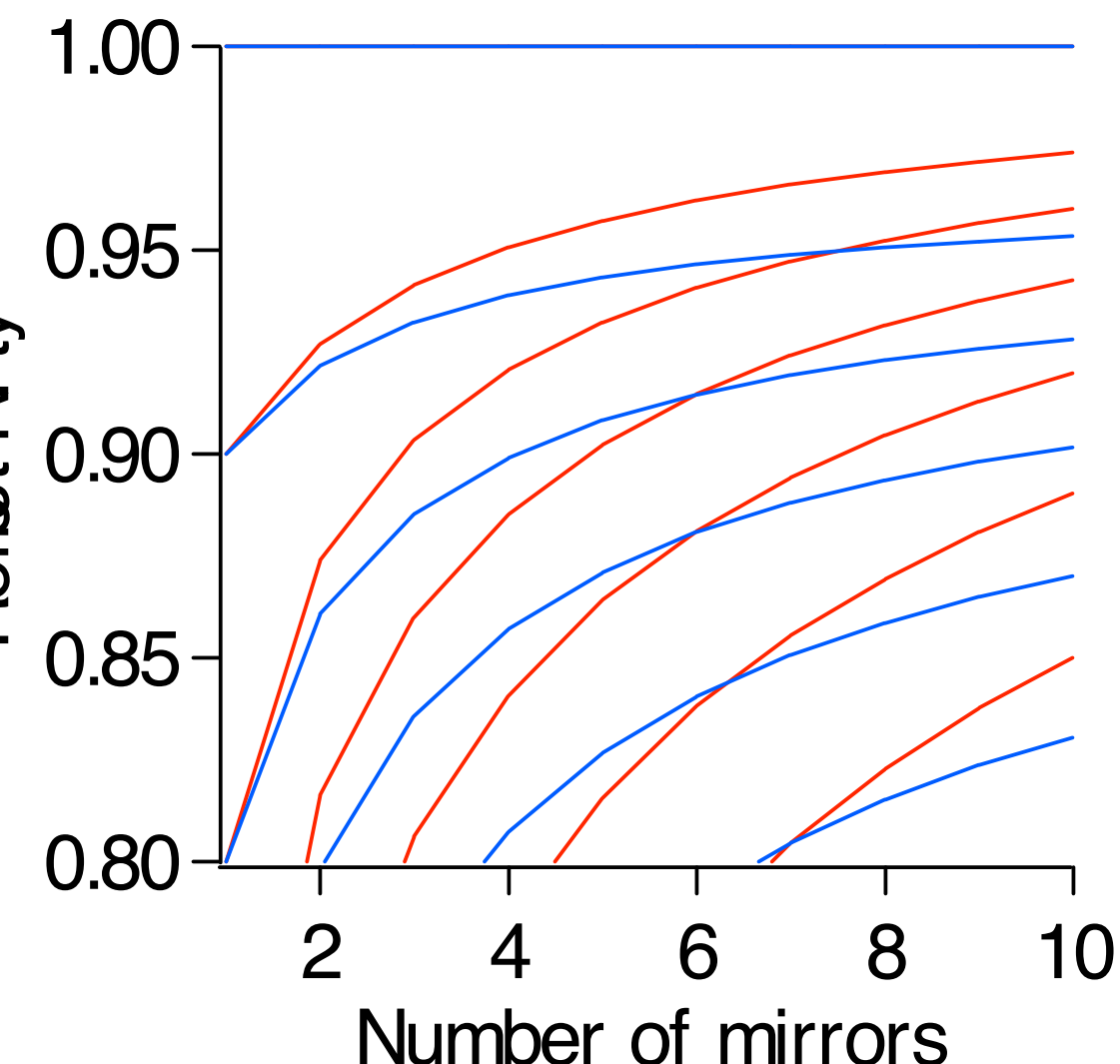
25



Effective reflectivity as a function of number of stacking mirrors



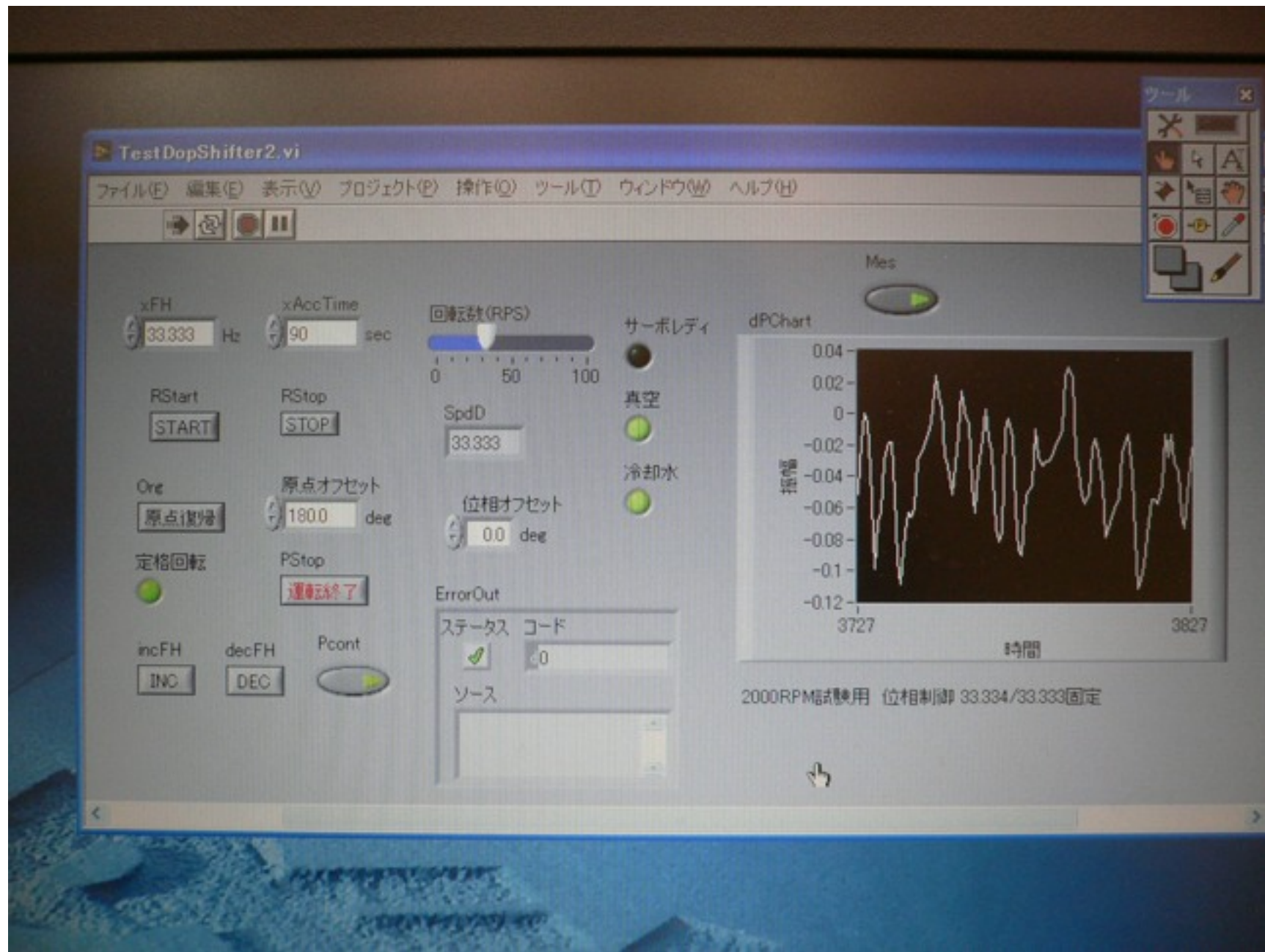
nEDM検討会 @ KEK 06/11/10



By stacking mirrors, it is possible to realize small-d wide-band monochromater with high reflectivity

コントロール

位相制御
0.15deg p-p



UCN Flux and Density

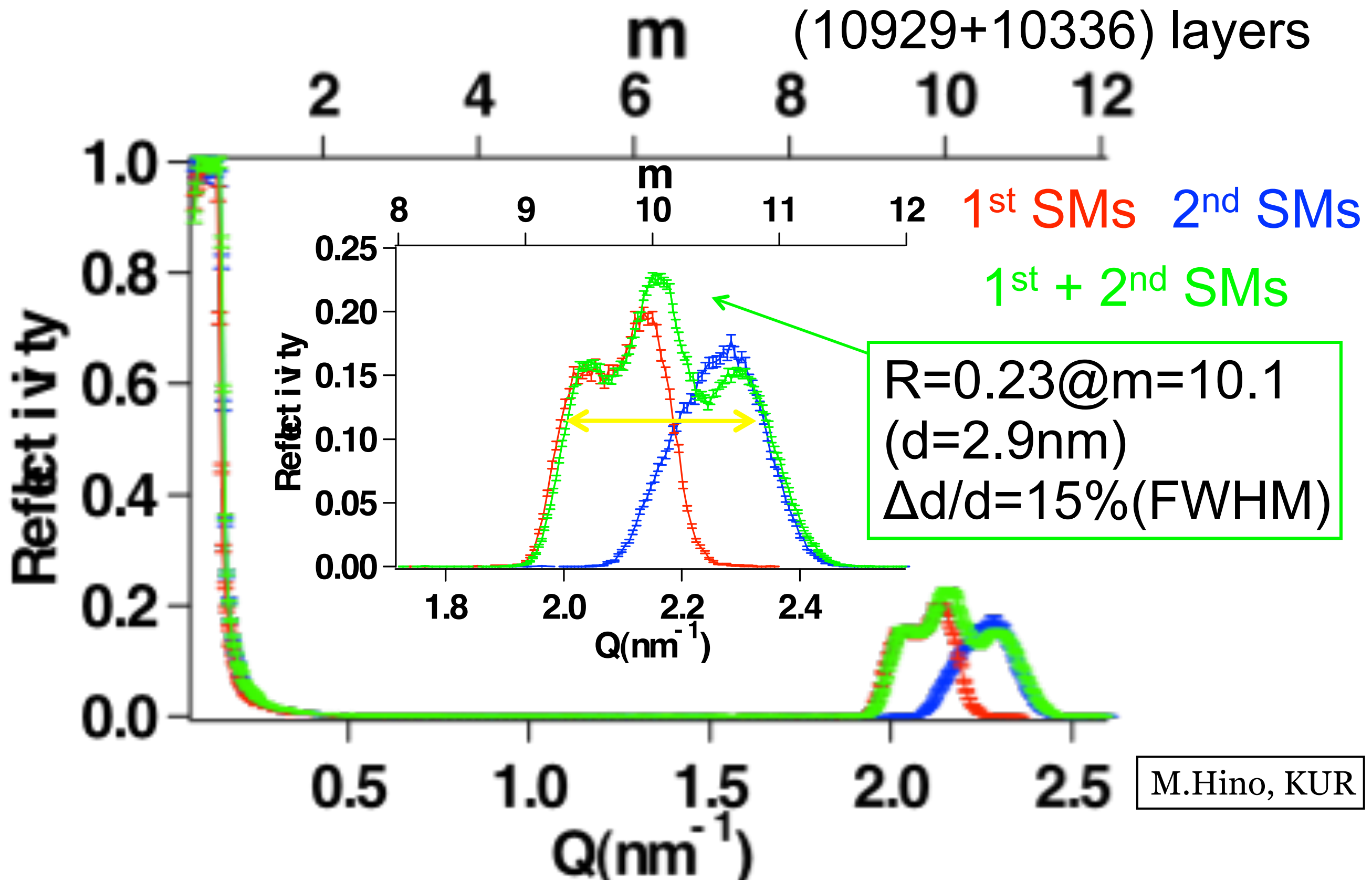
- Total flux : $2 \times 10^8 \text{ n/cm}^2/\text{sec/MW}$ with 10 mrad divergence
- Velocity 100 m/sec ~ 200 m/sec : 1.2% of total flux.
- 3GeV synchroton repetition : 25Hz
- UCN Conversion efficiency = 3×10^{-4}
- UCN production = 720 UCN/cm²/s with 100% reflection
- UCN production length ~ 5cm (0.8ms)

UCN density : 5.7 UCN/cm³

UCN density with focusing option

30~140 UCN/cm³

m=10 stackning NiC/Ti wide band multilayers



Outline

- In-Flightによる中性子寿命測定

- 実験のconfigurationの検討

- 信号検出の方法について
- バックグラウンドの評価

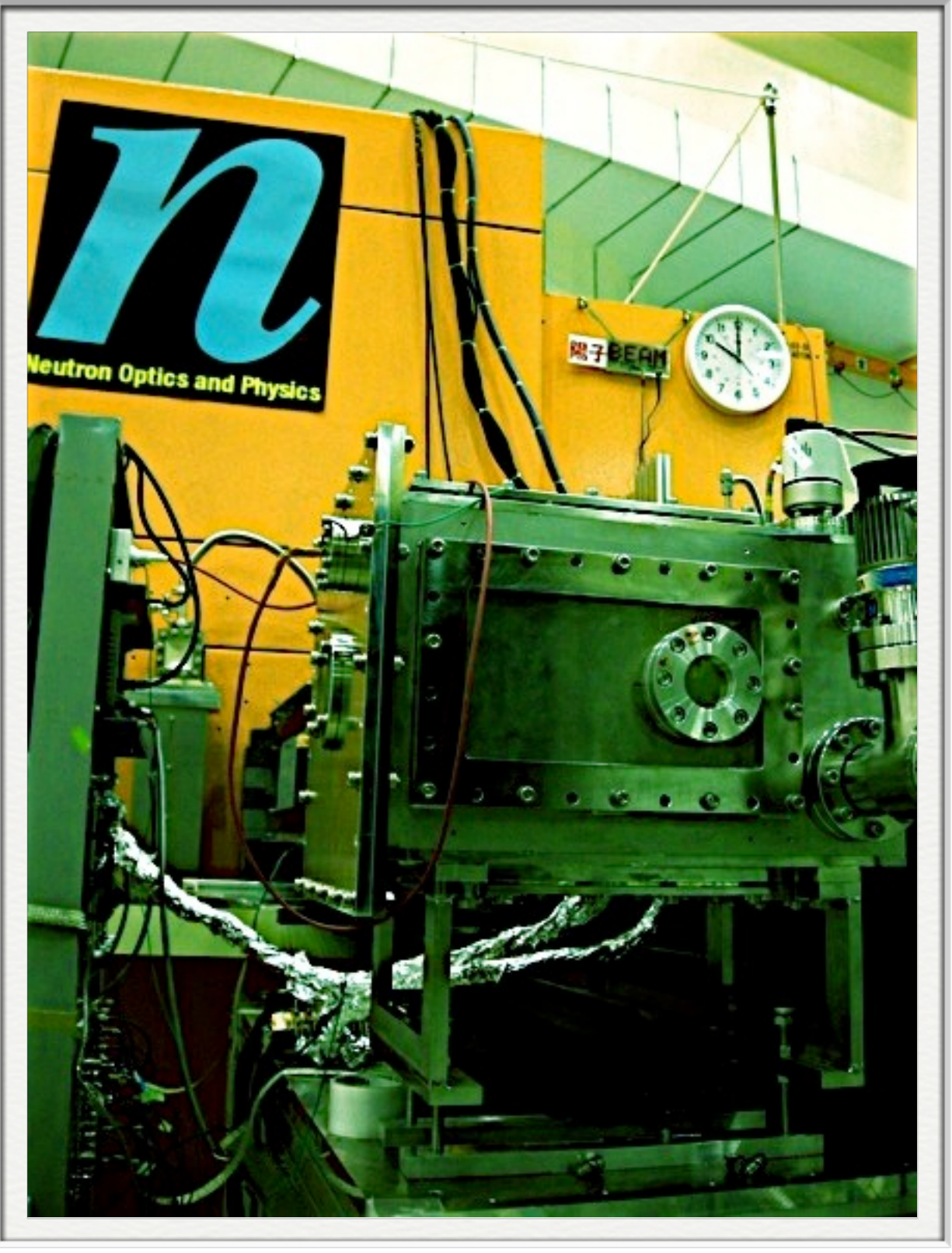
関連講演

J-PARC BL05：吉岡瑞樹, 12aSA-4

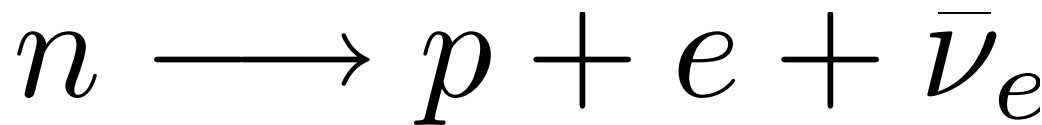
中性子ベータ崩壊の物理：音野瑛俊, 12aSA-7

スピンフリップチョッパー：竹谷薰, 10aSF-5

ほか本学会シンポジウム「中性子基礎物理」の各講演

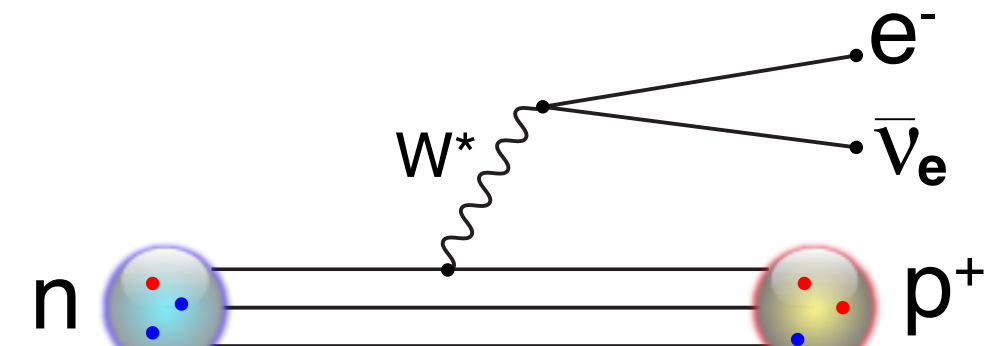


中性子寿命



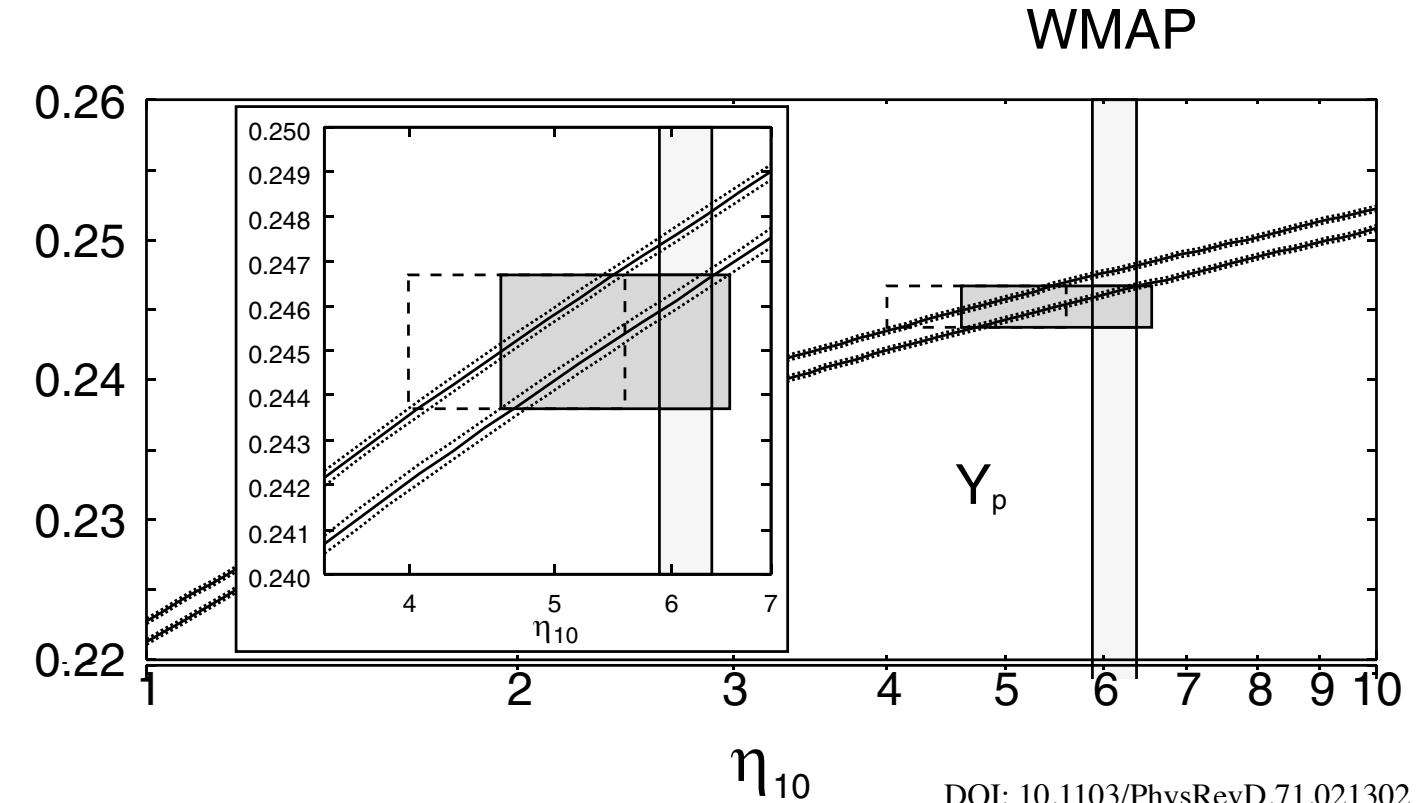
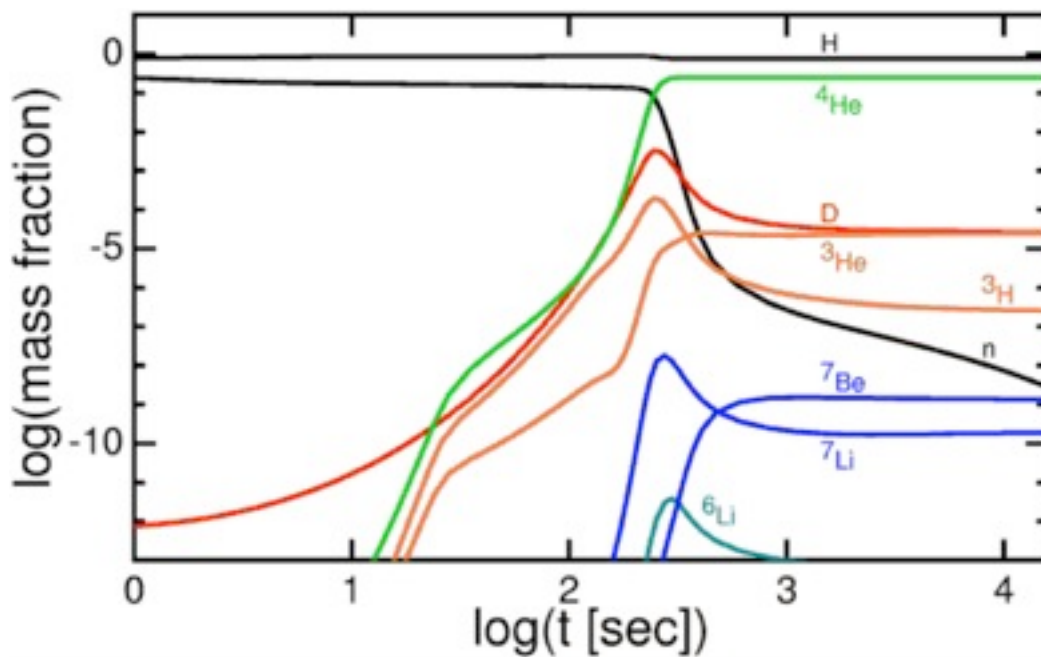
$$\tau_n = 885.7 \pm 0.8 \text{ s (PDG2008)}$$

$$\tau_n = 878.5 \pm 0.7 \pm 0.3 \text{ s (PNPI-ILL)}$$



- 寿命が異なる実験間で1%程度のずれを生じている
- 宇宙の⁴He量の観測値、WMAP+理論との整合性に影響
- 最も精度が高いとされる従来のUCNボトルを用いた測定とは異なる測定原理を用いた検証が必要

ベータ崩壊の物理の詳細は
音野瑛俊, 12aSA-7



In-Flightでの中性子寿命測定の原理

$$\tau^{-1} = \frac{1}{N} \frac{N_e}{\Delta t}$$

${}^3\text{He}(n,p)$ 反応による
フラックス測定

バンチ化された
中性子ビーム

 Δt 

N_e 崩壊した中性子

ベータ崩壊反応個数

$$\tau^{-1} = \frac{N_e}{N_p} \times \rho_0 \times \sigma_{(n,p)} \times v_0$$

${}^3\text{He}$ 反応個数

${}^3\text{He}$ ガス濃度

ベータ崩壊とフラックス測定を
同時にすることで系統誤差を抑える

中性子速度

(n,p)断面積@ v_0

系統誤差を下げるために主に努力すべき項目

- ①ベータ崩壊検出効率
- ②バックグラウンドの除去
- ③ ${}^3\text{He}$ ガス濃度の精密測定

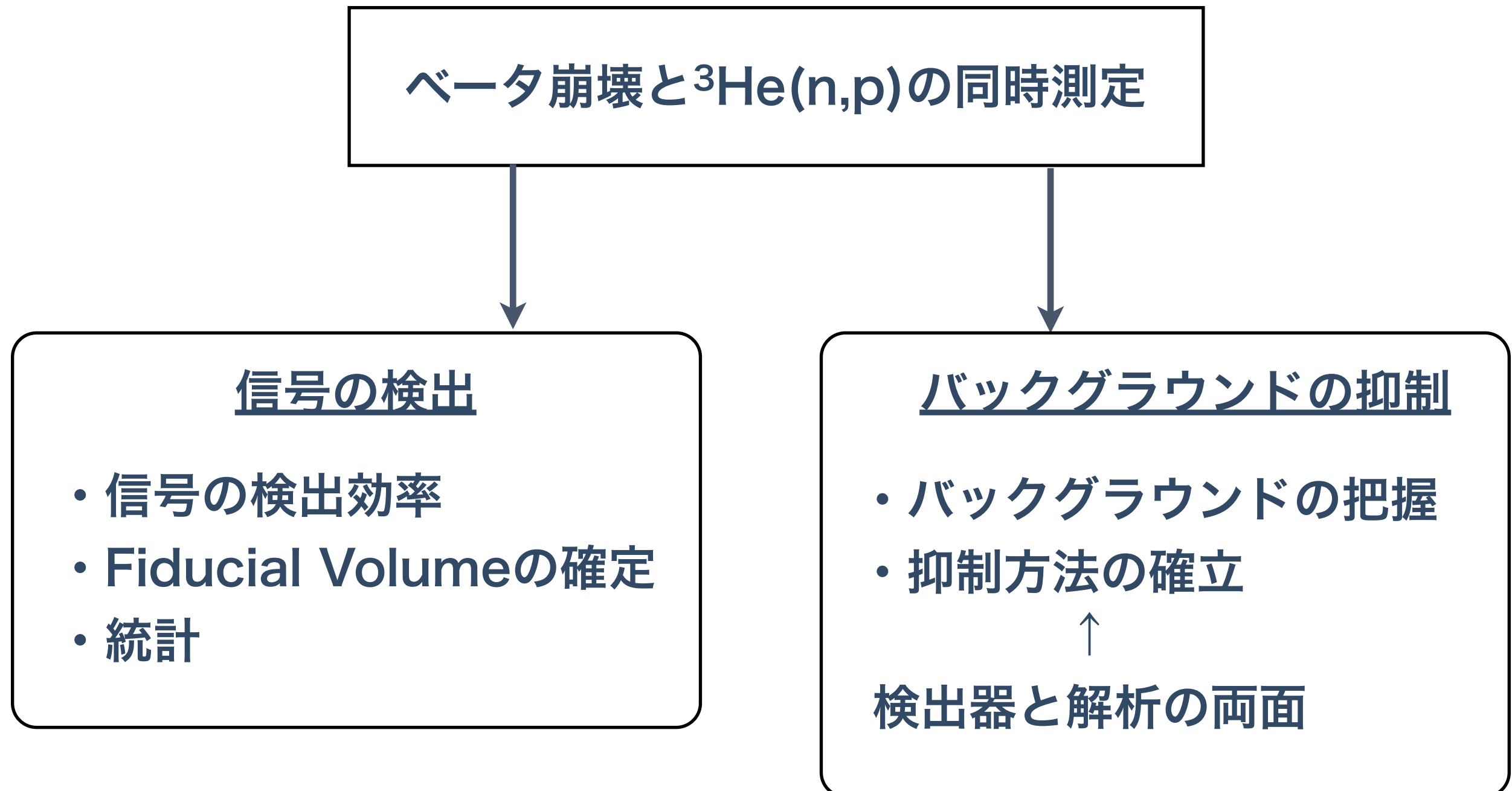
0.1%精度で寿命を決めたい

先行実験

R.Kossakowski et al. (1989)

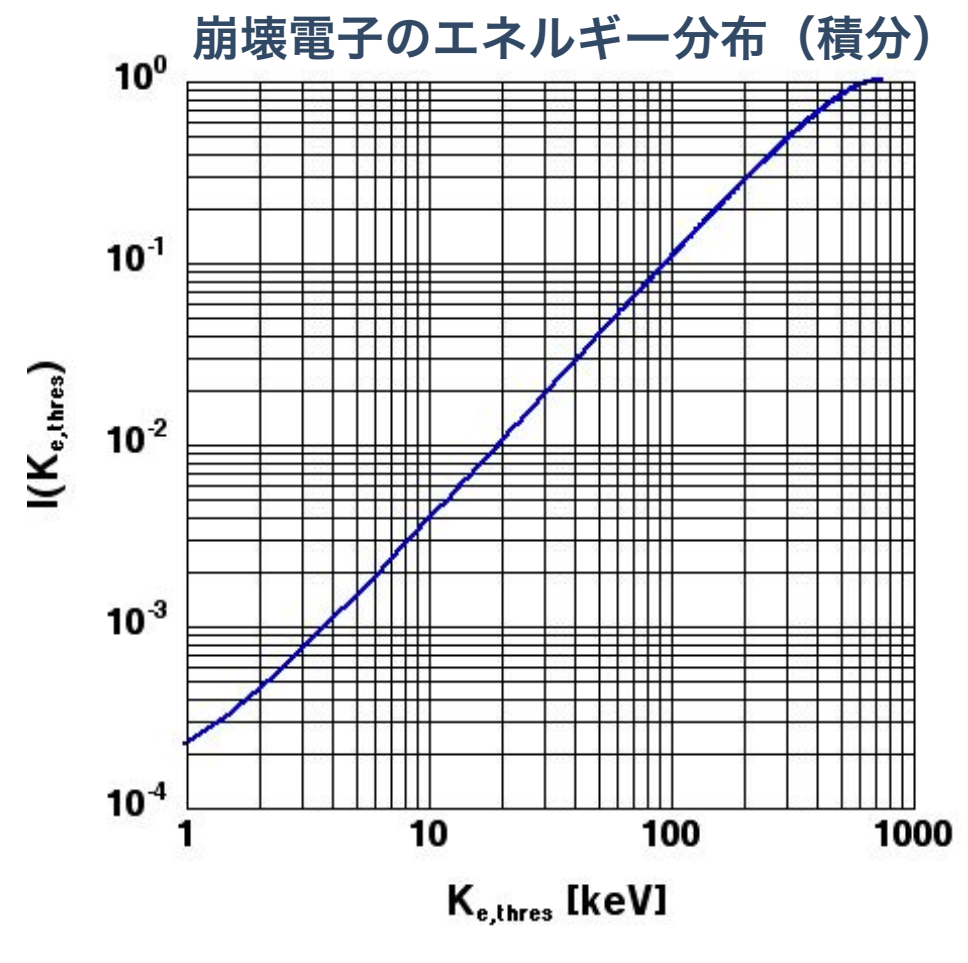
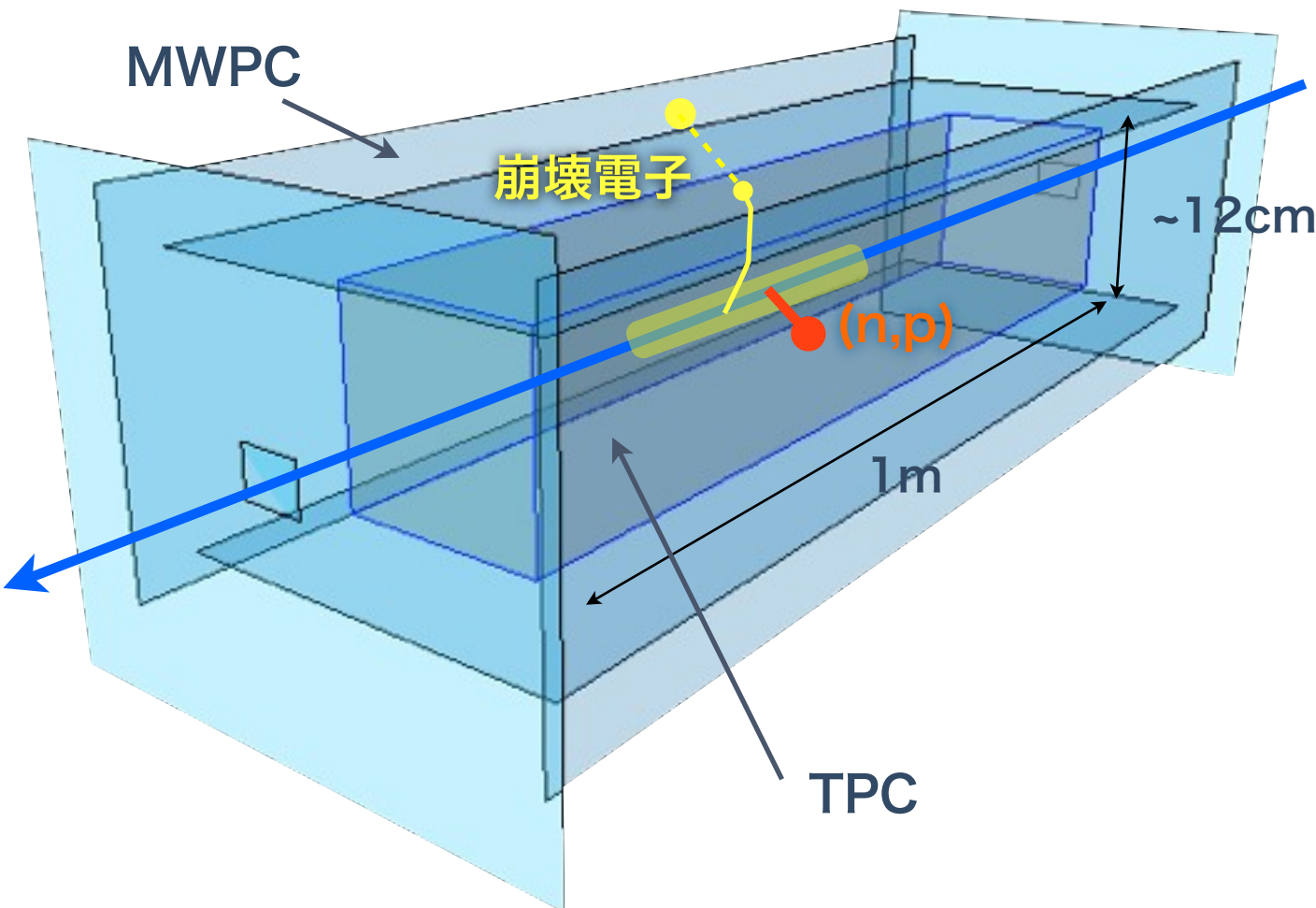
$\tau = 878 \pm 27(\text{stat}) \pm 14(\text{sys})$

実験全体の戦略



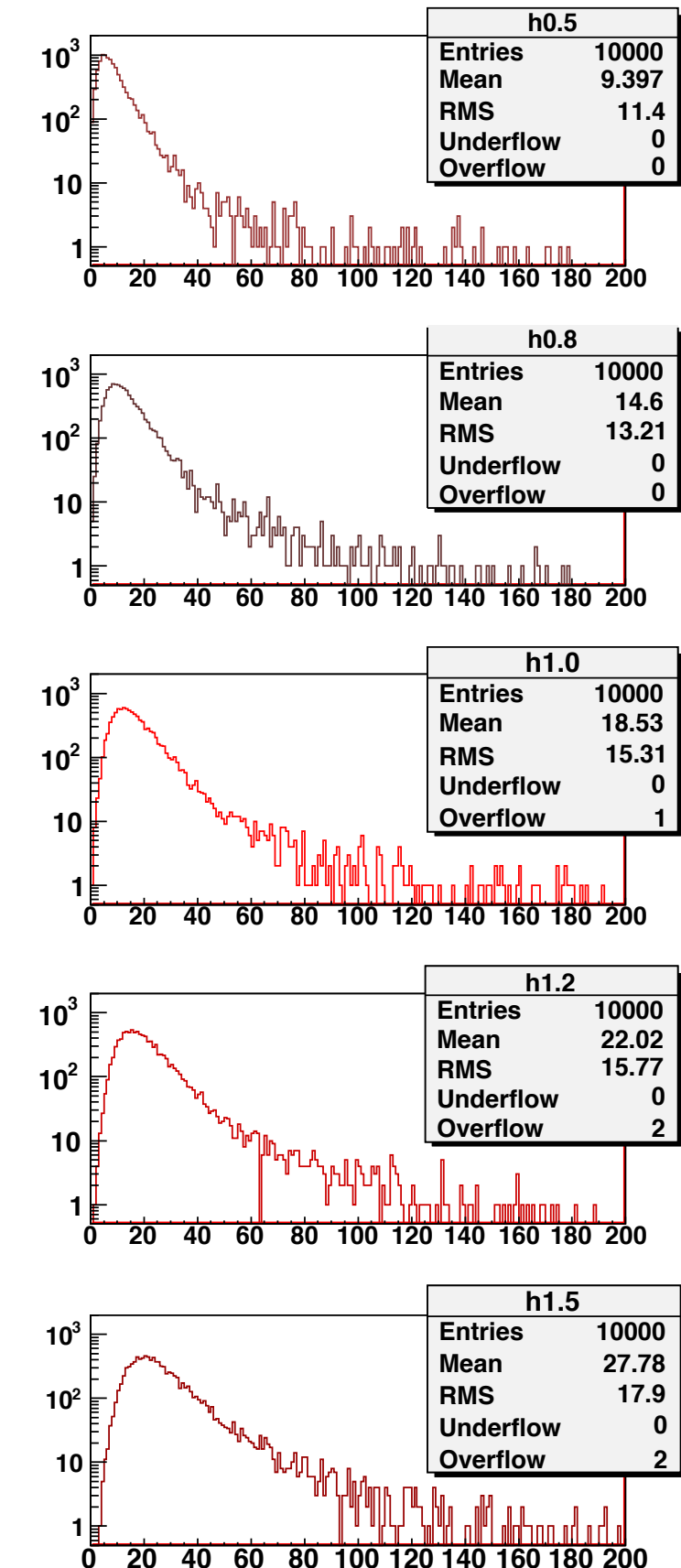
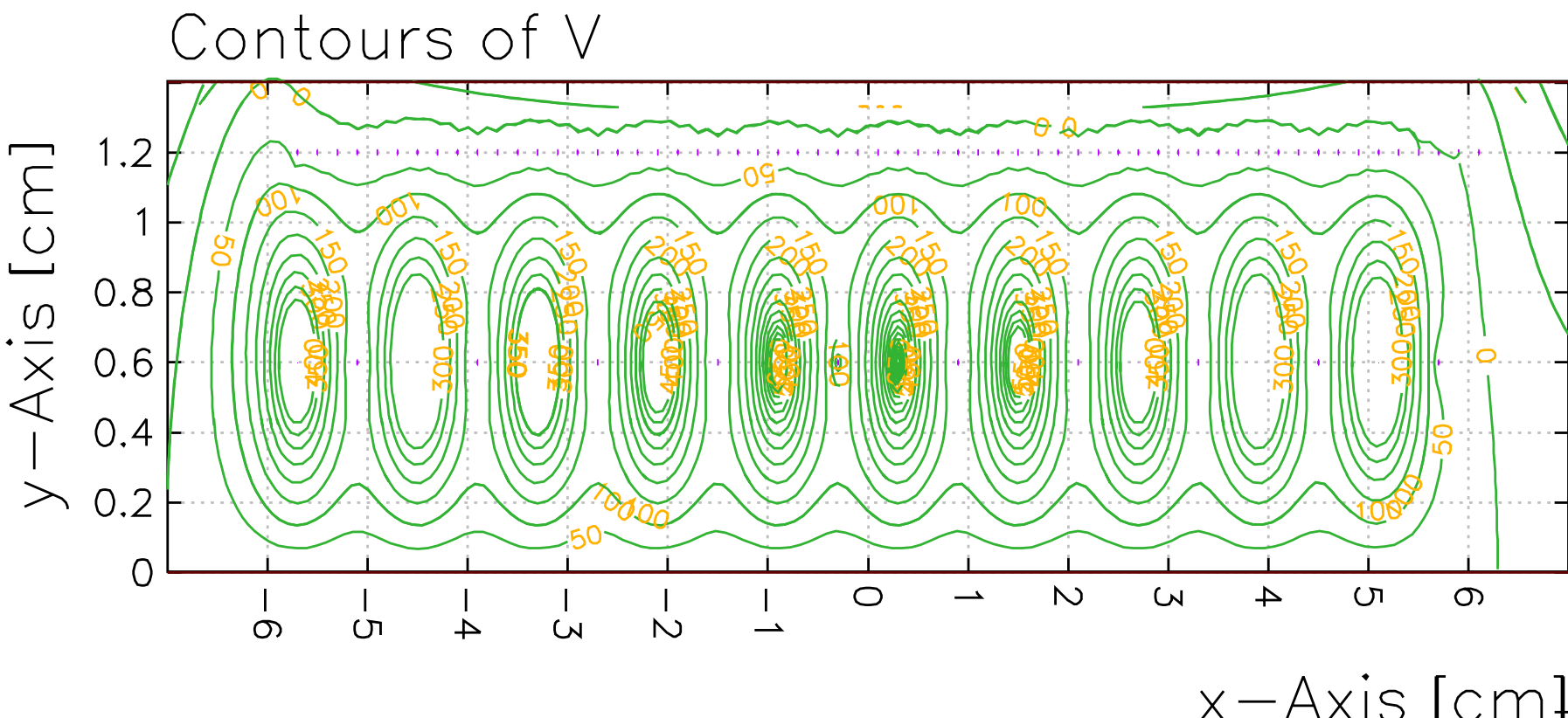
Detector Concept

- ・ビーム軸方向に1mのTPC
- ・外周にMWPC等のタイミング・カウンタを配置
- ・TPCガスの選択 $\text{He}/\text{CO}_2 = 85/15$ (中性子散乱の少ないガス) + 希少 ^3He
- ・ $^3\text{He}/^4\text{He}$ ガスの分圧比が重要→真空引きの上で封じ切り
- ・崩壊電子のうち3keV以上を100%検出できる
- ・ $^3\text{He}(n,p)$ (750keV)の検出も同時に使えるダイナミック・レンジ→Hi/Loの2種類の読み出し



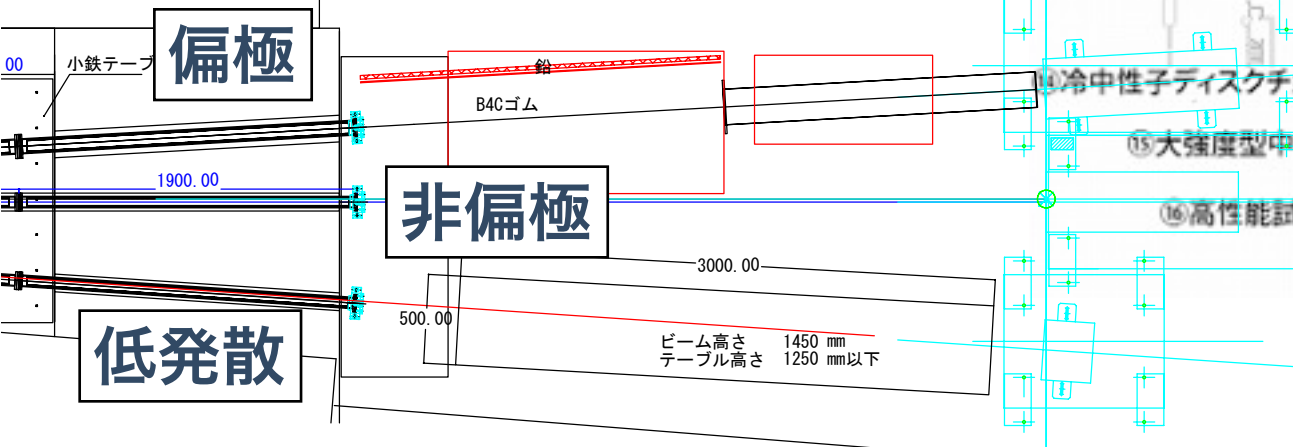
Multiplication / FrontEnd Electronics

- He/CO₂=85/15(1atm)のガス中で, m.i.pがTPC中でワイヤあたりいくつペアを生成するかシミュレーションする
- ワイヤ・ピッチが12mmあれば1pair以下になる確率を10⁻³以下に抑えられる
- 下図のワイヤデザインで増幅率4.4×10⁴@V_{anode}=1650V (実測)
- 1pairまで信号を検出するためにはENC < 2000のプリアンプが必要
→KEKオンラインエレクトロニクスグループと共同で開発の予定



中性子ビームライン

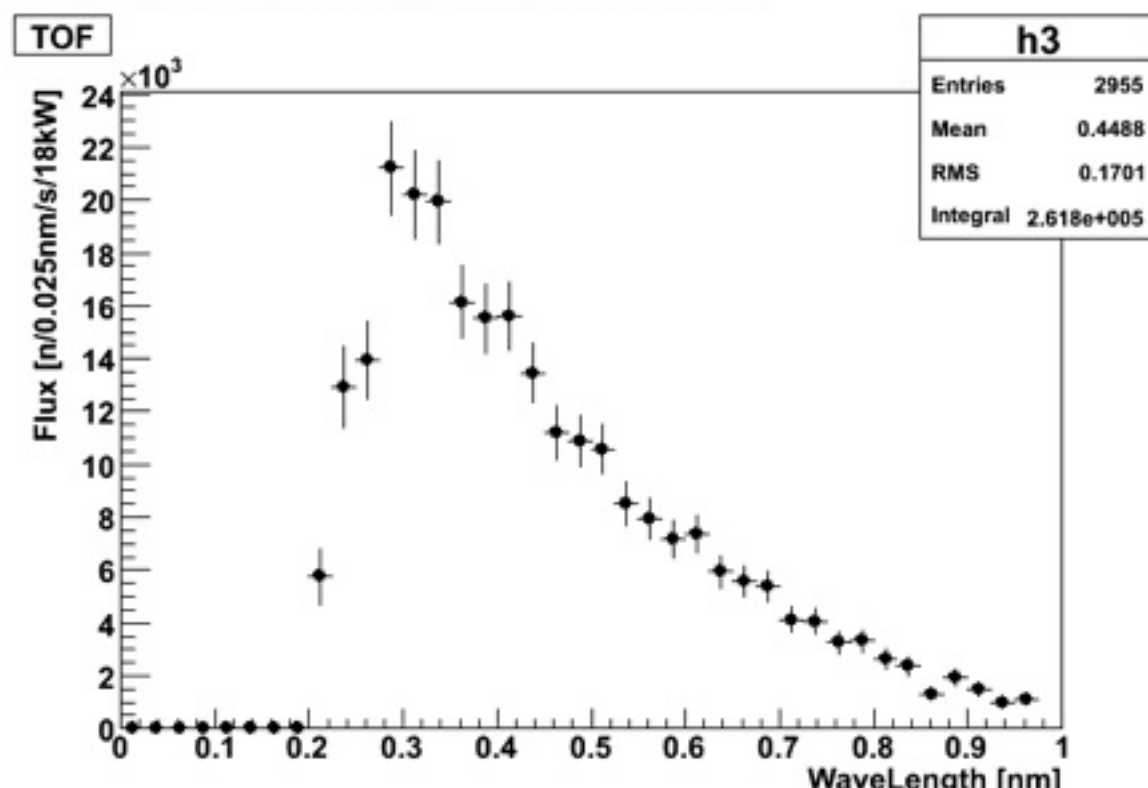
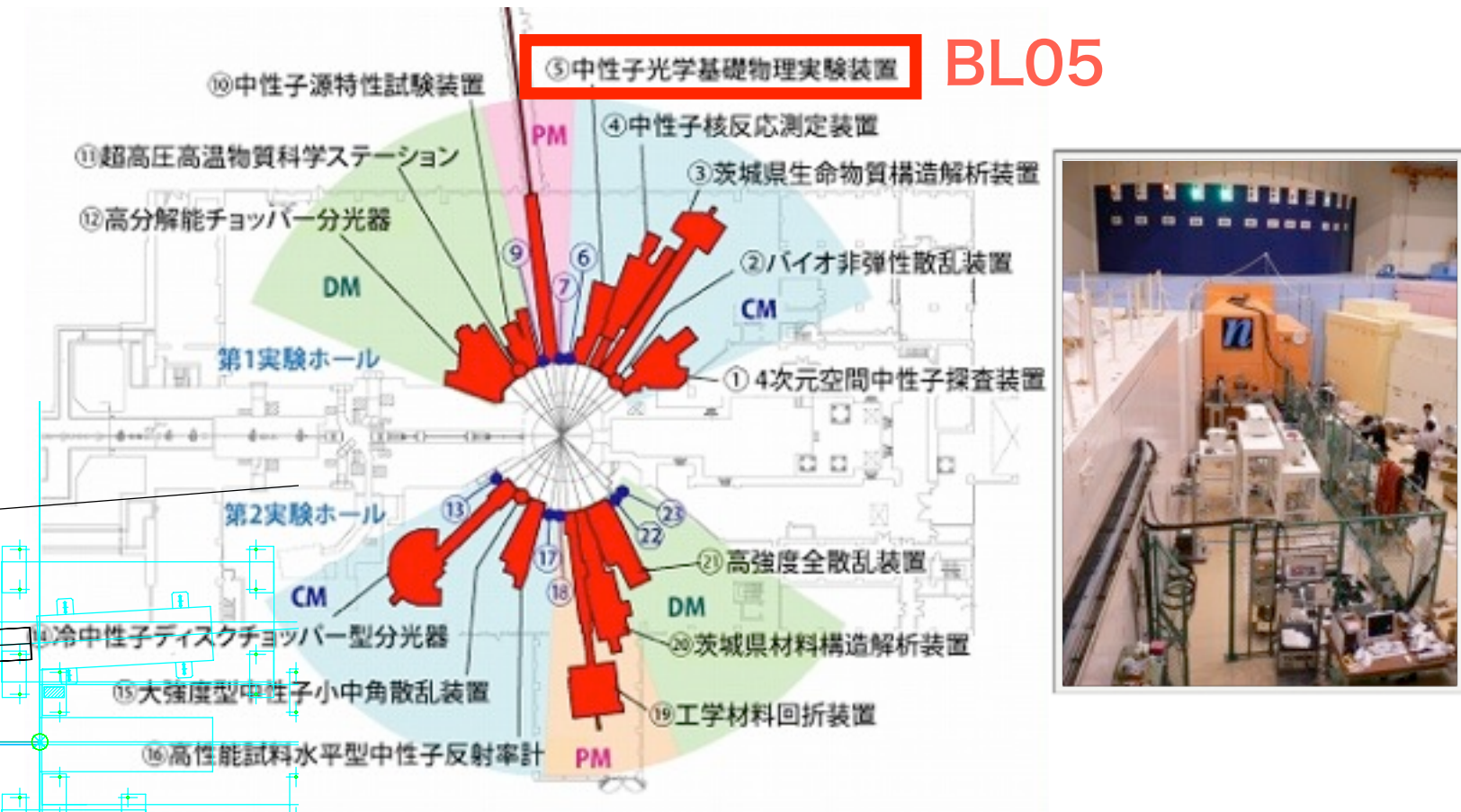
ビームラインの詳細は 吉岡瑞樹, 12aSA-4



中性子基礎物理実験用途のビームライン パルス中性子・偏極率98%

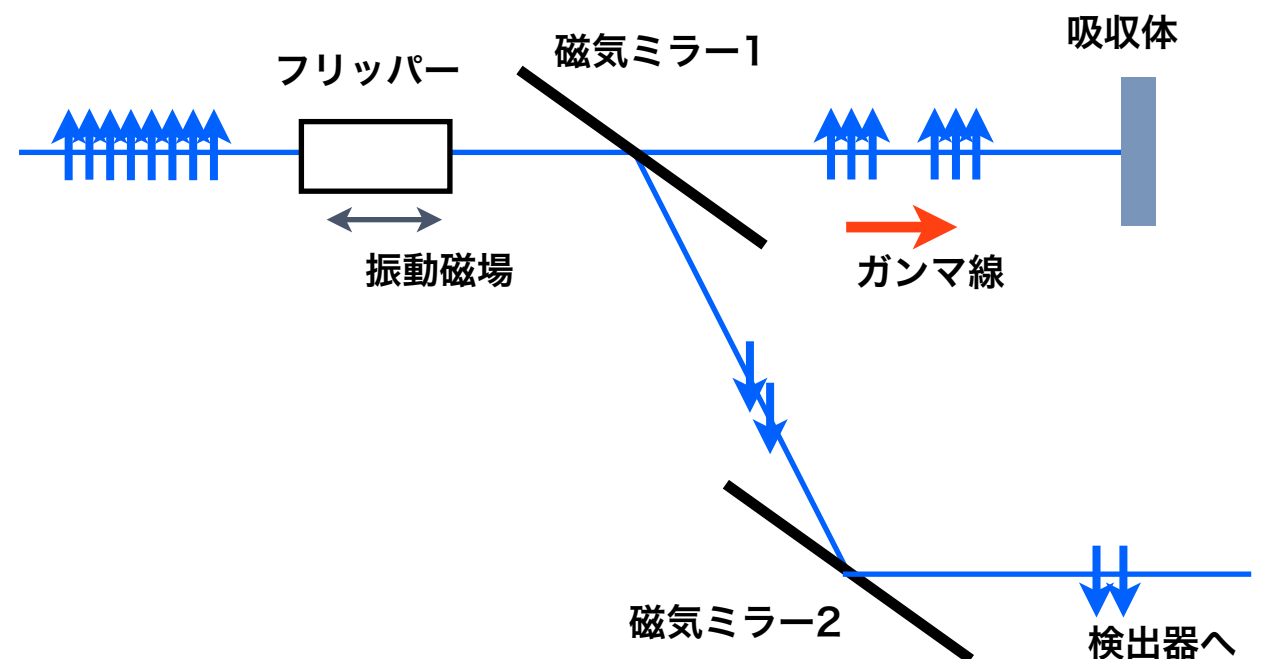
冷中性子偏極ビーム 1000m/s,
偏極ラインはビーム断面積 $2 \times 2\text{cm}^2$ で 4×10^5 n/s

2009年6月時点ビーム強度20kW運転を実現
2009年後期の運転では100kW運転の予定

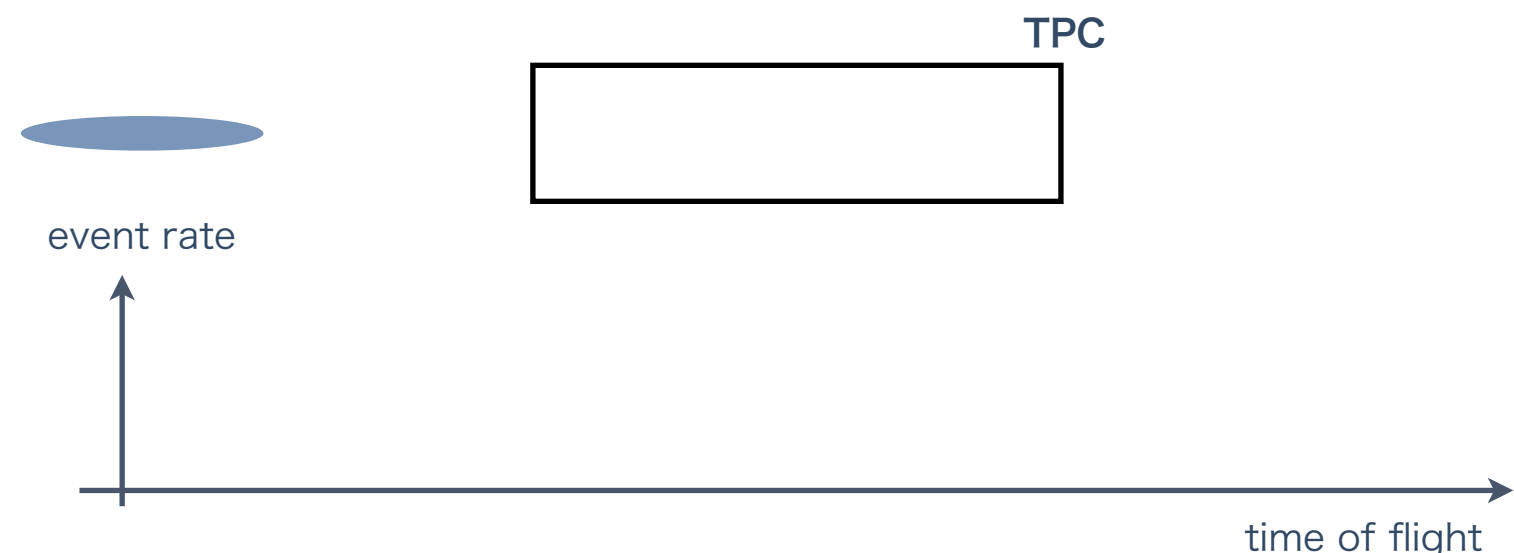
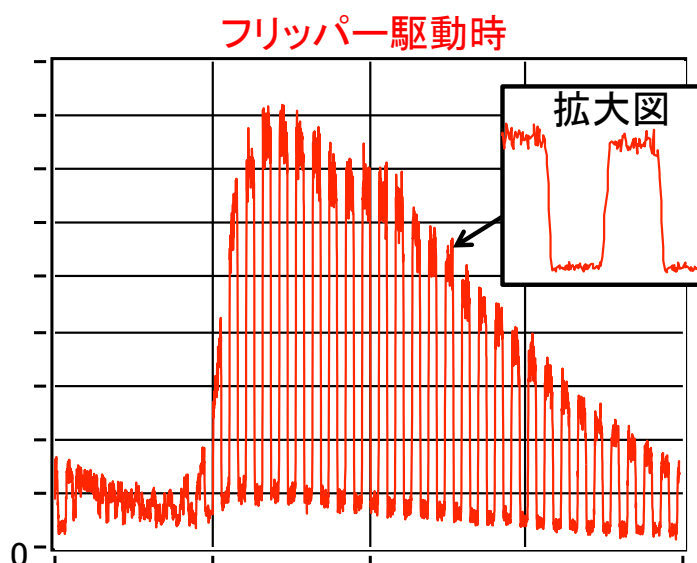


Spin Flip ChopperとFiducial Volume

- ・ラムゼー型スピニフリッパーを局所時間だけ動作させる
→中性子ストリームの局所的なスピニ反転
- ・磁気ミラーを用いてスピニを分離する
→中性子ビームの切り出し・バンチ化が可能
- ・多段のSpin Flip Chopperを用いることで
160000:1のコントラストを実現可能
- ・現在の立ち上がり時間～ $5\mu\text{s} \Leftrightarrow 5\text{cm}$ の切り出しが可能
- ・1mのTPCでFiducial Volumeを最大化するとバンチ長は50cm
→30cm以上のFiducial Volumeを確保できる

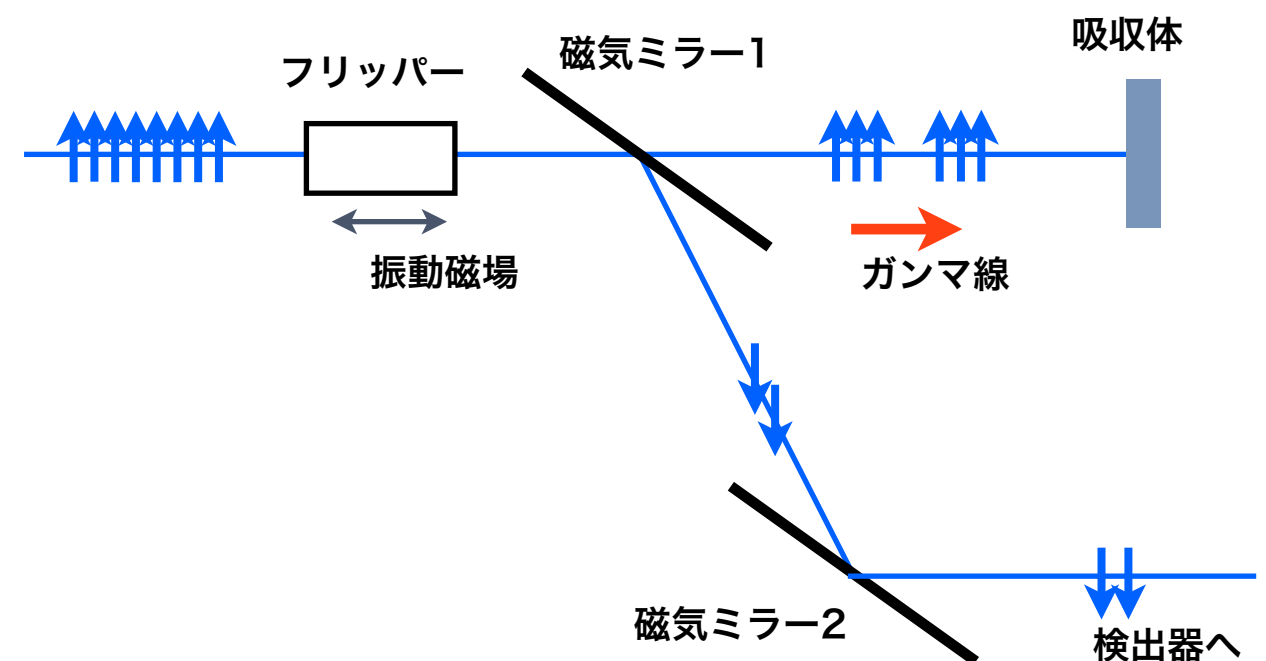


Spin Flip Chopperの詳細は
竹谷薰, 10aSF-5

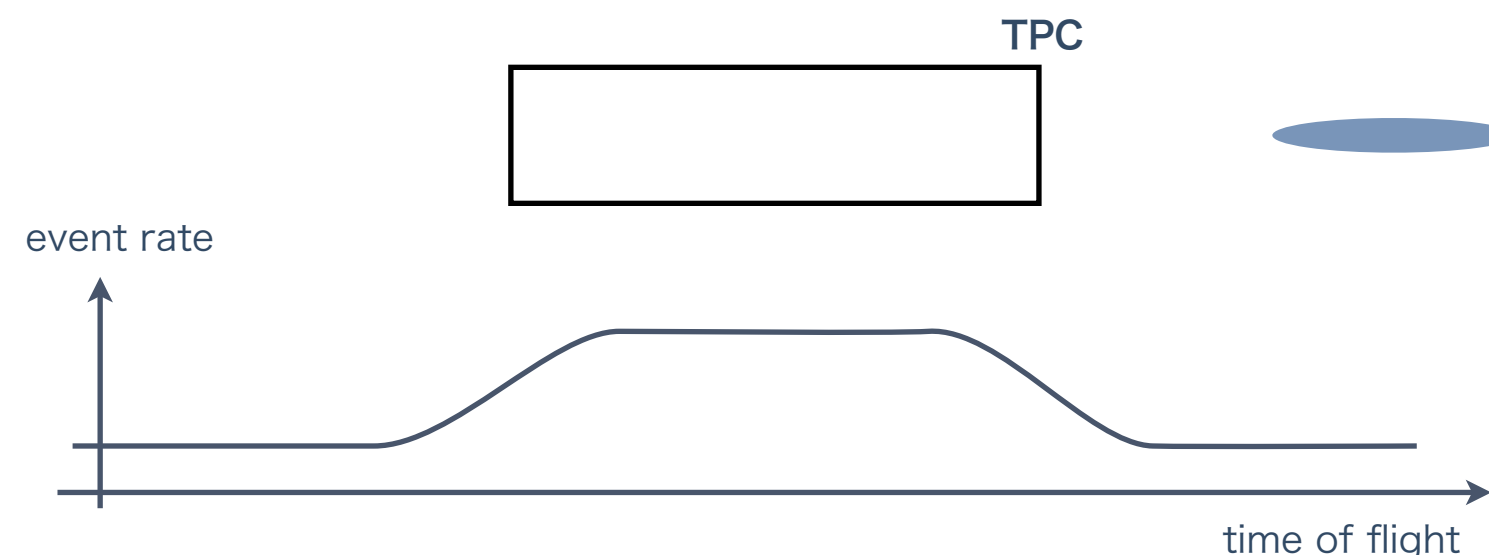
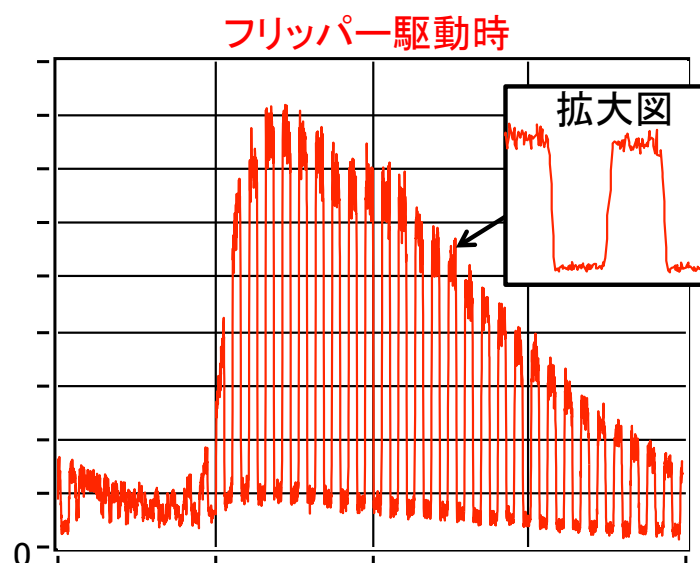


Spin Flip ChopperとFiducial Volume

- ・ラムゼー型スピニフリッパーを局所時間だけ動作させる
→中性子ストリームの局所的なスピニ反転
- ・磁気ミラーを用いてスピニを分離する
→中性子ビームの切り出し・バンチ化が可能
- ・多段のSpin Flip Chopperを用いることで
160000:1のコントラストを実現可能
- ・現在の立ち上がり時間~ $5\mu\text{s} \Leftrightarrow 5\text{cm}$ の切り出しが可能
- ・1mのTPCでFiducial Volumeを最大化するとバンチ長は50cm
→30cm以上のFiducial Volumeを確保できる

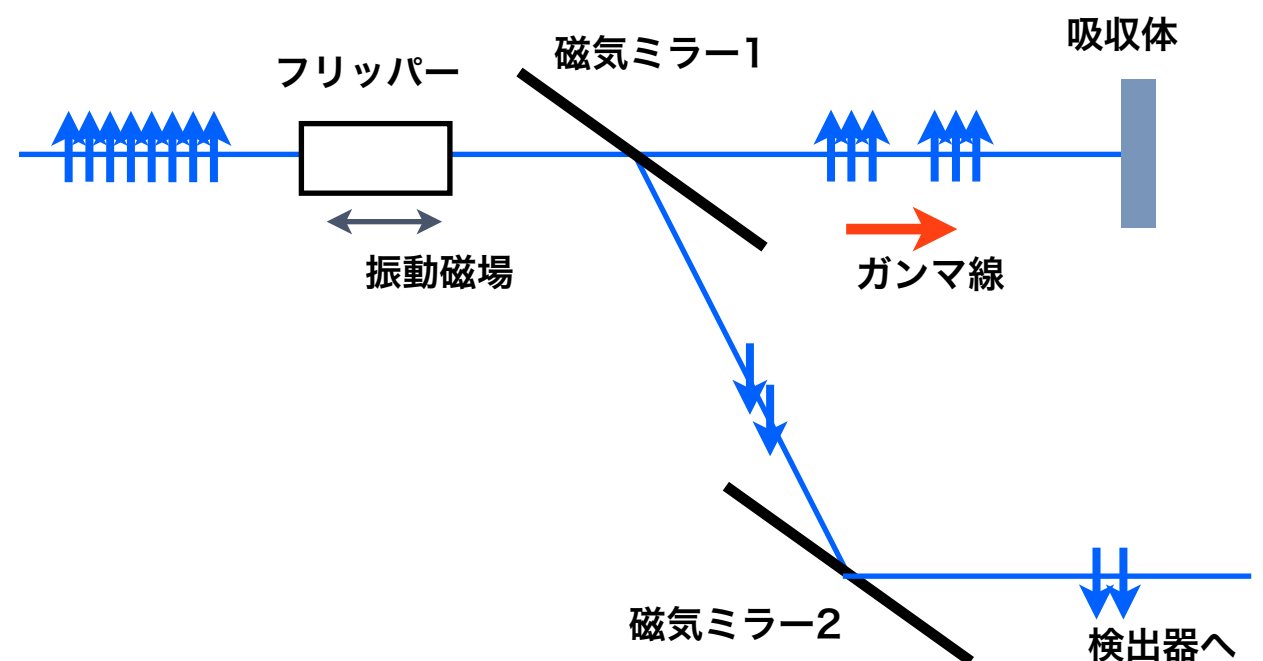


Spin Flip Chopperの詳細は
竹谷薰, 10aSF-5

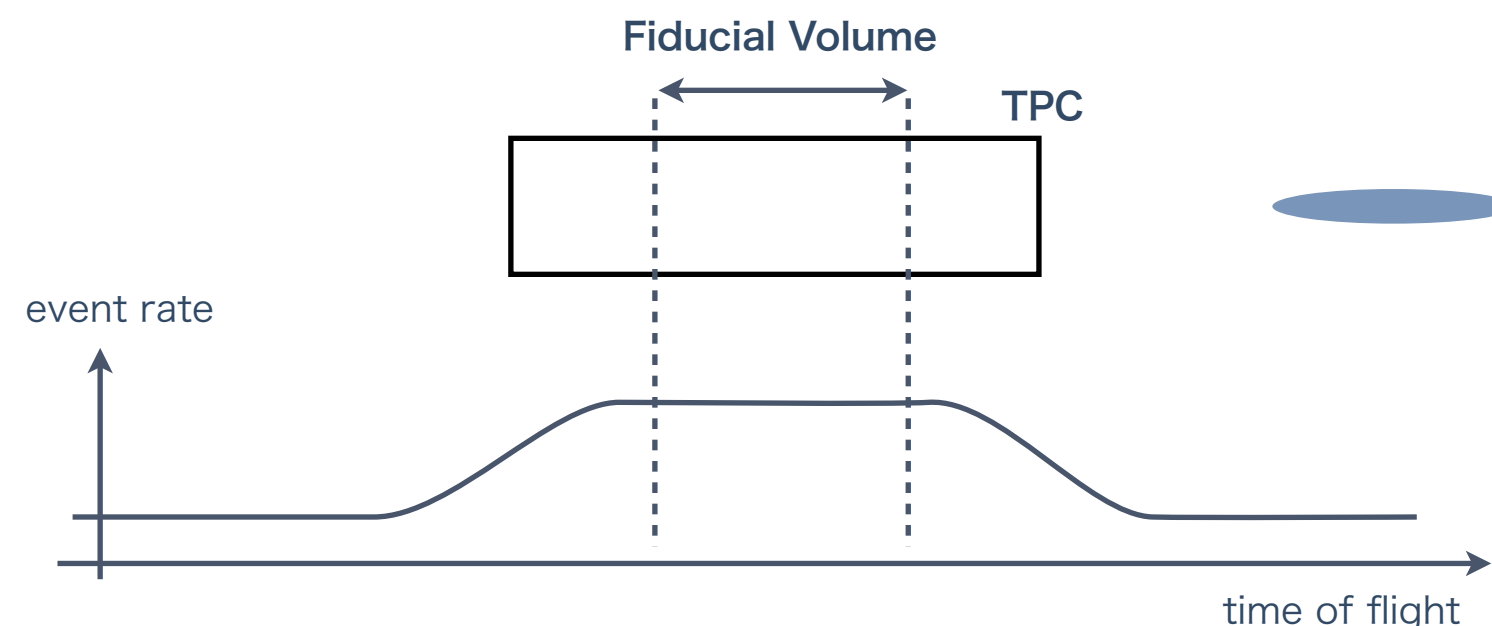
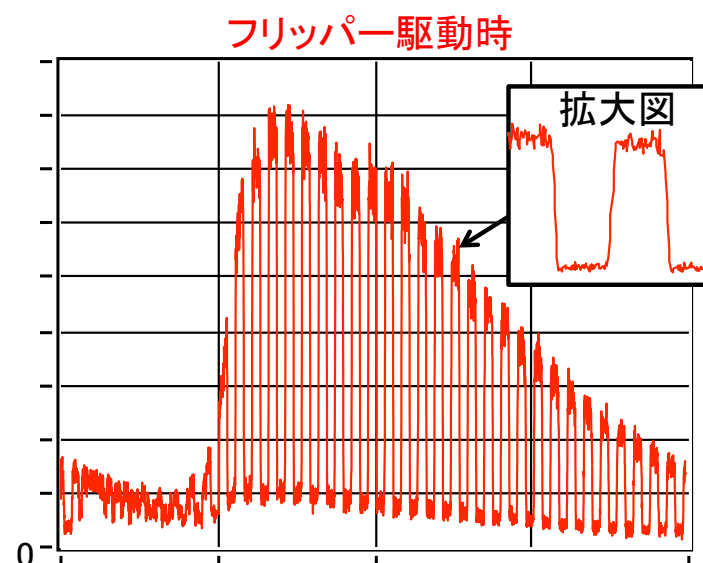


Spin Flip ChopperとFiducial Volume

- ・ラムゼー型スピニフリッパーを局所時間だけ動作させる
→中性子ストリームの局所的なスピニ反転
- ・磁気ミラーを用いてスピニを分離する
→中性子ビームの切り出し・バンチ化が可能
- ・多段のSpin Flip Chopperを用いることで
160000:1のコントラストを実現可能
- ・現在の立ち上がり時間~ $5\mu\text{s} \Leftrightarrow 5\text{cm}$ の切り出しが可能
- ・1mのTPCでFiducial Volumeを最大化するとバンチ長は50cm
→30cm以上のFiducial Volumeを確保できる



Spin Flip Chopperの詳細は
竹谷薰, 10aSF-5



Event Rateと統計

- 現状：20kW運転で $4 \times 10^5 / \text{s}$ → 約 0.4 decay/m/s 相当
 - 100kWで運転するとき
Fiducial Volumeを30cm, 1bunchを20個のsub-bunchに切る場合,
1stripあたり 1.5×10^{-3} decay → 信号のmultiplicityは $O(10^{-6})$
 - 100kWでは 10^6 decayを貯めるのに 15日
-
- ${}^3\text{He}(n,p)$ 反応
 - $\sigma_{(n,p)} = 5333 \text{ barn}$
 - Multiplicityを避けるため $10/\text{m/s}$ 以下を要請すると
 ${}^3\text{He}$ の分圧 1 Pa 以下。
→ ${}^3\text{He}/{}^4\text{He}$ の分圧比は 10^{-5} 以下に設定
 - 現状では東大地殻化学実験施設のスペクトロメータで
 ${}^3\text{He}/{}^4\text{He} = 10^{-4}$ の分圧比に対して 0.5% の精度で
測定可能
→ 精度向上のための研究協力をていく



Data Acquisition

Mother board (Copper) にDaughter card (Finesse) を4枚載せて使用。
Copperから直接TCP/IP 100BASE (100Mbit /sec)で読み出し

FINESSE 65MHz 12bitFADC (8ch)

Clock : 10MHz

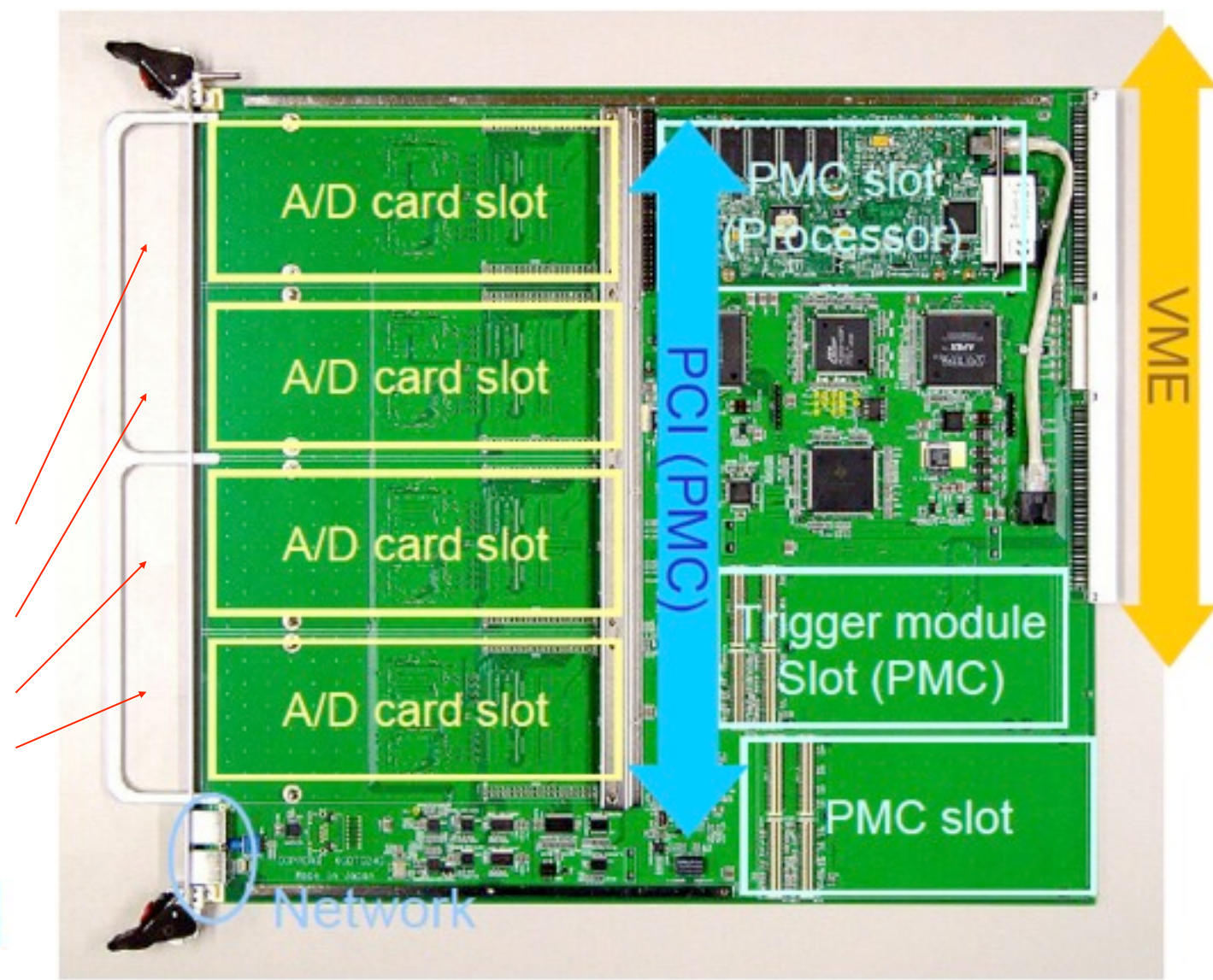
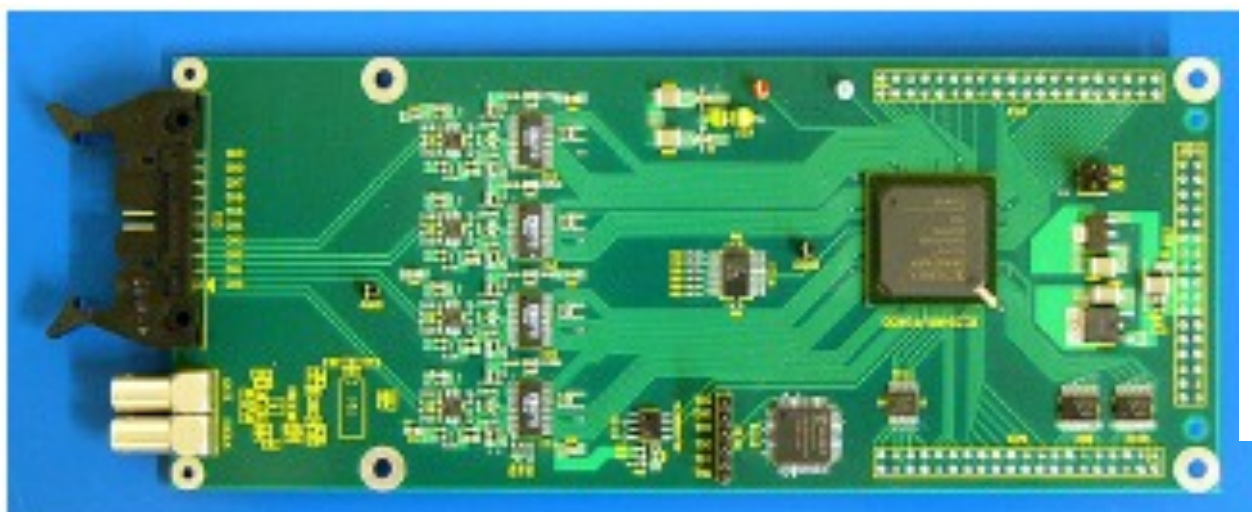
Dynamic range : $100\mu\text{sec}$

Data size : 2kbyte /ch /event

Channel数 : 16 ch

~100count /sec までDAQ可能

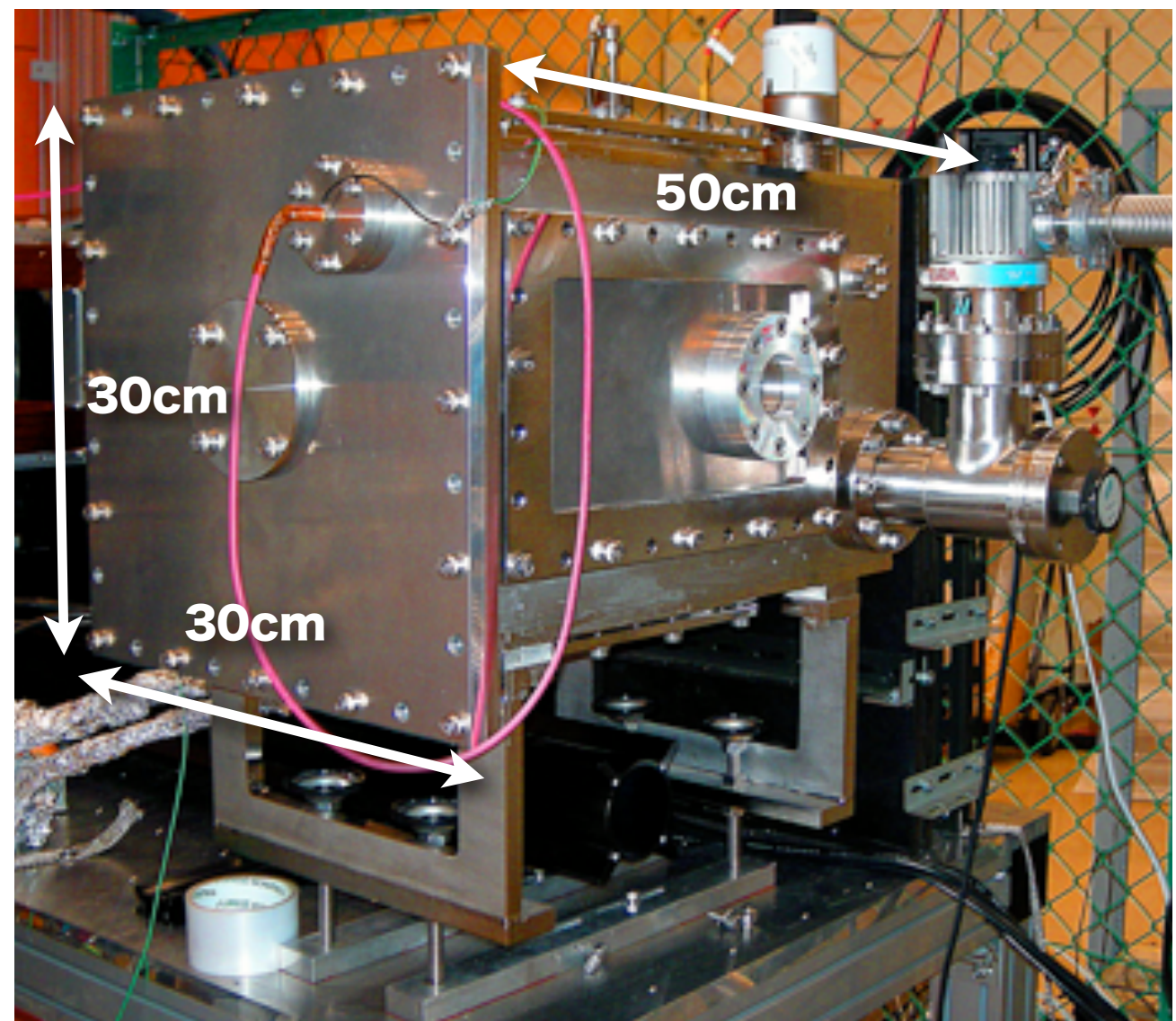
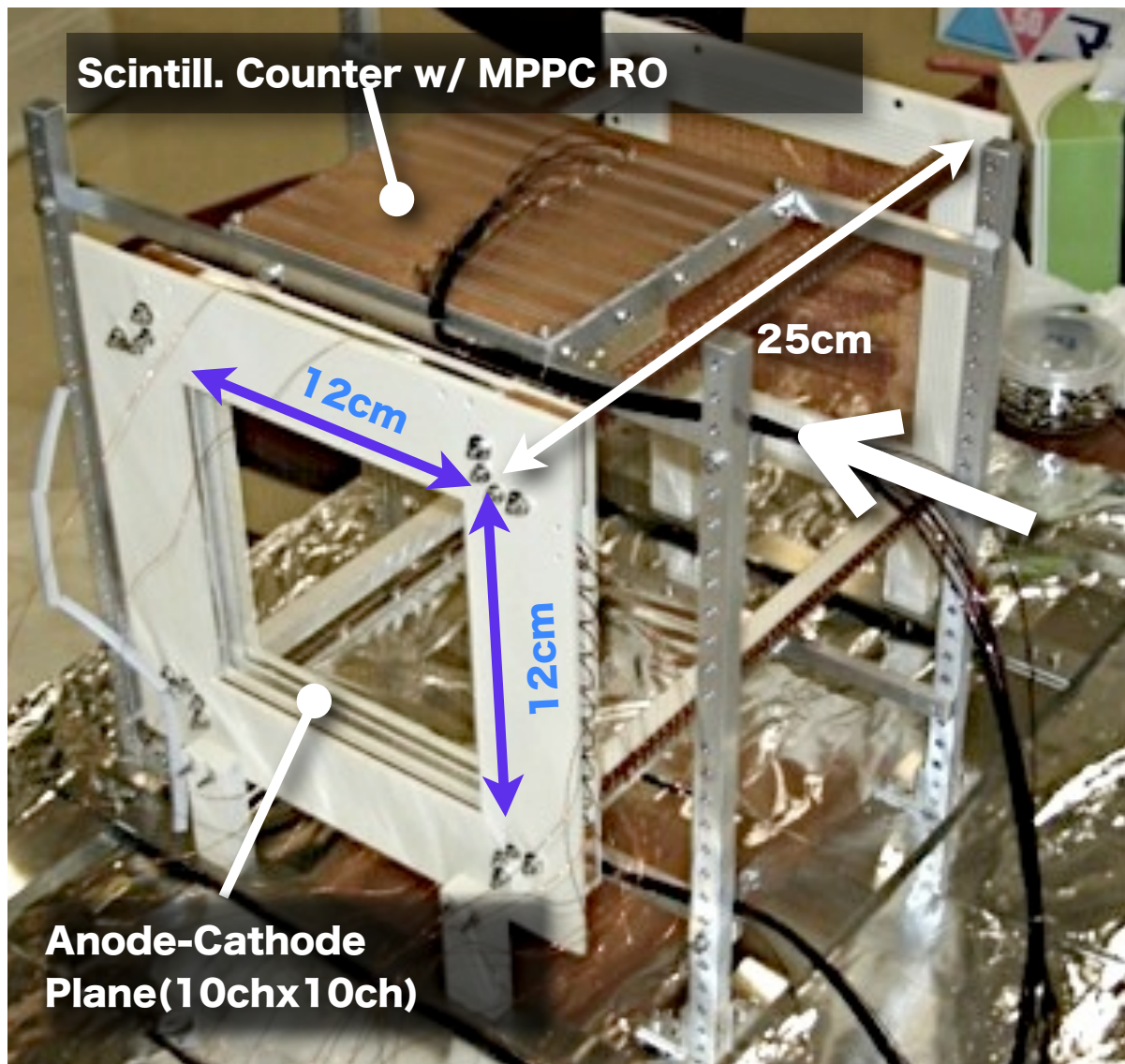
(ビームテストでは~100count/secでDAQ)



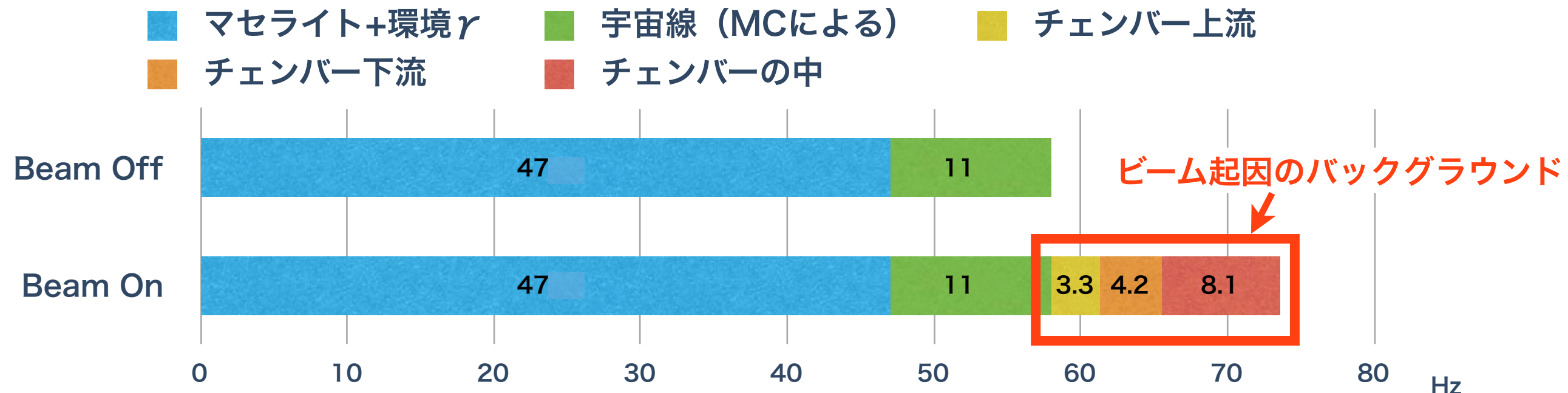
バックグラウンドの測定

2009/6/1～2009/6/21ビームテスト

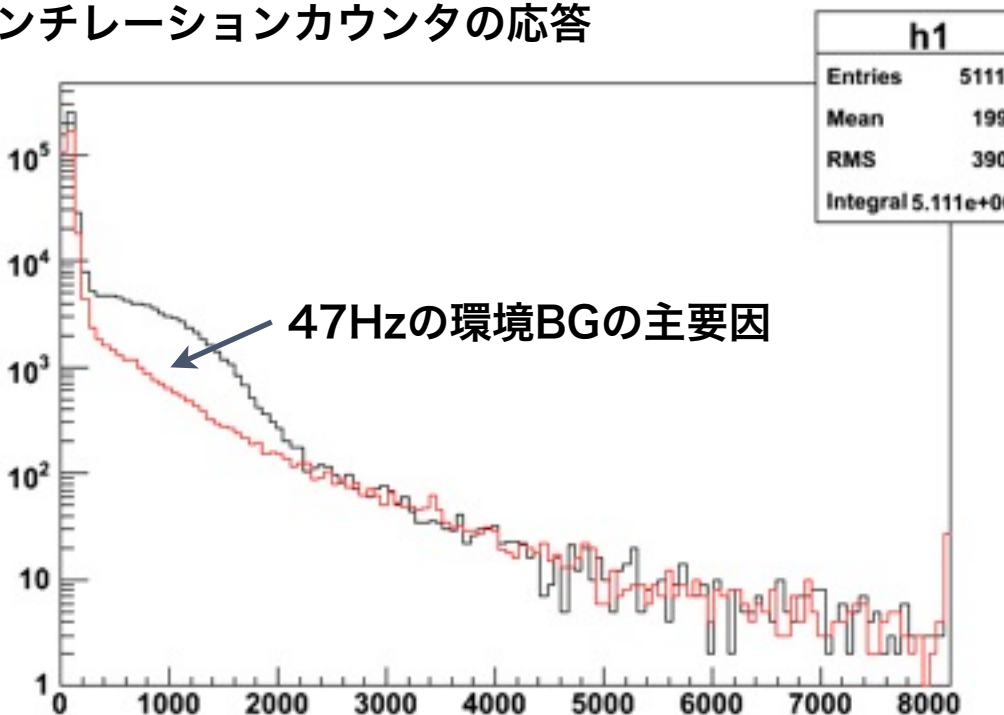
プロトタイプTPCを用いてバックグラウンド環境の計測を行った



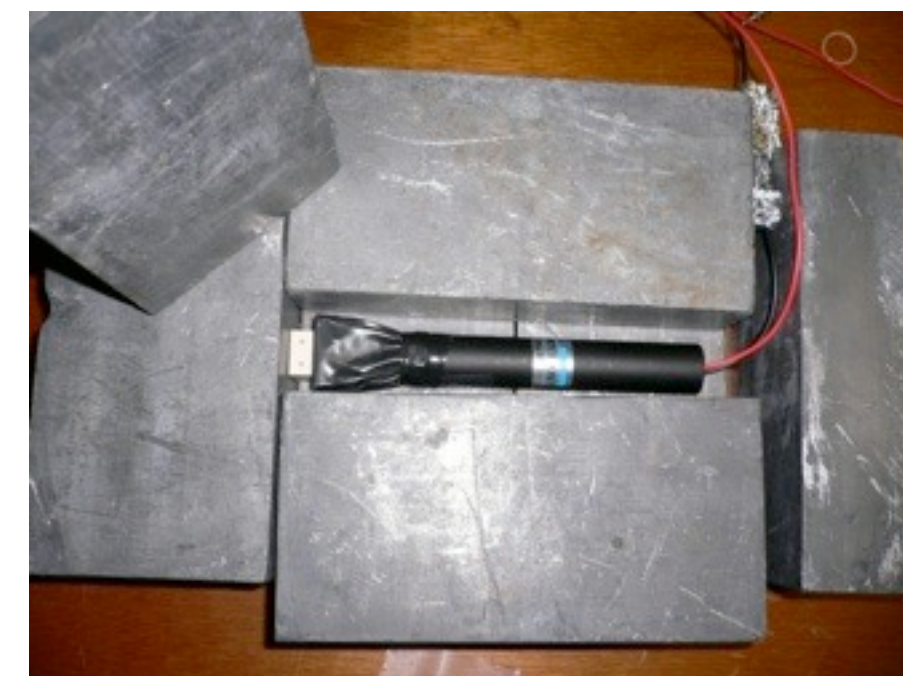
TPCカウントレートに占めるBG



マセライトの有無による
シンチレーションカウンタの応答

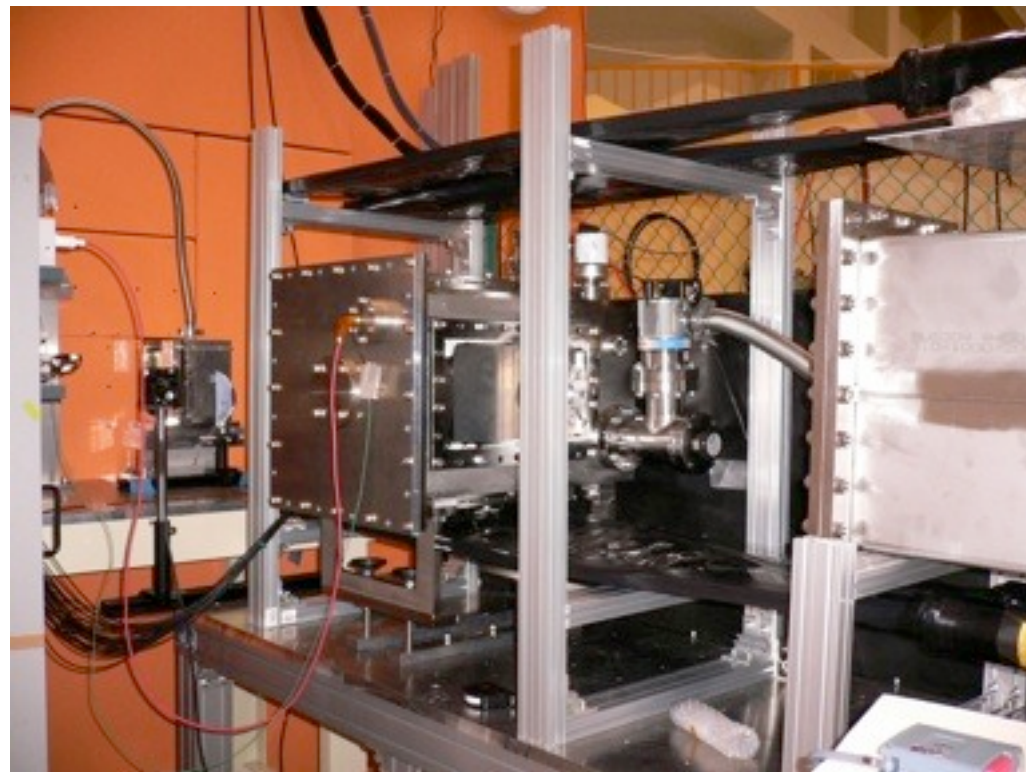


(cf. 中性子崩壊イベント = 0.05Hz)

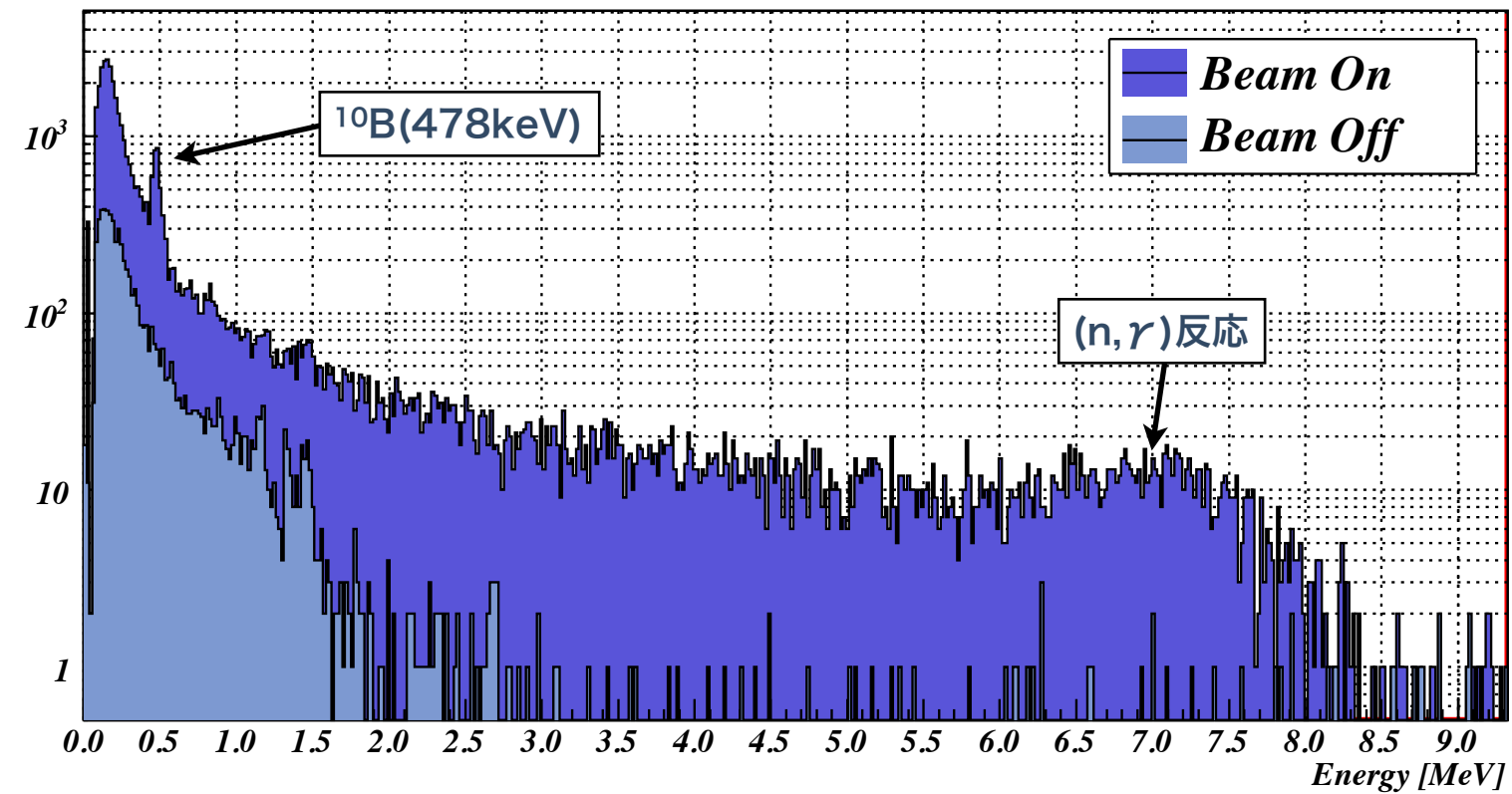


バックグラウンドガンマ線

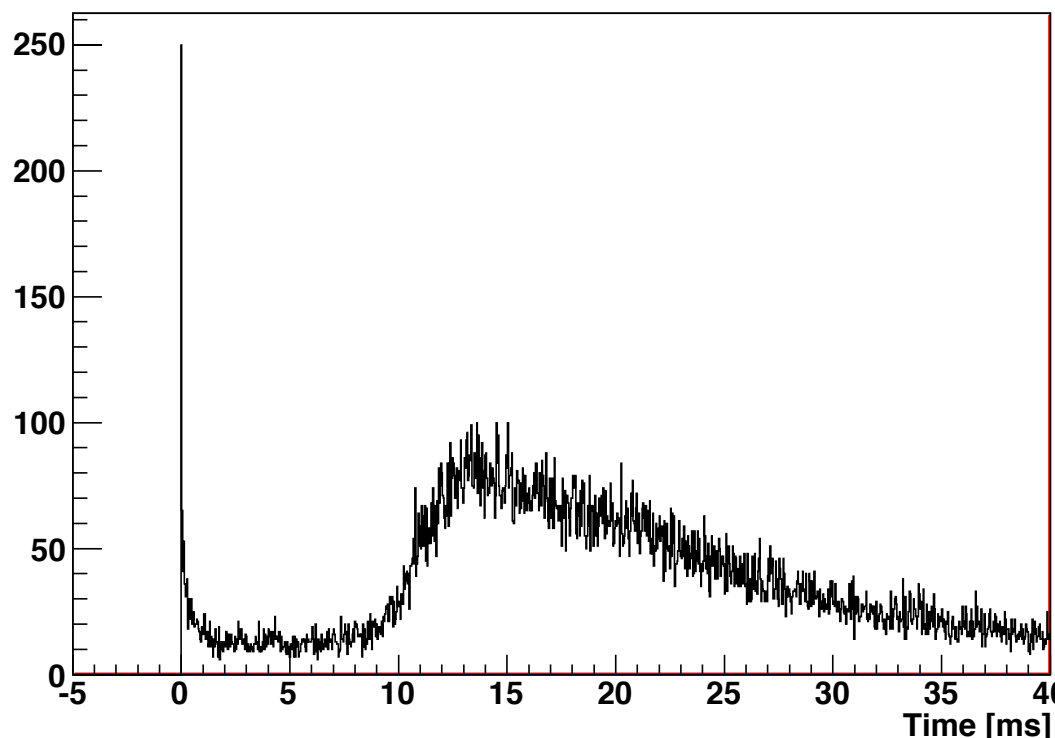
測定環境



NaIスペクトル



NaI/TOF(Beam On)



2inch NaI

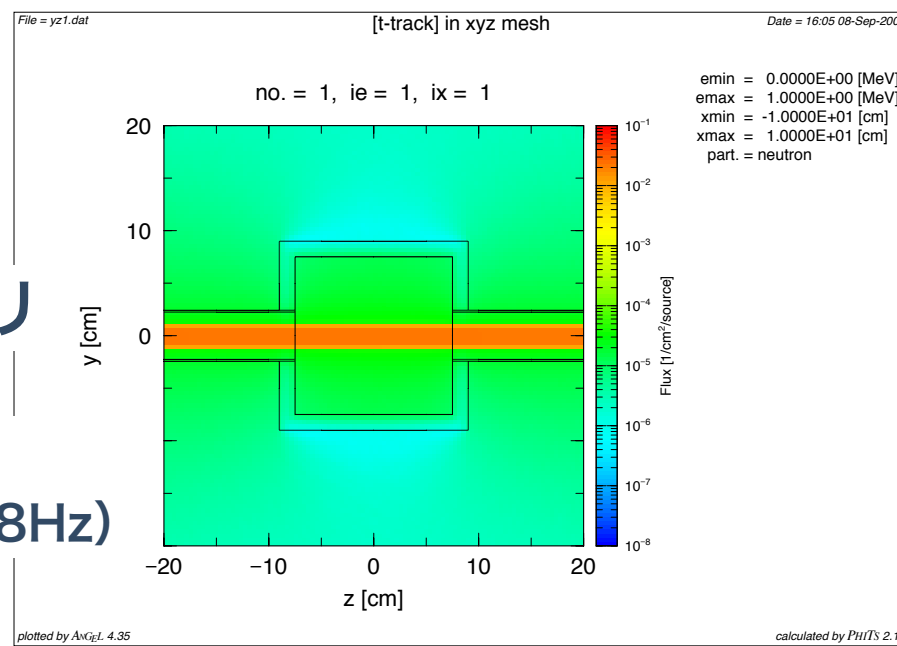
- BeamOn: 400Hz
- BeamOff: 62Hz
- Difference: 338Hz

コンプトン散乱などを通じて崩壊電子に
対するバックグラウンドになる

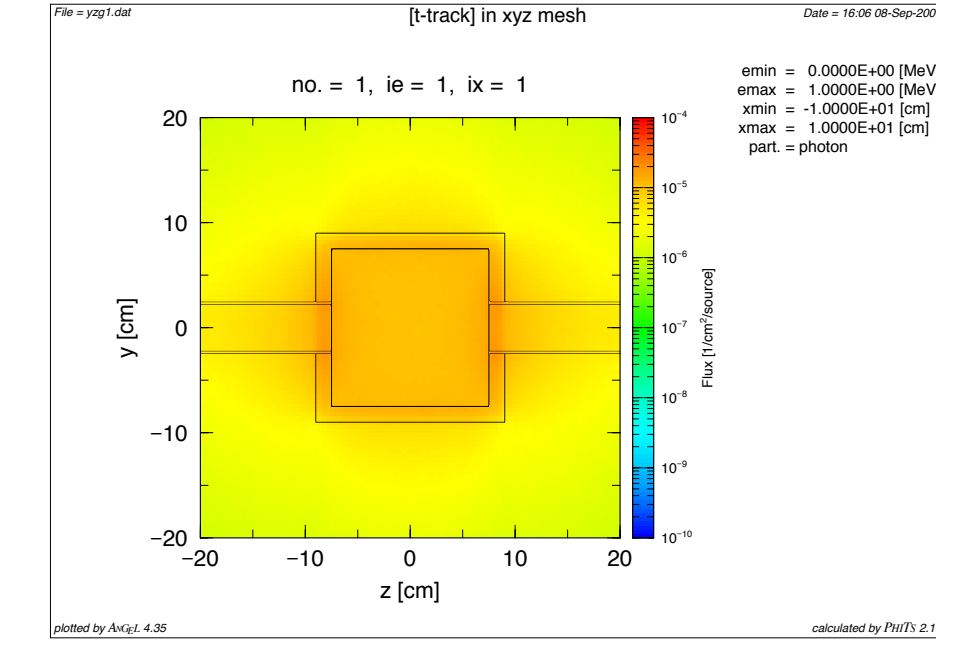
ガス散乱によるBG γ のシミュレーション

PHITS+Geant4によるシミュレーション

中性子散乱フラックス

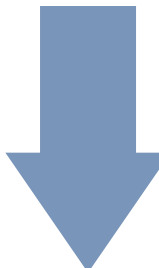


(n, r)によるガンマ線フラックス



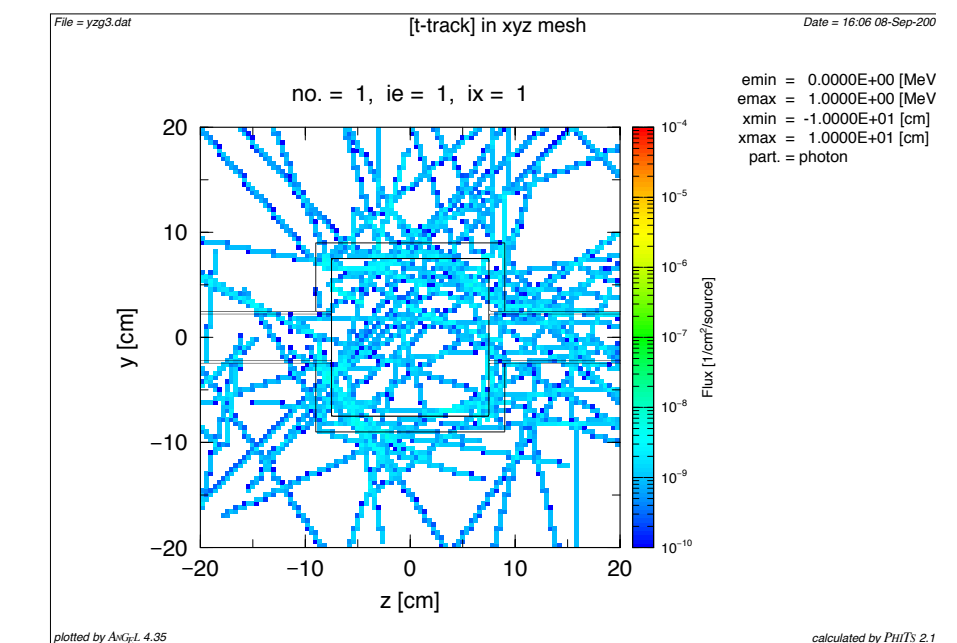
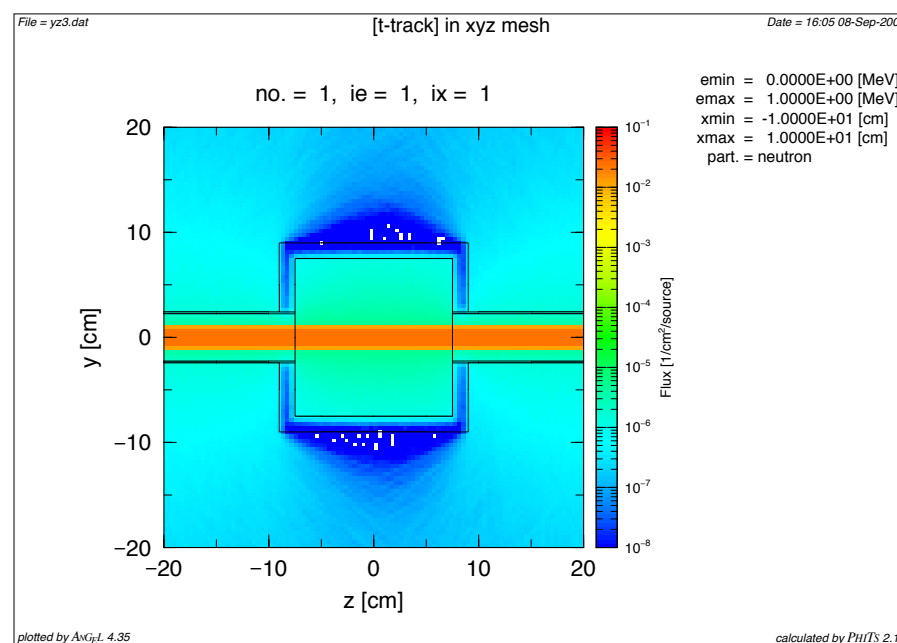
SUS304容器ジオメトリ

ビームの発散を考慮しない場合、
1Hz程度の β を生む（測定では8Hz）



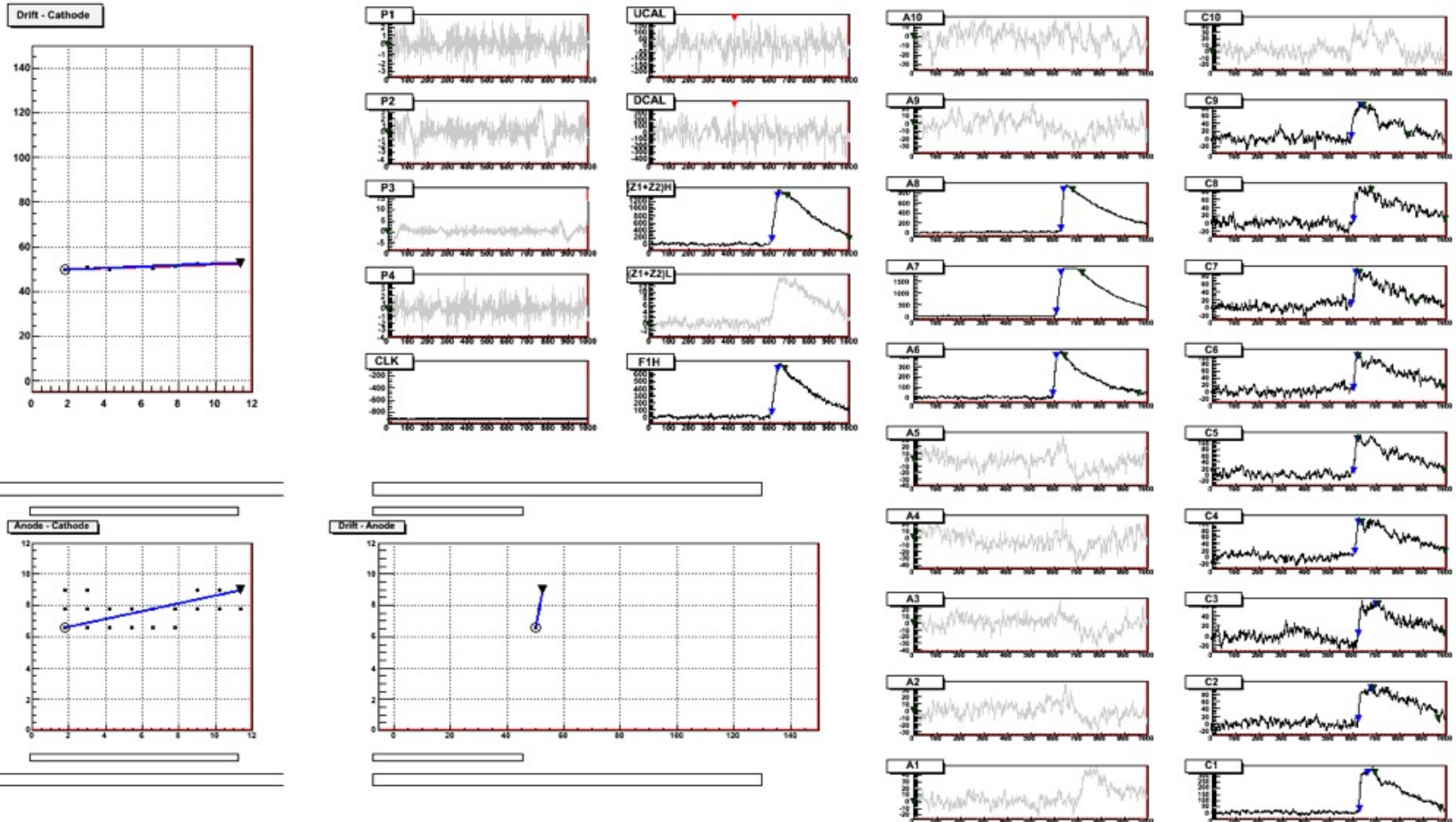
10⁻³-10⁻⁴

内壁をLiFにしたもの



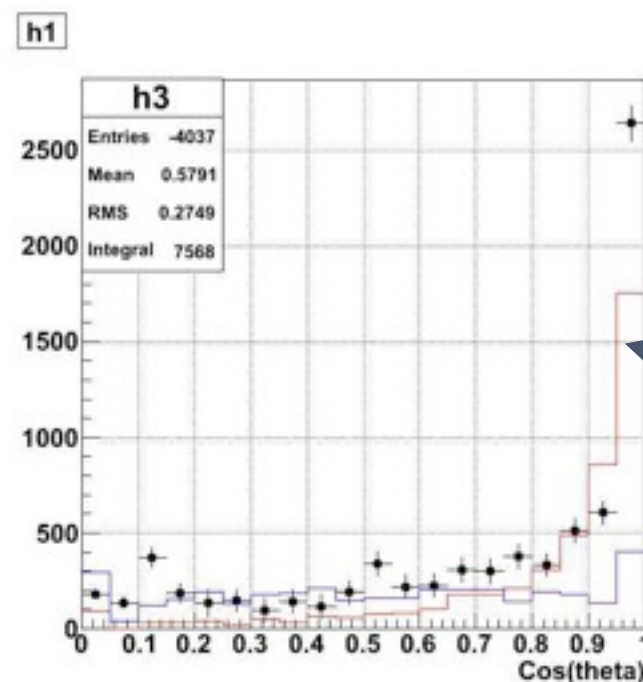
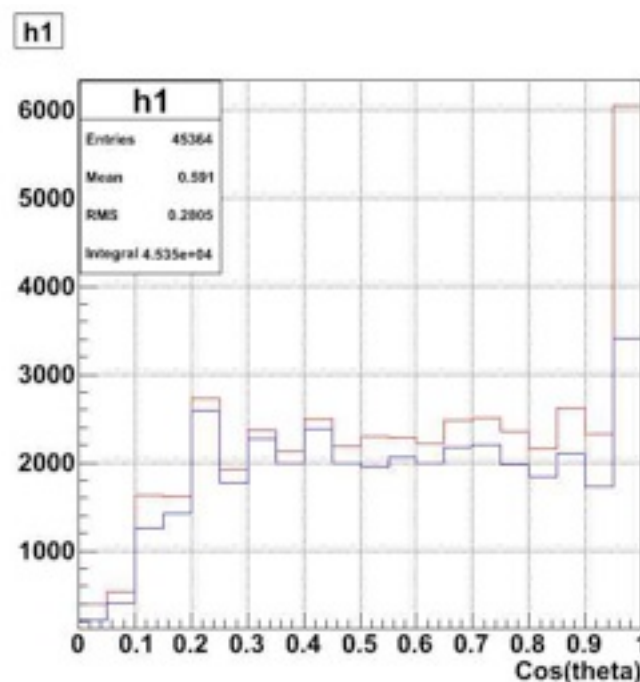
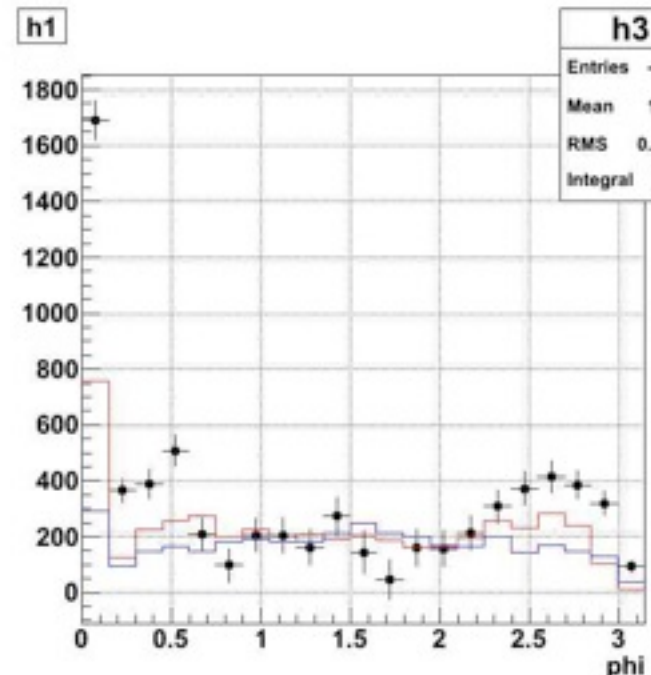
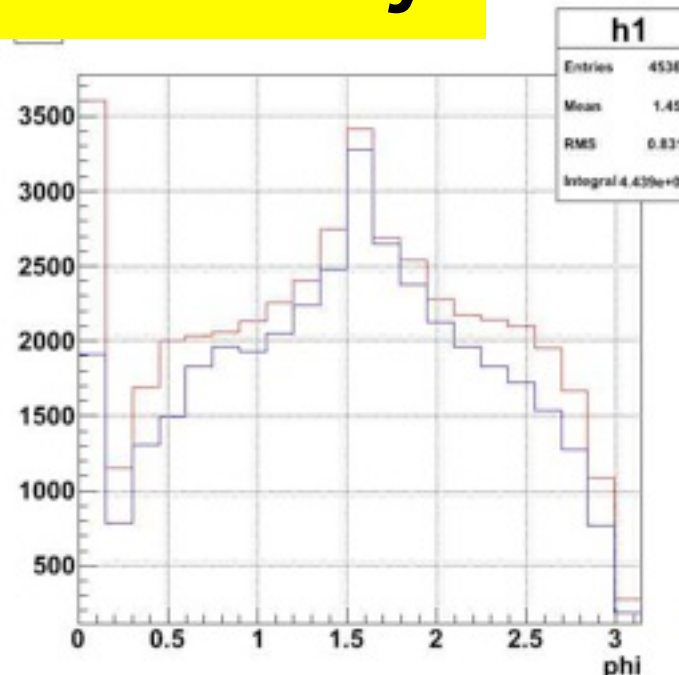
BGイベントのデータ解析

Kudos Event Display v0.4.5 run00400, Event 628



バックグラウンドの角度分布

Preliminary



BeamOn - BeamOff

シミュレーション

赤：ビーム軸上から γ が来る

青：等方的に γ が来る

バックグラウンドのまとめ

○TPC構造体のマセライトに含まれる ^{40}K からの β 線

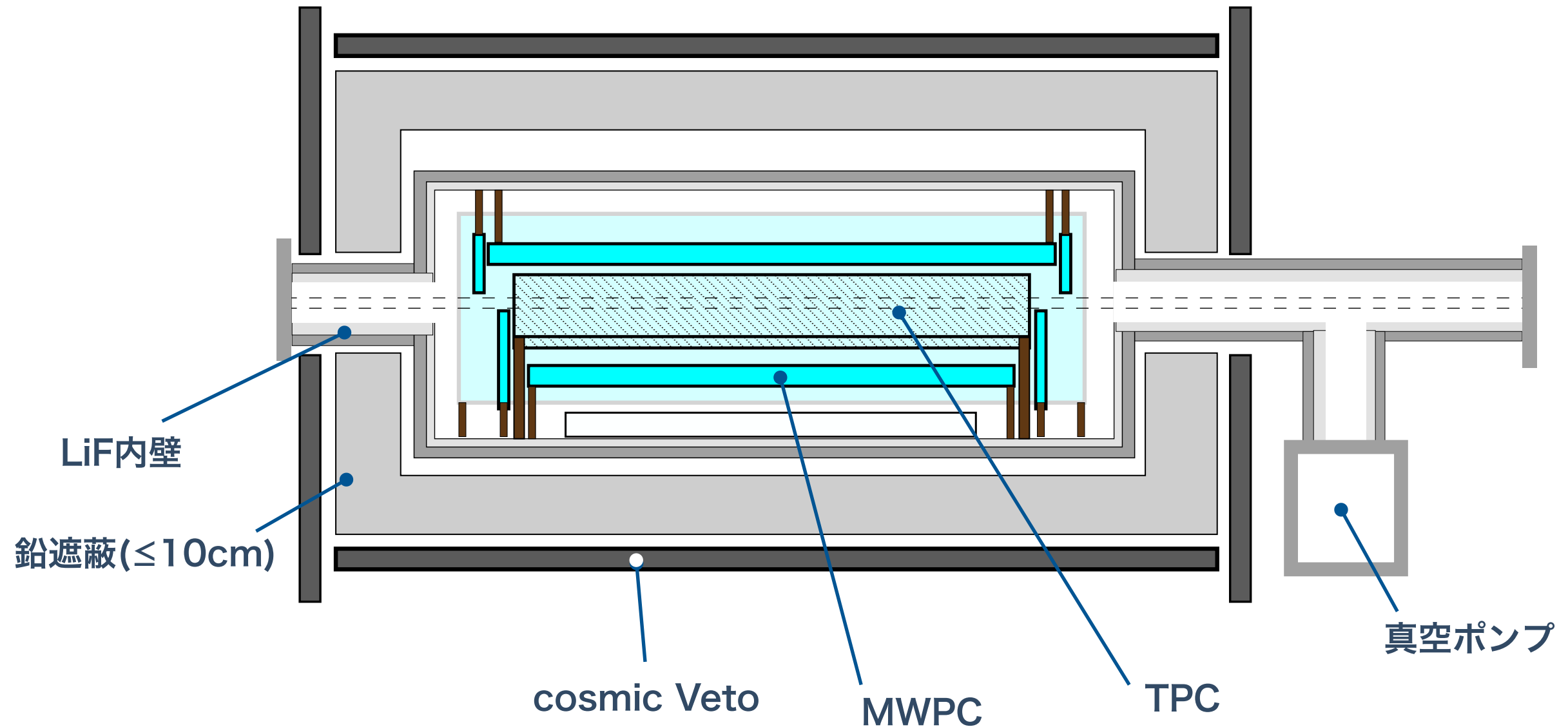
- 材質に注意して検出器を構成する

○ビーム起因のバックグラウンド

- ビームラインの ^{10}B からの γ (478keV)
 - ビーム上下流の空気散乱による γ
-) →鉛遮蔽を十分に積むことで抑制可能

- チャンバー内のガスによる散乱で即発 γ
 - 中性子がチャンバー内壁に直接当たる即発 γ
-) →LiFで内壁を覆うことで対応
チャンバー内の物質量にも注意

バックグラウンド抑制の戦略

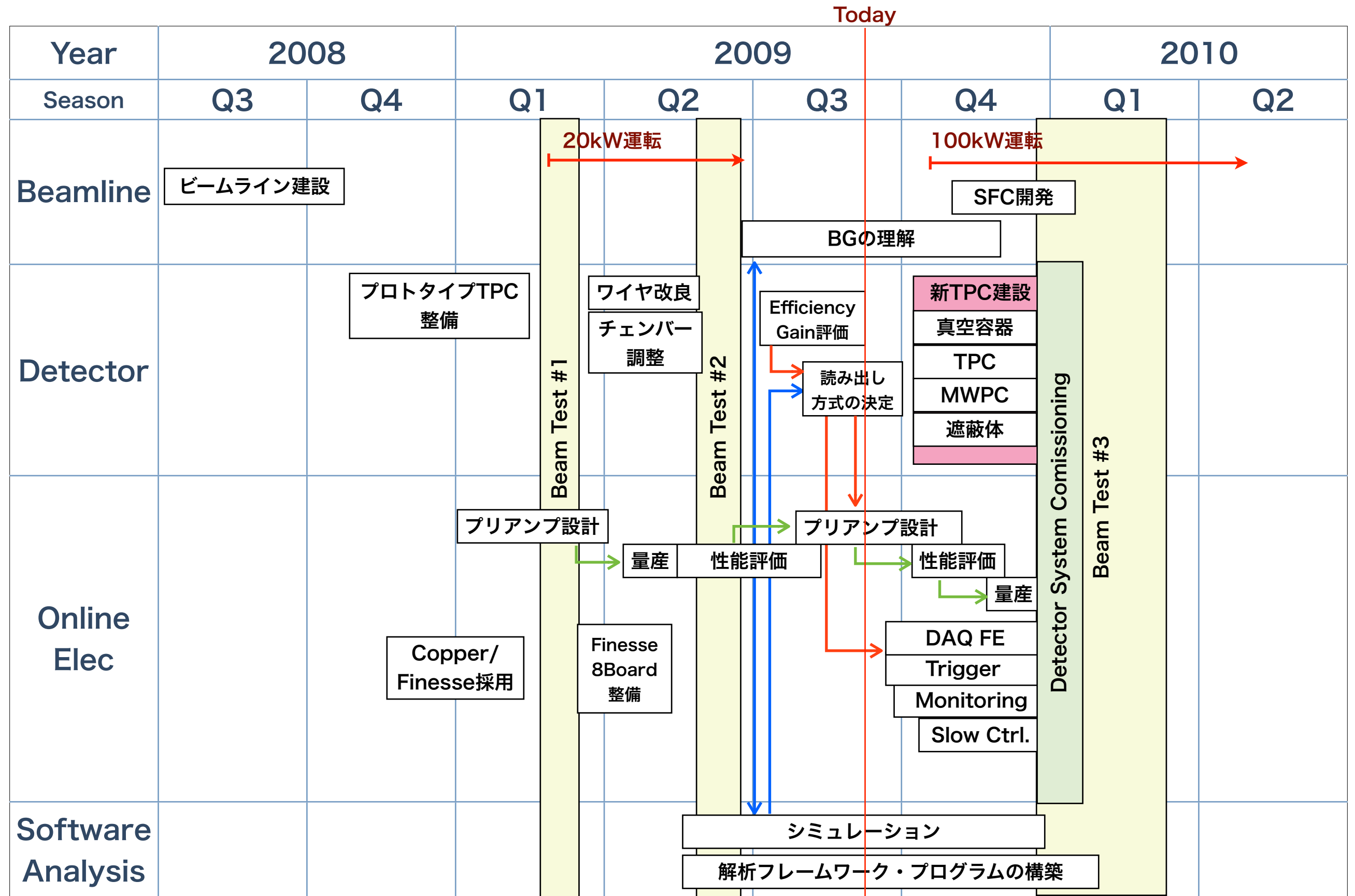


今後、検出器の構造体を考慮した

- ・バックグラウンド環境
- ・アクセプタンス
- ・ベータ崩壊信号の多重クーロン散乱や後方散乱の効果

のシミュレーションを詳細に行っていく→本格的な検出器設計の段階へ

Experiment Planning



まとめ

○ In-Flightでの中性子寿命測定

- 信号の検出：検出効率・Fiducial Volume・統計量に一定のメド
- 技術開発：プリアンプ, ${}^3\text{He}/{}^4\text{He}$ 分圧測定精度

○ バックグラウンド

- ビームテストでバックグラウンドの起源・量について計測した
- 定量的に詰めの段階
- 外側の遮蔽と内側のLiFでBG削減

○ 検出器の設計・シミュレーションを今後進めていく

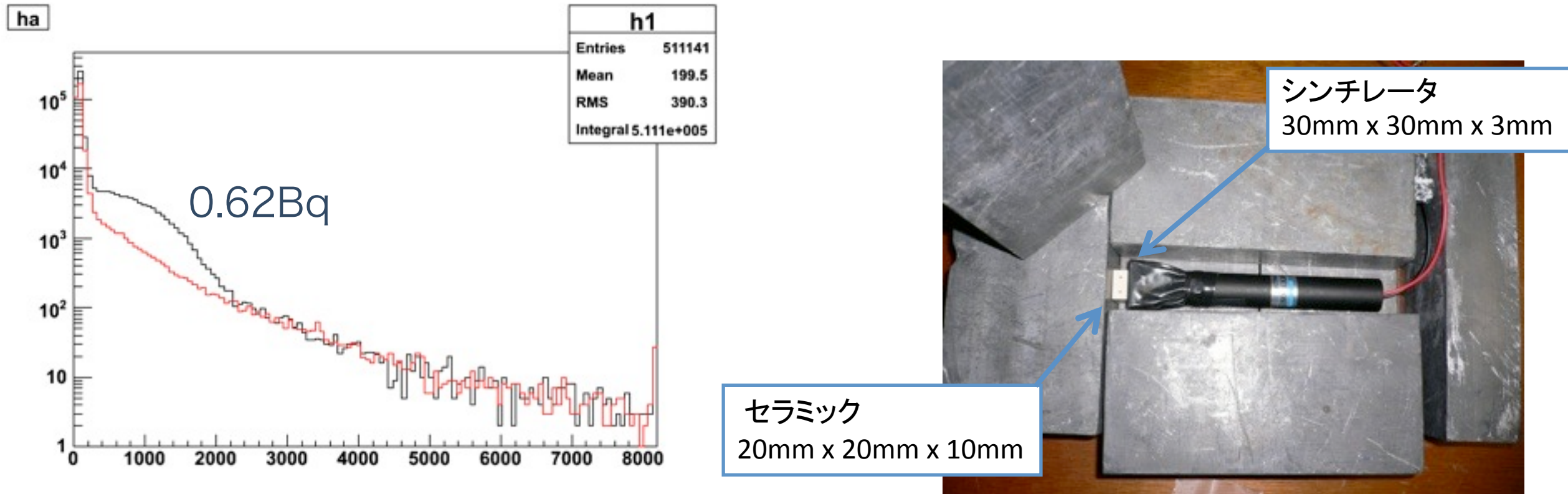
Backup

Preamp. Spec Proposal

Dynamic Range	Range1: -75fC ~ +25fC Range2: -500fC ~ -5fC
Conversion Gain	Range1: 2V/pC (0.5pF) Range2: 10V/pC (0.05pF)
Gain Tolerance	~1%
ENC	<2000e @ 1pF
Crosstalk	0.5us, 1us, 10us, Variable
Peaking Time	<20mW/ch
Power Dissipation	32ch

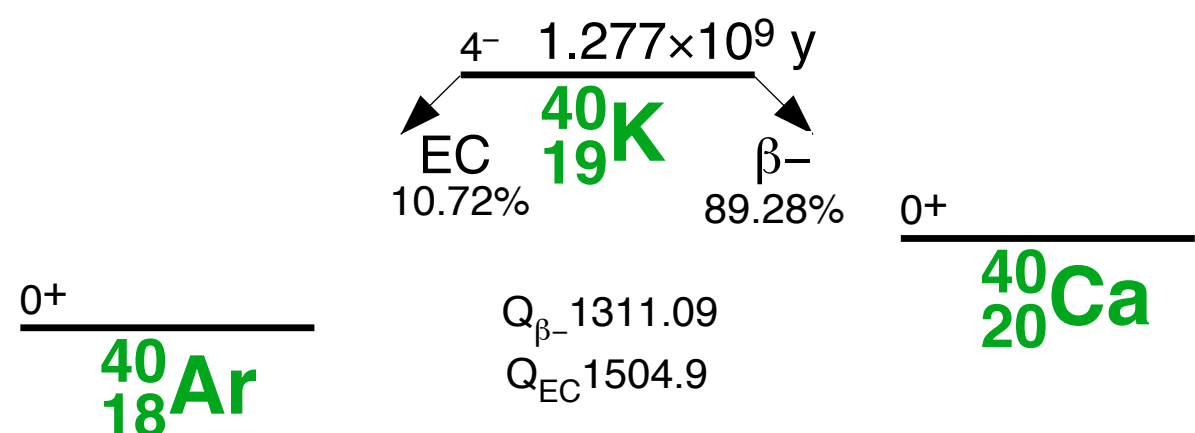
房安氏の提案による (2009/9/6現在)

マセライト由来の β バックグラウンド



マセライトの組成

Compound	wt%
SiO ₂	47
MgO	17
Al ₂ O ₃	16
K ₂ O	11
F	9



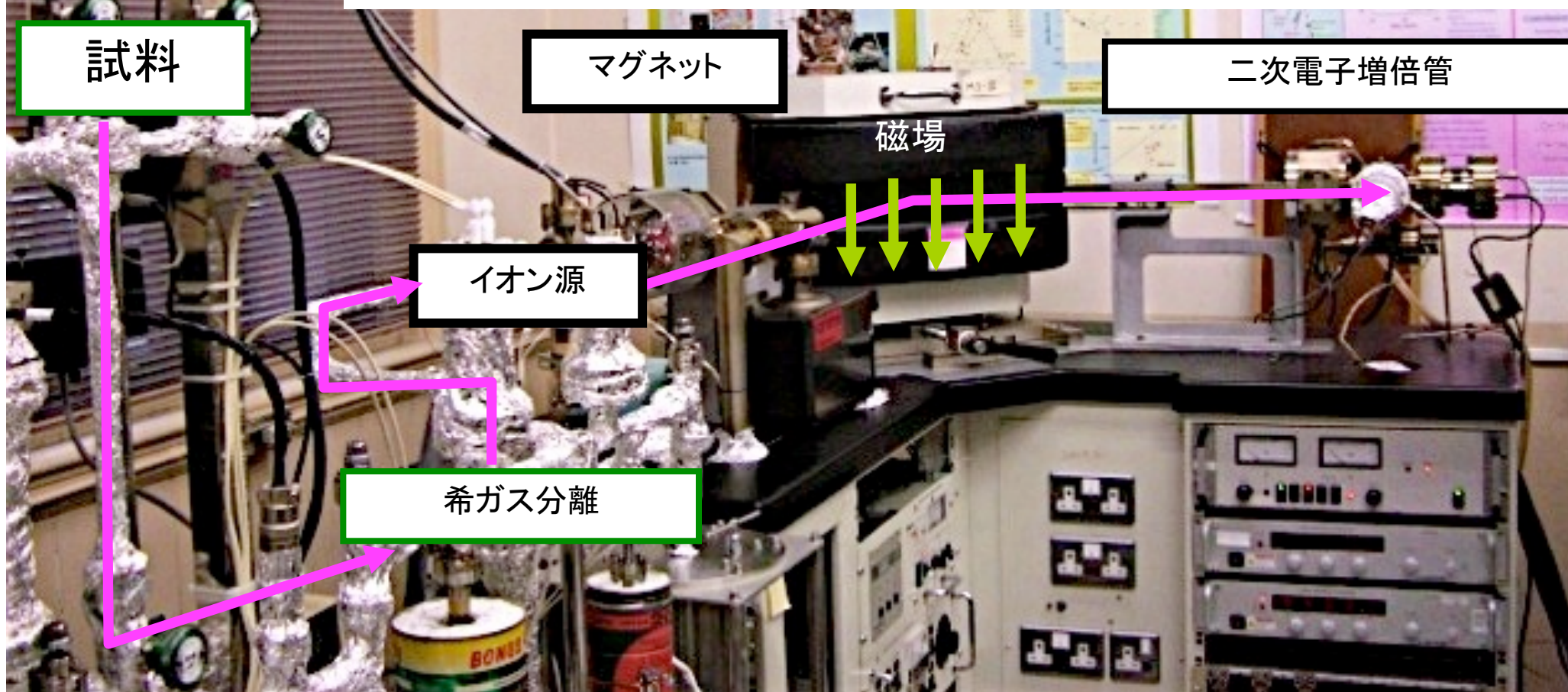
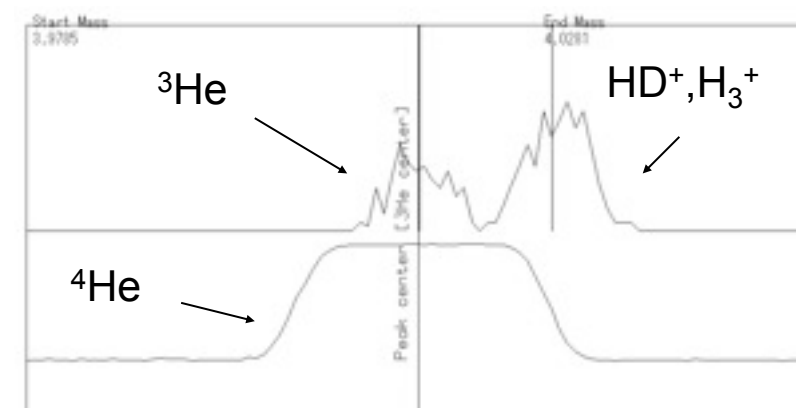
${}^3\text{He}(n,p){}^3\text{H}$ の検出と分圧測定

${}^3\text{He}(n,p){}^3\text{H}$ の断面積 = 5333 barn 750keV full energy deposit



角野、長尾両氏(東大理)の協力によって、質量分析計を用いて測定
(岩石等に含まれる希ガスの比率を精密測定してきた実績を持つ)

標準試料との相対測定で
精度0.5%での測定が可能。



Supermirror Benders in Assembly

Nov. 2008



Polarization Branch

Experiment	Beta decay
Mirror	Magnetic Supermirror(2.8Qc)
Configuration	Polygonal approximation 12unit × 0.262 deg. (R=82m)
Cross-section	40mm × 100mm
Channel	4ch
Bender Length	4.5 m (375mm × 6 × 2)
Bending Angle	3.14 deg.

Unpolarized-beam Branch

Experiment	Scattering
Mirrors	Supermirror (3Qc)
Configuration	Real Curve
Curvature	100m
Cross-section	50mm × 40mm
Channel	5ch
Bender Length	4.0 m (2.0m × 2)
Bending Angle	2.58 deg.

Low Divergence Branch

Experiment	Interferometer
Mirrors	Supermirror (3Qc)
Configuration	2 mirrors
Critical Angle	0.95 deg.
Bending Angle	3.85 deg.